

UNIVERZITET U BEOGRADU
BIOLOŠKI FAKULTET

Ana Ž. Dragičević

**MODULACIJA FUNKCIJE HUMANIH
DENDRITSKIH ĆELIJA KOMBINOVANOM
PRIMENOM AGONISTA ENDOZOMNIH
TOLL-SLIČNIH RECEPTORA, DEKTIN-1
RECEPTORA I PROINFLAMATORNIH
CITOKINA**

Doktorska disertacija

Beograd, 2012.

UNIVERSITY OF BELGRADE
BIOLOGICAL FACULTY

Ana Ž. Dragičević

**MODULATION OF THE FUNCTION OF
HUMAN MONOCYTE DERIVED
DENDRITIC CELLS BY COMBINED USE
OF THE ENDOSOMAL TOLL-LIKE
RECEPTORS, DECTIN-1 RECEPTOR
AGONISTS AND PROINFLAMMATORY
CYTOKINES**

Doctoral dissertation

Belgrade, 2012.

Podaci o mentorima i članovima komisije

MENTORI:

akademik Miodrag Čolić
redovni profesor Medicinskog fakulteta VMA Univerziteta odbrane u Beogradu i Medicinskog fakulteta Univerziteta u Nišu

dr Biljana Božić
vanredni profesor Biološkog fakulteta Univerziteta u Beogradu

ČLAN KOMISIJE:

dr Dragana Vučević
vanredni profesor Medicinskog fakulteta VMA Univerziteta odbrane u Beogradu

Izjave zahvalnosti:

Svojim mentorima, akademiku Miodragu Čoliću i dr Biljani Božić izražavam duboko poštovanje i izuzetnu zahvalnost na ukazanom poverenju, podršci i strpljenju od prvih koraka u laboratorijskom radu do konačne realizacije ove teze.

Veliku zahvalnost dugujem članu komisije dr Dragani Vučević na neizmernoj pomoći i prijateljskim savetima tokom višegodišnjeg rada na ovoj tezi.

Zahvaljujem se kolegi sa Instituta za medicinska istraživanja dr Saši Vasilijiću na stručnoj pomoći i korisnim savetima tokom izrade ove teze.

Svojim kolegama doktorantima, dr Tanji Džopalić, dr Ivanu Rajkoviću i Sergeju Tomiću se zahvaljujem na svesrdnoj pomoći i prijateljskim savetima od samog početka do finalizacije ove teze.

Svoju veliku zahvalnost dugujem mr Petru Milosavljeviću, dr Gordani Andelić i Oliveri Čolić na prijateljskoj podršci i ohrabrvanju.

Zahvaljujem se Ivani Majstorović na pomoći u realizaciji ovog rada.

Zahvaljujem se svojoj profesorki biologije iz gimnazije „Bora Stanković“ Lozanki Tošić koja mi je svojim predavanjima ulila ljubav prema biologiji i odredila moje profesionalno interesovanje.

Zahvaljujem se Katarini Laković na nesebičnoj pomoći i prijateljskoj podršci.

Svim svojim prijateljima zahvaljujem na razumevanju i podršci koja mi je izuzetno značila.

Neizmernu zahvalnost dugujem svojim roditeljima na podršci, razumevanju, strpljenju i ohrabrvanju tokom mog celokupnog školovanja.

Last, but not least, special thanks to my english proof reader, Reg Thorne.

Ova doktorska disertacija je realizovana u okviru projekta *Primena funkcionalizovanih ugljeničnih nanocevi i nanočestica zlata za pripremu dendritskih ćelija u imunoterapiji tumora* (evidencijski broj: 175102) koje finansira Ministarstvo prosvete i nauke Republike Srbije i NI zadatka *Optimizacija protokola za kultivaciju dendritskih ćelija u cilju terapije tumora* u okviru projekta *Genetički i ćelijski bioinžinjerинг u medicini* (evidencijski broj: VMA/06-10/A.5) koje je finansiralo Ministarstvo odbrane Republike Srbije.

Modulacija funkcije humanih dendritskih ćelija kombinovanom primenom agonista endozomnih toll-sličnih receptora, dektin-1 receptora i proinflamatornih citokina

Rezime

Uvod/cilji. Dendritske ćelije (DĆ), najpotentnije antigen-prezentujuće ćelije (APĆ), integrišu signale koje primaju sa različitih receptora u jedinstveni odgovor. Ključni značaj u ostvarivanju funkcija DĆ imaju receptori za prepoznavanje konzervisanih struktura, tzv. molekularnih obrazaca patogena (engl. Pattern Recognition Receptor, PRR). Aktivacija pojedinačnih PRR, posebno Toll-sličnih receptora (engl. Toll-like receptor, TLR) ili lektinskih receptora C-tipa poput dektina-1, dovodi do sazrevanja DĆ, dok je za razvoj efikasnog imunskog odgovora neophodna kooperacija više receptora.

Agonisti PRR, posebno TLR agonisti, imaju veliku primenu u modulaciji funkcija DĆ u eksperimentalnim i kliničkim ispitivanjima u oblasti imunoterapije tumora. U fokusu aktuelnih istraživanja pripreme anti-tumorskih vakcina je primena Poly (I:C), sintetskog analoga dvolančane RNK (TLR3 agonist). Kultivacija MoDĆ u prisustvu Poly (I:C) dovodi do njihovog fenotipskog i funkcionalnog sazrevanja, pa su tako pripremljene ćelije efikasne u pokretanju imunskog odgovora. TLR3 zajedno sa TLR7-9 predstavlja subfamiliju TLR specifičnih za nukleinske kiseline lokalizovanih na membrani endozoma. Uprkos ohrabrujućim rezultatima, biološki potencijal DĆ za *in vivo* stimulaciju anti-tumorskog odgovora još uvek nije maksimalno iskorišćen. U te svrhe se kombinovanom primenom većeg broja TLR agonista ispituje potencijal MoDĆ da integrira signale sa različitih receptora. Stoga je jedan od ciljeva naše studije bio da se ispita efekat kombinovane primene Poly (I:C) i loksoribina, selektivnog TLR7 agoniste na funkcionalne i fenotipske karakteristike MoDĆ.

Dektin-1 receptor je, pored TLR, jedini receptor urođenog imuniteta čija aktivacija samostalno indukuje signalnu kaskadu koja dovodi do sazrevanja MoDĆ sa sposobnošću indukcije Th1 i Th17 odgovora. Imajući navedno u vidu, sledeći cilj ovog istraživanja je bio da se ispita efekat kombinovane primene Poly (I:C) i kurdlana, agonista dektin-1 receptora, na funkcionalne i fenotipske karakteristike MoDĆ.

Za modulaciju sazrevanja i funkcija DĆ, pored stimulacije PRR, značajnu ulogu imaju i citokini prirodnog imuniteta koji se produkuju prilikom infekcije. Najnovija istraživanja ukazuju na ulogu TNF- α , jednog od najznačajnijih proinflamatornih citokina, u sazrevanju DĆ u ranim fazama infekcije kao i razvoju antigen-specifičnog odgovora. Naredni cilj našeg istraživanja bio je ispitivanje dozno- i vremenski-zavisnog efekta kombinovane primene TNF- α i Poly (I:C) na funkcionalne i fenotipske karakteristike MoDĆ.

Poslednji deo istraživanja se odnosio na ispitivanje uticaja signala stečenog imuniteta koje DĆ dobijaju tokom interakcije sa T-limfocitima, uključujući signalizaciju preko CD40 receptora i receptora za IFN- γ na njihove karakteristike.

Metode. Nezrele MoDĆ, dobijene kultivacijom humanih monocita, su stimulisane samim Poly (I:C) ili njegovom kombinacijom sa loksoribinom, kurdlanom ili TNF- α tokom 48h. Da bi ispitali uticaj signala stečenog imuniteta, MoDĆ stimulisane samim Poly (I:C) ili u kombinaciji sa TNF- α dalje su kultivisane u prisustvu ćelija J558 transfektovanim ligandom za CD40, solubilnog CD40L ili IFN- γ . U cilju ispitivanja uticaja kinetike aktivacije na kapacitet MoDĆ da polarizuju imunski odgovor, MoDĆ su stimulisane kombinacijama različitih koncentracija Poly (I:C) i TNF- α tokom 24h i 48h. Protočnom citofluorimetrijom su analizirane fenotipske karakteristike MoDĆ. Alostimulatorna sposobnost MoDĆ je određena testom mešane leukocitne reakcije. Producija citokina je određena ELISA metodom i testom za detekciju citokina pomoću imunofluorescentnih kuglica.

Rezultati. U preliminarnim eksperimentima nezrele MoDĆ su stimulisane različitim koncentracijama Poly (I:C) (5 μ g/ml, 10 μ g/ml, 25 μ g/ml i 50 μ g/ml), loksoribina (34 μ g/ml i 85 μ g/ml) i kurdlana (10 μ g/ml, 50 μ g/ml, 100 μ g/ml i 200 μ g/ml). Na osnovu fenotipskih i funkcionalnih karakteristika MoDĆ procenjeno je da je optimalna koncentracija za aktivaciju MoDĆ za Poly (I:C) 25 μ g/ml, za loksoribin 85 μ g/ml i za kurdlan 100 μ g/ml, dok je koncentracija Poly (I:C) od 10 μ g/ml i loksoribina od 34 μ g/ml suboptimalna. Optimalne i suboptimalne koncentracije agonista su dalje korišćene za stimulaciju nezrelih MoDĆ u ovom istraživanju.

Stimulacija MoDĆ optimalnom koncentracijom Poly (I:C) dovila je do povećanja ekspresije HLA-DR, CD86, CD40, CD54, CD83 i CCR7 molekula, povećanja produkcije IL-12, umerene produkcije IL-23 i niske produkcije IL-10. Ovako stimulisane MoDĆ dovode do povećane produkcije IFN- γ i umerene produkcije IL-17 tokom kokultivacije sa CD4 $^{+}$ T limfocitima.

MoDĆ kultivisane u prisustvu suboptimalnih koncentracija agonista TLR3 i TLR7 povećano su eksprimirale HLA-DR, CD86, CD83, CD54 i CD40 molekule i produkvale su veće nivoe IL-27, IL-23 i IL-10, u poređenju sa ćelijama tretiranim pojedinačnim agonistima. Ovako pripremljene MoDĆ su dovele do povećanja produkcije IFN- γ i IL-17 u kokulturi sa alogenim CD4 $^{+}$ T limfocitima. Tretman MoDĆ suboptimalnom koncentracijom Poly (I:C) i optimalnom koncentracijom loksoribina u poređenju sa efektima pojedinačnih agonista, doveo je do povećanja ekspresija CD86, smanjenja HLA-DR, povećanja produkcije IL-12 i IL-23 i smanjenja produkcije IL-10 i IL-

27. MoDĆ diferencirane na ovaj način u kokulturi sa CD4⁺ T ćelijama su indukovale povećanje produkcije IFN-γ i smanjenje produkcije IL-4 i IL-10. Stimulacija MoDĆ optimalnim koncentracijama oba TLR agonista dovela je do smanjenja ekspresije HLA-DR, CD83 i CD40 molekula, kao i povećanja produkcije IL-12, IL-27 i IL-10, dok je nivo IL-23 bio značajno smanjen, u poređenju sa efektima pojedinačnih TLR agonista. MoDĆ stimulisane na ovaj način su u kokulturi sa CD4⁺ T limfocitima dovele do povećanja produkcije IFN-γ i smanjenje produkcije IL-4, IL-10 i IL-17.

Stimulacija MoDĆ kurdlanom dovela je do povećanja produkcije IL-23 koji je tokom kokultivacije sa CD4⁺ T limfocitima usmerio odgovor T limfocita u Th17 pravcu uz manje izražen Th1 odgovor. MoDĆ kultivisane u prisustvu Poly (I:C) i kurdlana su ispoljile fenotip zrelih ćelija i stimulisale su proliferaciju alogenih CD4⁺ T limfocita. Kostimulacija TLR3 i dektina-1 na MoDĆ je dodatno povećala produkciju IL-12, IL-23 i IL-10 u poređenju sa efektima angažovanja pojedinačnih receptora. Ovi rezultati su u korelaciji sa indukcijom snažnijeg Th1 i Th17 imunskog odgovora, procenjivanog na osnovu produkcije IFN-γ od strane naivnih (CD45RA⁺) CD4⁺ T limfocita, odnosno IL-17 od strane memoriskih (CD45RO⁺) CD4⁺ T limfocita.

MoDĆ stimulisane optimalnom koncentracijom Poly (I:C) i TNF-α ispoljile su povećane nivoe CD80, CD86 i CD54 molekula i smanjile produkciju IL-12, što je uticalo na smanjenje proliferacije T limfocita i produkcije IFN-γ u kokulturi sa alogenim CD4⁺ T ćelijama, u poređenju sa efektom MoDĆ tretiranih samim Poly (I:C). Dozno-zavisni efekti Poly (I:C) i TNF-α na funkciju MoDĆ su izraženiji nakon 24h kultivacije u poređenju sa 48h, što je procenjeno na osnovu smanjenja produkcije IL-12 i IL-23 od strane MoDĆ i smanjenog nivoa IFN-γ i IL-17 u kokulturi sa CD4⁺ T ćelijama. Uticaj interakcije CD40 i CD40L je najizraženiji u slučaju produkcije IL-12 od strane MoDĆ tretiranih najvećom koncentracijom Poly (I:C) i TNF-α. Smanjenje produkcije IL-12 od strane MoDĆ stimulisanih ovom kombinacijom je dovelo do smanjenja produkcije IFN-γ u kokulturi sa CD4⁺ T ćelijama. Povezivanje CD40 molekula na MoDĆ stimulisanim najvećom koncentracijom Poly (I:C) i TNF-α je dovelo do smanjenja produkcije IL-23 i povećanja IL-10. Stoga su ovako pripremljene MoDĆ u kokulturi sa CD4⁺ T ćelijama dovele do smanjenja produkcije IL-17, a povećanja IL-10.

Povezivanje CD40 molekula ili tretiranje sa IFN-γ nezrelih i MoDĆ diferenciranih u prisustvu Poly (I:C) značajno je povećalo njihov alostimulatorni

potencijal. Povezivanje CD40 molekula na nezrelim MoDĆ dovelo je do povećanja produkcije IL-12 i IL-23, što je praćeno povećanjem produkcije IFN- γ tokom kokultivacije ovako stimulisanih ćelija i CD4 $^{+}$ T limfocita. Međutim, povezivanje CD40 molekula na MoDĆ pretretiranim sa Poly (I:C) dovelo je do povećanja produkcije IL-12, IL-23 i IL-10. Ovako stimulisane ćelije u kokulturi sa CD4 $^{+}$ T ćelijama dovele su do povećanja produkcije IL-17, a smanjenja produkcije IFN- γ i IL-10. Nezrele MoDĆ stimulisane sa IFN- γ produkovale su veći nivo IL-12, a u kokulturi sa CD4 $^{+}$ T limfocitima su dovele do smanjenja produkcije IL-5 i IL-17. Suprotno tome, tretman sa IFN- γ je doveo do smanjenja produkcije IL-12, a povećanja produkcije IL-10 od strane MoDĆ prethodno stimulisanih sa Poly (I:C). MoDĆ pripremljene na ovaj način su tokom kokultivacije sa T limfocitima dovele do smanjenja IFN- γ a povećanja nivoa IL-10.

Zaključak. Poly (I:C) dovodi do sazrevanja MoDĆ i stimulacije Th1 i Th17 imunskog odgovora. Primena veće koncentracije Poly (I:C) u kombinaciji sa loksoribinom utiče na karakteristike MoDĆ za polarizaciju Th1 imunskog odgovora. Kostimulacija MoDĆ sa Poly (I:C) i kurdlanom potencira efekte pojedinačnih agonista pa tako stimulisane MoDĆ indukuju snažniji Th1 i Th17 odgovor, u poređenju sa efektima pojedinačnih agonista. Povećanjem koncentracije Poly (I:C) u kombinaciji sa TNF- α moduliše se Th polarizujući potencijal MoDĆ od Th17 ka imunoregulatornom. IFN- γ i povezivanje CD40 molekula su aktivatori sazrevanja MoDĆ koje stimulišu razvoj Th1 odgovora. Ligacija CD40 molekula na MoDĆ aktiviranim Poly (I:C) usmerava sposobnost ovih ćelija da stimulišu Th17, a inhibiraju Th1 odgovor. U istom modelu IFN- γ inhibira Th1 odgovor, a stimuliše imunoregulatorne mehanizme. Dobijeni rezultati pokazuju veliku plastičnost u funkcionalnom odgovoru MoDĆ. Značajna imunogena svojstva Poly (I:C) koja su do sada iskorišćena u pripremi MoDĆ kao tumorskih vakcina se mogu dodatno pospešiti primenom stimulatora dektinskih receptora i TNF- α . Ipak neki od povoljnijih efekata mogu biti umanjeni ili usmereni u suprotnom pravcu dodavanjem solubilnog CD40L i IFN- γ . Ovi rezultati mogu pomoći u boljem razumevanju biološkog ponašanja MoDĆ nakon transfera *in vivo*.

Ključne reči: CD40, CD4 $^{+}$ T-ćelijski odgovor, Dektin-1 receptor, humane dendritske ćelije monocitnog porekla, imunoterapija tumora, IFN- γ , TNF- α , Toll-sličan receptor 3, Toll-sličan receptor 7

Naučna oblast: Fiziologija životinja i čoveka

Uža naučna oblast: Imunologija

UDK: 576: 612.017; 615: 616-006: 616-097

Modulation of the function of human monocyte derived dendritic cells by combined use of the endosomal Toll-like receptors, dectin-1 receptor agonists and proinflammatory cytokines

Abstract

Background/aim. Dendritic cells (DCs) are the most potent antigen presenting cells (APCs) which receive and integrate multiple signals to initiate and direct a response appropriate to extracellular milleu. These APCs perform these functions mostly due to the expression of a wide variety of pattern recognition receptors (PRRs). PRRs discriminate self-tissues from infectious non-self tissues through molecular pattern (MPs) recognition. Although triggering of a single pattern recognition receptor (PRR), especially Toll-like receptors (TLRs) or C-type lectins, results in phenotypic changes in DCs, for functional maturation cooperativity between multiple PRRs is needed in order to achieve an effective immune response.

Immune modulating strategies based on use of TLR-specific agonists are in the focus of current investigations in the field of tumor immunotherapy. There is currently much interest in the use of TLR3 agonist, Polyinosinic-polycytidylic acid (Poly (I:C)), in vaccine developement. Poly (I:C), a synthetic analogue of double stranded (ds)RNA, may be an appropriate activation agent for obtaining mature MoDCs competent to prime effective immune responses. TLR3 together with TLR7-9 represents a group of TLRs localized within an endosome specialised for recognition of nucleic acids. Cooperation of different TLR signals in the induction of immune responses is an emerging field in innate immune research. Therefore, we wanted to evaluate whether combined effect of Poly (I:C) and loxoribine, a selective TLR7 agonist, could be more advantageous over the use of single agonists for the maturation of MoDCs.

Recent studies have shown that the ligation of Dectin-1, C-type lectin receptor, on MoDCs elicits their maturation. Dectin-1, a DC-associated C-type lectin, is the first of many PRRs which mediate their own signaling and induces the maturation of DCs capable of eliciting the generation of different T helper (Th) effectors. The next aim of this work was to study the response of MoDCs to the combined effect of Poly (I:C) and curdlan, selective Dectin-1 agonists.

Tumor necrosis factor (TNF)- α is important for early DC maturation and as a bridge between initiation of the inflammatory cascade and generation of the antigen-specific response. To gain insight into this scientific problem we investigated the

kinetics of maturation and the length of exposure of MoDCs to a pathogen (mimicked by Poly (I:C) in our study) in an inflamed tissue (mimicked by TNF- α) on phenotypic and functional characteristics of MoDCs.

Finally, little is known about how subsequent interaction of MoDCs with T cell-derived stimuli, such as CD40 or interferon- γ (IFN- γ), modulates MoDC functions. Therefore, this problem was the last objective of this study.

Methods. Immature MoDCs (iMoDCs), generated from human monocytes, were treated with Poly (I:C) alone or in combination with loxoribine, curdlan or TNF- α for 48h. To investigate the influence of T-cell derived stimuli, MoDCs cultivated for 24h with Poly (I:C) alone or in combination with TNF- α were incubated either with CD40 ligand (L)-transfected J558 cells, soluble CD40L or IFN- γ for additional 24h. To examine the influence of kinetics of activation on the Th polarizing capability of MoDCs, we stimulated MoDCs with different doses of Poly (I:C) in combination with TNF- α for 24h and 48h. Phenotypic characteristics of MoDCs were determined by flow cytometry. Allostimulatory capability of MoDCs was tested using a mixed leukocyte reaction assay. Cytokine production was measured by ELISA and FlowCytomix.

Results. In preliminary experiments iMoDCs were treated with Poly (I:C) (5 μ g/ml, 10 μ g/ml, 25 μ g/ml and 50 μ g/ml), loxoribine (34 μ g/ml and 85 μ g/ml) or curdlan (10 μ g/ml, 50 μ g/ml, 100 μ g/ml and 200 μ g/ml). Based on phenotypic characteristics and functional capabilities of MoDCs, the concentrations of Poly (I:C) (25 μ g/ml), loxoribine (85 μ g/ml) and curdlan (100 μ g/ml) were found to be optimal for activation of MoDCs, while the concentrations of Poly (I:C) (10 μ g/ml) and loxoribine (34 μ g/ml) were found to be suboptimal. For stimulation of iMoDCs we used these concentrations of the agonists.

Optimal concentration of Poly (I:C) stimulated the maturation of MoDCs as judged by the up-regulation of HLA-DR, CD86, CD40, CD54, CD83 and CCR7 expression. Poly (I:C)-treated MoDCs were potent producers of interleukin (IL)-12, moderate producers of IL-23 and weak producers of IL-10, which was followed by high production of IFN- γ and moderate production of IL-17 by allogeneic CD4 $^{+}$ T cells.

The combined treatment of MoDCs with suboptimal concentrations of TLR3 and TLR7 agonists resulted in slight potentiation of HLA-DR, CD86, CD83, CD54 and CD40 molecules and stimulation of IL-27, IL-23 and IL-10 secretion, compared to effects of single agonists. This was followed by up-regulated secretion of IFN- γ and IL-17 in the

co-culture with allogeneic CD4⁺ T cells. When the suboptimal concentration of Poly (I:C) was combined with the optimal concentration of loxoribine, MoDCs down-regulated HLA-DR and up-regulated CD86 expression, enhanced the production of IL-12 and IL-23 and down-regulated the levels of IL-10 and IL-27, compared to the effects of single agonists. MoDCs pretreated in this way stimulated the production of IFN- γ and lowered the levels of IL-4 and IL-10 by CD4⁺ T cells. The treatment of MoDCs with optimal concentrations of both TLR agonists was followed by down-regulation of HLA-DR, CD83 and CD40 expression and augmented the production of IL-12, IL-27 and IL-10, whereas the level of IL-23 was significantly lower, compared to relevant controls. These MoDCs promoted the production of IFN- γ and inhibited the production of IL-4, IL-10 and IL-17 in co-culture, compared to the effect of corresponding controls.

The combination of Poly (I:C) and curdlan induced phenotypic maturation of MoDCs with the capability to stimulate alloreactive response. Such treated MoDCs up-regulated the production IL-12, IL-23 and IL-10, compared to the effect of Poly (I:C), alone. The opposite effect was observed for IFN- γ production. When combined, these agonists primed MoDCs to further increase the production of IFN- γ by CD4⁺ T cells in co-culture, especially those of naïve (CD45RA⁺) phenotype, and IL-17 by memory (CD45RO⁺) CD4⁺ T cells.

MoDCs stimulated with optimal concentration of Poly (I:C) and TNF- α up-regulated the expression of CD80, CD86 and CD54 molecules and lowered the production of IL-12 which was followed with inhibition of cellular proliferation and IFN- γ production in co-culture with allogeneic CD4⁺ T cells, compared to the effect of Poly (I:C)-treated MoDCs. Dose- and time- dependent effect of Poly (I:C) and TNF- α on the functions of MoDCs were more pronounced after 24h than 48h of stimulation, as judged by down-regulation of IL-12 and IL-23 production by this cells and reduced levels of IFN- γ and IL-17 in co-cultures with CD4⁺ T cells. The influence of CD40:CD40L interaction was most prominent in the case of production of IL-12 when MoDCs were pretreated with the highest dose of Poly (I:C) and TNF- α . This effect was reflected on reduced production of IFN- γ by allogeneic CD4⁺ T cells co-cultured with MoDCs treated with this combination. The addition of CD40L lessen the levels of IL-23 and increased the production of IL-10 in cultures of MoDCs stimulated with the highest dose of Poly

(I:C) and TNF- α which was reflected on significant reduction of the levels of IL-17 and up-regulation of IL-10 produced by allogeneic CD4 $^{+}$ T cells.

Ligation of CD40 or treatment with IFN- γ of iMoDCs or Poly (I:C)-treated MoDCs significantly up-regulated their allostimulatory activity. Ligation of CD40 on iMoDCs up-regulated the production of IL-12 and IL-23 which was accompanied by increased secretion of IFN- γ in co-culture. Stimulation of CD40 on Poly (I:C)-treated MoDCs significantly enhanced the production of IL-12, IL-23 and IL-10. However, such treated MoDCs decreased the production of IFN- γ and IL-10 and up-regulated the secretion of IL-17. iMoDCs treated with IFN- γ up-regulated IL-12 production, but lowered the production of IL-5 and IL-17 by CD4 $^{+}$ T cells. Treatment of Poly (I:C)-activated MoDCs with IFN- γ down-regulated the production of IL-12 and up-regulated IL-10 by these cells and increased/decreased the levels of IL-10/ IFN- γ , respectively, in co-culture with CD4 $^{+}$ T cells.

Conclusions. Higher concentrations of Poly (I:C) combined with loxoribine divert Th polarizing capabilities of MoDCs from Th1 and Th17 towards Th1. Co-stimulation of MoDCs with Poly (I:C) and curdlan induces superior Th1 and Th17 immune responses, compared to effects of single agonists. Higher concentrations of Poly (I:C) combined with TNF- α redirect Th polarizing capabilities of MoDCs from Th17-promoting to immunoregulatory influence. Ligation of CD40 on iMoDCs induces their maturation into a phenotype that supports Th1 response, while on Poly (I:C)-treated MoDCs the immune response shifts towards Th17. Treatment of iMoDCs with IFN- γ down-regulated Th2 and Th17 responses, while adding IFN- γ to Poly (I:C)-activated MoDCs down-regulated Th1 response and promoted T-regulatory mechanisms. Each of these findings may have therapeutic implications for the use of MoDCs in immunotherapy.

Key words: CD40, Dectin-1 receptor, human monocyte-derived dendritic cells, IFN- γ , TNF- α , T helper immune response, Toll-like receptor 3, Toll-like receptor 7, tumor immunotherapy

Scientific field: Animal and human physiology

Narrower scientific field: Immunology

UDC: 576: 612.017; 615: 616-006: 616-097

SADRŽAJ

1.	UVOD	1
1.1.	Karakteristike dendritskih ćelija.....	2
1.1.1.	<i>Toll-slični receptori</i>	6
1.1.2.	<i>Lektinski receptori C-tipa</i>	9
1.1.2.1.	Imunomodulacija fenotipa i funkcija dendritskih ćelija aktivacijom dektin-1 receptora	9
1.2.	Poreklo dendritskih ćelija	11
1.3.	Klasifikacija dendritskih ćelija	14
1.3.1.	<i>Konvencionalne dendritske ćelije</i>	14
1.3.2.	<i>Plazmacitoidne dendritske ćelije</i>	17
1.4.	<i>In vitro</i> priprema dendritskih ćelija	19
1.5.	Uloga dendritskih ćelija u polarizaciji imunskog odgovora	21
1.6.	Struktura TNF- α , receptori za TNF- α i biološki efekti TNF- α	24
1.7.	Struktura, receptori i biološki efekti IFN- γ	26
1.8.	Značaj CD40:CD40L interakcije u ćelijskom imunskom odgovoru	28
1.9.	Terapeutski potencijal dendritskih ćelija	29
2.	HIPOTEZA I CILJEVI ISTRAŽIVANJA	32
3.	MATERIJALI I METODE	35
3.1.	Medijumi, hemikalije, supstance.....	36
3.1.1.	<i>Medijumi</i>	36
3.1.1.1.	RPMI 1640	36
3.1.1.2.	PBS (Phosphate Buffered Saline)	36
3.1.1.3.	Pufer za magnetno sortiranje	37
3.1.1.4.	K-PBS.....	37
3.1.2.	<i>Citokini</i>	37
3.1.2.1.	Rekombinantni humani GM-CSF (rhGM-CSF)	37
3.1.2.2.	Rekombinantni humani IL-4 (rhIL-4).....	37
3.1.2.3.	Rekombinantni humani (rhTNF- α)	37
3.1.2.4.	Rekombinantni humani (rhIFN- γ).....	38
3.1.3.	<i>Imunomodulatorne i druge supstance</i>	38
3.1.3.1.	Poliinosinsko-policitidilinska kiselina, (Poly (I:C))	38
3.1.3.2.	Loksoribin (Loxoribine)	38
3.1.3.3.	Kurdlan (Curdlan).....	38
3.1.3.4.	Rekombinantni humani ligand za CD40 molekul (CD40 ligand, CD40L)	39
3.1.3.5.	2-merkaptoetanol (2-ME)	39
3.1.3.6.	Radioaktivno obeležen timidin.....	39
3.1.3.7.	Limfoprep gradijent za izdvajanje humanih mononuklearnih ćelija (Lymphoprep)	39
3.1.3.8.	Monenzin (monensin sodium)	39
3.2.	Izolacija i kultivacija humanih mononukelarnih ćelija iz periferne krvi	40
3.2.1.	<i>Izolacija humanih mononuklearnih ćelija iz periferne krvi.....</i>	40
3.2.2.	<i>Izolacija monocita periferne krvi.....</i>	40
3.2.3.	<i>Dobijanje i kultivacija dendritskih ćelija monocitnog porekla (MoDĆ)</i>	41
3.2.4.	<i>Izolacija alogenih CD4$^{+}$ T limfocita tehnikom magnetnog sortiranja.....</i>	41
3.2.5.	<i>Izolacija alogenih naivnih (CD45RA$^{+}$) i memorijskih (CD45RO$^{+}$) T limfocita imunomagnetsnim sortiranjem ukupnih CD4$^{+}$ T limfocita.....</i>	42
3.3.	Fenotipske karakteristike MoDĆ	43
3.3.1.	<i>Monoklonska antitela</i>	43
3.3.2.	<i>Protočna citofluorimetrija</i>	43
3.4.	Funkcionalne karakteristike MoDĆ	44

3.4.1.	<i>Alostimulatorni potencijal MoDĆ</i>	44
3.4.2.	<i>Određivanje produkovanih citokina od strane kultivisanih MoDĆ</i>	45
3.4.2.1.	IL-12p70	45
3.4.2.2.	IL-27.....	46
3.4.2.3.	IL-23.....	47
3.4.2.4.	IL-10.....	48
3.4.2.5.	IL-6.....	49
3.4.2.6.	TNF-α.....	50
3.4.3.	<i>Određivanje citokina produkovanih od strane T limfocita u kokulturi sa MoDĆ</i>	51
3.4.3.1.	IL-17.....	51
3.4.3.2.	IL-5.....	52
3.4.3.3.	IL-10.....	53
3.4.3.4.	IFN-γ i IL-2	54
3.4.3.5.	Intracitoplazmatska detekcija citokina aktivisanih T limfocita.....	56
3.5.	Statistička obrada podataka.....	56
4.	REZULTATI.....	57
4.1.	<i>Uticaj Poly (I:C) na diferencijaciju nezrelih humanih MoDĆ</i>	58
4.1.1.	<i>Uticaj Poly (I:C) na morfološke i fenotipske karakteristike MoDĆ</i>	58
4.1.2.	<i>Alostimulatorna aktivnost MoDĆ stimulisanih sa Poly (I:C)</i>	60
4.1.3.	<i>Producija citokina od strane MoDĆ stimulisanih sa Poly (I:C)</i>	61
4.1.4.	<i>Producija citokina u kokulturi alogenih CD4⁺ T limfocita i MoDĆ stimulisanih u prisustvu Poly (I:C)</i>	62
4.2.	<i>Uticaj kombinovane primene Poly (I:C) i loksoribina na diferencijaciju nezrelih humanih MoDĆ</i>	64
4.2.1.	<i>Efekti kombinacije Poly (I:C) i loksoribina na fenotipske karakteristike MoDĆ</i>	64
4.2.2.	<i>Efekat kombinovane primene Poly (I:C) i loksoribina na produkciju citokina od strane MoDĆ</i>	66
4.2.3.	<i>Producija citokina u kokulturi alogenih CD4⁺ T limfocita i MoDĆ stimulisanih kombinacijom Poly (I:C) i loksoribina</i>	68
4.3.	<i>Uticaj kurdlana i njegove kombinacije sa Poly (I:C) na diferencijaciju nezrelih humanih MoDĆ</i>	70
4.3.1.	<i>Efekat kurdlana i njegove kombinacije sa optimalnom koncentracijom Poly (I:C) na fenotipske karakteristike MoDĆ</i>	71
4.3.2.	<i>Alostimulatorni potencijal MoDĆ stimulisanih kurdlanom i njegovom kombinacijom sa Poly (I:C)</i>	73
4.3.3.	<i>Kombinovani efekat Poly (I:C) i kurdlana na produkciju citokina od strane MoDĆ</i>	74
4.3.4.	<i>Uticaj kombinovane primene Poly (I:C) i kurdlana na potencijal MoDĆ da usmere efektorske funkcije CD4⁺ T limfocita</i>	75
4.4.	<i>Efekat kombinovane primene Poly (I:C) i TNF-α na diferencijaciju MoDĆ</i>	79
4.4.1.	<i>Efekat kombinovane primene optimalne koncentracije Poly (I:C) i TNF-α na fenotipska svojstva MoDĆ</i>	79
4.4.2.	<i>Alostimulatorni potencijal MoDĆ stimulisanih kombinacijom optimalne koncentracije Poly (I:C) i TNF-α</i>	81
4.4.3.	<i>Producija citokina od strane MoDĆ stimulisanih kombinacijom optimalne koncentracije Poly (I:C) i TNF-α</i>	82
4.4.4.	<i>Dozno- i vremenski- zavisn efekat kombinacije Poly (I:C) i TNF-α na produkciju citokina od strane MoDĆ</i>	84
4.4.5.	<i>Dozno- i vremenski- zavisn efekat kombinovane primene Poly (I:C) i TNF-α na Th polarizacionu aktivnost MoDĆ</i>	86
4.4.6.	<i>Efekat povezivanja CD40 molekula na produkciju citokina i Th polarizacionu aktivnost MoDĆ pretretiranih kombinacijom Poly (I:C) i TNF-α</i>	88

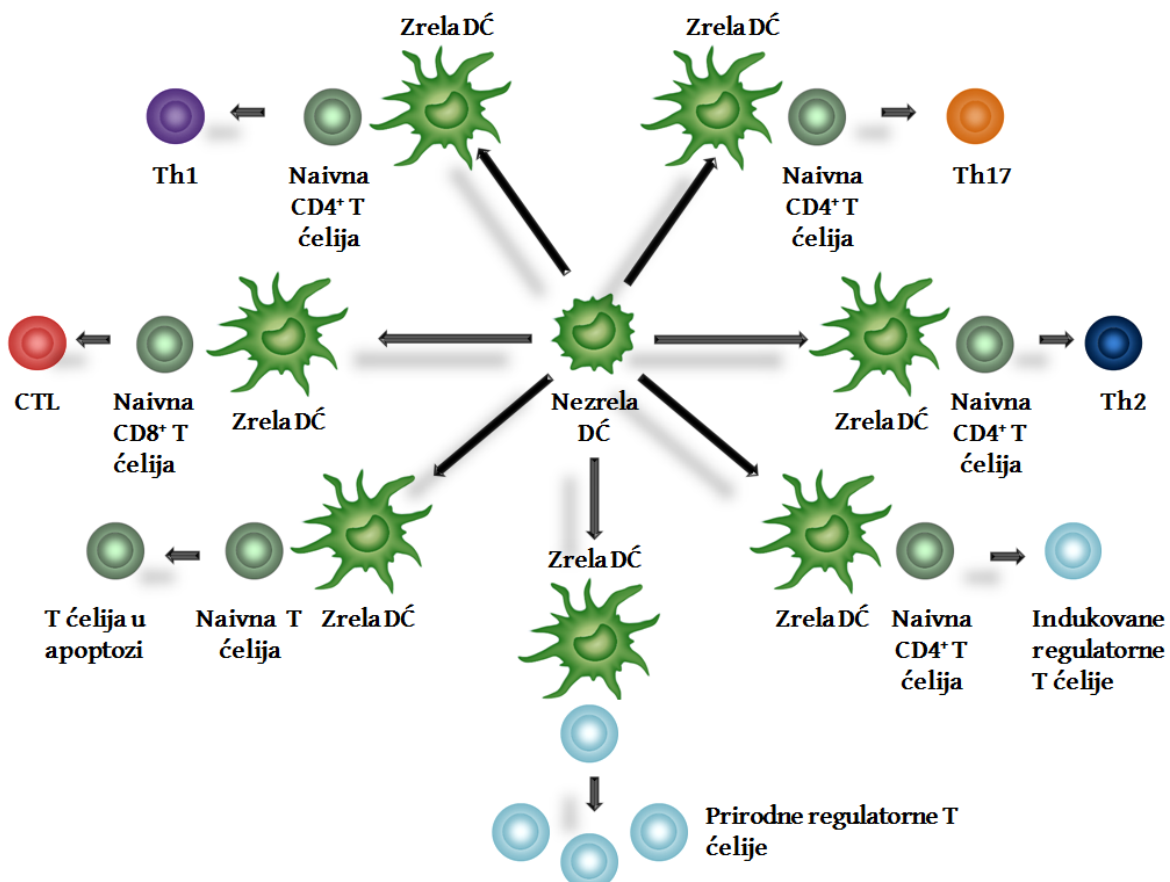
4.5.	Uticaj IFN- γ i povezivanja CD40 molekula na funkcionalne karakteristike MoDĆ diferenciranih u prisustvu Poly (I:C)	92
4.5.1.	<i>Uticaj IFN-γ i povezivanja CD40 molekula na produkciju citokina od strane MoDĆ stimulisanih sa Poly (I:C).....</i>	92
4.5.2.	<i>Uticaj IFN-γ i povezivanja CD40 molekula na alostimulatornu aktivnost MoDĆ diferenciranih u prisustvu Poly (I:C)</i>	93
4.5.3.	<i>Uticaj IFN-γ i povezivanja CD40 molekula na Th polarizacionu aktivnost MoDĆ diferenciranih u prisustvu Poly (I:C)</i>	95
5.	DISKUSIJA	97
5.1.	Uticaj Poly (I:C) na diferencijaciju nezrelih humanih MoDĆ	99
5.2.	Uticaj kombinovane primene Poly (I:C) i loksoribina na diferencijaciju nezrelih humanih MoDĆ	102
5.3.	Uticaj kurdlana i njegove kombinacije sa Poly (I:C) na diferencijaciju nezrelih humanih MoDĆ	107
5.4.	Efekat kombinovane primene Poly (I:C) i TNF- α na diferencijaciju MoDĆ	112
5.5.	Uticaj povezivanja CD40 molekula i IFN- γ na funkcionalne karakteristike MoDĆ diferenciranih u prisustvu Poly (I:C)	119
5.6.	Terapeutski potencijal DĆ diferenciranih u prisustvu agonista endozomnih toll-sličnih receptora, dektin-1 receptora i proinflamatornih citokina	122
6.	ZAKLJUČCI	124
7.	LITERATURA	127
8.	PRILOZI	162
9.	BIOGRAFIJA AUTORA.....	198

1. UVOD

Imunski sistem je evoluirao sa ciljem da održi homeostazu u organizmu štiteći ga od širokog spektra patogena spoljašnje sredine. Komponente ovog jedinstvenog sistema odbrane, urođeni i stečeni imunitet, udružuju svoje efektorske mehanizme u cilju što efikasnije eliminacije patogena. Urođeni imunski sistem predstavlja prvu liniju odbrane i ima ključnu ulogu u kontroli infekcije tokom vremenskog perioda neophodnog za pokretanje efektorskih mehanizama stečenog imuniteta (Janeway i Medzhitov, 2002). Stečeni imunitet je evoluirao kasnije u odnosu na urođeni i zasniva se na specifičnom prepoznavanju antiga od strane receptora na T limfocitima i antitela. Pretpostavka o prefinjenoj ulozi urođene imunosti kao sistema koji precizno detektuje tip patogena koji narušava homeostazu organizma (Janeway, 1992) potvrđena je nakon identifikacije receptora koji prepoznaju evolutivno konzervirane strukture patogena (tzv. molekularne obrasce karakteristične za patogene (engl. Pathogen-Associated Molecular Patterns, PAMP) (Medzhitov i sar., 1997; Medzhitov i Janeway, 1997). Dendritske ćelije imaju ključnu ulogu u aktivaciji, regulaciji i povezivanju ove dve grane imunskog sistema zahvaljujući svojim jedinstvenim morfološkim, fenotipskim i funkcionalnim karakteristikama (Banchereau i Steinman, 1998).

1.1. Karakteristike dendritskih ćelija

Dendritske ćelije (DĆ) predstavljaju sistem antigen-prezentujućih ćelija (APĆ) koje efikasno stimulišu komponente urođenog i stečenog imuniteta integrišući njihove efektorske mehanizme u jedinstveni imunski odgovor. Jedan od podtipova DĆ, Langerhansove ćelije (LĆ), kao zasebna populacija ćelija opisane su još 1868. godine (Langerhans, 1868). Nova vrsta ćelija, identifikovana u slezini miša, je na osnovu jedinstvenih morfoloških karakteristika, izraženih dužih i kraćih citoplazmatskih nastavaka, nazvana dendritskim ćelijama 1973. godine (Steinman i Cohn, 1973). Potencijal ovih ćelija da stimulišu T-ćelijski imunski odgovor pokazan je pet godina kasnije u mešanoj leukocitnoj kulturi (Steinman i Witmer, 1978) i potvrđen u brojnim studijama koje su usledile.



Slika 1. Funkcije dendritskih ćelija u ćelijskom imunskom odgovoru

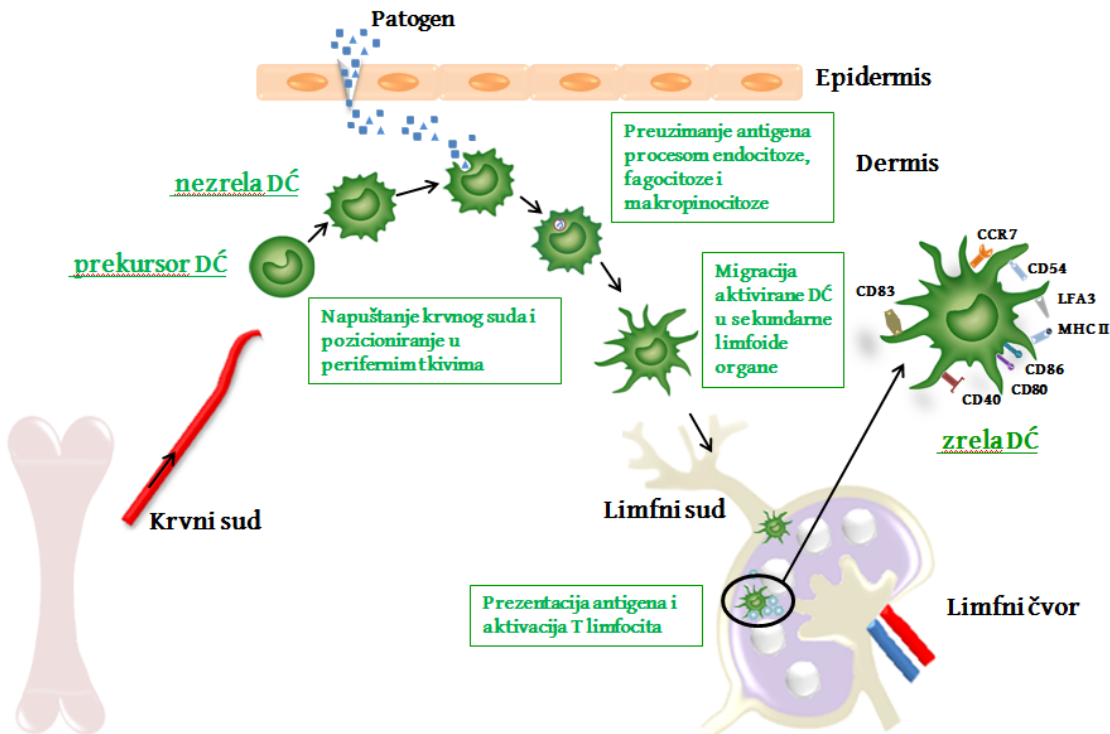
U poređenju sa drugim APĆ, makrofagama i B limfocitima, ove ćelije se izdvajaju kao najznačajnije APĆ zbog svoje jedinstvene sposobnosti da aktiviraju naivne CD4⁺ i CD8⁺ T limfocite i obezbede signale neophodne za njihovu potpunu aktivaciju (Banchereau i Steinman, 1998; Steinman i Hemmi, 2006) (Slika 1). Pored ove ključne uloge u ćelijskom imunskom odgovoru, DĆ su važne za pokretanje humoralne imunosti aktiviranjem B limfocita (Jego i sar., 2005; Qi i sar., 2006), dok u okviru urođene imunosti aktiviraju ćelije prirodne ubice (engl. natural killer, NK) (Lucas i sar., 2007) i NKT ćelije (Fujii i sar., 2002). Takođe, DĆ imaju centralnu ulogu u uspostavljanju imunološke tolerancije u timusu i perifernim organima (Steinman i sar., 2003).

Za obavljanje pomenutih brojnih, često i međusobno suprotstavljenih, funkcija neophodna je uska specijalizacija subpopulacija u okviru ovog heterogenog sistema APĆ.

DĆ se morfološki karakterišu prisustvom brojnih dendritskih nastavaka pomoću kojih stupaju u blizak kontakt sa ostalim ćelijama imunskog sistema. U zavisnosti od svog porekla, stepena zrelosti i funkcionalnog statusa, DĆ se mogu fenotipski karakterisati različitim nivoom ekspresije molekula glavnog kompleksa histokompatibilnosti klase I i II (engl. major histocompatibility complex, MHC); CD1(a-e) molekula koji prezentuju lipidne i glikolipidne antigene endogenog i egzogenog porekla; kostimulatornih molekula: B7 familije, B7.1 (CD80) i B7.2 (CD86), i CD40 molekula; adhezivnih molekula koji pripadaju klasi integrina ili receptora za integrine: molekula CD11 familije (CD11a, CD11b i CD11c), CD54 (intraćelijski adhezivni molekul-1, engl. intracellular adhesion molecule, ICAM-1), familije antiga asociranih sa funkcijom leukocita (engl. leukocyte function-associated antigen, LFA) i markera zrelih DĆ, CD83 molekula (Banchereau i sar., 2000; Liu i sar., 2001; Wu i Dakic, 2004; Steinman i Hemmi, 2006).

Prema tradicionalnom stanovištu, DĆ su strateški pozicionirane tako da se nalaze na mestima kontakta sa spoljašnjom sredinom, uključujući kožu, creva i pluća (Nelson i Loffert, 1994; Nestle i sar., 1993; Sertl i sar., 1986), gde imaju ulogu nadzornika koji detektuje "opasne" signale, pa regrutuje i aktivira ostale ćelije imunskog sistema (Fernandez i sar., 1999; Foti i sar., 1999; Rescigno i sar., 1998). Fenotipski i funkcionalno nezrele DĆ se odlikuju izraženim svojstvima internalizacije i proteolitičke obrade antiga (Banchereau i Steinman, 1998). Nezrele DĆ ispoljavaju nizak nivo MHC molekula klase II kao i kostimulatornih i adhezivnih molekula CD40, CD54, CD80 i CD86 (Sallusto i Lanzavecchia, 1994). DĆ mogu biti aktivirane brojnim signalima, među koje spadaju patogeni, apoptotične ćelije, produkti inflamacije, kao i ostale ćelije imunskog sistema. DĆ se odlikuju izuzetnom plastičnošću i sposobnošću prilagođavanja svog odgovora u zavisnosti od tipa stimulusa kome su izložene. Na primer, ove ćelije su sposobne da naprave razliku između pristupa infekcije i inflamacije. *In vitro* studije su pokazale da su proinflamatorni medijatori manje efikasni od patogena u pogledu aktivacije DĆ. DĆ izložene dejstvu proinflamatornih medijatora su efikasne u stimulisanju proliferacije T limfocita, ali ne i stvaranju efektorskih CD4⁺ T limfocita. Sa druge strane, izlaganje DĆ patogenima dovodi do kompletne aktivacije DĆ koje pokreću

odgovarajući CD4⁺ T-ćelijski odgovor (Sporri i Reis e Sousa, 2005). Dakle, priroda signala koje DĆ detektuju u svojoj mikrosredini utiče na karakteristike stečenog imunskog odgovora koji će one pokrenuti. Nakon aktivacije, DĆ menjaju morfologiju koja se ogleda u reorganizaciji citoskeleta, gubitku adhezivnih struktura i povećanju pokretljivosti ćelija. Aktivirane DĆ ispoljavaju hemokinski receptor 7 (engl. chemokine receptor 7, CCR7) zahvaljujući kome migriraju u sekundarne limfne organe i na taj način povezuju mesta inicijacije imunskog odgovora sa perifernim inficiranim tkivima. Naime, blizak kontakt između aktiviranih DĆ i T limfocita je prvi korak u efikasnom pokretanju imunskog odgovora. Migracija je praćena sazrevanjem koje se ogleda u smanjenju kapaciteta obrade antiga i povećanju sposobnosti njihove prezentacije, povećanju ekspresije kostimulatornih molekula i produkcijom citokina (Banchereau i Steinman, 1998). Fenomen sazrevanja DĆ je pokazan u *in vitro* i *in vivo* eksperimentima. Najpre je u *in vitro* studijama pokazano da LĆ nakon 2-3 dana kultivacije efikasnije stimulišu proliferaciju T limfocita u odnosu na proliferativni odgovor indukovani sveže izolovanim LĆ koje su, sa druge strane, efikasnije u prezentaciji peptidnih antiga (Schuler i Steinman, 1985; Romani i sar., 1989). Sekvencijalno smenjivanje funkcija DĆ tokom njihove migracije potvrđeno je i *in vivo*. Nakon stimulacije lipopolisaharidom (engl. lipopolysaccharide, LPS) ili ekstratkom *Toxoplasma gondii*, dolazi do redistribucije DĆ slezine iz marginalne zone i crvene pulpe, gde obrađuju antigene, u belu pulpu, u kojoj su lokalizovane T ćelije kojima prezentuju antigene (De Smedt i sar., 1996; Reis e Sousa i sar., 1997). Razvojni put, tzv. "paradigma Langerhansovih ćelija", predstavlja prototip životnog ciklusa DĆ (Villadangos i Heath, 2005) (*Slika 2*).



Slika 2. Aktivacija i sazrevanje dendritskih ćelija

DĆ imaju sposobnost da detektuju patogene zahvaljujući receptorima za prepoznavanje molekularnih obrazaca patogena (engl. pattern recognition receptors, PRR) (Akira, 2009). Određeni tip patogena se odlikuje jedinstvenom kombinacijom PAMP. PRR je velika familija receptora među kojima su do sad najbolje okarakterisane subfamilije Toll-sličnih receptora (engl. Toll like receptors, TLR) i lektinskih receptora C-tipa (engl. C-type lectin receptors, CLR).

1.1.1. Toll-slični receptori

TLR su najveća familija receptora urođene imunosti koja je do sada identifikovana. Njihovo otkriće je vezano za eksperimente koji su pokazali da su mutanti za Toll protein *Drosophila melanogaster* vrlo podložni gljivičnim infekcijama. Tokom embriogeneze vinske mušice Toll protein je neophodan za uspostavljanje dorzo-ventralne ose, dok kod odraslih mušica ima ulogu u razviću imunosti na gljivice. Homologni sistem receptora je na osnovu homologije sa Toll proteinom identifikovan i kod sisara (Hoffmann i sar., 1996; Lemaitre i sar., 1996; Medzhitov i sar., 1997). Otkriće TLR je bilo od suštinskog značaja, slično kao i

otkriće receptora na limfocitima, za razumevanje kompleksnosti urođenog imunskog odgovora i mehanizama kojima se uspostavlja balans između zaštitnog imunskog odgovora i imunopatologije.

TLR su transmembranski proteini tipa I izgrađeni od ekstraćelijskog domena koji prepoznaće ligande i sadrži ponovke bogate leucinom, transmembranskog regiona i intraćelijskog domena homologog receptoru za IL-1 koji je neophodan za prenos signala u ćeliju (engl. Toll-interleukin 1 receptor domain, TIR) (Medzhitov i sar., 1997). Do sada je identifikovano 10 humanih i 12 TLR u mišjem sistemu. TLR1-9 su konzervisane strukture u oba sistema. TLR10 je funkcionalan kod ljudi, dok je kod miševa njegova funkcija poremećena insercijom endogenog retrovirusa. Ligand za TLR10 još uvek nije poznat. TLR 11-13 nisu prisutni u humanom genomu (Kawai i Akira, 2010). Funkcionalne analize pojedinačnih TLR receptora su pokazale da svaki član prepoznaće različite molekulske obrasce mikroorganizama i to u okviru plazma membrane, endozoma, lizozoma i endolizozoma (Akira i sar., 2006). Receptori su pozicionirani tako da se osigura kolokalizacija sa odgovarajućim ligandima, ali i da se spreči interakcija sa „sopstvenim“ molekulima i održi imunološka tolerancija. Sve više podataka ide u prilog tome da se u određenim patološkim stanjima za TLR vezuju i endogeni molekuli što može biti povezano sa razvojem autoimunskih bolesti (Kawai i Akira, 2010).

TLR su klasifikovani u dve grupe u zavisnosti od lokalizacije i odgovarajućih liganada. U prvu grupu su svrstani TLR1, TLR2, TLR4, TLR5, TLR6 i TLR11 koji su ispoljeni na plazma membrani i prepoznaju komponente membrana patogena, uključujući lipide, lipoproteine i proteine.

Prvi sisarski homolog Toll proteina, TLR4, identifikovan je 1998. godine kao receptor za LPS kodiran Lps lokusom (Poltorak i sar., 1998). LPS je komponenta membrane Gram-negativnih bakterija i uzročnik je septičkog šoka. TLR4 i mijeloidni faktor diferencijacije 2 (engl. myeloid differentiation factor 2, MD2) formiraju kompleks za koji se vezuje LPS (Park i sar., 2009; Akashi-Takamura i Miyake, 2008). TLR2 prepoznaće širok spektar PAMP poreklom od bakterija, virusa, mikoplazme i gljivica (Akira i sar., 2006). Ligandi za TLR2 su lipoproteini bakterija, peptidoglikan i lipotejhnoična kiselina Gram-pozitivnih bakterija,

lipoarabinomanan mikoplazme, zimozan gljivica i hemaglutinin virusa iz Paramyxovirus familije. TLR2 formira heterodimere sa TLR1 ili sa TLR6. TLR1/TLR2 kompleks prepoznaje triacil lipopeptide Gram-negativnih bakterija i mikoplazme, a TLR2/TLR6 kompleks vezuje diacil lipopeptide Gram-pozitivnih bakterija i mikoplazme (Jin i sar., 2007; Kawai i Akira, 2010). TLR5 je najviše ispoljen na DĆ *lamina propria* u tankom crevu gde prepoznaje flagelin, protein bakterijskih flagela (Akira i sar., 2006). TLR11 je prisutan kod miševa u bubrežima i bešici gde prepoznaje uropatogene bakterije. Njegov homolog u humanom sistemu je TLR5 (Zhang i sar., 2004; Yarovinsky i sar., 2005).

Drugu grupu ovih receptora čine TLR3, TLR7, TLR8 i TLR9 koji se isključivo nalaze u intraćelijskim vezikulama, uključujući endoplazmatski retikulum (ER), endozome, lizozome i endolizozome gde prepoznaju nukleinske kiseline (Akira i sar., 2006; Kawai i Akira, 2010). TLR3 prepoznaje dvolančanu RNK poreklom od virusa i njen sintetski analog, poliinosinski:policitidilinski kiselinsku (engl. polyinosinic:polycytidylic acid, Poly (I:C)) (Akira i sar., 2006). TLR3 prepoznaje i genomsku RNK reovirusa, dvolančanu RNK koja nastaje tokom replikacije virusa koji imaju jednolančanu RNK i pojedine male interferirajuće RNK (Kawai i Akira, 2010). TLR7 je najpre okarakterisan kao receptor koji prepoznaje derivate imidazokvinolina (imikvimod i rezikvimod) i analoge guanina (loksoribin). Pored ovih analoga purina, mišji TLR7/8 i humani TLR7 vezuju virusnu jednolančanu RNK i male interferirajuće RNK (Hornung i sar., 2005; Akira i sar., 2006). Humani TLR8 prepoznaje jednolančanu RNK i jedinjenje rezikvimod (Akira i sar., 2006). Ligandi za TLR9 su nemetilovana DNK sa CpG motivima poreklom od bakterija i virusa (Haas i sar., 2008) i nerastvorljivi kristal hemozin koji predstavlja nusprodukt digestije hemoglobina od strane parazita *Plasmodium falciparum* (Coban i sar., 2010). TLR3, TLR7 i TLR9 se nalaze u ER i nakon stimulacije se transportuju u endolizozome. Sprečavanje acidifikacije endolizozoma dovodi do izostanka efekata karakterističnih za stimulaciju ovih receptora što ukazuje na to da se u endolizozomima odvija interakcija liganada sa ovim receptorima (Kim i sar., 2008). Translokacija receptora se nalazi pod kontrolom proteina ER, UNC93B1. UNC93B1 se specifično vezuje za transmembranske regione TLR3, TLR7 i TLR9 u ER (Brinkmann i sar., 2007). Kod miševa koji su mutanti za ovaj protein javljaju se

poremećaji u produkciji citokina i ekspresiji kostimulatornih molekula, kao i povećana podložnost infekcijama od strane bakterija i virusa čiji su PAMP ligandi za TLR3, TLR7 i TLR9 (Tabeta i sar., 2006).

1.1.2. Lektinski receptori C-tipa

Lektinski receptori C-tipa (engl. C-type lectin receptor, CLR) prepoznaju antigene koji su po strukturi ugljeni hidrati, prisutni kod širokog spektra patogena (Figdor i sar., 2002; Geijtenbeek i sar., 2004). Ekspresija CLR je specifična za određene subpopulacije DĆ, pa je tako BDCA-2 karakterističan za plazmacitoidne DĆ (Dzionački i sar., 2001), langerin (CD207) za LĆ (Valladeau i sar., 2000), a DC-SIGN (engl. DC-specific intercellular adhesion molecule-3 (ICAM-3)-grabbing non-integrin, CD209) je specifičan za intersticijalne DĆ (Geijtenbeek i sar., 2000a; Geijtenbeek i sar., 2000b). Poznato je da CLR imaju brojne funkcije. DC-SIGN stupa u interakcije sa: CD11b/CD18 i CEACAM 1 (engl. carcinoembryonic antigen (CEA)-related cellular adhesion molecule 1) ispoljenim na neutrofilima i time posreduje u aktivaciji DĆ od strane neutrofila (van Gisbergen i sar., 2005); ICAM-2 ispoljenim na ćelijama endotela čime se omogućava migracija DĆ iz krvnih i limfnih sudova u periferna tkiva i ICAM-3 koji je ispoljen na T limfocitima čime se olakšava njihova aktivacija od strane DĆ (Geijtenbeek i sar., 2000a). Neki od CLR, poput DC-SIGN i dektina-1, u citoplazmatskom domenu poseduju imunoreceptor tirozinske aktivacione sekvene (engl. immunoreceptor tyrosine-based activation motif, ITAM) putem kojih prenose aktivacione signale DĆ (Geijtenbeek i sar., 2000a; Ariizumi i sar., 2000; Brown, 2006). Sa druge strane, DCIR (engl. dendritic cell immunoreceptor) i MICL (engl. myeloid inhibitory C-type lectin receptor) u citoplazmatskom domenu imaju imunoreceptor tirozinske inhibitorne sekvene (engl. immunoreceptor tyrosine-based inhibitory motif, ITIM) čija funkcija nije u potpunosti ispitana (Bates i sar., 1999; Marshall i sar., 2004).

1.1.2.1. Imunomodulacija fenotipa i funkcija dendritskih ćelija aktivacijom dektin-1 receptora

Imunomodulatori su jedinjenja koja pri interakciji sa imunskim sistemom menjaju karakteristike imunskog odgovora pospešujući ili smanjujući neka njegova

svojstva. Primena imunomodulatora ima za cilj manipulisanje imunskim sistemom u cilju njegove kontrole, posebno razvoja efikasnijeg imunskog odgovora, uključujući i pospešivanje anti-tumorskog imunskog odgovora (Tzianabos, 2000).

Polisaharidi su jedna od klasa imunomodulatora a među njima su najznačajniji β -glukani. β -glukani su polimeri glukoze koji se sastoje od $\beta(1\rightarrow3)$ skeleta za koji su vezane β -D-glukoporanozil jedinice sa $\beta(1\rightarrow4)$ ili $\beta(1\rightarrow6)$ bočnim lancima varijabilne dužine. β -glukani su komponente ćelijskog zida gljivica, kvasaca i bakterija, a sadrže ih i ovas i ječam. Ova jedinjenja se ne nalaze kod životinja i predstavljaju molekulske obrasce koji pokreću mehanizme urođene i adaptivne imunosti (Brown i Gordon, 2001; Brown i Gordon, 2005). Efekti koje β -glukani imaju na komponente imunskog sistema zavise od njihove molekulske mase, konformacije, dužine bočnih lanaca, stepena grananja i rastvorljivosti (Zekovic i sar., 2005). β -glukani velike molekulske mase (>100 kDa), poput zimozana, pokreću fagocitne i antimikrobne aktivnosti makrofaga kao i produkciju proinflamatornih citokina i hemokina (Fadok i sar., 2000; Brown, 2006; Czop, 1986). β -glukani srednje i male molekulske mase (5-10 kDa) sa niskim stepenom grananja su biološki neaktivni (Zekovic i sar., 2005; Miyazaki i sar., 1979). β -glukani rastvorljivi u vodi su snažniji imunomodulatori od nerastvorljivih (Xiao i sar., 2004). Konformacija je još jedan od ključnih faktora koji utiču na biološku aktivnost β -glukana. Naime, β -glukani mogu imati tri konformacije: trostruki heliks, jednostruki heliks ili nasumičnu spiralu. U literaturi postoje kontradiktorni rezultati u pogledu biološke aktivnosti β -glukana zavisno od konformacije. Prema jednoj grupi autora β -glukani su najaktivniji kada imaju konformaciju jednostrukog heliksa (Aketagawa i sar., 1993) dok je prema drugima biološki najaktivnija konformacija trostrukog heliksa (Falch i sar., 2000; Ohno i sar., 1987). Ova jedinjenja su u *in vivo* uslovima snažni stimulatori imunskog odgovora usmerenog protiv razvoja tumora, kao i infekcija izazvanih gljivicama, virusima i bakterijama (Brown i Gordon, 2003). Pored imunomodulatorne uloge β -glukani kao molekulski obrasci predstavljaju ligande za brojne receptore ćelija imunskog sistema. Laktozilceramid je glikofosfolipid na plazma membrani neutrofila i endotelnih ćelija koji prepoznaje $\beta(1\rightarrow3)$ glukane iz gljivica (Zimmerman i sar., 1998). Komplement receptor 3 (engl. complement receptor 3, CR3), heterodimer koji se

sastoji od CD11b i CD18, prepoznaje β -glukane i ispoljen je na NK ćelijama, neutrofilima i monocitima (Ross, 2000). Receptori čistači (engl. scavenger receptors) koji su ispoljeni na mijeloidnim i endotelnim ćelijama takođe interaguju sa β -glukanima (Rice i sar., 2002).

Dektin-1, receptor CLR familije, je nedavno identifikovan kao glavni receptor koji posreduje u efektima β -glukana (Brown i Gordon, 2001). Najpre je identifikovan kao receptor na DĆ koji prepoznaje tada još uvek neidentifikovan ligand na T ćelijama (Ariizumi i sar., 2000) i prvobitno je nazvan lektin-1 tipa C na DĆ. Kasnije je utvrđeno da je ispoljen i na drugim tipovima ćelija kao što su neutrofili, makrofage, monociti i podtipu T ćelija (Taylor i sar., 2002). Kod ljudi ispoljen je i na B ćelijama i eozinofilima (Willment i sar., 2005). Dektin-1 je transmembranski receptor sa ekstraćelijskim domenom koji prepoznaje ugljene hidrate (engl. carbohydrate recognition domain, CRD) i intraćelijskim domenom koji sadrži ITAM preko koje se odvija signalizacija. Dektin-1 prepoznaje $\beta(1\rightarrow3)$ i $\beta(1\rightarrow6)$ glukane (Brown i Gordon, 2001). Takođe prepoznaje i zimozan koji pored β -glukana sadrži hitin, manan, proteine i lipide (Brown, 2006). Dektin-1 receptor je jedini, pored TLR, koji pokreće signalnu kaskadu. Signalna komponenta dektin-1 receptora je ITAM sekvenca koja je takođe prisutna kod receptora na B i T limfocitima kao i Fc γ receptoru. Veliki broj studija je proučavao efekat zimozana koji pored dektin-1 receptora aktivira i TLR2. Ispitivanja na makrofagama i DĆ korišćenjem zimozana su pokazala da dektin-1 zajedno sa TLR2 dovodi do produkcije TNF- α , IL-2, IL-10 (Brown i Gordon, 2003; Gantner i sar., 2003), indukcije respiratornog praska (Gantner i sar., 2003; Underhill i sar., 2005), kao i fagocitoze (Herre i sar., 2004; Underhill i sar., 2005). Ispitivanja na mišjim i humanim DĆ su pokazala da stimulacija dektin-1 receptora dovodi do fenotipskog sazrevanja ovih ćelija i polarizacije imunskog odgovora u Th1 i Th17 pravcu (LeibundGut-Landmann i sar., 2007; Skrzypek i sar., 2009; Gringhuis i sar., 2009; Ferwerda i sar., 2008).

1.2. Poreklo dendritskih ćelija

U cilju održavanja homeostaze populacija DĆ se mora kontinuirano osvežavati novim DĆ koje se razvijaju iz prekursora. Poput ostalih ćelija

hematopoetskog porekla, DĆ nastaju diferencijacijom matičnih ćelija kostne srži koje integrišu signale iz svoje mikrosredine i usmeravaju svoj dalji razvoj ka mijeloidnoj ili limfoidnoj liniji (Manz i sar., 2001; Kondo i sar., 2003). Shodno tome, a u skladu sa markerima ispoljenim na površini DĆ, poreklo DĆ može biti mijeloidno odnosno limfoidno (Shortman i Naik, 2007).

Najpre se smatralo da su sve DĆ mijeloidnog porekla. Najranija istraživanja su pokazala da se u prisustvu faktora stimulacije rasta kolonija granulocita i makrofaga (engl. granulocyte-macrophage colony-stimulating factor, GM-CSF) mijeloidni prekursori iz kostne srži miša razvijaju u makrofage, granulocite i DĆ (Inaba i sar., 1993). Takođe, humane CD34⁺ ćelije kultivisane u prisustvu GM-CSF i TNF-α su se diferencirale u CD1a⁻ monocyte, prekursore granulocita i DĆ, odnosno u makrofage, u prisustvu faktora stimulacije rasta kolonija makrofaga (engl. macrophage colony-stimulating factor, M-CSF) (Reid i sar., 1992; Szabolcs i sar., 1996; Caux i sar., 1996). Direktna potvrda mijeloidnog porekla DĆ usledila je nakon detektovanog obnavljanja populacija DĆ u slezini i timusu miševa posle transplantacije zajedničkih mijeloidnih progenitora (ZMP) iz kostne srži u radioaktivno ozračene primaoce (Traver i sar., 2000; Wu i sar., 2001; Manz i sar., 2001).

Ispitivanjem membranskih markera na DĆ timusa, slezine i limfnih čvorova pokazano je da su neki od njih (CD8α, CD4, CD2, BP1 i CD25) karakteristični za ćelije limfoidnog porekla (Vremec i sar., 1992). Iz ove studije je proistekla prepostavka o limfoidnom poreklu DĆ koja je potvrđena u eksperimentima sa transferom CD4^{low} timusnih limfoidnih prekursora u timus ozračenih primalaca od kojih su nastali T limfociti i CD8⁺ timusne DĆ (Wu i sar., 1995; Ardavin i sar., 1993). Ovi prekursori su imali potencijal diferenciranja i u CD8⁺ i CD8⁻ DĆ slezine (Wu i sar., 2001; Martin i sar., 2000). Takođe je pokazano da zajednički limfoidni progenitori (ZLP) u mišjem sistemu imaju sposobnost da se diferenciraju u DĆ i *in vivo* i *in vitro* (Wu i sar., 2001; Manz i sar., 2001; Izon i sar., 2001).

Kada je pokazano da i mijeloidni i limfoidni progenitori mogu da se razviju u CD8α⁺ i CD11b⁺ DĆ (Wu i sar., 2001), kao i u plazmacitoidne DĆ (Karsunký i sar., 2005) postavilo se pitanje biološkog značaja višestrukih razvojnih puteva DĆ (Schmid i sar., 2010). Smatra se da je značaj multilinijskog razvojnog programa DĆ osiguravanje efikasne selekcije funkcionalnih B i T limfocita koji nisu autoreaktivni (Rolink i sar., 2001; Goldrath i Bevan, 1999). U prilog ovoj hipotezi ide podatak da su u timusu najzastupljenije DĆ limfoidnog porekla, dok u svim ostalim organima dominiraju DĆ mijeloidnog porekla (Ardavin i sar., 1993; Wu i sar., 1996; Merad i Manz, 2009).

DĆ se mogu razviti direktno, od ZMP i ZLP, ili indirektno, od delimično ili potpuno diferenciranih ćelija mijeloidne i limfoidne linije. ZLP i ZMP od kojih će nastati DĆ eksprimiraju Flt-3 molekul (engl. FMS-related tyrosine kinase 3, Flt) (Shortman i Naik, 2007) koji je receptor za Flt-3 ligand, najznačajniji faktor za diferencijaciju DĆ *in vivo* (Waskow i sar., 2008). Flt-3 molekul je tirozin kinaza kontinuirano eksprimirana od stadijuma progenitora do potpuno diferenciranih DĆ (Dong i sar., 2002) i predstavlja obeležje ovog razvojnog puta DĆ. DĆ se indirektno mogu razviti od monocita, granulocitno-monocitnih prekursora u okviru mijeloidnog puta, odnosno od timusnih limfoidnih prekursora u okviru limfoidnog puta (D'Amico i Wu, 2003; Traver i sar., 2000; Manz i sar., 2001; Wu i sar., 2001; Karsunký i sar., 2005).

Monociti imaju značajnu ulogu kao prekursori DĆ (Cella i sar., 1997). Ove ćelije imaju sposobnost da se diferenciraju u različite subpopulacije fagocita u zavisnosti od lokalnih faktora kojima su izložene u tkivu u kome se nalaze. Monociti eksprimiraju CD11b, CD11c, CD13, CD14 i CD33 (Liu i sar., 2001), manozni receptor kao i CD1a, b, c i d. Monociti se u prisustvu M-CSF diferenciraju u makrofage, dok se pri kultivaciji sa GM-CSF i IL-4 diferenciraju u nezrele DĆ. Ove nezrele DĆ poreklom od monocita (MoDĆ) su nalik intersticijalnim DĆ i mogu se aktivirati i sazreti pod uticajem proinflamatornih citokina, produkata patogena ili signalima poreklom od T ćelija (CD40L) (Cella i sar., 1996). Dodavanje TGF-β u kulturu monocita u prisustvu GM-CSF i IL-4 usmerava diferencijaciju monocita ka LĆ (Geissmann i sar., 1998). Mogućnost diferenciranja monocita u DĆ je potvrđena i

in vivo i praćena je migracijom ovih DĆ u T-ćelijske oblasti regionalnih limfnih čvorova (Randolph i sar., 1999).

1.3. Klasifikacija dendritskih ćelija

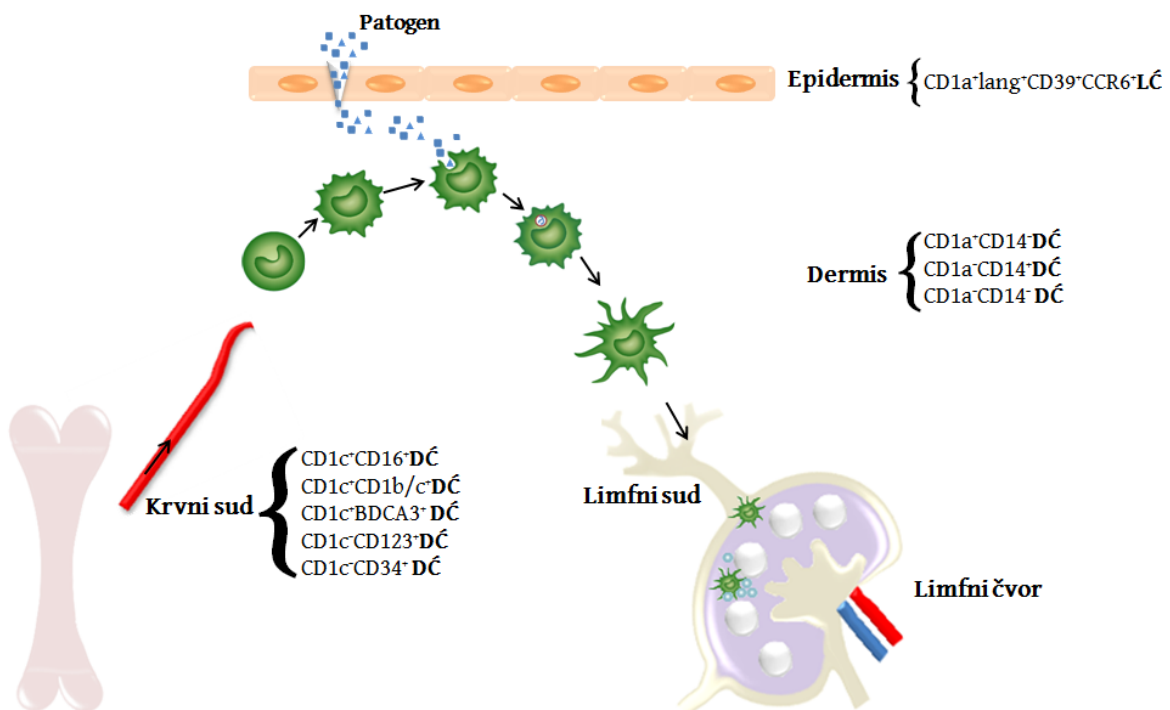
DĆ su heterogena populacija ćelija čije su razlike u fenotipskim i funkcionalnim svojstvima rezultat brojnih faktora kao što su stadijumi ontogeneze, putevi migracije, tkivna distribucija i uticaj faktora mikrosredine (Shortman i Naik, 2007). Potreba za podelom DĆ na podtipove se javila sedamdesetih godina prošlog veka kad je ustanovljeno da se LĆ razlikuju od DĆ slezine kod miša. U to vreme se ovaj fenomen pripisivao različitim stupnjevima u razvoju DĆ i smatralo se da su DĆ slezine kasniji stupanj razvoja LĆ. Konačan dokaz o postojanju različitih podvrsta DĆ usledio je identifikacijom DĆ slezine miša koje su se međusobno razlikovale po ekspresiji CD8 molekula ($CD8\alpha^+$ i $CD8\alpha^-$ DĆ) (Vremec i sar., 1992). Paralelno sa studijama na mišjem sistemu ispitivane su humane DĆ i izvršena je klasifikacija na mijeloidne DĆ (mDĆ), limfoidne i plazmacitoidne DĆ (pDĆ) (Grouard i sar., 1997). Ovakva podela je primenjena i na DĆ u mišjem sistemu (Asselin-Paturel i sar., 2001; O'Keeffe i sar., 2002). Aktuelna klasifikacija zanemaruje ontogenetsko poreklo DĆ usled izrazite plastičnosti fenotipskih i funkcionalnih karakteristika ovih ćelija i prema njoj DĆ se dele na konvencionalne DĆ (kDĆ) i pDĆ (Shortman i Naik, 2007).

1.3.1. Konvencionalne dendritske ćelije

Podela kDĆ na subpopulacije u mišjem sistemu se zasniva na ekspresiji CD4, CD8, CD205, CD11b i langerina. DĆ slezine se dele na tri podvrste uključujući $CD4^+CD8\alpha^-CD11b^+CD205^-$, $CD4^-CD8\alpha^+CD11b^-CD205^+$ i $CD4^-CD8\alpha^-CD11b^+CD205^-$ DĆ (Vremec i sar., 2000). Ove DĆ vode poreklo od prekursora koji su se razvili u slezini (Naik i sar., 2006; Diao i sar., 2006). DĆ slezine su fenotipski i funkcionalno nezrele (Wilson i O'Neill, 2003) i imaju ulogu u detektovanju patogena prisutnih u krvi (Lundie i sar., 2008; Sponaas i sar., 2006). $CD8\alpha^-$ DĆ su zastupljene u marginalnoj zoni slezine, subkapsularnim sinusima limfnih čvorova i subepitelnom regionu Pajerovih ploča, dok su $CD8\alpha^+$ DĆ prisutne u T-ćelijskim zonama limfoidnih organa

(Pulendran i sar., 1997; Shortman i Liu, 2002). CD8 α^- DĆ mogu da migriraju u T-ćelijske zone nakon stimulacije (De Smedt i sar., 1996). U timusu miša prisutne su dve subpopulacije DĆ koje su CD4 $^-$ CD11b $^-$ CD205 $^+$ i međusobno se razlikuju po nivou ekspresije CD8 α molekula (Vremec i sar., 2000). U limfnim čvorovima su prisutne dve subpopulacije CD4 $^-$ CD11b $^+$ CD205 $^+$ koje se razlikuju po intenzitetu ekspresije CD8 α molekula i prisustvu odnosno odsustvu ekspresije langerina (Henri i sar., 2001). U koži su identifikovane tri različite subpopulacije DĆ: LĆ, dermalne DĆ i langerin $^+$ CD11b $^-$ CD103 $^+$ DĆ (Heath i Carbone, 2009).

U humanom sistemu najbolje su okarakterisane DĆ prisutne u koži i krvi (*Slika 3*).



Slika 3. Tipovi dendritskih ćelija u humanom sistemu

U epidermisu kože se nalaze LĆ, dok su u dermisu prisutne 3 podvrste tzv. intersticijalnih DĆ uključujući CD1a $^+$ CD14 $^-$, CD1a $^-$ CD14 $^+$ i CD1a $^-$ CD14 $^-$ DĆ (Nestle i sar., 1993; Angel i sar., 2006). LĆ eksprimiraju CD1a, langerin, E-kadherin,

Birbekove granule, CD39 i CCR6. CCR6 se specifično se ispoljava na LĆ i omogućava migraciju nezrelih LĆ u epidermis, vezujući se za MIP-3 α , koji se isključivo ispoljava na epitelu (Romani i sar., 2003; Santegoets i sar., 2008). Dermalne CD14 $^{+}$ DĆ ispoljavaju receptore iz CLR familije (DC-SIGN, DEC -205, LOX-1, CLEC-6, Dektin-1 i DCIR). CD1a $^{+}$ DĆ eksprimiraju manozni receptor, DC-SIGN, CD36, faktor XIIIa i CCR5. LĆ i DĆ koje eksprimiraju CD1a se međusobno razlikuju po fenotipskim i funkcionalnim svojstvima. CD1a $^{+}$ DĆ su aktivirane, migratorne DĆ koje eksprimiraju visoke nivoe kostimulatornih, adhezivnih molekula, hemokina i hemokinskih receptora (CCL22, MIP-1 α , MIP-1 β , CCR7 i CXCR4) i sekretuju proinflamatorne citokine u odsustvu stimulusa. Sa druge strane, CD1a $^{+}$ LĆ se odlikuju niskom ekspresijom kostimulatornih molekula i slabom produkcijom proinflamatornih citokina (Santegoets i sar., 2008). Prema novim nalazima, LĆ se smatraju transporterima antigena koje prenose iz kože u regionalne limfne čvorove i predaju rezidentnim DĆ koje imaju ulogu u stimulaciji T-ćelija (Allan i sar., 2006).

U perifernoj krvi ljudi prisutno je 5 podtipova DĆ. U okviru CD11c $^{+}$ subpopulacije DĆ podela je izvršena na osnovu ekspresije CD16, CD1b/c i BDCA-3 (engl. blood dendritic cell antigen, BDCA). Najbrojnije su CD1c $^{+}$ CD16 $^{+}$ DĆ koje imaju nisku ekspresiju CD14 i CD33, HLA-DR i ne ispoljavaju kutani limfocitni antigen (engl. cutaneous lymphocyte antigen, CLA). CD1c $^{+}$ CD16 $^{+}$ DĆ ispoljavaju visoke nivoе kostimulatornih molekula, CD86 i CD40. CD11c $^{+}$ CD1b/c $^{+}$ DĆ eksprimiraju CD33, HLA-DR i vrlo niske nivoе CD14. Najmanje brojna subpopulacija CD11c $^{+}$ DĆ u krvi su BDCA-3 $^{+}$ DĆ koje ispoljavaju niske nivoе CD11c i ne eksprimiraju CD14. BDCA-3 $^{+}$ DĆ imaju najnižu ekspresiju CD86 i najveću ekspresiju CD40 i DEC-205 u poređenju sa ostalim podtipovima DĆ u krvi. CD11c $^{-}$ DĆ se prema ekspresiji CD123 i CD34 mogu podeliti na dve subpopulacije, CD123 $^{+}$ DĆ i CD34 $^{+}$ DĆ. CD11c $^{-}$ CD123 $^{+}$ DĆ imaju slabu ekspresiju CD86 molekula i umerenu ekspresiju CD86, dok CD11c $^{-}$ CD34 $^{+}$ DĆ ne eksprimiraju CD86 i umereno ispoljavaju HLA-DR (MacDonald i sar., 2002).

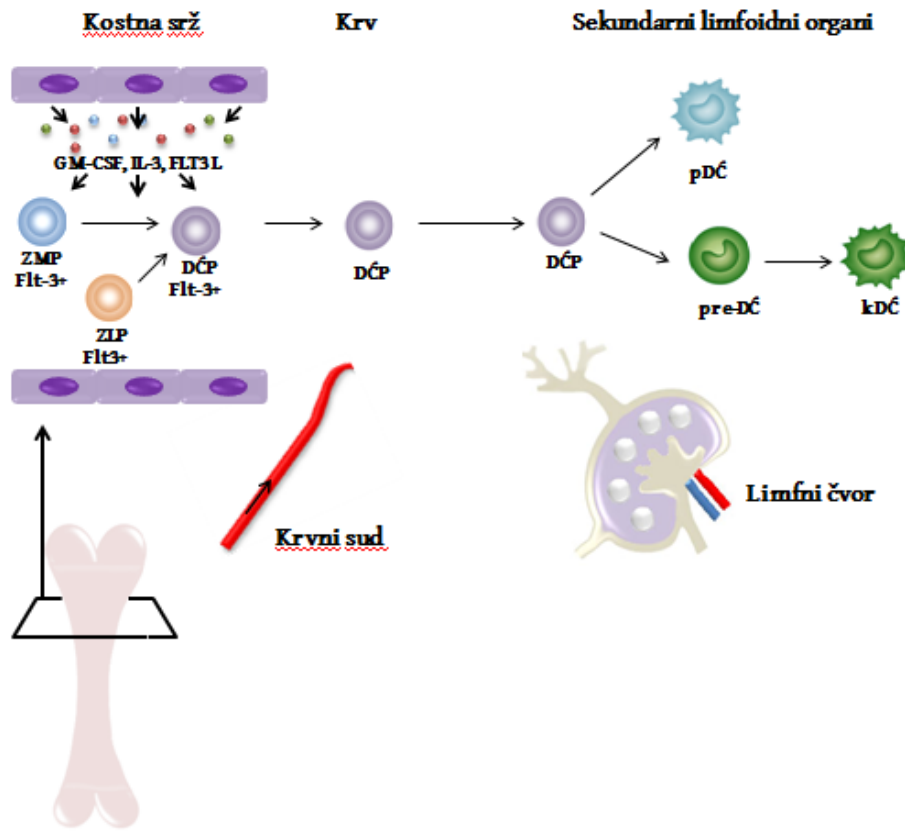
1.3.2. Plazmacitoidne dendritske ćelije

Lennert i Remmele su 1958. godine opisali ćelije prisutne u T-ćelijskoj zoni limfoidnog tkiva ljudi koje po morfologiji podsećaju na plazma ćelije, ali ne ispoljavaju markere B ćelija i plazma ćelija. Ove ćelije su nazvane plazmacitoidne T ćelije. Dvadeset godina kasnije pokazano je da nakon izlaganja leukocita periferne krvi virusima ili virusom inficiranim ćelijama jedan mali broj ćelija produkuje interferone tipa I (IFN- α i IFN- β) koji stimulišu citotoksične funkcije NK ćelija (Trinchieri, 1978). Ove IFN tip I- produkujuće ćelije nisu imale karakteristike T limfocita, B limfocita, NK ćelija niti monocita, a ispoljavale su MHC molekule klase II i niskoafinitetne Fc γ receptore (Trinchieri, 1978; Abb i sar., 1983; Ronnblom i sar., 1983; Perussia i sar., 1985). Deset godina kasnije u perifernoj krvi ljudi identifikovane su CD11c $^-$ nezrele DĆ sa niskom ekspresijom MHC molekula klase II i slabom sposobnošću stimulacije proliferacije T limfocita (O'Doherty i sar., 1994). Nakon kultivacije u kondicioniranom medijumu ove ćelije su povećale ekspresiju MHC molekula klase II. Potom su iz tonsila izolovane CD11c $^-$ CD4 $^+$ CD45RA $^+$ ćelije sa gotovo identičnim karakteristikama kao i CD11c $^-$ ćelije periferne krvi. Ove ćelije su opstajale u kulturi samo u prisustvu IL-3 i CD40L pod čijim uticajem su se diferencirale u ćelije sa morfologijom DĆ (Grouard i sar., 1997). Uticaj IL-3 na preživljavanje ovih ćelija se bazirao na visokom nivou ekspresije α -lanca IL-3 receptora (IL-3Ra, CD123). Krajem XX veka je definitivno potvrđeno da se radi o posebnom podtipu DĆ koje su prisutne u perifernoj krvi i sekundarnim limfoidnim organima i nakon stimulacije virusima produkuju IFN tipa I (Siegal i sar., 1999; Celli i sar., 1999a).

U krvi, kostnoj srži i sekundarnim limfoidnim organima miša nalaze se CD11c $^+$ CD45RA $^+$ CD19 $^-$ Gr1 $^+$ pDĆ (Nikolic i sar., 2002). Humane pDĆ su fenotipski okarakterisane kao CD4 $^+$ CD45RA $^+$ CD123 $^+$ ILT3 $^+$ ILT1 $^-$ CD11c $^-$ ćelije. Niskoafinitetni Fc γ receptor identifikovan u ranijim studijama je Fc γ RIIa (CD32) koji moduliše produkciju IFN tipa I od strane pDĆ (Bave i sar., 2003). pDĆ prisutne u krvi i kostnoj srži ispoljavaju i dva specifična markera, BDCA-2 i BDCA-4. BDCA-2 je

transmembranski glikoprotein koji pripada CLR familiji receptora sa svojstvima internalizacije antiga u cilju prezentacije T limfocitima. Primena antitela specifičnih za BDCA-2 inhibira produkciju IFN tipa I od strane pDĆ (Dzinek i sar., 2001). BDCA-4 je identičan neuropilinu-1, neuronalnom receptoru za klasu 3 semaforinske subfamilije i koreceptor je za vaskularni endotelni faktor rasta prisutan na endotelnim i tumorskim ćelijama. Primena antitela specifičnih za BDCA-4 nema uticaj na funkciju pDĆ i mogu se koristiti za izolaciju ovih ćelija pozitivnom selekcijom (Dzinek i sar., 2002).

Poreklo pDĆ je predmet brojnih debata i istraživanja. Za diferencijaciju pDĆ od hematopoetskih matičnih ćelija i kod čoveka i kod miša je ključan Flt3-ligand (Blom i sar., 2000; Karsunký i sar., 2003), a za njihovu migraciju iz kostne srži faktor stimulacije rasta kolonija granulocita (engl. Granulocyte colony-stimulating factor, G-CSF) (Pulendran i sar., 2000; Arpinati i sar., 2000). Prisustvo transkripta za pre-T-ćelijski receptor α (pre-Ta), λ5 i spi-B je išlo u prilog hipotezi o limfoidnom poreklu pDĆ (Rissoan i sar., 2002; Corcoran i sar., 2003) dok nije pokazano da se Flt3⁺ ćelije mogu diferencirati i u mDĆ i u pDĆ (Karsunký i sar., 2003; D'Amico i Wu, 2003). Intrigantni su rezultati istraživanja sprovedenih od strane dve istraživačke grupe koji su ukazali na moguće postojanje zajedničkog prekursora pDĆ i kDĆ u mišjem sistemu. U kostnoj srži miša identifikovane su ćelije koje su okarakterisane kao CD11c⁻ MHC II⁻ Lin⁻ Flt3⁺ M-CSFR⁺ c-Kit^{int} koje se nakon transfera u slezinu i limfni čvor miša diferenciraju u CD8⁺ DĆ, CD8⁻ DĆ i pDĆ. Ove ćelije se *in vitro* diferenciraju u kDĆ i pDĆ u prisustvu Flt-3L. Razviću u kDĆ, za razliku od pDĆ, prethodi stupanj CD11c⁻ MHC II⁺ pre-DĆ (Onai i sar., 2007; Naik i sar., 2007) (*Slika 4*).



Slika 4. Hipotetički model diferencijacije DČ od jedinstvenog DČ prekursora

pDČ u krvi ispoljavaju i L-selektin (Cella i sar., 1999a) čija se ekspresija smanjuje u limfoidnim organima u kojima su pDČ prisutne u blizini visokih endotelnih venula (Grouard i sar., 1997; Facchetti i sar., 2003). Aktivacija pDČ je praćena morfološkim promenama i povećanjem ekspresije MHC molekula klase I i II, kostimulatornih molekula (CD40, CD80 i CD86) kao i produkcijom IFN tipa I. Uprkos opisanim fenotipskim i funkcionalnim promenama pDČ su manje efikasne APČ od kDČ (Asselin-Paturel i sar., 2001).

1.4. *In vitro* priprema dendritskih ćelija

DČ čine svega 0.1-1% ukupnog broja ćelija u organizmu i odlikuju se širokom tkivnom distribucijom i heterogenošću. Značajan napredak u istraživanju DČ je usledio tek dve decenije od njihove identifikacije, kada su razvijene metode za njihovu *in vitro* pripremu (Inaba i sar., 1992; Talmor i sar., 1998; Lutz i sar., 1999). Kako je priprema DČ iz kostne srži miša bila najefikasniji i najzastupljeniji metod

većina studija je izvođena upravo na ovom tipu DĆ. U početku je korišćen koktel antitela (antitela specifična za CD4, CD8, B220) u cilju eliminacije limfocita i GM-CSF kao jedini faktor za stvaranje DĆ od progenitora. Nakon nedelju dana kultivacije dobijao se dovoljan broj DĆ, ali je postojala kontaminacija sa granulocitima i makrofagima (Inaba i sar., 1992). Kasnije su modifikovani protokoli produženjem vremena kultivacije, smanjenjem koncentracije GM-CSF i uvođenjem IL-4 (Lutz i sar., 1999; Garrigan i sar., 1996). DĆ dobijene kultivisanjem progenitora iz kostne srži miša u prisustvu GM-CSF i IL-4 su fenotipski i funkcionalno nalik MoDĆ, ali razlike ipak postoje. Sallusto i Lanzavecchia su prvi kultivisali humane monocite iz periferne krvi u prisustvu IL-4 i GM-CSF u cilju dobijanja MoDĆ (Sallusto i Lanzavecchia, 1994) (*Slika 5*).



Slika 5. In vitro priprema DĆ

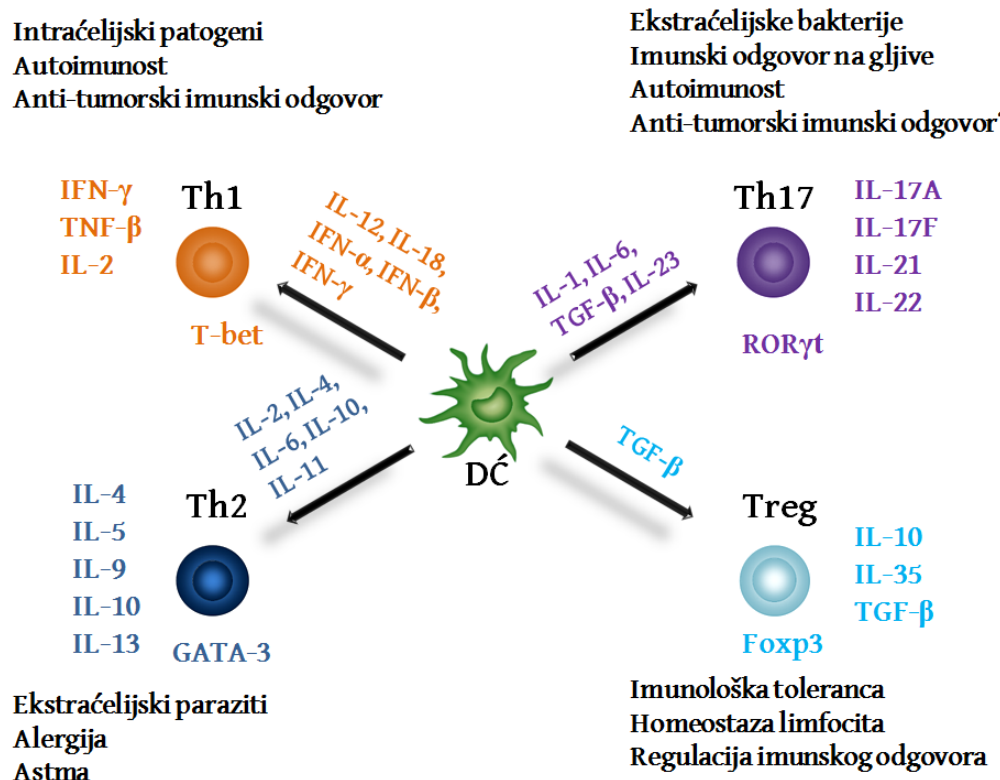
Postoji još jedan način za pripremu DĆ iz krvi i to je kultivacija preko noći sortiranih mononuklearnih ćelija u RPMI 1640 medijumu sa AB serumom kojom se dobijaju CD11c⁺ DĆ. Ove ćelije eksprimiraju CD86 i u manjoj meri HLA-DR. Razlika između CD11c⁺ DĆ i MoDĆ je u tome što CD11c⁺ DĆ ne eksprimiraju DC-SIGN, manje su efikasne u prezentaciji antiga i indukuju jači Th1 odgovor (Osugi i sar., 2002). Za pripremu DĆ korišćeni su i CD34⁺ hematopoetske progenitorske ćelije iz kostne srži i periferne krvi (Bernhard i sar., 1995) i CD14⁺ monociti dobijeni metodom imunomagnetskog sortiranja mononukleara periferne krvi (Babatz i sar., 2003). Postoji još jedan tip kratkotrajnih kultura u kojima DĆ dobijaju kultivacijom humanih CD14⁺ monocita tokom prvih 24h u prisustvu GM-CSF i IL-4 i tokom

sledećih 24h u prisustvu proinflamatornih medijatora (TNF- α , IL-1 β , IL-6, PGE2) (Dauer i sar., 2003).

1.5. Uloga dendritskih ćelija u polarizaciji imunskog odgovora

DĆ oblikuju CD4 $^{+}$ T-ćelijski odgovor u skladu sa prirodom patogena koji su prepoznali a koji ugrožava homeostazu organizma (Lafaille, 1998). Stimuli koji aktiviraju DĆ i dovode do njihovog sazrevanja povećavaju efikasnost obrade antigena i produžavaju ispoljavanje kompleksa antigen-MHC molekul klase II na površini DĆ (Cella i sar., 1997).

Kada dođe do interakcije T-ćelijskog receptora sa antigenom u sklopu MHC molekula II klase na DĆ i kada T-ćelije uspostave stabilan kontakt sa DĆ dolazi do formiranja imunološke sinapse (Al-Alwan i sar., 2001). Prepoznavanje antigena je praćeno aktivacijom intraćelijskih signalnih molekula uključujući protein kinazu C (PKC), jone kalcijuma i nuklearni faktor κB (engl. nuclear factor kappa-B, NF-κB) (Constant i Bottomly, 1997; Noble i sar., 2000; Rogers i Croft, 2000). Kostimulatori ispoljeni na DĆ (CD40, CD80, CD86, PD-L1 (engl. programmed death-1 ligand), PD-L2 i ICOS-L (engl. inducible costimulator ligand) se vezuju za odgovarajuće molekule na T ćelijama (CD40L, CD28/CTLA-4, PD-1 i ICOS) (Van Gool i sar., 1996; Greenwald i sar., 2005). Za odgovarajuću diferencijaciju aktiviranih naivnih T ćelija neophodni su citokini. Optimalno vreme za sekreciju citokina je nakon uspostavljanja kontakta DĆ i T ćelija i uspostavljanja interakcije CD40:CD40L. Dakle, fenotip polarizovanih T-ćelija koje se diferenciraju od naivnih CD4 $^{+}$ T limfocita je rezultat kompleksnih interakcija sa DĆ uz učešće citokina, kostimulatornih molekula i polarizujućih faktora. Ovi faktori aktiviraju intraćelijske signalne puteve i ekspresiju gena specifičnih za određeni podtip CD4 $^{+}$ T ćelija. Aktivacija je praćena klonalnom ekspanzijom antigen-specifičnih efektorskih ćelija koje se mogu diferencirati u Th1, Th2, Th17 ili Treg fenotip (*Slika 6*).



Slika 6. Uticaj DĆ na polarizaciju Th ćelijskog odgovora

Razvoj Th1 imunskog odgovora stimulisan je u prisustvu IL-12, IL-18, IFN- α i IFN- β . Ove citokine oslobođaju makrofage i DĆ nakon aktivacije intraćelijskim patogenima (Farrar i sar., 2002). IL-12 stimuliše produkciju IFN- γ od strane APĆ uspostavljajući pozitivnu povratnu spregu koja dovodi do dodatne produkcije IL-12. Sa druge strane, IFN- γ deluje inhibitorno na razvoj Th2 ćelija (Murphy i sar., 2000). IFN- γ u naivnim T ćelijama dovodi do aktivacije transkripcionog faktora STAT-1 (engl. signal transducer and activator of transcription 1) koji potom pokreće aktivaciju transkripcionog faktora T-bet. T-bet dovodi do remodelovanja genskog lokusa za IFN- γ , produkcije IFN- γ i ekspresije receptora za IL-12 (Mullen i sar., 2001). IL-12 se potom vezuje za svoj receptor ispoljen na Th1 ćelijama i signalna kaskada pokrenuta ovim receptorom aktivira transkripcione faktore STAT-3, STAT-4 i NF- κ B čime se stabilizuje produkcija citokina koji su karakteristični za Th1 fenotip (Afkarian i sar., 2002). Th1 ćelije su efikasne u zaštiti od intraćelijskih patogena kao i eliminaciji tumorskih ćelija (Kidd, 2003).

Th2 ćelije se razvijaju pod uticajem IL-2 IL-4, IL-6, IL-10 i IL-11 (Swain i sar., 1990; Curti i sar., 2001; Laouini i sar., 2003; Cote-Sierra i sar., 2004; Krishnamoorthy i sar., 2007). DĆ ne produkuju IL-4 i smatra se da ovaj citokin produkuju NKT ćelije, eozinofili ili mast ćelije (Wang i sar., 2006). IL-4 aktivira transkripcioni faktor STAT-6 u naivnim T ćelijama što je praćeno aktivacijom transkripcionog faktora GATA-3 (Kaplan i sar., 1996; Ouyang i sar., 1998). GATA-3 i T-bet deluju antagonistički. Kada su prisutne visoke koncentracije IFN- γ , IL-12 i T-bet, inhibira se GATA-3, a visok nivo produkcije GATA-3 i IL-4 je praćen supresijom T-bet (Mullen i sar., 2001; Ouyang i sar., 1998). GATA-3 je odgovoran za produkciju citokina karakterističnih za Th2 fenotip, IL-4, IL-5, IL-9, IL-10 i IL-13 (Farrar i sar., 2002). c-MAF je još jedan transkripcioni faktor specifičan za Th2 ćelije odgovoran je za regulaciju sinteze IL-4 (Ho i sar., 1996). Th2 ćelije produkuju sve veće količine IL-4 i uspostavlja se pozitivna povratna sprega kojom se održava Th2 fenotip (Kidd, 2003).

Tokom ranog Th2 imunskog odgovora produkuje se IL-6 koji povećava produkciju IL-4 i inhibira fosforilaciju STAT-1 (Dodge i sar., 2003; Detournay i sar., 2005). Sa druge strane, IL-11 deluje direktno na T ćelije stimulišući sintezu IL-4 i IL-5 a istovremeno inhibira produkciju IFN- γ . Takođe, IL-11 suprimira sekreciju IL-12 od strane makrofaga (Curti i sar., 2001). IL-10 smanjuje ekspresiju IL-12R β 2 receptora (Romano i sar., 2005) čime smanjuje usmeravanje ka Th1. Za razliku od Th1 ćelija koje posreduju u ćelijskom, Th2 ćelije posreduju u humorarnom imunskom odgovoru. Tako je IL-4 neophodan za produkciju IgE, IL-5 za aktivaciju eozinofila, dok IL-4 i IL-13 stimulišu proliferaciju i degranulaciju mast ćelija.

Th17 ćelije eksprimiraju transkripcioni faktor ROR γ t i produkuju IL-17A, IL-17F, IL-21 i IL-22. Osnovna uloga Th17 ćelija je zaštita od ekstraćelijskih patogena, uključujući i gljivice. IL-17A je uključen i u regrutovanje, aktivaciju i migraciju neutrofila (Dubin i Kolls, 2008). Kod miša Th17 ćelije se razvijaju od naivnih T ćelija pod uticajem IL-6 i TGF- β dok su IL-21 i IL-23 neophodni za održavanje Th17 fenotipa (Mangan i sar., 2006; Veldhoen i sar., 2006; Huber i sar., 2008). Za diferencijaciju Th17 ćelija kod ljudi neophodni su IL-1, IL-6 i TGF- β (Benwell i Lee, 2010). Specifično je da se Th17 ćelije ljudi odlikuju izaženom plastičnošću. Naime,

ustanovljeno je postojanje Th1/Th17 ćelija koje sekretuju kako IL-17 tako i IFN- γ ispoljavaju istovremeno IL-23R, IL-12R β 2 i transkripcione faktore RORC i T-bet (Annunziato i sar., 2007). Takođe su kod ljudi i miša identifikovane Th2/Th17 ćelije koje koeksprimiraju transkripcione faktore GATA3 i ROR γ t i pored Th2 citokina produkuju IL-17 i IL-22, a imaju ulogu razvoju astme (Wang i sar., 2010).

Funkcije efektorskih Th1, Th2 i Th17 ćelija se nalaze pod kontrolom CD4 $^+$ CD25 $^+$ T regulatornih ćelija (Treg). Treg ćelije su neophodne za uspostavljanje imunološke tolerance i regulaciju imunskog odgovora. Ove ćelije inhibiraju proliferaciju i produkciju citokina od strane CD4 $^+$ i CD8 $^+$ T limfocita, produkciju imunoglobulina od strane B limfocita, citotoksičnu aktivnost NK ćelija kao i sazrevanje DĆ. Za diferencijaciju ovih ćelija ključni transkripcioni faktor je Foxp3 (engl. Forkhead box P3, FoxP3) (Sakaguchi, 2005; Akbar i sar., 2007). Kao i u slučaju Th17 ćelija, za razvoj Treg neophodan je TGF- β . Kada su DĆ aktivirane mikroorganizmima koji dovode do produkcije proinflamatornih citokina IL-1 i IL-6, prisustvo TGF- β ih usmerava ka Th17 fenotipu. Sa druge strane, izostanak proinflamatornih citokina dovodi do razvoja Treg ćelija. Regulatorne T ćelije sekretuju IL-10, IL-35 TGF- β i imaju imunosupresorsku ulogu (O'Garra i sar., 2004; Vignali i sar., 2008; Collison i sar., 2010).

1.6. Struktura TNF- α , receptori za TNF- α i biološki efekti TNF- α

Sposobnost imunskog sistema da razvije anti-tumorski imunski odgovor uočena je pre više od 100 godina zahvaljujući hirurgu William Coley-u koji je uočio regresiju tumora nakon bakterijske infekcije pacijenta obolelog od sarkoma (Coley, 1906). U istraživanjima koja su usledila identifikovan je faktor koji ispoljava citotoksičan efekat na tumorske ćelije i dovodi do nekroze tumora kod animalnih modela kancera (Shear i sar., 1943; Shear, 1944; O'malley i sar., 1962). Izolovana su dva različita proteina sa sličnim sekvencama: faktor nekroze tumora alfa (engl. tumor necrosis factor, TNF- α) i limfotoksin beta (danasa poznatiji pod imenom TNF- β) (Aggarwal i sar., 1985; Aggarwal i sar., 1984). Otkriće da se TNF- α i TNF- β vezuju za isti receptor (Aggarwal i sar., 1985) je bilo prva indikacija o postojanju

superfamilije za koju se danas zna da se sastoji od 19 liganada i 30 receptora uključenih u regulaciju funkcija imunskog sistema (Croft, 2009; Sabbagh i sar., 2007; Hehlgans i Pfeffer, 2005).

TNF- α se primarno sintetiše kao transmembranski protein tipa II u vidu homotrimera (Kriegler i sar., 1988; Tang i sar., 1996). Od ove membranske forme proteolitičkom delovanjem metaloproteaze TNF- α konvertujućeg enzima (engl. TNF alpha converting enzyme, TACE) oslobađa se citokin u vidu solubilnog heterotrimera (Black i sar., 1997). TNF- α se vezuje za dva različita tipa receptora: TNF receptor tipa 1 (TNFR1; p55; CD120a) i TNF receptor tipa 2 (engl. TNF receptor type, TNFR2; p75; CD120b) (Vandenabeele i sar., 1995). Ovi receptori se međusobno razlikuju po tipu ćelija na kojima se eksprimiraju, stabilnosti, afinitetu za vezivanje liganda, dužini poluživota kompleksa ligand-receptor, kao i signalnim putevima koje pokreću (Beutler i Cerami, 1989; McCoy i Tansey, 2008). TNFR1 je konstitutivno eksprimiran na svim ćelijama izuzev eritrocita, dok je ekspresija TNFR2 regulisana i ograničena na ćelije imunskog sistema, endotelne ćelije i pojedine populacije neurona. Smatra se da TNF- α većinu svoju funkciju ispoljava vezivanjem za TNFR1 za koji se vezuje solubilna forma TNF- α , dok se za TNFR2 vezuje membranska forma TNF- α (Grell i sar., 1995; Grell i sar., 1998). Ekstraćelijski domeni ovih receptora su podložni proteolitičkoj obradi čime se oslobađaju solubilni fragmenti receptora koji imaju neutrališuće efekte (Wallach i sar., 1991). TNFR2 se proteolitički obrađuje TACE enzimom (Solomon i sar., 1999), dok enzim odgovoran za proteolizu TNFR1 još uvek nije identifikovan. Intraćelijski domen TRAF1 sadrži tzv. domen smrti (engl. death domain, DD). U signalnoj kaskadi koju pokreće aktivacija TNFR1 učestvuju i članovi iz familije faktora asociranih sa TNF receptorom (engl. TNF receptor-associated factor, TRAF). Finalno dolazi do aktivacije NF- κ B i produkcije proinflamatornih i antiapoptotskih proteina ili do apoptoze putem aktivacije kaspaza 3 i 8 (Tracey i sar., 2008). Signalizacija preko TNFR2 dovodi do produkcije proinflamatornih medijatora aktivacijom NF- κ B (Yang i sar., 2002). Ovaj receptor ne poseduje DD tako da može biti uključen u apoptozu samo indirektno putem kooperacije sa TNFR1 (Tartaglia i sar., 1993) ili na nivou intraćelijskih signalnih puteva amplifikacijom signala poreklom od TNFR1 (Fotin-Mleczek i sar., 2002).

TNF- α je zajedno sa IL-1 ključni citokin u modelima za uspostavljanje hronične inflamacije u mišjem sistemu, poput reumatoidnog artritisa (Williams i sar., 2000). Sve je više dokaza koji idu u prilog tome da hronična inflamacija prethodi razvoju kancera i da, pored anti-tumorskih efekata, TNF- α ima i protumorska svojstva (Szlosarek i sar., 2006). Ovaj citokin, između ostalog, dovodi do apoptoze T limfocita koji se infiltriraju u tumore (Mocellin i sar., 2005) i doprinosi neoplastičnoj transformaciji stimulacijom produkcije reaktivnih kiseoničnih intermedijera i azot oksida (Szlosarek i sar., 2006).

Stimulacija DĆ sa TNF- α dovodi do njihovog fenotipskog sazrevanja koje se ogleda u povećanju ekspresije MHC molekula klase II i kostimulatornih molekula. Međutim, ovaj citokin je slab stimulus i DĆ koje se diferenciraju u njegovom prisustvu produkuju niske nivoe proinflamatornih citokina (Lutz i Schuler, 2002; Repnik i sar., 2008). Sa druge strane, TNF- α ispoljava svoju regulatornu ulogu uspostavljajući balans u produkciji proinflamatornih i anti-inflamatornih citokina od strane DĆ u prisustvu liganada TLR. Pokazano je da u mišjem sistemu, TNF- α pojačava produkciju anti-inflamatornog citokina IL-10 od strane DĆ poreklom iz kostne srži (Hirata i sar., 2011) dok u humanom sistemu dovodi do povećanja produkcije IL-12 od strane MoDĆ stimulisanih ligandom za TLR3 (Spisek i sar., 2001). Kako je balans u produkciji proinflamatornih i anti-inflamatornih citokina od ključnog značaja za uspostavljanje homeostaze i sprečavanja razvoja imunopatologija, ispitivanje imunoregulatorne uloge TNF- α je predmet aktuelnih istraživanja pogotovo zbog moguće primene u imunoterapiji.

1.7. Struktura, receptori i biološki efekti IFN- γ

Interferoni su otkriveni u eksperimentima sa horioalantoinskom membranom pileteta kao faktori prisutni u fluidu nakon dodavanja virusa influence na osnovu svoje sposobnosti da spreče replikaciju virusa (Issacs i Lindenmann, 1957). Najpre su klasifikovani prema tipu ćelija koji ih sekretuje, dok se prema aktuelnoj klasifikaciji dele na tip I i tip II. IFN tipa I su IFN- α , IFN- β i IFN- ω koji se sekretuju od strane leukocita i fibroblasta nakon virusne infekcije (Adolf, 1995). IFN- γ je INF tipa II koji se po strukturi i receptorima razlikuje od IFN tipa I.

Najpre se smatralo da IFN- γ produkuju isključivo Th1 ćelije, CD8 $^{+}$ T limfociti i NK ćelije (Bach i sar., 1997). Kasnije je pokazano da ga sekretuju i B limfociti, NKT ćelije i APĆ (Gessani i Belardelli, 1998; Yoshimoto i sar., 1998; Carnaud i sar., 1999; Frucht i sar., 2001). Producija IFN- γ se nalazi pod kontrolom citokina IL-12 i IL-18 koje sekretuju APĆ (Otani i sar., 1999; Munder i sar., 2001). Negativni regulatori produkcije IFN- γ su IL-4, IL-10 i TGF- β (Schindler i sar., 2001; Hochrein i sar., 2001).

IFN- γ je biološki aktivan u formi homodimera (Boehm i sar., 1997). Receptor za IFN- γ (IFNGR) je heterotetramer koji se sastoji od dva IFNGR1 lanca, koji vezuju ligand, i dva IFNGR2 lanca, koji posreduju u prenosu signala. IFNGR1 i IFNGR2 su članovi klase II familije citokinskih receptora (Bazan, 1990; Thoreau i sar., 1991). Oba lanca se konstitutivno eksprimiraju sa tom razlikom što je IFNGR1 lanac prisutan u višku, dok je nivo ekspresije IFNGR2 lanca vrlo nizak. Ekspresija IFNGR2 se nalazi pod striktnom kontrolom i ova subjedinica IFNGR predstavlja ograničavajući faktor u prenosu signala poreklom od IFN- γ (Bach i sar., 1997; Bernabei i sar., 2001). Intraćelijski domen IFNGR1 sadrži sekvencu za koju se vezuje Jak1 (engl. janus tyrosine kinase 1) i STAT-1 koji fosforilišu receptor i neophodni su za dalji prenos signala i ispoljavanje bioloških efekata IFN- γ (Farrar MA, i sar., 1991; Kaplan i sar., 1996; Greenlund i sar., 1994). Intraćelijski domen IFNGR2 sadrži sekvencu za koju se vezuje Jak2 (Kotenko i sar., 1995).

IFN- γ je multifunkcionalan citokin čiji su plejotropni efekti rezultat modulacije funkcije velikog broja gena pod uticajem ovog citokina. Nakon vezivanja liganda za IFNGR, Jak1 i Jak2 fosforilišu STAT-1 što dovodi do formiranja STAT-1 homodimera, poznatog i kao faktor aktiviran gamom (engl. gamma activated factor, GAF). GAF se translocira u nukleus gde se vezuje za GAS sekvencu (engl. gamma activated site) i pokreće transkripciju nekoliko transkripcionih faktora (Boehm i sar., 1997). IFN- γ aktivira i fosfatidil-inozitol kinazu 3 (engl. phosphatidylinsositol-3-kinase, PI3K) što dalje dovodi do aktiviranja protein kinaze C ϵ , protein kinaze aktivirane mitogenom (engl. mitogen activated protein kinase MAPK) i aktivacije STAT-1 (Choudhury, 2004). Članovi familije faktora koje regulišu interferoni (engl. interferon regulation factors, IRF) IRF-1, IRF-2 i IRF-9, su takođe aktivirani sa IFN- γ (Mahboubi i Pober, 2002; Rouyez i sar., 2005). IFN- γ pokreće

brojne MAPK signalne puteve uključene u regulaciju proliferacije, diferencijacije i apoptoze ćelija. Kod makrofaga iz kostne srži IFN- γ aktivira p38 MAPK i pokreće ekspresiju gena uključenih u hemotaksu i inflamaciju uključujući CXCL10, TNF- α i iNOS. IFN- γ moduliše funkcije makrofaga selektivnom aktivacijom ERK (engl. extracellular signal-regulated kinases) i JNK (engl. c-Jun N-terminal kinases) kinaza. Naime, ERK signalni put posreduje u ekspresiji proinflamatornih gena, dok JNK signalni put posreduje u ekspresiji gena uključenih u prezentaciju antiga (Valledor i sar., 2008). Negativni regulatori Jak/STAT signalnog puta pokrenutog vezivanjem IFN- γ za svoj receptor su SOCS (engl. suppressor of cytokine signaling) proteini koji inhibiraju aktivnost Jak (Hilton i sar., 1998; Krebs i Hilton, 2001), kao i fosfataza SHP2 (engl. SH2 domain-containing tyrosine phosphatase) (David i sar., 1995). IFN- γ je uključen u pokretanje odgovora na virusnu infekciju povećanjem ekspresije brojnih molekula koji su uključeni u obradu i prezentaciju antiga, adhezivnih molekula i hemokina (Schroder i sar., 2004). Takođe, IFN- γ reguliše i inflamatorne procese, produkciju reaktivnih kiseoničnih intermedijera i azot oksida (Brewington i sar., 2001; Malu i sar., 2003; Prasanna i sar., 2007). NK ćelije produkuju IFN- γ u cilju uspostavljanja kontrole nad bakterijskim i virusnim infekcijama (Biron i sar., 1999). Za razvoj optimalnog anti-tumorskog imunskog odgovora neophodna je kooperacija u produkciji IFN- γ od strane NK ćelija, makrofaga i CD4 $^+$ T ćelija (Li i sar., 2007). Pored navedenog, IFN- γ ima značajnu ulogu i u humorallnom imunskom odgovoru i razvoju autoimunosti (Saha i sar., 2010).

1.8. Značaj CD40:CD40L interakcije u ćelijskom imunskom odgovoru

CD40 molekul je transmembranski protein tipa I koji pripada superfamiliji TNF receptora (Stamenkovic i sar., 1989). CD40 je najpre opisan kao molekul ispoljen na B limfocitima čija aktivacija dovodi do proliferacije ovih ćelija (Ledbetter i sar., 1987). Istraživanja koja su usledila su pokazala da je CD40 molekul prisutan i na drugim ćelijama uključujući monocite, DĆ, endotelne ćelije i epitelne ćelije (Clark, 1990) (Hart i McKenzie, 1988; Romani i sar., 1989). Ligand za CD40 molekul (poznat kao CD40L, CD154, gp39, T-BAM ili TRAP) je integralni membranski

protein tipa II ispoljen na aktiviranim CD4⁺ i CD8⁺ T limfocitima, aktiviranim B limfocitima, trombocitima, glatkim mišićnim ćelijama i drugim tipovima ćelija (Banchereau i sar., 1994; Grewal i Flavell, 1996; Mach, i sar., 1997; Henn i sar., 1998). CD40L postoji i u solubilnoj formi i ima iste biološke funkcije kao i membranska forma (Ludewig i sar., 1996).

Nizak nivo CD40 je konstitutivno eksprimiran na nezrelim DĆ (Banchereau i sar., 1994), a nakon aktivacije ovih ćelija njegova ekspresija se povećava (Kawai i Akira, 2007). CD40L se ispoljava na T limfocitima nakon aktiviranja T ćelijskog receptora i koreceptora (CD80 i CD86) (Cella i sar., 1996; Koch i sar., 1996). Interakcija CD40:CD40L je bidirekciona pa sa jedne stane ima važnu ulogu u kompletiranju procesa sazrevanja DĆ, dok je sa druge strane neophodna za diferencijaciju i sticanje efektorskih funkcija T ćelija. Naime, aktivacija CD40 molekula na DĆ dovodi do povećanja ekspresije kostimulatornih i adhezivnih molekula i produkcije IL-12 (VanKooten i Banchereau, 2000; Walzer i sar., 2005). Krajnji ishod ove interakcije je pospešivanje antigen-prezentujućih svojstava DĆ, polarizacija T ćelijskog odgovora ka Th1 tipu i aktivacija CTL (Bennett i sar., 1998).

1.9. Terapeutski potencijal dendritskih ćelija

Usavršavanjem postupaka za izolaciju DĆ i njihovog stvaranja u *in vitro* uslovima od prekursora otvorene su brojne mogućnosti za primenu ovih ćelija. DĆ danas predstavljaju jedno od najznačajnijih savremenih oruđa u imunoterapiji tumora i infektivnih bolesti (van Duivenvoorde i sar., 2006; Gilboa, 2007).

Pored uloge u odbrani od patogena, DĆ imaju značajnu ulogu i u razvoju anti-tumorskog imunskog odgovora. U tome su najefikasnije DĆ koje produkuju visok nivo IL-12 (Zheng i sar., 2008). Naime, IL-12 je neophodan u imunoterapiji tumora kao treći signal (Valenzuela i sar., 2002), pored prvog signala (antigen) i drugog signala (kostimulatorni molekuli) za usmeravanje imunskog odgovora ka Th1 tipu i aktivaciju tumor specifičnih citotoksičnih T limfocita (Xu i sar., 2003). Pored jasno dokazanog povoljnog efekta Th1 odgovora u odbacivanju tumora, značajnu ulogu ima i Th17 imunski odgovor. Terapeutski potencijal Th17 odgovora

je predmet aktuelnih istraživanja (Muranski i sar., 2008; Martin-Orozco i sar., 2009). Sa obzirom da je kod obolelih od tumora imunski odgovor suprimiran istraživanja iz oblasti imunoterapije tumora su usmerena ka rekonstituciji anti-tumorskog odgovora. Naime, tumori brojnim mehanizmima izbegavaju efektorske funkcije imunskog sistema i usmeravaju razvoj DĆ u pravcu tolerogenih ćelija koje nemaju sposobnost aktivacije CD8⁺ T limfocita (Gilboa, 2007). Dosadašnja istraživanja su pokazala da zrele DĆ efikasno stimulišu anti-tumorski odgovor i zbog toga je značajan cilj imunoterapije tumora poboljšanje protokola za stimulaciju DĆ radi obrazovanja dovoljnog broja imunogenih DĆ. Smatra se da se „zlatni standard“ za pripremu DĆ u cilju imunoterapije kancera sastoji od koktela proinflamatornih citokina TNF- α , IL-1 β , IL-6 i PGE₂ (Jonuleit i sar., 1997). Međutim, DĆ stimulisane ovim koktelom slabo produkuju IL-12 i samim tim nisu efikasne u pokretanju efikasnog Th1 imunskog odgovora (Pedersen i sar., 2006). Agonisti PRR, pogotovo TLR, imaju veliku primenu u modulaciji funkcija DĆ u eksperimentalnim i kliničkim studijama iz oblasti imunoterapije tumora (Cella i sar., 1999; Verdijk i sar., 1999; Rouas i sar., 2004; Gilboa, 2007). Uprkos brojnim studijama, biološki potencijal DĆ za *in vivo* stimulaciju anti-tumorskog imunskog odgovora još uvek nije maksimalno iskorišćen. U fokusu aktuelnih istraživanja je priprema zrelih DĆ kombinovanom primenom različitih agonista PRR i citokina koja se zasniva na sposobnosti DĆ da integrišu signale sa različitih receptora u jedinstven odgovor.

Sa druge strane, uprkos efikasnoj supresiji replikacije HIV-1 i rekonstituciji CD4⁺ T ćelijske populacije, kombinovana antiretroviralna terapija ne nudi mogućnost eradikacije HIV-1 i razvoja HIV-1 specifičnog ćelijskog imunskog odgovora (Plana i sar., 1998; Ogg, i sar., 1998; Carcelain i sar., 2001; Blankson i sar., 2002). Za kontrolu replikacije HIV-1 virusa neophodna je aktivacija specifičnih citotoksičnih limfocita uz pomoć CD4⁺ T limfocita (Ostrowski i sar., 2000; Letvin i Walker, 2003; Day i Walker, 2003). HIV-1 specifični CD4⁺ i CD8⁺ T limfociti produkuju IFN- γ , ali ne dolazi do replikacije CD4⁺ T ćelija i citolitička aktivnost CD8⁺ T limfocita je narušena (Pitcher i sar., 1999; Garcia i sar., 1999; Seder i Ahmed, 2003; Yokomaku i sar., 2004). Disfunkciji ćelijskog odgovora kod inficiranih sa HIV-

1 doprinose i imunosupresivni efekti DĆ tako da tolerogene DĆ ne samo da služe kao „rezervoar“ HIV-1 virusa već i indukuju tolerancu na HIV-1 (Chehimi i sar., 2002; Steinman i Nussenzweig, 2002; Kawamura i sar., 2003). Kao mogući terapeutski pristup koji bi imao za cilj prevazilaženje navedenih problema predložena je primena *ex vivo* pripremljenih DĆ. Ispitivanja na animalnim modelima su pokazala da DĆ pretretirane sa lizatom HIV-1, glikoproteinima omotača, inaktivisanim virusom ili nanočesticama imaju potencijal da pokrenu snažan imunski odgovor usmeren protiv HIV-1 (Lapenta i sar., 2003; Yoshida i sar., 2003; Aline i sar., 2007). U do sada publikovanim rezultatima kliničkih studija pokazano je da imunoterapija HIV-1 sa DĆ do izvesnog stepena dovodi do razvoja HIV-1 specifičnog imunskog odgovora, ali su rezultati istraživanja veoma varijabilni zbog različitog i nestandardizovanog dizajna studija (Garcia i sar., 2011).

Funkcionalna plastičnost DĆ nudi brojne mogućnosti za primenu ovih ćelija u različite terapeutске svrhe. DĆ mogu imati primenu i u transplantacionoj imunologiji i kod autoimunskih bolesti. Terapijski pristup kod ovih stanja se zasniva na primeni lekova koji nespecifično blokiraju imunski sistem što pacijente čini podložnim infekcijama (Penn, 2000a; Penn, 2000b). Za razliku od imunoterapije kancera, u transplantaciji i kod autoimunskih bolesti cilj je indukcija antigen-specifične supresije imunskog odgovora čime bi se izbegli neželjeni efekti generalne nespecifične supresije. DĆ imunosupresivnih karakteristika se mogu dobiti *in vitro* primenom biološkog, farmakološkog i genetskog pristupa (Ehsen i sar., 2008).

2. HIPOTEZA I CILJEVI ISTRAŽIVANJA

Zahvaljujući specijalizaciji za prepoznavanje specifičnih struktura patogena od strane PRR, pogotovo TLR, DĆ vrše diskriminaciju vrste patogena koja ugrožava homeostazu organizma i u skladu sa primljenim informacijama aktiviraju i usmeravaju imunski odgovor. Tokom infekcije različite komponente patogena istovremeno aktiviraju veći broj PRR, a interakcija između signalnih puteva pokrenutih nakon aktivacije ovih receptora ima ključni uticaj na krajni ishod imunskog odgovora. Dakle, iako aktivacija pojedinačnog receptora dovodi do fenotipskih i funkcionalnih promena DĆ, za pokretanje efikasnog imunskog odgovora neophodna je kooperacija između više receptora (Roelofs i sar., 2005; Trinchieri i Sher, 2007; Bagchi i sar., 2007; Ouyang i sar., 2007). Za modulaciju funkcija DĆ, pored stimulacije PRR, značajnu ulogu imaju i citokini prirodnog imuniteta koji se produkuju tokom infekcije, kao i signali stečenog imuniteta koje DĆ dobijaju tokom njihove interakcije sa T limfocitima.

Sposobnost DĆ da primaju signale sa različitih receptora koje integrišu u jedinstveni odgovor se sve više koristi za generisanje zrelih DĆ kombinovanom primenom različitih agonista PRR i citokina. Na osnovu rezultata dosadašnjih istraživanja, postavljena je radna hipoteza: kombinovana primena TLR3 agonista sa TLR7 agonistom, agonistom dektin-1 receptora, citokinom urođenog imuniteta i signalima stečenog imuniteta poboljšava fenotipske i funkcionalne karakteristike humanih MoDĆ *in vitro* u odnosu na tretman pojedinačnim stimulatorima.

U cilju provere radne hipoteze postavljeni su sledeći ciljevi istraživanja:

- Ispitati fenotipske i funkcionalne karakteristike humanih MoDĆ stimulisanih TLR3 agonistom, Poly (I:C);
- Ispitati efekat kombinovane primene selektivnih TLR3 i TLR7 agonista (Poly (I:C) i loksoribina) na fenotipske i funkcionalne karakteristike humanih MoDĆ;
- Ispitati modulatorni efekat ko-aktivacije dektin-1 receptora i TLR3 na fenotipske i funkcionalne karakteristike humanih MoDĆ;

- Ispitati dozno- i vremensku- zavisnost modulatornog efekta kombinovane primene Poly (I:C) i citokina prirodnog imuniteta, TNF- α , na fenotipska i funkcionalna svojstva humanih MoDĆ;
- Ispitati uticaj signala stečenog imuniteta koje DĆ dobijaju tokom njihove interakcije sa T ćelijama, uključujući signalizaciju preko CD40 molekula i receptora za IFN- γ na funkcionalne karakteristike humanih MoDĆ diferenciranih u prisustvu Poly (I:C).

3. MATERIJALI I METODE

3.1. Medijumi, hemikalije, supstance

3.1.1. Medijumi

3.1.1.1. RPMI 1640

Kao osnovni medijum za izolaciju i kultivisanje ćelija korišćen je RPMI 1640 medijum (ICN Flow, SAD) kome je dodato 1% L-glutamina (ICN Flow, SAD), 1% gentamicina (ICN-Galenika, Beograd) i 7.5% NaHCO₃ (Apoteka VMA, Beograd) kao pufer.

Za izolaciju mononuklearnih ćelija periferne krvi (MNĆ) korišćen je osnovni medijum kome je dodato 0.02% NaEDTA (Apoteka VMA, Beograd).

Za ispiranje MNĆ korišćen je osnovni medijum kome je dodato 2% fetalnog telećeg seruma (Fetal calf serum, FCS, ICN Flow, SAD).

Za kultivaciju ćelija korišćen je kompletni medijum koji predstavlja osnovni medijum u koji je dodato 10% fetalnog telećeg seruma, 50µM 2-merkaptoetanola (2-ME), 50 i.j/ml penicilina, 50 mg/ml streptomicina. (0.1% penicilina i streptomicina)

3.1.1.2. PBS (Phosphate Buffered Saline)

Fiziološki rastvor puferovan fosfatnim puferom (Phosphate Buffered Saline, PBS) pravljen je u dejonizovanoj vodi po sledećoj recepturi:

14 ml 0.2M NaH₂PO₄ (Serva, Nemačka)

36 ml 0.2M Na₂HPO₄ (Serva, Nemačka)

50 ml 16% NaCl (Zorka, Šabac)

900 ml destilovane vode

Modifikovani puferi za pripremu ćelija za fenotipsku analizu metodom protočne citofluorimetrije su pravljeni dodavanjem natrijum-azida (NaN₃) i fetalnog telećeg seruma u PBS i to:

PBS1: PBS + 0.01% NaN₃ (Apoteka VMA, Beograd)

PBS2: PBS + 0.01% NaN₃ + 2% FCS

3.1.1.3. Pufer za magnetno sortiranje

Pufer za magnetno sortiranje se priprema dodavanjem 2 mM EDTA i 0.5% goveđeg serum-albumina (Sigma-Aldrich, Nemačka) u PBS.

3.1.1.4. K-PBS

K-PBS je korišćen za pripremu pufera za ispiranje ploča u ELISA testovima, a sastojao se od 137 mM NaCl (Zorka, Šabac), 2.7 mM KCl (Serva, Nemačka), 8.1 mM Na₂HPO₄ (Serva, Nemačka) i 1.5 mM KH₂PO₄ (Serva, Nemačka) sa podešenim pH na 7.2 - 7.4.

3.1.2. Citokini

3.1.2.1. Rekombinantni humani GM-CSF (rhGM-CSF)

Rekombinantni humani GM-CSF (Leucomax, specifične aktivnosti 4.44×10^6 IU) je nabavljen od Sandoz-Schering Plough, Švajcarska. Rastvoren je pod sterilnim uslovima u destilovanoj vodi i RPMI 1640 medijumu do koncentracije od 100 µg/ml i tako čuvan do upotrebe na -80°C. U eksperimentu je rhGM-CSF korišćen u finalnoj koncentraciji od 100 ng/ml.

3.1.2.2. Rekombinantni humani IL-4 (rhIL-4)

Rekombinantni humani IL-4 nabavljen je od Roche Diagnostics GmbH, Nemačka. Rastvoren je pod sterilnim uslovima u PBS-u obogaćenom sa 0.1% goveđim serum-albuminom do koncentracije od 25 µg/ml i tako čuvan do upotrebe na -80°C. U eksperimentu je rhIL-4 korišćen u finalnoj koncentraciji od 20 ng/ml.

3.1.2.3. Rekombinantni humani (rhTNF-α)

Rekombinantni humani TNF-α nabavljen je od Roche Diagnostics GmbH, Nemačka. Rastvoren je pod sterilnim uslovima u PBS-u obogaćenom sa 0.1%

govedim serum-albuminom do koncentracije od 100 µg/ml i tako čuvan do upotrebe na -80°C. rhTNF- α je u eksperimentu korišćen u finalnoj koncentraciji od 10 ng/ml.

3.1.2.4. Rekombinantni humani (rhIFN- γ)

Rekombinantni humani IFN- γ nabavljen je od Roche Diagnostics GmbH, Nemačka. Rastvoren je pod sterilnim uslovima u PBS-u obogaćenom sa 0.1% govedim serum-albuminom do koncentracije od 100 µg/ml i tako čuvan do upotrebe na -80°C. rhIFN- γ je u eksperimentu korišćen u finalnoj koncentraciji od 5 ng/ml.

3.1.3. Imunomodulatorne i druge supstance

3.1.3.1. Poliinosinsko-policitidilinska kiselina (Poly (I:C))

Poly (I:C) (Sigma-Aldrich-Aldrich, Nemačka) rastvoren je u RPMI 1640 medijumu do koncentracije od 10 mg/ml i čuvan do upotrebe na -20°C. Poly (I:C) je u eksperimentu korišćen u koncentraciji od 5 µg/ml, 25 µg/ml i 50 µg/ml.

3.1.3.2. Loksoribin (Loxoridine)

Loksoribin (InvivoGen, SAD) rastvoren je u RPMI 1640 medijumu do koncentracije od 2 mg/ml i čuvan do upotrebe na -20°C. Loksoribin je u eksperimentu korišćen u koncentracijama od 100 µg/ml i 250 µg/ml.

3.1.3.3. Kurdlan (Curdlan)

Kurdlan (Sigma-Aldrich-Aldrich, Nemačka) je rastvoren do koncentracije od 30 mg/ml, najpre u destilovanoj vodi i potom je dodat 3N NaOH, i čuvan do upotrebe na +4°C. Kurdlan je u eksperimentu korišćen u koncentracijama od 10 µg/ml i 1000 µg/ml.

3.1.3.4. Rekombinantni humani ligand za CD40 molekul (CD40 ligand, CD40L)

Rekombinantni humani CD40L nabavljen je od InvivoGen, SAD. Rastvoren je pod sterilnim uslovima u PBS-u obogaćenom sa 0.1% goveđim serum-albuminom do koncentracije od 100 µg/ml i tako čuvan do upotrebe na -80°C. rhIFN- γ je u eksperimentu korišćen u finalnoj koncentraciji od 10 µg/ml.

3.1.3.5. 2-merkaptoetanol (2-ME)

2-merkaptoetanol (Fluka, Nemačka) je rastvoren u medijumu za kultivaciju do koncentracije od 50 mM i čuvan do upotrebe na +4°C, zaštićen od svetlosti. U eksperimentu je 2-ME korišćen u koncentraciji od 50 µM.

3.1.3.6. Radioaktivno obeležen timidin

Timidin obeležen tricijumom ($[^3\text{H}]\text{-timidin}$; Amersham International, Velika Britanija), specifične aktivnosti 5 µCi/mM, u eksperimentu je korišćen u koncentraciji od 1 µCi po bazenu ploče od 96 mesta (Sarstedt, Nemačka).

3.1.3.7. Limfoprep gradijent za izdvajanje humanih mononuklearnih ćelija (Lymphoprep)

Limfoprep (PAA Laboratories GmbH, Austrija) je gradijent gustine 1.077 g/ml i korišćen je za izolovanje mononuklearnih ćelija iz humane periferne krvi.

3.1.3.8. Monenzin (monensin sodium)

Monenzin (Sigma-Aldrich-Aldrich, Nemačka) je rastvoren u dimetilsulfoksidu do koncentracije od 6mM i čuvan do upotrebe na -20°C. U eksperimentu je korišćen u koncentraciji od 3 µM.

3.2. Izolacija i kultivacija humanih mononukelarnih ćelija iz periferne krvi

3.2.1. Izolacija humanih mononuklearnih ćelija iz periferne krvi

Mononuklearne ćelije su izolovane iz „buffy coat“-a (sloj leukocita dobijen centrifugiranjem pune krvi u postupku pripremanja krvnih derivata-plazme, eritrocita, trombocita) koji je dobijen iz Instituta za transfuziologiju Vojnomedicinske akademije uz pismenu saglasnost davalaca. „Buffy coat“ je prvo razblažen u medijumu za izolaciju MNČ u odnosu 1:4. Razblažena ćelijska suspenzija je u zapremini od 7 ml pipetom pažljivo nanošena na 3 ml Limfoprep gradijenta. U tako dobijenoj dvofaznoj suspenziji se posle centrifugiranja na 800xg obrtaja tokom 20 minuta na sobnoj temperaturi izdvojio prsten MNČ u interfazi. Gornji sloj razblažene plazme je uklonjen, a MNČ su pažljivo sakupljane i potom resuspendovane u medijumu sa 0.02% NaEDTA i ispirane od gradijenta centrifugiranjem na 2500 obrtaja tokom 15 min na sobnoj temperaturi. U cilju uklanjanja trombocita MNČ su resuspendovane u medijumu za ispiranje i centrifugirane na malim brzinama (1000 obrtaja tokom 10 minuta na sobnoj temperaturi). Talog je resuspendovan u medijumu za kultivaciju.

Ovako dobijene ćelije su korišćene za dalju izolaciju monocita i CD4⁺ T limfocita.

3.2.2. Izolacija monocita periferne krvi

Monociti su izolovani iz MNČ adherencijom za plastiku flaskova za ćelijske kulture (Flow, Škotska). U svaki flask je na adherencu zasejano po $30-40 \times 10^6$ ćelija u 5 ml medijuma. Nakon inkubacije u trajanju od 1,5 sata na 37°C u atmosferi zasićenoj vodenom parom sa 5% CO₂, flaskovi su ispirani toplim medijumom u cilju uklanjanja neadherentnih ćelija. Adherentni monociti su dalje kultivisani prema potrebama eksperimenta.

3.2.3. Dobijanje i kultivacija dendritskih ćelija monocitnog porekla (MoDĆ)

Monociti dobijeni adherencom MNĆ za plastiku su kultivisani narednih 5-7 dana na 37°C u atmosferi zasićenoj vodenom parom sa 5% CO₂ u medijumu za kultivaciju ćelija kome su dodati GM-CSF u koncentraciji od 100 ng/ml i IL-4 u koncentraciji od 20 ng/ml. Nakon 5-7 dana kultivacije sakupljene su neadherentne ćelije, koje su predstavljale nezrele MoDĆ, i koje su kao takve korišćene u daljim testovima. Sazrevanje nezrelih MoDĆ je izazvano stimulisanjem ovih ćelija agonistima receptora koji su dodavani u ćelijske kulture i to Poly (I:C) (5 µg/ml, 25 µg/ml i 50 µg/ml), loksoribin (100 µg/ml i 250 µg/ml) i kurdlan (10 µg/ml i 100 µg/ml). Efekti citokina TNF-α (10 ng/ml) i IFN-γ (5 ng/ml), kao i liganda za CD40 (10 µg/ml), na ćelije u kulturama ispitivani su njihovim dodavanjem ponaosob istovremeno sa agonistima receptora ili posle 24h kultivacije ćelija. Ćelije su nakon stimulacije u trajanju od 24h ili 48h isprane dva puta u čistom medijumu, u cilju oslobođanja od egzogenih i endogenih citokina, i kao takve korišćene u daljim testovima. Supernatanti iz svih bazena u kojima su ćelije bile kultivisane su pokupljeni i zamrznuti na -20°C radi kasnijeg određivanja nivoa produkovanih citokina.

3.2.4. Izolacija alogenih CD4⁺ T limfocita tehnikom magnetnog sortiranja

Za postavljanje kulture mešane leukocitne reakcije (engl. mixed leukocyte reaction, MLR), kao i za utvrđivanje Th citokinskog profila, korišćene su CD4⁺ ćelije koje su dobijene kao negativna frakcija iz MNĆ primenom tehnike magnetnog sortiranja. Naime, od alogenih MNĆ, dobijenih prethodno opisanim postupkom, je odvojeno 1x10⁸ ćelija i izvedena je procedura imunomagnetskog sortiranja CD4⁺ T limfocita, korišćenjem CD4⁺ kita za izolaciju, a prema protokolu proizvođača (CD4⁺ T Cell Isolation Kit II, Myltenyi Biotec, Nemačka). Ukratko, ćelije su inkubirane 15 minuta na hladnom u puferu za magnetno sortiranje sa koktelom antitela konjugovanih sa biotinom, u razblaženju 1:5. Koktel je sadržao antitela na sledeće antigene: CD8, CD14, CD16, CD19, CD36, CD56, CD123, TCR γ/δ i CD235a.

Nakon inkubacije, ćelije su dva puta isprane u puferu za sortiranje ćelija i inkubirane 15 minuta na hladnom sa anti-biotin magnetnim partikulama u finalnom razblaženju 1:5. Magnetnim partikulama obeležena ćelijska suspenzija je nakon inkubacije isprana dva puta u puferu za sortiranje, resuspendovana u 500 µl istog pufera i potom naneta na separacionu kolonu (LS Columns, MACS, Myltenyi Biotec, Nemačka) postavljenu u magnetnom polju (Midi MACS Magnet, Myltenyi Biotec, Nemačka). Nakon jednog ciklusa magnetne deplecije na koloni su se izdvojile imunomagnetno obeležene ćelije, dok su u eluatu sakupljene prečišćene CD4⁺ T ćelije. Čistoća izolovanih CD4⁺ ćelija je bila preko 95%, što je potvrđeno protočnom citofluorimetrijom korišćenjem anti-CD4-FITC i anti-CD3-PE antitela.

3.2.5. Izolacija alogenih naivnih (CD45RA⁺) i memorijskih (CD45RO⁺) T limfocita imunomagnetnim sortiranjem ukupnih CD4⁺ T limfocita

Naivni i memorijski CD4⁺ T limfociti su, kao pozitivna i negativna frakcija, izolovani iz prethodno sortiranih CD4⁺ T limfocita prema ekspresiji CD45RA molekula korišćenjem magnetnih partikula konjugovanih sa mišjim anti-humanim CD45RA monoklonskim antitelom (CD45RA MicroBeads, MACS, Myltenyi Biotec, Nemačka). Usledila je inkubacija CD4⁺ T ćelija magnetnim partikulama, u trajanju od 15 minuta, na hladnom. Posle toga suspenzija ćelija je isprana dva puta u puferu za sortiranje i resuspendovana u 500 µl istog pufera i naneta na separacionu kolonu (LS Columns, MACS, Myltenyi Biotec, Nemačka) postavljenu u magnetnom polju (Midi MACS Magnet, Myltenyi Biotec, Nemačka). Nakon jednog ciklusa magnetne deplecije na koloni su se izdvojile CD45RA imunomagnetno obeležene ćelije, dok su u eluatu kao negativna frakcija dobijene CD45RO ćelije. Čistoća izolovanih celija je bila preko 90%, što je potvrđeno protočnom citofluorimetrijom korišćenjem anti-CD4-FITC, anti-CD3-PE, anti-CD45RA-PE (Serotec, V. Britanija) i anti-CD45RO-PE antitela (Immunotools, Nemačka).

3.3. Fenotipske karakteristike MoDĆ

3.3.1. Monoklonska antitela

Diferencijacija i sazrevanje MoDĆ praćena je fenotipskom analizom diferencijalno eksprimiranih markera na površini ćelija. U tu svrhu korišćenja su monoklonska antitela u određenim razblaženjima, kao što je navedeno:

Monoklonsko antitelo	Razblaženje	Proizvođač
Mišije anti-humano CD40 (FITC)	1:5	BD Biosciences, SAD
Mišije anti-humano HLA-DR (PE)	1:10	Serotec, V. Britanija
Mišije anti-humano CD54 (PE)	1:10	Serotec, V. Britanija
Mišije anti-humano CD83 (FITC)	1:5	BD Biosciences, SAD
Mišije anti-humano CD86 (PE)	1:10	Serotec, V. Britanija
Mišije anti-humano CCR7 (FITC)	1:10	R&D Systems, SAD
Mišije anti-humano CD80 (PE)	1:10	Serotec, V. Britanija

3.3.2. Protočna citofluorimetrija

Nezrele MoDĆ kao i MoDĆ stimulisane sa Poly (I:C), loksoribinom, kurdlanom, CD40L, TNF- α i IFN- γ , su isprane u hladnom PBS1 na 1800 rpm tokom 8 minuta na +4°C. Nakon ispiranja, ćelije su resuspendovane u PBS1 do koncentracije od 1×10^5 ćelija u 50 μ l po epruveti za protočnu citofluorimetriju. U suspenziju celija su dodavna monoklonska antitela u prethodno prikazanim finalnim razblaženjima. Ćelije su potom inkubirane 30 minuta na +4°C. I potom isprane centrifugiranjem na 1800 rpm, na hladnom, tokom 8 minuta i fiksirane u 4% formalinu. Kontrola se sastojala od uzorka sa adekvatnim irelevantnim mišijim monoklonskim antitelima

specifičim za pacovske antigena konjugovanim sa odgovarajućom fluorescentnom bojom.

Fenotip obeleženih ćelija je analiziran na EPICS XL-MCS protočnom citofluorimetru (Coulter, Krefeld, Nemačka) korišćenjem programa SZSTEMTM II software. U ovom aparatu kao izvor svetlosti korišćen je argonski laser sa emisijom ekscitirajuće svetlosti u opsegu talasne dužine 450-530nm. Rezultati su predstavljeni kao numeričke vrednosti procenta pozitivnih ćelija i srednje vrednosti intenziteta fluorescence (engl. mean fluorescence intensity, mfi). Procenat pozitivnih ćelija je određivan postavljenjem graničnika na histogramu fluorescencije na osnovu kontrole. Srednji intenzitet fluorescencije predstavlja aritmetičku sredinu intenziteta fluorescencije pojedinačnih događaja (ćelija) izraženu u relativnim brojevima kanala fluorescencije (0-1024). Analizirano je najmanje 5000 ćelija po uzorku.

3.4. Funkcionalne karakteristike MoDĆ

Alostimulatorni potencijal MoDĆ i sposobnost usmeravanja T ćelijskog odgovora ka Th1, Th2, Th17 ili Treg odgovoru su ispitivani korišćenjem sledećih testova:

Test alogene mešane leukocitne reakcije – MLR

ELISA test za utvrđivanje produkovanih citokina u kulturama MoDĆ

ELISA test za utvrđivanje produkovanih citokina u od strane T limfocita kokulturama – Th profil

3.4.1. Alostimulatorni potencijal MoDĆ

Alostimulatorni potencijal MoDĆ je ispitivan MLR testom u kome su nezrele i stimulisane MoDĆ korišćene kao stimulatori, dok su kao responderi korišćeni CD4⁺ T limfociti od alogenog davaoca. U ploču od 96 mesta sa „U“- dnom (Sarstedt, Nemačka) su dodati stimulatori kao triplikati dvostruko opadajućih razblaženja (od

1×10^4 do 0.125×10^4 MoDĆ po bazenu) i konstantan broj (1×10^5) CD4⁺ T ćelija u ukupnoj zapremini od 200 µl po bazenu. Ćelije su kultivisane 6 dana u kompletном medijumu u termostatu na 37°C i 5% CO₂. Osamnaest sati pre isteka kultivacije dodat je radioaktivno obeleženi timidin [³H] u koncentraciji 1 µCi po bazenčiću. Nakon isteka kulture ćelije su pokupljene automatskim skidačem kulture (Titertec Cell Harvester, ICN Flow, SAD). Ugradanja [³H] timidina izmerena je scintilacionim β-brojačem (LKB-1219 Rackbeta, Finska) i izražena je kao broj otkucaja u minuti (engl. counts per minute, cpm).

3.4.2. Određivanje produkovanih citokina od strane kultivisanih MoDĆ

U supernatantima kultura nezrelih i stimulisanih MoDĆ određena je koncentracija citokina IL-12p70, IL-23, IL-27, IL-10, IL-6 i TNF-α korišćenjem komercijalnih ELISA testova.

3.4.2.1. IL-12p70

Koncentracija IL-12p70 u supernatantima kultura MoDĆ određivana je komercijalnim ELISA testom, sledeći uputstva proizvodača (R&D Systems, SAD). U ovom testu, mikroploče od 96 mesta (Corning Costar 9018 ELISA plate, Sigma-Aldrich, Nemačka) su bile obložene mišijim monoklonskim antitelima specifičnim za humani IL-12p70, dok je za sekundarno poliklonsko kozje anti-humano antitelo bilo konjugovano biotinom. Kao supstrat za ovaj enzim je korišćen vodonik peroksid (H₂O₂) i tetrametilbenzidin, dok je kao standard u testu korišćen rekombinantni humani IL-12p70.

Procedura testa je sledeća:

U svaki bunar ploče dodato je 100 µl antitela za oblaganje ploče (coating antibody) i inkubirano preko noći na sobnoj temperaturi. Po isteku inkubacije ploča je isprana 3 puta sa puferom za ispiranje (wash buffer, K-PBS sa 0.05% Tween 20) i blokirana dodavanjem 300 µl rastvora koji sadrži K-PBS i goveđi serum albumin (reagent diluent). Posle inkubacije u trajanju od 1 sata ploča je isprana 3 puta i dodato je po 100 µl standarda u duplikatima dvostrukih opadajućih koncentracija

(2000 pg/ml - 0 pg/ml) i u odgovarajuće bazene po 100 µl uzoraka u kojima smo želeli da odredimo koncentraciju citokina. Po isteku inkubacije u trajanju od 2 sata i ispiranja ploče, dodato je 100 µl po bazenu biotiniziranog sekundarnog antitela i ploča je inkubirana 2 sata. Nakon toga, ploča je isprana i u svaki bazen je dodato po 100 µl streptavidinom konjugovanog enzima peroksidaze rena. Posle inkubacije u trajanju od 20 minuta na sobnoj temperaturi i ponovljenog ispiranja, u svako polje je dodato po 100 µl rastvora supstrata i usledila je inkubacija u trajanju od 20 min u mraku. Kao finalni korak dodato je po 50 µl rastvora za zaustavljanje reakcije. Intenzitet boje je meren na spektrofotometru na 450 nm talasne dužine, a tražena koncentracija citokina u svakom od uzorka je određena na osnovu standardne krive.

3.4.2.2. IL-27

Koncentracija IL-27 u supernatantima kultura MoDĆ određivana je komercijalnim ELISA testom, sledeći uputstva proizvođača (R&D Systems, SAD). U ovom testu, mikroploče od 96 mesta (Corning Costar 9018 ELISA plate, Sigma-Aldrich, Nemačka) su bile obložene mišijim monoklonskim antitelima specifičnim za humani IL-27, dok je za sekundarno poliklonsko kozje anti-humano antitelo bilo konjugovano biotinom. Kao supstrat za ovaj enzim je korišćen vodonik peroksid (H_2O_2) i tetrametilbenzidin, dok je kao standard u testu korišćen rekombinantni humani IL-27.

Procedura testa je sledeća:

U svaki bunar ploče dodato je 100 µl antitela za oblaganje ploče (coating antibody) i inkubirano preko noći na sobnoj temperaturi. Po isteku inkubacije ploča je isprana 3 puta sa puferom za ispiranje (wash buffer, K-PBS sa 0.05% Tween 20) i blokirana dodavanjem 300 µl rastvora koji sadrži K-PBS i goveđi serum albumin (reagent diluent). Posle inkubacije u trajanju od 1 h ploča je isprana 3 puta i dodato je po 100 µl standarda u duplikatima dvostrukih opadajućih koncentracija (10000 pg/ml - 0 pg/ml) i u odgovarajuće bazene po 100 µl uzoraka u kojima smo želeli da odredimo koncentraciju citokina. Po isteku inkubacije u trajanju od 2 sata i ispiranja ploče, dodato je 100 µl po bazenu biotiniziranog sekundarnog antitela i

ploča je inkubirana 2 sata. Nakon toga, ploča je isprana i u svaki bazen je dodato po 100 µl streptavidinom konjugovanog enzima peroksidaze rena. Posle inkubacije u trajanju od 20 minuta na sobnoj temperaturi i ponovljenog ispiranja, u svako polje je dodato po 100 µl rastvora supstrata i usledila je inkubacija u trajanju od 20 min u mraku. Kao finalni korak dodato je po 50 µl rastvora za zaustavljanje reakcije. Intenzitet boje je meren na spektrofotometru na 450 nm talasne dužine, a tražena koncentracija citokina u svakom od uzoraka je određena na osnovu standardne krive.

3.4.2.3. IL-23

Koncentracija IL-23 u supernatantima kultura MoDĆ određivana je komercijalnim ELISA testom, sledeći uputstva proizvođača (eBioscience, SAD). U ovom testu, mikroploče od 96 mesta (Corning Costar 9018 ELISA plate, Sigma-Aldrich, Nemačka) su bile obložene antitelima specifičnim za humani IL-23, dok je sekundarno anti-humano antitelo bilo konjugovano biotinom. Enzim peroksidaza rena je bio konjugovan streptavidinom, što je omogućilo specifično prepoznavanje i vezivanje za biotinom obeleženo sekundarno antitelo. Kao supstrat za ovaj enzim je je korišćen vodonik peroksid (H_2O_2) i tetrametilbenzidin, dok je kao standard u testu korišćen rekombinantni humani IL-23. Senzitivnost metode je 15 pg/ml.

Procedura testa je sledeća:

U svaki bunar ploče dodato je 100 µl antitela za oblaganje ploče (coating antibody) i inkubirano preko noći na +4 °C. Po isteku inkubacije ploča je isprana 5 puta sa puferom za ispiranje (wash buffer, K-PBS sa 0.05% Tween 20) i blokirana dodavanjem 200 µl rastvora koji sadrži PBS i goveđi serum (assay buffer). Posle inkubacije u trajanju od 1 sata ploča je isprana 5 puta i dodato je po 100 µl standarda u duplikatima dvostrukih opadajućih koncentracija (2000 pg/ml - 0 pg/ml) i u odgovarajuće bazene po 100 µl uzoraka u kojima smo želeli da odredimo koncentraciju citokina. Po isteku inkubacije u trajanju od 2 sata i ispiranja ploče, dodato je 100 µl po bazenu biotiniziranog sekundarnog antitela i ploča je inkubirana 1 sat. Nakon toga, ploča je isprana i u svaki bazen je dodato po 100 µl streptavidinom konjugovanog enzima peroksidaze rena. Posle tridesetominutne

inkubacije na sobnoj temperaturi i ponovljenog ispiranja, u svako polje je dodato po 100 µl rastvora supstrata i usledila je inkubacija u trajanju od 15 min u mraku. Kao finalni korak dodato je po 50 µl rastvora za zaustavljanje reakcije (stop solution, 2N H₂SO₄). Intenzitet boje je meren na spektrofotometru na 450 nm talasne dužine, a tražena koncentracija citokina u svakom od uzoraka je određena na osnovu standardne krive.

3.4.2.4. IL-10

Koncentracija IL-10 u supernatantima kultura MoDĆ određivana je komercijalnim ELISA testom, sledeći uputstva proizvođača (eBioscience, SAD). U ovom testu, mikroploče od 96 mesta (Corning Costar 9018 ELISA plate, Sigma-Aldrich, Nemačka) su bile obložene antitelima specifičnim za humani IL-10, dok je sekundarno anti-humano antitelo bilo konjugovano biotinom. Enzim peroksidaza rena je bio konjugovan sa streptavidinom, što je omogućilo specifično prepoznavanje i vezivanje za biotinom obeleženo sekundarno antitelo. Kao supstrat za ovaj enzim je korišćen vodonik peroksid (H₂O₂) i tetrametilbenzidin, dok je kao standard u testu korišćen rekombinantni humani IL-10. Senzitivnost metode je 2 pg/ml.

Procedura testa je sledeća:

U svaki bunar ploče dodato je 100 µl antitela za oblaganje ploče (coating antibody) i inkubirano preko noći na +4 °C. Po isteku inkubacije ploča je isprana 5 puta sa puferom za ispiranje (wash buffer, K-PBS sa 0.05% Tween 20) i blokirana dodavanjem 200 µl rastvora koji sadrži PBS i govedi serum (assay buffer). Posle inkubacije u trajanju od 1 sata ploča je isprana 5 puta i dodato je po 100 µl standarda u duplikatima dvostrukih opadajućih koncentracija (300 pg/ml - 0 pg/ml) i u odgovarajuće bazene po 100 µl uzoraka u kojima smo želeli da odredimo koncentraciju citokina. Po isteku inkubacije u trajanju od 2 sata i ispiranja ploče, dodato je 100 µl po bazenu biotiniziranog sekundarnog antitela i ploča je inkubirana 1 sat. Nakon toga, ploča je isprana i u svaki bazen je dodato po 100 µl streptavidinom konjugovanog enzima peroksidaze rena. Posle tridesetominutne inkubacije na sobnoj temperaturi i ponovljenog ispiranja, u svako polje je dodato

po 100 µl rastvora supstrata i usledila je inkubacija u trajanju od 15 min u mraku. Kao finalni korak dodato je po 50 µl rastvora za zaustavljanje reakcije (stop solution, 2N H₂SO₄). Intenzitet boje je meren na spektrofotometru na 450 nm talasne dužine, a tražena koncentracija citokina u svakom od uzoraka je određena na osnovu standardne krive.

3.4.2.5. IL-6

Koncentracija IL-6 u supernatantima kultura MoDĆ određivana je komercijalnim ELISA testom, sledeći uputstva proizvođača (eBioscience, SAD). U ovom testu, mikroploče od 96 mesta (Corning Costar 9018 ELISA plate, Sigma-Aldrich, Nemačka) su bile obložene antitelima specifičnim za humani IL-6, dok je sekundarno anti-humano antitelo bilo konjugovano biotinom. Enzim peroksidaza rena je bio konjugovan sa streptavidinom, što je omogućilo specifično prepoznavanje i vezivanje za biotinom obeleženo sekundarno antitelo. Kao supstrat za ovaj enzim je korišćen vodonik peroksid (H₂O₂) i tetrametilbenzidin, dok je kao standard u testu korišćen rekombinantni humani IL-6. Senzitivnost metode je 2 pg/ml.

Procedura testa je sledeća:

U svaki bunar ploče dodato je 100 µl antitela za oblaganje ploče (coating antibody) i inkubirano preko noći na +4 °C. Po isteku inkubacije ploča je isprana 5 puta sa puferom za ispiranje (wash buffer, K-PBS sa 0.05% Tween 20) i blokirana dodavanjem 200 µl rastvora koji sadrži PBS i goveđi serum (assay buffer). Posle inkubacije u trajanju od 1 sata ploča je isprana 5 puta i dodato je po 100 µl standarda u duplikatima dvostrukih opadajućih koncentracija (200 pg/ml - 0 pg/ml) i u odgovarajuće bazene po 100 µl uzoraka u kojima smo želeli da odredimo koncentraciju citokina. Po isteku inkubacije u trajanju od 2 sata i ispiranja ploče, dodato je 100 µl po bazenu biotiniziranog sekundarnog antitela i ploča je inkubirana 1 sat. Nakon toga, ploča je isprana i u svaki bazen je dodato po 100 µl streptavidinom konjugovanog enzima peroksidaze rena. Posle tridesetominutne inkubacije na sobnoj temperaturi i ponovljenog ispiranja, u svako polje je dodato po 100 µl rastvora supstrata i usledila je inkubacija u trajanju od 15 min u mraku.

Kao finalni korak dodato je po 50 µl rastvora za zaustavljanje reakcije (stop solution, 2N H₂SO₄). Intenzitet boje je meren na spektrofotometru na 450 nm talasne dužine, a tražena koncentracija citokina u svakom od uzoraka je određena na osnovu standardne krive.

3.4.2.6. TNF- α

Koncentracija TNF- α u supernatantima kultura MoDĆ određivana je komercijalnim ELISA testom, sledeći uputstva proizvođača (eBioscience, SAD). U ovom testu, mikroploče od 96 mesta (Corning Costar 9018 ELISA plate, Sigma-Aldrich, Nemačka) su bile obložene antitelima specifičnim za humani TNF- α , dok je sekundarno anti-humano antitelo bilo konjugovano biotinom. Enzim peroksidaza rena je bio konjugovan streptavidinom, što je omogućilo specifično prepoznavanje i vezivanje za biotinom obeleženo sekundarno antitelo. Kao supstrat za ovaj enzim je je korišćen vodonik peroksid (H₂O₂) i tetrametilbenzidin, dok je kao standard u testu korišćen rekombinantni humani TNF- α . Senzitivnost metode je 4 pg/ml.

Procedura testa je sledeća:

U svaki bunar ploče dodato je 100 µl antitela za oblaganje ploče (coating antibody) i inkubirano preko noći na +4 °C. Po isteku inkubacije ploča je isprana 5 puta sa puferom za ispiranje (wash buffer, K-PBS sa 0.05% Tween 20) i blokirana dodavanjem 200 µl rastvora koji sadrži PBS i goveđi serum (assay buffer). Posle inkubacije u trajanju od 1 sata ploča je isprana 5 puta i dodato je po 100 µl standarda u duplikatima dvostrukih opadajućih koncentracija (500 pg/ml - 0 pg/ml) i u odgovarajuće bazene po 100 µl uzoraka u kojima smo želeli da odredimo koncentraciju citokina. Po isteku inkubacije u trajanju od 2 sata i ispiranja ploče, dodato je 100 µl po bazenu biotiniziranog sekundarnog antitela i ploča je inkubirana 1 sat. Nakon toga, ploča je isprana i u svaki bazen je dodato po 100 µl streptavidinom konjugovanog enzima peroksidaze rena. Posle tridesetominutne inkubacije na sobnoj temperaturi i ponovljenog ispiranja, u svako polje je dodato po 100 µl rastvora supstrata i usledila je inkubacija u trajanju od 15 min u mraku. Kao finalni korak dodato je po 50 µl rastvora za zaustavljanje reakcije (stop solution, 2N H₂SO₄). Intenzitet boje je meren na spektrofotometru na 450 nm

talasne dužine, a tražena koncentracija citokina u svakom od uzoraka je određena na osnovu standardne krive.

3.4.3. Određivanje citokina produkovanih od strane T limfocita u kokulturi sa MoDĆ

U supernatantima kultura CD4⁺ T limfocita i MoDĆ određena je koncentracija citokina IFN-γ, IL-17, IL-5, IL-2 i IL-10 primenom komercijalnih ELISA testova i metodom za detekciju citokina pomoću imunofluorescentnih kuglica i protočne citofluorimetrije (Th1/Th2 11plex Kit, Bender MedSystems, Vienna, Austrija), prema uputstvu proizvođača.

U bazene ploče sa 96 mesta sa „U“-dnom (Sarstedt, Nemačka) dodato je po 1×10^4 nezrelih i stimulisanih MoDĆ. U iste bazene dodati su i sortirani CD4⁺ T limfociti, kao i naivne i memoriske podvrste CD4⁺ T limfocita, i to 1×10^5 po bazenu i to u zapremini od 200 µl medijuma za kultivaciju ćelija po bazenu. Nakon petodnevne inkubacije u svaki bazen su dodati forbol-12-miristat-13-acetat (engl. phorbol 12-myristate 13-acetate, PMA, Sigma-Aldrich, Nemačka) u koncentraciji od 20 ng/ml i jonomicin (Sigma-Aldrich, Nemačka) u koncentraciji od 500 ng/ml. Ćelije su inkubirane još 24h, a zatim su u supernatantima svakog bazena određivane koncentracije citokina.

3.4.3.1. IL-17

Koncentracija IL-17 u supernatantima kokultura MoDĆ i CD4⁺ T limfocita određivana je komercijalnim ELISA testom, sledeći uputstva proizvođača (eBioscience, SAD). U ovom testu, mikroploče od 96 mesta (Corning Costar 9018 ELISA plate, Sigma-Aldrich, Nemačka) su bile obložene antitelima specifičnim za humani IL-17, dok je sekundarno anti-humano antitelo bilo konjugovano biotinom. Enzim peroksidaza rena je bio konjugovan streptavidinom, što je omogućilo specifično prepoznavanje i vezivanje za biotinom obeleženo sekundarno antitelo. Kao supstrat za ovaj enzim je korišćen vodonik peroksid (H_2O_2) i tetrametilbenzidin, dok je kao standard u testu korišćen rekombinantni humani IL-17.

Procedura testa je sledeća:

U svaki bunar ploče dodato je 100 µl antitela za oblaganje ploče (coating antibody) i inkubirano preko noći na +4 °C. Po isteku inkubacije ploča je isprana 5 puta sa puferom za ispiranje (wash buffer, K-PBS sa 0.05% Tween 20) i blokirana dodavanjem 200 µl rastvora koji sadrži PBS i goveđi serum (assay buffer). Posle inkubacije u trajanju od 1 sata ploča je isprana 5 puta i dodato je po 100 µl standarda u duplikatima dvostrukih opadajućih koncentracija (1000 pg/ml - 0 pg/ml) i u odgovarajuće bazene po 100 µl uzoraka u kojima smo želeli da odredimo koncentraciju citokina. Po isteku inkubacije u trajanju od 2 sata i ispiranja ploče, dodato je 100 µl po bazenu biotiniziranog sekundarnog antitela i ploča je inkubirana 1 sat. Nakon toga, ploča je isprana i u svaki bazen je dodato po 100 µl streptavidinom konjugovanog enzima peroksidaze rena. Posle tridesetominutne inkubacije na sobnoj temperaturi i ponovljenog ispiranja, u svako polje je dodato po 100 µl rastvora supstrata i usledila je inkubacija u trajanju od 15 min u mraku. Kao finalni korak dodato je po 50 µl rastvora za zaustavljanje reakcije (stop solution, 2N H₂SO₄). Intenzitet boje je meren na spektrofotometru na 450 nm talasne dužine, a tražena koncentracija citokina u svakom od uzoraka je određena na osnovu standardne krive.

3.4.3.2. IL-5

Koncentracija IL-5 u supernatantima kokultura MoDĆ i CD4⁺ T limfocita određivana je komercijalnim ELISA testom, sledeći uputstva proizvođača (eBioscience, SAD). U ovom testu, mikroploče od 96 mesta (Corning Costar 9018 ELISA plate, Sigma-Aldrich, Nemačka) su bile obložene antitelima specifičnim za humani IL-5, dok je sekundarno anti-humano antitelo bilo konjugovano biotinom. Enzim peroksidaza rena je bio konjugovan streptavidinom, što je omogućilo specifično prepoznavanje i vezivanje za biotinom obeleženo sekundarno antitelo. Kao supstrat za ovaj enzim je korišćen vodonik peroksid (H₂O₂) i tetrametilbenzidin, dok je kao standard u testu korišćen rekombinantni humani IL-5. Senzitivnost metode je 4 pg/ml.

Procedura testa je sledeća:

U svaki bunar ploče dodato je 100 µl antitela za oblaganje ploče (coating antibody) i inkubirano preko noći na +4 °C. Po isteku inkubacije ploča je isprana 5 puta sa puferom za ispiranje (wash buffer, K-PBS sa 0.05% Tween 20) i blokirana dodavanjem 200 µl rastvora koji sadrži PBS i goveđi serum (assay buffer). Posle inkubacije u trajanju od 1 sata ploča je isprana 5 puta i dodato je po 100 µl standarda u duplikatima dvostrukih opadajućih koncentracija (500 pg/ml - 0 pg/ml) i u odgovarajuće bazene po 100 µl uzoraka u kojima smo želeli da odredimo koncentraciju citokina. Po isteku inkubacije u trajanju od 2 sata i ispiranja ploče, dodato je 100 µl po bazenu biotiniziranog sekundarnog antitela i ploča je inkubirana 1 sat. Nakon toga, ploča je isprana i u svaki bazen je dodato po 100 µl streptavidinom konjugovanog enzima peroksidaze rena. Posle tridesetominutne inkubacije na sobnoj temperaturi i ponovljenog ispiranja, u svako polje je dodato po 100 µl rastvora supstrata i usledila je inkubacija u trajanju od 15 min u mraku. Kao finalni korak dodato je po 50 µl rastvora za zaustavljanje reakcije (stop solution, 2N H₂SO₄). Intenzitet boje je meren na spektrofotometru na 450 nm talasne dužine, a tražena koncentracija citokina u svakom od uzoraka je određena na osnovu standardne krive.

3.4.3.3. IL-10

Koncentracija IL-10 u supernatantima kokultura MoDĆ i CD4⁺ T limfocita određivana je komercijalnim ELISA testom, sledeći uputstva proizvođača (eBioscience, SAD). U ovom testu, mikroploče od 96 mesta (Corning Costar 9018 ELISA plate, Sigma-Aldrich, Nemačka) su bile obložene antitelima specifičnim za humani IL-10, dok je sekundarno anti-humano antitelo bilo konjugovano biotinom. Enzim peroksidaza rena je bio konjugovan streptavidinom, što je omogućilo specifično prepoznavanje i vezivanje za biotinom obeleženo sekundarno antitelo. Kao supstrat za ovaj enzim je korišćen vodonik peroksid (H₂O₂) i tetrametilbenzidin, dok je kao standard u testu korišćen rekombinantni humani IL-10. Senzitivnost metode je 2 pg/ml.

Procedura testa je sledeća:

U svaki bunar ploče dodato je 100 µl antitela za oblaganje ploče (coating antibody) i inkubirano preko noći na +4 °C. Po isteku inkubacije ploča je isprana 5 puta sa puferom za ispiranje (wash buffer, K-PBS sa 0.05% Tween 20) i blokirana dodavanjem 200 µl rastvora koji sadrži PBS i goveđi serum (assay buffer). Posle inkubacije u trajanju od 1 sata ploča je isprana 5 puta i dodato je po 100 µl standarda u duplikatima dvostrukih opadajućih koncentracija (300 pg/ml - 0 pg/ml) i u odgovarajuće bazene po 100 µl uzoraka u kojima smo želeli da odredimo koncentraciju citokina. Po isteku inkubacije u trajanju od 2 sata i ispiranja ploče, dodato je 100 µl po bazenu biotiniziranog sekundarnog antitela i ploča je inkubirana 1 sat. Nakon toga, ploča je isprana i u svaki bazen je dodato po 100 µl streptavidinom konjugovanog enzima peroksidaze rena. Posle tridesetominutne inkubacije na sobnoj temperaturi i ponovljenog ispiranja, u svako polje je dodato po 100 µl rastvora supstrata i usledila je inkubacija u trajanju od 15 min u mraku. Kao finalni korak dodato je po 50 µl rastvora za zaustavljanje reakcije (stop solution, 2N H₂SO₄). Intenzitet boje je meren na spektrofotometru na 450 nm talasne dužine, a tražena koncentracija citokina u svakom od uzoraka je određena na osnovu standardne krive.

3.4.3.4. IFN- γ i IL-2

IFN- γ i IL-2 su određeni u supernatantima kokultura MoDĆ i CD4⁺ T limfocita korišćenjem humanog Th1/Th2 11plex-a. Prvo su pripremljeni svi reagensi neophodni za izvođenje testa. Esej pufer (assay buffer) je pripremljen rastvaranjem koncentrata sa destilovanom vodom u odnosu 1:10 i stavljen je u frižider do početka izvođenja testa. Liofizirani standardi su rekonstituisani dodavanjem destilovane vode do oznake naznačene na bočici standarda čime je dobijena koncentracija 400 ng/ml i za IL-2 i IFN- γ . Bočice su ostavljene desetak minuta, centrifugirane i po 10 µl svakog rekonstituisanog standarda je dodato u epruvetu označenu kao „standard 1“ i dopunjeno esej puferom do 200 µl finalne zapremine. U epruvete označene kao „standard 2“-„standard-7“ dodato je po 100 µl esej pufera. Potom je usledilo serijsko razblaženje standarda prebacivanjem po 50 µl standarda 1 u epruvetu 2, sadržaj je vorteksiran, pa je zatim 50 µl standarda 2 prebačeno u epruvetu 3 i postupak je nastavljen do sedme epruvete. Nakon pripreme standarda

pripremljena je mešavina kuglica(bead mixture). Za analizu svakog citokina korišćena je određena vrsta kuglica obložena odgovarajućim antitelom. Mešavina kuglica je pripremljena tako da ukupni volumen bude jednak proizvodu 25 µl kuglica i ukupnog broja testova. Bočice sa kuglicama su vorteksirane 5 sekundi i iz svake je uzeto po 1/20 ukupnog volumena koji je dodat u novu epruvetu. Epruveta je dopunjena sa puferom za razređivanje (reagent dilution puffer) i centrifugirana na 3000xg tokom 5 minuta. Tečnost je pažljivo odlivena tako da u epruveti ostane oko 50 µl tečnosti. Nakon toga je u epruvetu ponovo dodat pufer za razređivanje i epruveta je centrifugirana 5 sekundi. Mešavina sekundarnih antitela konjugovanih biotinom (biotin-conjugate mixture) je pripremljena na sličan način kao i mešavina kuglica. Ukupni volumen je dobijen množenjem broja testova sa 50 µl smeše biotinom-konjugovanih sekundarnih antitela. Uzeto je po 1/20 ukupnog volumena i prebačeno u novu epruvetu koja je dopunjena sa puferom za razređivanje. Rastvor sa streptavidin-fikoeritrim (streptavidin-phycoerythrin solution), koji se vezuje za biotinom-konjugovana sekundarna antitela, pripremljen je rastvaranjem u esej puferu prema proporciji: za 96 testova potrebno je 176 µl streptavidin-fikoeritrim rastvora i 5324 µl esej diluenta. Na osnovu ove proporcije određene su zapremine prema broju testova u našem eksperimentu. Kada su svi reagensi pripremljeni u ploču od 96 mesta sa „V“-dnom (Sardstedt, Nemačka) dodato je po 25 µl esej pufera u bunare za blank, po 25 µl standarda u odgovarajuće bunare (opseg koncentracija standarda je 27-20000 pg/ml, a senzitivnost testa je za IL-2 16.4 pg/ml, a za IFN- γ 1.6 pg/ml) i po 25 µl uzorka. Nakon toga dodato je po 25 µl mešavine kuglica i po 50 µl mešavine sekundarnih antitela konjugovanih biotinom. Usledila je inkubacija u trajanju od 2 sata na sobnoj temperaturi na mešalici. Po isteku inkubacije, dodato je po 100 µl esej pufera u svaki bunarić i ploča je centrifugirana 5 minuta na 200xg. Nakon toga iz svakog bunara je uzeto po 150 µl tečnosti. Potom je dodato po 150 µl esej pufera i ploča je ponovo centrifugirana tokom 5 minuta na 200xg. Nakon uzimanja po 150 µl tečnosti iz svakog bunara dodato je po 50 µl rastvora sa streptavidin-fikoeritrim i ploča je inkubirana 1 sat na sobnoj temperaturi na mešalici. Po isteku inkubacije ponovljen je prethodno opisan postupak ispiranja i sadržaj svakog bunarića je prebačen u epruvete za protočnu citofluorimetriju i svaka je dopunjena sa po 500 µl esej pufera. Uzorci su analizirani na protočnom

citofluorimetru (EPICS XL-MCS, Coulter, Krefeld, Nemačka), a rezultati su obrađeni softverom koji je dobijen uz kit (FlowCytomix Pro Software).

3.4.3.5. Intracitoplazmatska detekcija citokina aktivisanih T limfocita

Procena Th polarizujuće aktivnosti MoDĆ je dodatno izvršena određivanjem produkcije IL-17 i IFN- γ u kokulturi sa alogenim CD4 $^{+}$ T ćelijama. Purifikovane CD4 $^{+}$ T ćelije (1×10^5 ćelija po bunariću) su kultivisane u prisustvu alogenih MoDĆ (1×10^4 ćelija po bunariću) tokom 5 dana u kompletnom medijumu u ploči od 96 mesta sa „U“- dnom (Sarstedt, Nemačka). Nakon toga su ćelije sakupljene i inkubirane sa monenzinom ($3 \mu\text{M}$) tokom 6h. Potom je usledila inkubacija u prisustvu anti-IFN- γ - FITC (R&D Systems; SAD) i anti-IL-17-PE (BD Biosciences Pharmingen; SAD) uz primenu FIX & PERM[®] Cell Fixation & Cell Permeabilization Kit (Invitrogen, SAD) prateći uputstva proizvođača. Ćelijska fluorescence je analizirana na EPICS XL-MCS protočnom citofluorimetru (Coulter, Krefeld, Nemačka) korišćenjem programa SZSTEMTM II software.

3.5. Statistička obrada podataka

Podaci su statistički obrađeni korišćenjem Studentovog T-testa u okviru softverskog programa PRIMER.

4. REZULTATI

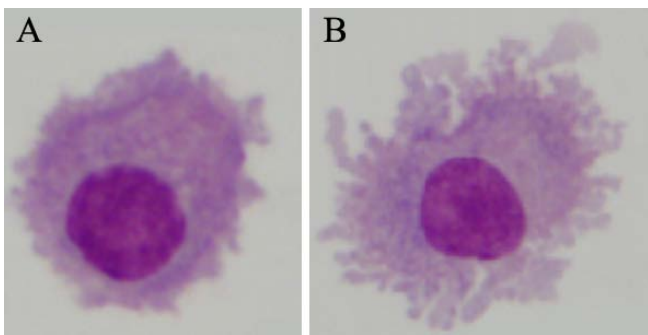
Poglavlje Rezultati je podeljeno u pet delova, tako da je u prvom delu prikazan efekat Poly (I:C) na funkcionalna i fenotipska svojstva MoDĆ, a u narednim efekti drugih modulatora i njihovih kombinacija sa Poly (I:C). U drugom delu prikazani su efekti loksoribina i njegove kombinacije sa Poly (I:C), u trećem delu efekti kurdlana i njegove kombinacije sa Poly (I:C), u četvrtom delu efekti citokina IFN- γ i liganda za CD40 molekul i njihove kombinacije sa Poly (I:C) i u petom delu efekti TNF- α i njegove kombinacije sa Poly (I:C). U različitim delovima istraživanja korišćene su MoDĆ dobijene od različitih zdravih donora.

4.1. Uticaj Poly (I:C) na diferencijaciju nezrelih humanih MoDĆ

Prvi cilj ovog istraživanja je bio da se ispita efekat dejstva Poly (I:C) na diferencijaciju nezrelih humanih MoDĆ. U preliminarnim eksperimentima nezrele MoDĆ smo kultivisali u prisustvu različitih koncentracija Poly (I:C) (5 µg/ml, 25 µg/ml i 50 µg/ml). Na osnovu fenotipskih i funkcionalnih karakteristika MoDĆ stimulisanih na ovaj način, procenjeno je da je optimalna koncentracija Poly (I:C) za aktivaciju nezrelih humanih MoDĆ 25 µg/ml. U narednim eksperimentima su nezrele MoDĆ tokom 48h kultivisane u prisustvu optimalne koncentracije Poly (I:C), dok su kontrolnu grupu predstavljale MoDĆ diferencirane pod istovetnim uslovima u medijumu koji nije sadržao Poly (I:C).

4.1.1. Uticaj Poly (I:C) na morfološke i fenotipske karakteristike MoDĆ

Morfološkom analizom citospin preparata obojenih MGG metodom ustanovljeno je da se MoDĆ stimulisane sa optimalnom koncentracijom Poly (I:C) odlikuju izraženim citoplazmatskim nastavcima što je odlika zrelih MoDĆ (*Slika 7*).



Slika 7. Morfološke karakteristike MoDĆ diferenciranih u prisustvu Poly (I:C)

Prikazane su slike citospin preparata MoDĆ kultivisanih u kontrolnom medijumu (A) i u prisustvu Poly (I:C) (B) koji su obojeni po MGG

Fenotipske karakteristike MoDĆ diferenciranih u prisustvu Poly (I:C) analizirane su metodom protočne citometrije korišćenjem specifične kombinacije monoklonskih antitela, postupkom koji je detaljno opisan u poglavљу Materijal i metode. Rezultati su prikazani kao procenat pozitivnih ćelija i srednja vrednost intenziteta fluorescence (*Tabela 1*).

Tabela 1. Fenotipske karakteristike MoDĆ diferenciranih u prisustvu Poly (I:C)

		Kontrola	Poly (I:C)
HLA-DR	%	98.0 ± 1.6	99.0 ± 0.6
	mfi	28.8 ± 4.3	62.9 ± 9.5***
CD86	%	75.4 ± 10.9	96.5 ± 1.4***
	mfi	13.6 ± 2.0	37.6 ± 5.6***
CD40	%	92.8 ± 5.3	97.5 ± 1.1
	mfi	15.0 ± 1.8	41.6 ± 5.0***
CD54	%	83.9 ± 13.2	94.2 ± 3.3
	mfi	23.5 ± 3.5	55.9 ± 8.4***
CD83	%	33.2 ± 5.0	75.9 ± 11.4***
	mfi	3.4 ± 0.5	6.4 ± 1.0*
CCR7	%	2.7 ± 0.4	11.3 ± 1.6***
	mfi	2.6 ± 0.4	2.9 ± 0.5

MoDĆ su dobijene iz humanih monocita nakon šestodnevne kultivacije u prisustvu GM-CSF (100 ng/ml) i IL-4 (20 ng/ml) i stimulacije sa Poly (I:C) tokom 48h. Neadherentne ćelije su skupljene i obeležene antitelima specifičnim za ključne markere DĆ (anti-HLA-DR-PE, anti-CD86-PE, CD83-FITC, anti-CD40-FITC, anti-CD54-PE i anti-CCR7-FITC), a potom analizirane na protočnom citofluorimetru. Rezultati iz jednog reprezentativnog eksperimenta su predstavljeni kao procenat pozitivnih ćelija (% ± SD) i kao srednja vrednost intenziteta fluorescence (engl. mean fluorescence intensity, mfi ± SD).

* p <0.05; *** p<0.005 u odnosu na kontrolne MoDĆ

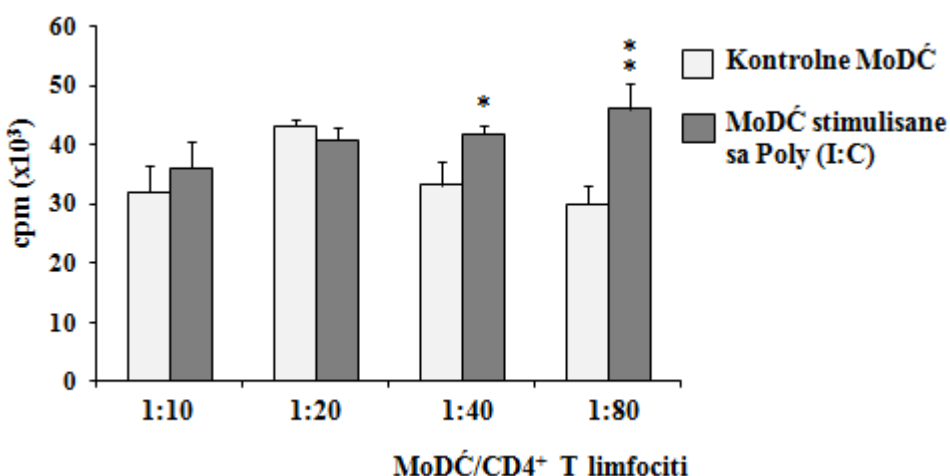
Rezultati fenotipske analize kontrolnih MoDĆ pokazali su da su na značajnom procentu ovih ćelija bili ispoljeni molekuli HLA-DR, CD40, CD54 i CD86, dok je procenat CD83 pozitivnih ćelija bio manji. Procenat ćelija koje ispoljavaju

CCR7 je bio izuzetno nizak. Najveće srednje vrednosti intenziteta fluorescence su bile za HLA-DR i CD54 molekul, dvostruko niže za CD40 i CD86 i niske za CD83 i CCR7.

Fenotipskom analizom MoDĆ diferenciranih u prisustvu Poly (I:C) ustanovljeno je statistički značajno povećanje procenta ćelija koje ispoljavaju CD86, CD83 i CCR7 molekule, u poređenju sa kontrolnim MoDĆ. Takođe, u poređenju sa kontrolnim MoDĆ, stimulacija MoDĆ sa Poly (I:C) je dovela do povećanja srednje vrednosti intenziteta fluorescence za HLA-DR, CD86, CD40, CD54 i CD83.

4.1.2. Alostimulatorna aktivnost MoDĆ stimulisanih sa Poly (I:C)

U cilju daljeg proučavanja uticaja Poly (I:C) na diferencijaciju MoDĆ ispitivane su funkcionalne karakteristike MoDĆ diferenciranih u prisustvu Poly (I:C). Jedna od funkcionalnih karakteristika MoDĆ je sposobnost da stimulišu proliferaciju alogenih $CD4^+$ T limfocita u mešanoj kulturi leukocita, postupkom koji je detaljno opisan u poglavlju Materijal i metode. Proliferativni odgovor $CD4^+$ T limfocita u kokulturi sa kontrolnim i MoDĆ stimulisanim Poly (I:C) je prikazan na *Grafikonu 1.*



Grafikon 1. Alostimulatorni kapacitet MoDC diferenciranih u prisustvu Poly (I:C) u kokulturi sa alogenim CD4 T limfocitima

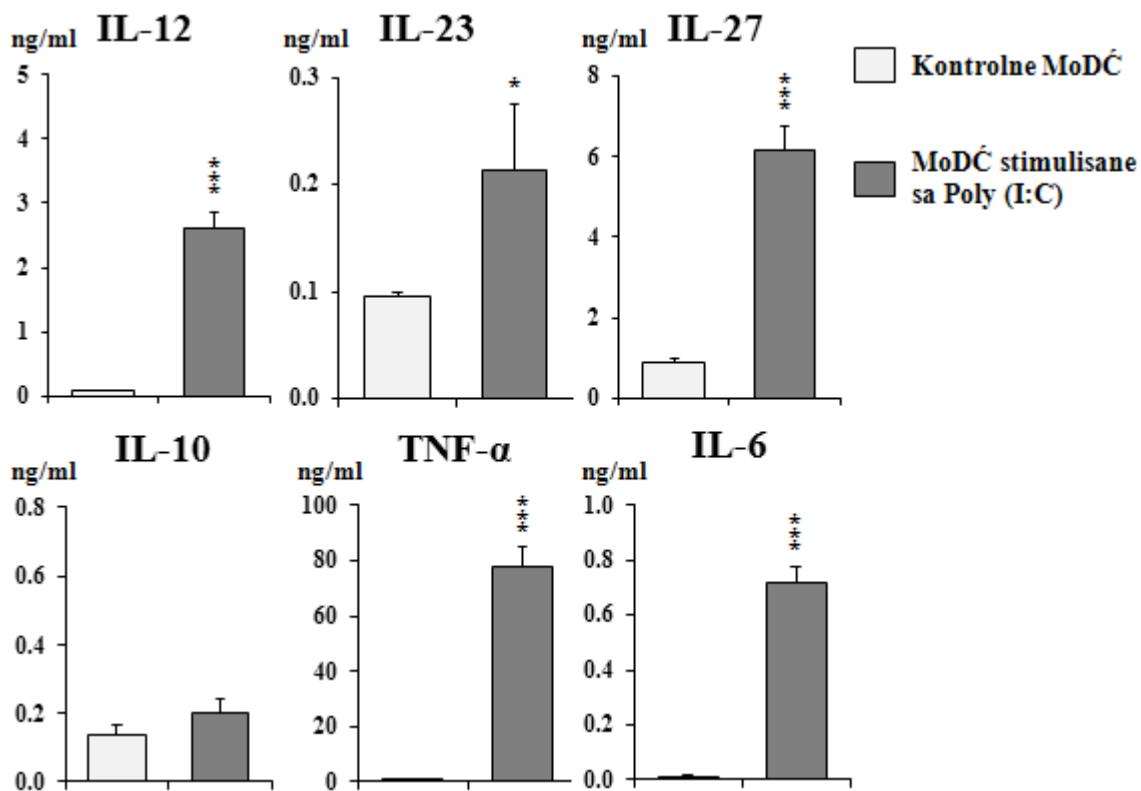
Na grafikonu je prikazan alostimulatorni potencijal MoDC diferenciranih u kontrolnom medijumu (kontrolne MoDC) ili u prisustvu Poly (I:C). MoDC su kultivisane su u opadajućim dvostrukim razblaženjima (1×10^4 - 0.125×10^4) sa alogenim CD4⁺ T limfocitima (1×10^5) u toku 5 dana u 200 µl kompletognog medijuma. U medijum za kultivaciju čelija 18h pre merenja proliferativnog odgovora je dodat [H^3] timidin. Proliferativan odgovor je izražen kao broj otkucaja u minuti (engl. counts per minute, cpm). Na grafiku su prikazani rezultati jednog reprezentativnog od šest sličnih eksperimenata kao srednja vrednost cpm triplikata kulture ± SD.

* p <0.05; ** p<0.01 u odnosu na kontrolne MoDC

Kontrolne MoDC su pokazale umeren potencijal za stimulaciju proliferacije alogenih CD4⁺ T limfocita. MoDC kultivisane u prisustvu Poly (I:C) imale su povećan alostimulatorni kapacitet i to pri nižim odnosima MoDC i alogenih CD4⁺ T limfocita (1:40 i 1:80), dok pri ostalim odnosima nije došlo do statistički značajne promene alostimulatornog kapaciteta.

4.1.3. Producija citokina od strane MoDC stimulisanih sa Poly (I:C)

Sledeći korak u ispitivanju funkcionalnih karakteristika MoDC diferenciranih u prisustvu Poly (I:C) ili u kontrolnom medijumu bio je određivanje producije citokina u supernatantima kultura MoDC primenom ELISA metode, kao što je opisano u poglavljju Materijal i metode. Rezultati su standardizovani za 1×10^6 MoDC/ml kulture i prikazani su kao srednje vrednosti koncentracija, izraženih u ng/ml, iz tri reprezentativna eksperimenta (Grafikon 2).



Grafikon 2. Producija citokina od strane MoDĆ diferenciranih bez i u prisustvu Poly (I:C)

Koncentracije IL-12, IL-23, IL-27, IL-6, TNF- α i IL-10 određivane su ELISA testovima u superantantima kultura MoDĆ diferenciranih bez i u prisustvu Poly (I:C) tokom 2 dana. Rezultati su predstavljeni kao srednja vrednost koncentracija iz šest eksperimenata sa različitim donorima \pm SD.

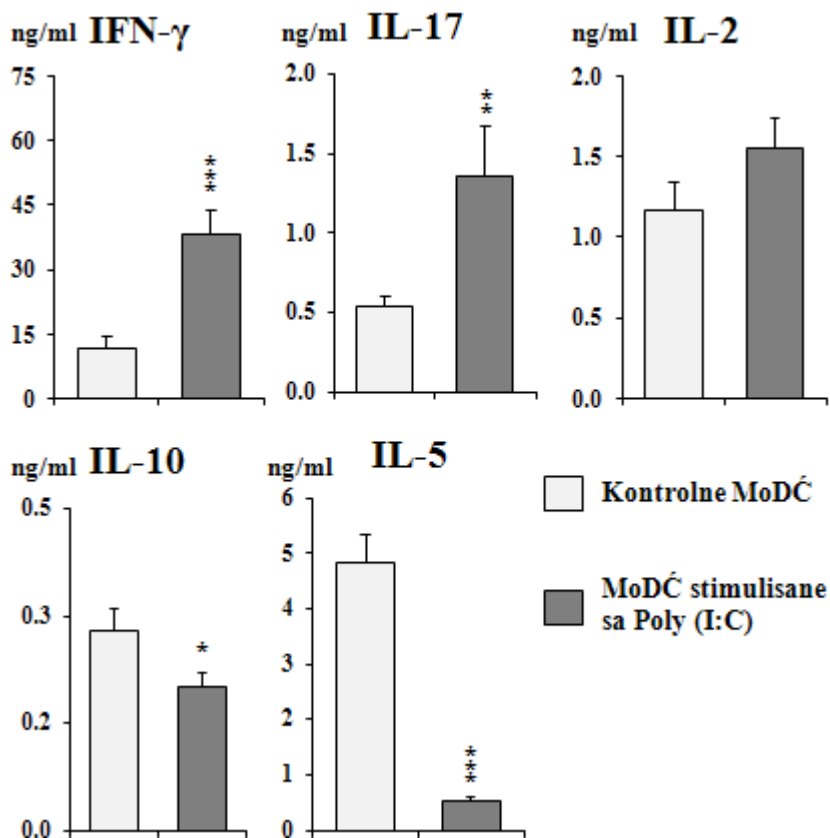
* p <0.05; *** p<0.005 u odnosu na kontrolne MoDĆ

Kontrolne nezrele MoDĆ su produkovale niske nivoje IL-10 i IL-27, dok su nivoi IL-12, IL-23, TNF- α i IL-6 bili nedetektibilni. MoDĆ stimulisane u prisustvu Poly (I:C) pokazale su statistički značajno povećanje produkcije IL-12, IL-27, TNF- α i IL-6, umereno povećanje nivoa IL-23, dok je produkcija IL-10 bila nepromenjena, u poređenju sa kontrolnim MoDĆ.

4.1.4. Producija citokina u kokulturi alogenih CD4 $^{+}$ T limfocita i MoDĆ stimulisanih u prisustvu Poly (I:C)

Uticaj Poly (I:C) na sposobnost MoDĆ da usmere CD4 $^{+}$ T ćelijski imunski odgovor procenjen je na osnovu producije citokina IFN- γ , IL-17, IL-5, IL-2 i IL-10 u

kokulturi alogenih CD4⁺ T limfocita i MoDĆ postupkom koji je detaljno opisan u poglavlju Materijal i metode. Rezultati su prikazani kao srednje vrednosti koncentracija, izraženih u ng/ml, iz šest reprezentativnih eksperimenata (*Grafikon 3*).



Grafikon 3. Citokinski profil CD4⁺ T limfocita stimulisanih sa MoDĆ koje su diferencirane u prisustvu Poly (I:C)

Nezrele MoDĆ (1×10^4), kultivisane 2 dana u prisustvu Poly (I:C) ili u kontrolnom medijumu, su potom kultivisane sa CD4⁺ sortiranim alogenim T limfocitima (1×10^5) tokom 5 dana, u 200 μ l kompletнog medijuma. Forbol-12-miristat-13-acetat (PMA) (20ng/ml) i jonomicin (500 ng/ml) su dodati 8h pre isteka kulture. Koncentracija citokina merena je ELISA testovima i metodom za detekciju citokina pomoću imunofluorescentnih kuglica i protočne citofluorimetrije. Rezultati su predstavljeni kao srednja vrednost koncentracija iz šest eksperimenata sa različitim donorima \pm SD.

* p <0.05; ** p<0.01; *** p<0.005 u odnosu na kontrolne MoDĆ

Prikazani rezultati pokazuju da alogeni CD4⁺ T limfociti stimulisani sa kontrolnim MoDĆ produkuju izvesne nivoe svih ispitivanih citokina. MoDĆ koje su stimulisane sa Poly (I:C) u kokulturi sa CD4⁺ T limfocitima dovode do povećanja

produkције IFN- γ i IL-17, односно до смањења производње IL-5 и IL-10, у поређењу са производњом ових цитокина у кокултури са контролним MoDĆ.

4.2. Uticaj kombinovane primene Poly (I:C) i loksoribina na diferencijaciju nezrelih humanih MoDĆ

U preliminarnim eksperimentima незреле MoDĆ су култивисане у присуству различитих комбинација субоптималних (10 $\mu\text{g}/\text{ml}$) и оптималних (25 $\mu\text{g}/\text{ml}$) концентрација Poly (I:C) и субоптималних (34 $\mu\text{g}/\text{ml}$) и оптималних (85 $\mu\text{g}/\text{ml}$) концентрација локсорибина. На основу фенотипских и функционалних карактеристика MoDĆ стимулисаних на овај начин проценено је да су ефекти комбиноване примене оптималне концентрације Poly (I:C) и субоптималне концентрације локсорибина слични ефектима примене оптималне концентрације самог Poly (I:C). Из тог разлога, у наредним експериментима smo користили обе субоптималне, обе оптималне и комбинацију субоптималне концентрације Poly (I:C) и оптималне концентрације локсорибина.

4.2.1. Efekti kombinacije Poly (I:C) i loksoribina na fenotipske karakteristike MoDĆ

Fenotipske карактеристике MoDĆ стимулисаних комбинацијом Poly (I:C) и локсорибина анализиране су методом проточне цитометрије коришћењем специфичне комбинације моноклоналних антитела, поступком који је детаљно описан у поглављу Материјал и методе. Резултати су приказани као проценат позитивних ћелија и средња вредност интензитета флуоресценце (*Tabela 2*).

Tabela 2. Fenotipske karakteristike MoDĆ diferenciranih u prisustvu Poly (I:C), loksoribina i njihovih kombinacija

		Kontrola	Poly (I:C) (µg/ml)		Loksorabin (µg/ml)		Poly (I:C)/Loksorabin		
			10	25	34	85	10/34	10/85	25/85
HLA-DR	%	96.2 ± 2	98.4 ± 1	97.1 ± 1	97.0 ± 1	80.4 ± 3*	98.6 ± 0	91.0 ± 1 ^Δ	90.2 ± 1 ***
	mfi	15.0 ± 1	20.6 ± 1*	20.8 ± 2*	14.3 ± 1.	7.31 ± 1***	21.7 ± 2	9.95 ± 1	10.0 ± 1
CD86	%	70.8 ± 4	84.2 ± 5*	92.5 ± 3**	70.2 ± 4	72.8 ± 3	89.2 ± 1	93.0 ± 1 ^Δ	85.7 ± 1
	mfi	5.6 ± 0.4	14.3 ± 1***	15.3 ± 1***	5.1 ± 1	8.4 ± 1	20.3 ± 2	26.6 ± 2	14.1 ± 2
CD83	%	14.2 ± 3.6	52.0 ± 4***	58.6 ± 5***	21.6 ± 1*	27.2 ± 1*	88.1 ± 2 ^{ΔΔΔ}	47.6 ± 4	38 ± 2 ***
	mfi	2.0 ± 0.3	4.6 ± 0.4***	4.11 ± 0.9*	2.4 ± 0.8	2.5 ± 0.6	6.4 ± 0.5 ^{ΔΔ}	5.2 ± 1.0	6.39 ± 0.7
CD54	%	88.1 ± 4.2	91.4 ± 3.6	94.5 ± 2.4	90.2 ± 3.0	75.9 ± 4.6*	95.1 ± 1.6	90.4 ± 1.7	90.7 ± 1.9
	mfi	14.9 ± 1.0	28.1 ± 2.1*	21.1 ± 2.4*	16.9 ± 2.2	10.6 ± 1.6	34.1 ± 1.6 ^Δ	25.0 ± 3.9	29.0 ± 1.6 **
CD40	%	98.2 ± 0.4	97.1 ± 1.0	97.9 ± 0.6	96.6 ± 1.0	94.5 ± 1.4	98.8 ± 0.4	95.4 ± 1.0	72.7 ± 1 ***
	mfi	10.8 ± 1.0	30.5 ± 2***	29.9 ± 3*	15.1 ± 2*	14.5 ± 2.0	37.7 ± 4.6	28.6 ± 1.9	8.4 ± 1 ***

U tabeli su prikazane fenotipske karakteristike kontrolnih MoDĆ i MoDĆ stimulisanih u prisustvu Poly (I:C), loksoribina ili njihovih kombinacija obeleženih antitelima specifičnim za ključne markere DĆ (anti-HLA-DR-PE, anti-CD86-PE, anti-CD83-FITC, anti-CD40-FITC i anti-CD54-PE), a potom analizirane na protočnom citofluorimetru. Rezultati jednog reprezentativnog eksperimenta su predstavljeni kao procenat pozitivnih ćelija (% ± SD) i kao srednja vrednost intenziteta fluorescence (engl. mean fluorescence intensity, mfi ± SD).

* p <0.05; ** p<0.01 ; *** p<0.005 u poređenju sa kontrolnim MoDĆ

^Δ p < 0.05; ^{ΔΔ} p < 0.01; ^{ΔΔΔ} p < 0.005 u poređenju sa MoDĆ tretiranim Poly (I:C) 10 µg/ml

p< 0.01; ### p < 0.005 u poređenju sa MoDĆ tretiranim Poly (I:C) 25 µg/ml

Stimulacija MoDĆ suboptimalnim i optimalnim koncentracijama Poly (I:C) je dovela do povećanja ekspresije HLA-DR, CD40, CD54, CD83 i CD86 molekula.

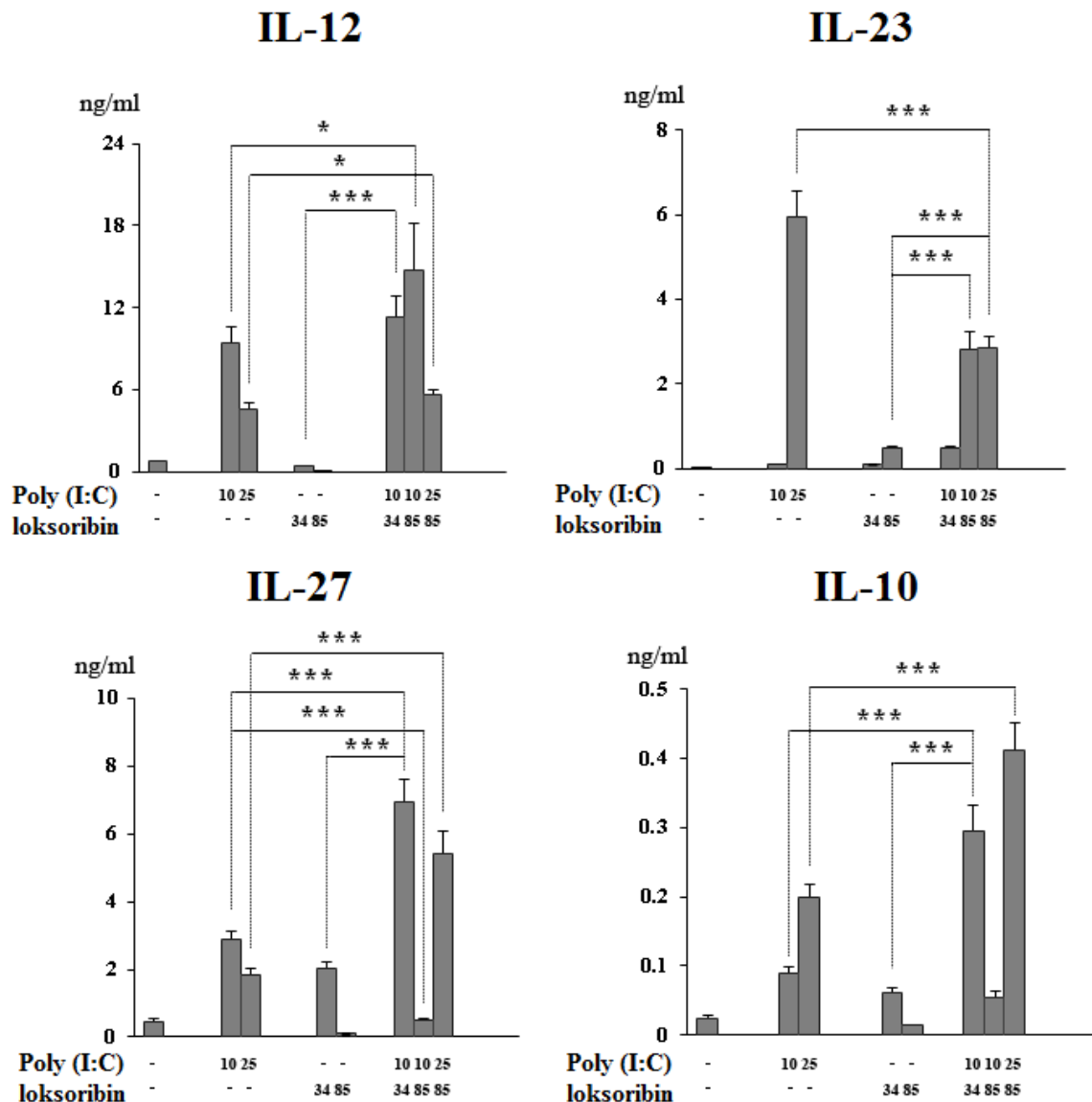
Kultivacija MoDĆ u prisustvu suboptimalne koncentracije loksoribina stimulisala je povećanje ekspresije CD40 i CD83 molekula, u poređenju sa ekspresijom na kontrolnim MoDĆ. Sa druge strane, kod MoDĆ tretiranih optimalnom koncentracijom loksoribina uočeno je povećanje ekspresije CD83 molekula i značajno smanjeno ispoljavanje HLA-DR i CD54 molekula.

Kultivacija MoDĆ u prisustvu suboptimalnih koncentracija Poly (I:C) i loksoribina dovela je do blagog povećanja ekspresije svih ispitivanih markera u poređenju sa odgovarajućim kontrolama. Stimulacija MoDĆ suboptimalnom koncentracijom Poly (I:C) i optimalnom koncentracijom loksoribina dovela je do

povećanja ekspresije CD86 i smanjenja ekspresije HLA-DR. Tretman MoDĆ optimalnim koncentracijama oba TLR agonista rezultirao je smanjenjem ekspresije HLA-DR, CD83 i CD40 molekula u poređenju sa odgovarajućim kontrolama.

4.2.2. Efekat kombinovane primene Poly (I:C) i loksoribina na produkciju citokina od strane MoDĆ

Na *Grafikonu 4* je prikazana produkcija IL-12, IL-23, IL-27 i IL-10 u supernatantima kultura MoDĆ diferenciranih u prisustvu Poly (I:C) i loksoribina određena ELISA metodom. Rezultati su standardizovani za 1×10^6 MoDĆ/ml kulture i prikazani kao srednje vrednosti koncentracija, izraženih u ng/ml, iz šest reprezentativnih eksperimenata.



Grafikon 4. Producija citokina od strane MoDĆ diferenciranih u prisustvu Poly (I:C), lok soribina i njihovih kombinacija

Koncentracije IL-12, IL-23, IL-27 i IL-10 određivane su ELISA testovima u superantantima kultura MoDĆ diferenciranih u prisustvu Poly (I:C), lok soribina i njihovih kombinacija, kao i u kontrolnom medijumu tokom 2 dana. Rezultati su predstavljeni kao srednja vrednost koncentracija iz šest eksperimenata sa različitim donorima \pm SD.

* p <0.05; *** p<0.005 u odnosu na odgovarajuće kontrole

MoDĆ kultivisane u prisustvu obe ispitivane koncentracije Poly (I:C) imaju povećanu produkciju IL-12, IL-23, IL-27 i IL-10. Uočene razlike u efektima različitih koncentracija Poly (I:C) su se ogledale u tome da je tretman MoDĆ suboptimalnom

koncentracijom stimulisao produkciju IL-12 i IL-27, dok je tretman opimalnom koncentracijom doveo do značajnijeg povećanja produkcije IL-23 i IL-10.

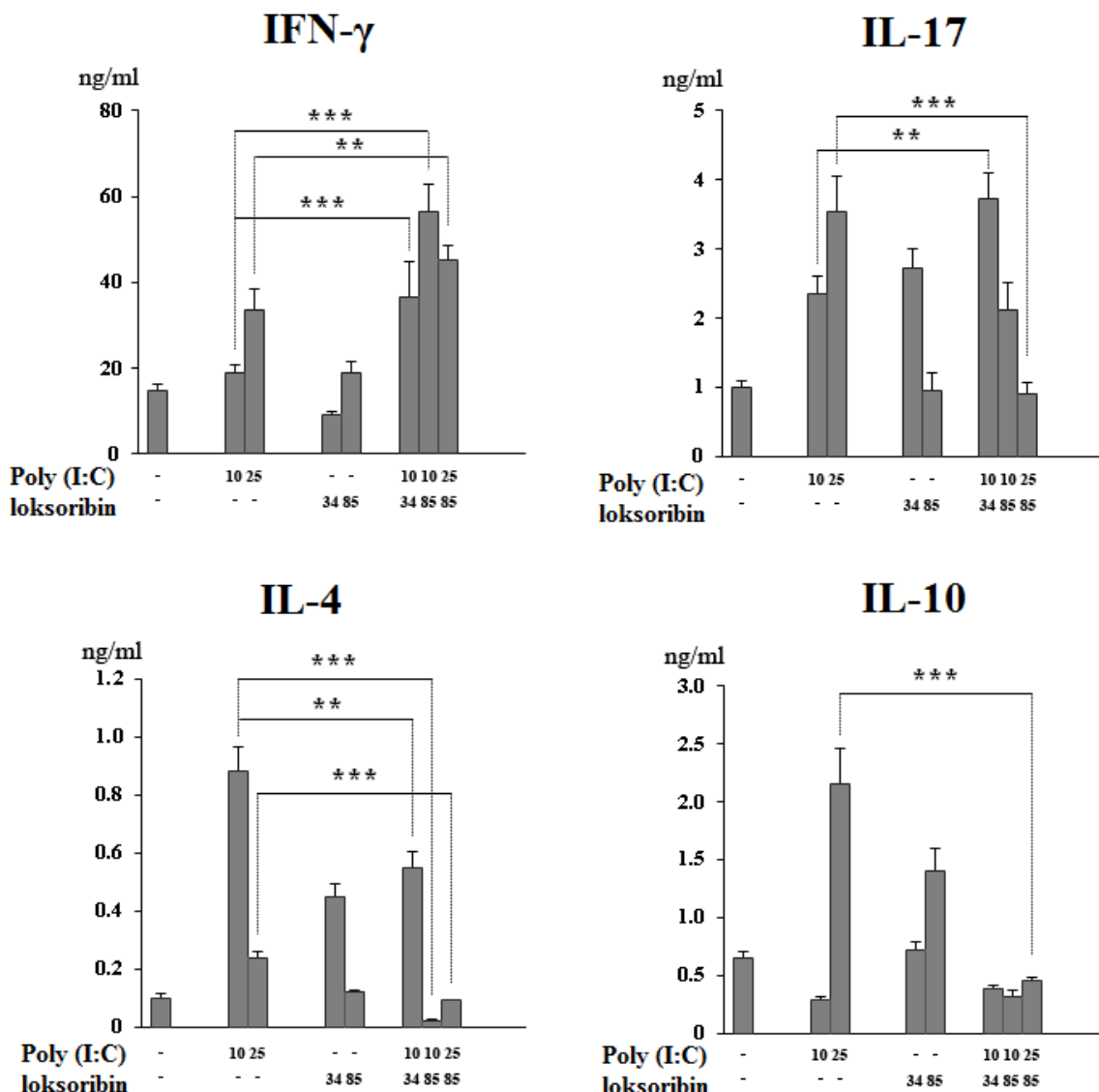
MoDĆ kultivisane u prisustvu obe koncentracije loksoribina nisu produkovale IL-12. Dozno-zavisan efekat loksoribina se ogledao u povećanju produkcije IL-10 i IL-27 kada je primenjena suboptimalna koncentracija, odnosno povećanju produkcije IL-23 od strane MoDĆ stimulisanih sa optimalnom koncentracijom.

Efekat kombinovane primene suboptimalnih koncentracija ova dva ispitivana TLR agonista se ogledao u povećanoj produkciji IL-27, IL-23 i IL-10. Sa druge strane, istovremena primena suboptimalne koncentracije Poly (I:C) i optimalne koncentracije loksoribina uticala je na povećanje produkcije IL-12 i IL-23 i smanjenje nivoa IL-10 i IL-27. Stimulacija MoDĆ sa optimalnim koncentracijama oba TLR agonista pospešila je produkciju IL-12, IL-27 i IL-10 u poređenju sa odgovarajućim kontrolama. Ovaj tretman je doveo do značajnog sniženja nivoa IL-23 u poređenju sa produkcijom ovog citokina od strane MoDĆ stimulisanih optimalnom koncentracijom Poly (I:C).

Kultivacija MoDĆ u prisustvu svih ispitivanih kombinacija Poly (I:C) i loksoribina je dovela do smanjenja produkcije IL-12 u poređenju sa efektom suboptimalne koncentracije Poly (I:C) i optimalne koncentracije loksoribina. Suprotan efekat je uočen u pogledu produkcije IL-10.

4.2.3. Producija citokina u kokulturi alogenih CD4⁺ T limfocita i MoDĆ stimulisanih kombinacijom Poly (I:C) i loksoribina

Uticaj kombinovane primene Poly (I:C) i loksoribina na sposobnost MoDĆ da usmere imunski odgovor procenjen je na osnovu produkcije citokina IFN-γ, IL-17, IL-4 i IL-10 u kokulturama alogenih CD4⁺ T limfocita i MoDĆ. Rezultati su predstavljeni na *Grafikonu 5* kao srednje vrednosti koncentracija, izraženih u ng/ml, iz šest reprezentativnih eksperimenata.



Grafikon 5. Citokinski profil u kokulturi CD4⁺ T limfocita i MoDĆ diferenciranih u prisustvu Poly (I:C), loksoribina i njihovih kombinacija

Nezrele MoDĆ (1×10^4), kultivisane 2 dana u prisustvu Poly (I:C), loksoribina i njihovih kombinacija, ili u kontrolnom medijumu, su potom kultivisane sa CD4⁺ alogenim T limfocitima (1×10^5) tokom 5 dana, u 200 μ l kompletognog medijuma. Forbol-12-miristat-13-acetat (PMA) (20ng/ml) i jonomicin (500 ng/ml) su dodati 8h pre isteka kulture. Koncentracija citokina merena je ELISA testovima i metodom za detekciju citokina pomoću imunofluorescentnih kuglica i protočne citofluorimetrije. Rezultati su predstavljeni kao srednja vrednost koncentracija iz šest eksperimenata sa različitim donorima \pm SD.

** p<0.01 ; *** p<0.005 u odnosu na odgovarajuće kontrole

Stimulacija MoDĆ u prisustvu obe ispitivane koncentracije Poly (I:C) pokazala je dozno-zavisan stimulatorni efekat na produkciju IFN- γ i IL-17 u

kokulturi sa alogenim CD4⁺ T limfocitima, Suboptimalna koncentracija Poly (I:C) je indukovala veću produkciju IL-4 u poređenju sa MoDĆ stimulisanim optimalnom koncentracijom. Suprotan efekat je uočen u pogledu produkcije IL-10.

MoDĆ stimulisane sa suboptimalnom koncentracijom loksoribina su stimulisale povećanje produkcije IL-4 i IL-17 od strane alogenih CD4⁺ T limfocita, dok se efekat optimalne koncentracije ogledao u povećanju produkcije IFN-γ i IL-10 u alogenoj kulturi.

MoDĆ kultivisane u prisustvu suboptimalnih koncentracija oba TLR agonista su dovele do povećanja produkcije IFN-γ i IL-17 u alogenoj kulturi, u poređenju sa relevantnim kontrolama. Sa druge strane, nivoi IL-4 i IL-10 u supernatantima ovih kultura su bili znatno niži u poređenju sa vrednostima u supernatantima kokultura alogenih CD4⁺ T limfocita i MoDĆ tretiranih pojedinačnim agonistima.

Efekat kombinovane primene suboptimalne koncentracije Poly (I:C) i optimalne koncentracije loksoribina se ogledao u povećanju produkcije IFN-γ, za razliku od IL-4 i IL-10 čiji su nivoi znatno niži, u poređenju sa nivoom u kokulturi kontrolnih MoDĆ i CD4⁺ T limfocita.

Stimulacija MoDĆ optimalnim koncentracijama oba TLR agonista ispoljila je povoljan efekat na produkciju IFN-γ i negativan na produkciju IL-4, IL-10 i IL-17 u kokulturi u poređenju sa efektom MoDĆ tretiranih optimalnim koncentracijama pojedinačno primenjenih agonista.

4.3. Uticaj kurdlana i njegove kombinacije sa Poly (I:C) na diferencijaciju nezrelih humanih MoDĆ

U preliminarnim eksperimentima nezrele MoDĆ su kultivisane u prisustvu različitih koncentracija Poly (I:C) (5 µg/ml, 25 µg/ml i 50 µg/ml) odnosno kurdlana (10 µg/ml, 50 µg/ml, 100 µg/ml i 200 µg/ml). Na osnovu fenotipskih i funkcionalnih karakteristika MoDĆ stimulisanih na ovaj način, procenjeno je da je optimalna koncentracija Poly (I:C) za aktivaciju MoDĆ 25 µg/ml, a kurdlana 100 µg/ml.

Optimalne koncentracije agonista su korišćene za stimulaciju MoDĆ u svim narednim eksperimentima.

4.3.1. Efekat kurdlana i njegove kombinacije sa optimalnom koncentracijom Poly (I:C) na fenotipske karakteristike MoDĆ

Fenotipske karakteristike MoDĆ diferenciranih u prisustvu Poly (I:C) i kurdlana analizirane su metodom protočne citometrije. Rezultati su prikazani u *Tabeli 3 i na Grafikonu 6* kao procenat pozitivnih ćelija i srednja vrednost intenziteta fluorescence.

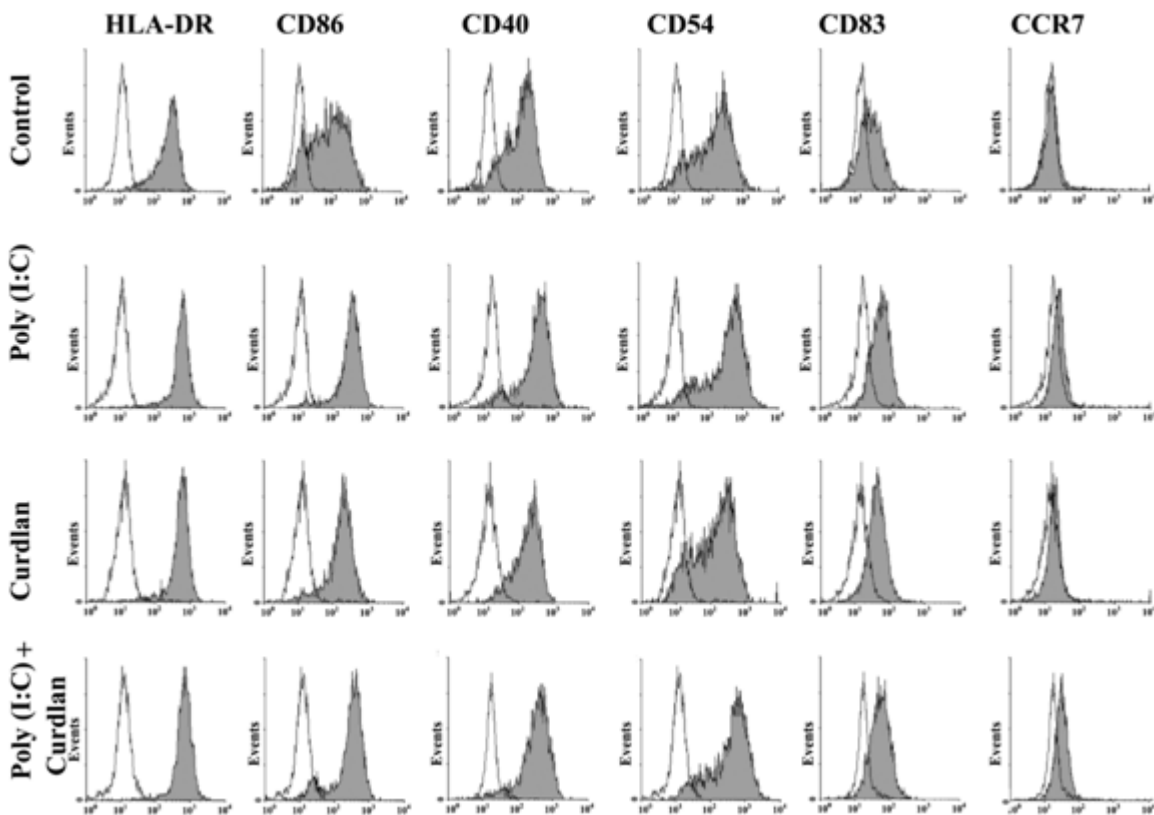
Tabela 3. Fenotipske karakteristike MoDĆ diferenciranih u prisustvu optimalnih koncentracija Poly (I:C), kurdlana i njihove kombinacije

		Kontrola	Poly (I:C)	Kurdan	Poly (I:C)+ kurdan
HLA-DR	%	98.0 ± 1.6	99.0 ± 0.6	99.1 ± 0.8	99.6 ± 0.2
	mfi	28.8 ± 4.3	62.9 ± 9.5***	61.2 ± 9.2***	75.7 ± 11.4***
CD86	%	75.4 ± 10.9	96.5 ± 1.4***	95.4 ± 2.0***	92.4 ± 3.0***
	mfi	13.6 ± 2.0	37.6 ± 5.6***	21.6 ± 3.2*	36.5 ± 5.5***
CD40	%	92.8 ± 5.3	97.5 ± 1.1	98.6 ± 0.9	97.8 ± 1.4
	mfi	15.0 ± 1.8	41.6 ± 5.0***	22.6 ± 2.7**	44.0 ± 5.3***
CD54	%	83.9 ± 13.2	94.2 ± 3.3	83.2 ± 8.4	93.6 ± 3.4
	mfi	23.5 ± 3.5	55.9 ± 8.4***	24.5 ± 3.7	59.5 ± 9.0***
CD83	%	33.2 ± 5.0	75.9 ± 11.4***	56.9 ± 8.5***	70.9 ± 10.6***
	mfi	3.4 ± 0.5	6.4 ± 1.0*	4.7 ± 0.7	6.2 ± 0.8**
CCR7	%	2.7 ± 0.4	11.3 ± 1.6***	4.0 ± 0.6*	18.5 ± 2.9***, Δ
	mfi	2.6 ± 0.4	2.9 ± 0.5	2.2 ± 0.4	5.2 ± 0.6***, ΔΔ

MoDĆ su dobijene iz humanih monocita nakon šestodnevne kultivacije u prisustvu GM-CSF (100 ng/ml) i IL-4 (20 ng/ml) i stimulisane optimalnim koncentracijama Poly (I:C), kurdlana i njihovom kombinacijom tokom 48h. Neadherentne ćelije su skupljene i obeležene antitelima specifičnim za ključne markere DĆ (anti-HLA-DR-PE, anti-CD86-PE, anti-CD83-FITC, anti-CD40-FITC, anti-CD54-PE i anti-CCR7-FITC), a potom analizirane na protočnom citofluorometru. Rezultati iz jednog reprezentativnog eksperimenta su predstavljeni kao procenat pozitivnih ćelija (% ± SD) i kao srednja vrednost intenziteta fluorescence (engl. mean fluorescence intensity, mfi ± SD).

* p <0.05; *** p<0.005 u odnosu na kontrolne MoDĆ

Δ p <0.05; ΔΔ p<0.01 u odnosu na MoDĆ stimulisane sa Poly (I:C)



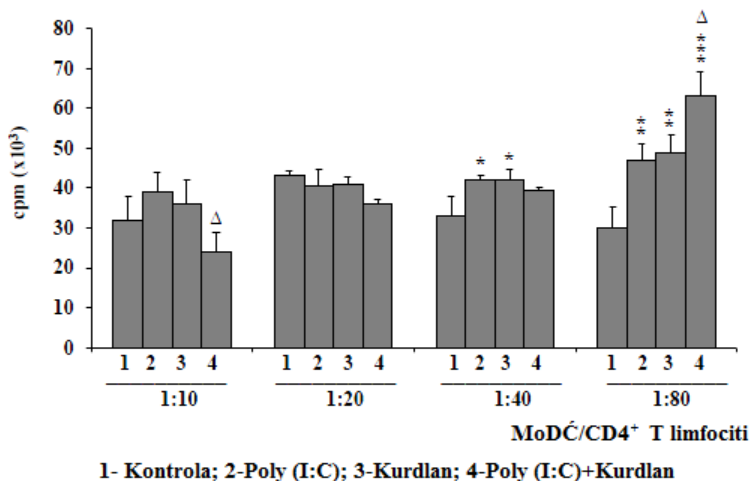
Grafikon 6. Fenotipske karakteristike MoDĆ diferenciranih u prisustvu optimalnih koncentracija Poly (I:C), kurdiana i njihove kombinacije

MoDĆ su dobijene iz humanih monocita nakon šestodnevne kultivacije u prisustvu GM-CSF (100 ng/ml) i IL-4 (20 ng/ml) i stimulisane sa optimalnim koncentracijama Poly (I:C), kurdiana i njihovom kombinacijom tokom 48h. Neadherentne ćelije su skupljene i obeležene antitelima specifičnim za ključne markere DĆ (anti-HLA-DR-PE, anti-CD86-PE, anti-CD83-FITC, anti-CD40-FITC, anti-CD54-PE i anti-CCR7-FITC), a potom analizirane na protočnom citofluorometru. Prikazani su rezultati jednog reprezentativnog od šest eksperimenata.

Fenotipskom analizom MoDĆ stimulisanih optimalnom koncentracijom Poly (I:C) ustanovljeno je povećanje ekspresije HLA-DR, CD86, CD40, CD54, CD83 i CCR7 molekula u poređenju sa kontrolnim MoDĆ. MoDĆ diferencirane u prisustvu optimalne koncentracije kurdiana su imale povećanu ekspresiju HLA-DR, CD86, CD83, CD40 i CCR7 molekula u poređenju sa MoDĆ koje su kultivisane samo u medijumu, ali je efekat kurdiana bio slabiji u poređenju sa efektom Poly (I:C). Istovremena stimulacija MoDĆ optimalnim koncentracijama oba agonista dovela je do povećanja ekspresije CCR7 molekula u poređenju sa MoDĆ diferenciranim u prisustvu Poly (I:C).

4.3.2. Alostimulatorni potencijal MoDĆ stimulisanih kurdlanom i njegovom kombinacijom sa Poly (I:C)

Na *Grafikonu 7* prikazana je proliferacija alogenih CD4⁺ T limfocita u kokulturi sa MoDĆ prethodno stimulisanih kurdlanom i njegovom kombinacijom sa optimalnom koncentracijom Poly (I:C). MoDĆ direrencirane u prisustvu optimalne koncentracije Poly (I:C) odnosno kurdlana su stimulisale proliferaciju alogenih CD4⁺ T limfocita pri nižim odnosima MoDĆ/CD4⁺ T limfocita (1:40 i 1:80). MoDĆ stimulisane sa oba agonista su inhibirale proliferaciju alogenih CD4⁺ T limfocita pri najvišem odnosu (1:10), dok su najveći alostimulatorni potencijal imale pri najnižem odnosu (1:80), u poređenju sa alostimulatornim potencijalom MoDĆ stimulisanih samo sa Poly (I:C).



Grafikon 7. Alostimulatorni kapacitet MoDĆ diferenciranih u prisustvu optimalnih koncentracija Poly (I:C), kurdlana i njihove kombinacije u kokulturi sa alogenim CD4⁺ T limfocitima

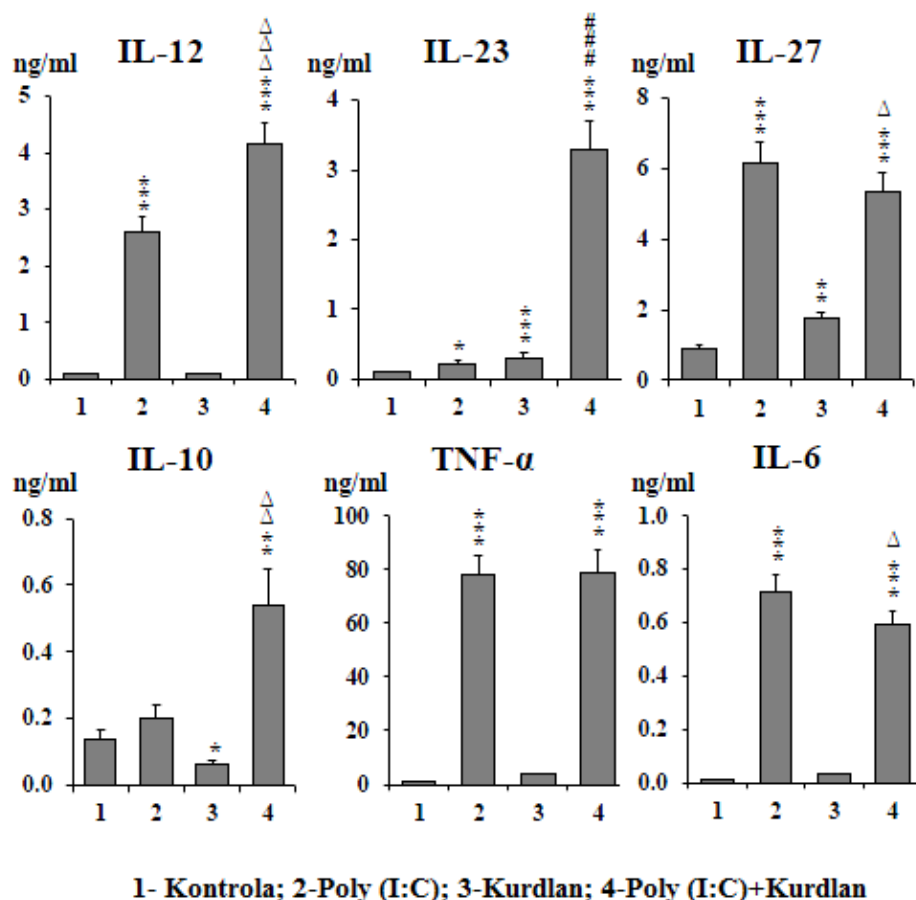
Na grafikonu je prikazan alostimulatorni potencijal MoDĆ diferenciranih u kontrolnom medijumu (kontrolne MoDĆ) ili u prisustvu Poly (I:C), kurdlana i njihove kombinacije. MoDĆ su kultivisane su u opadajućim dvostrukim razblaženjima (1×10^4 - 0.125×10^4) sa alogenim CD4⁺ T limfocitima (1×10^5) u toku 5 dana u $200 \mu\text{l}$ kompletognog medijuma. U medijum za kultivaciju ćelija 18h pre merenja proliferativnog odgovora je dodat [H^3] timidin. Proliferativan odgovor je izražen kao broj otkucaja u minutu (engl. counts per minute, cpm). Na grafiku su prikazani rezultati jednog reprezentativnog od šest sličnih eksperimenata kao srednja vrednost cpm triplikata kulture \pm SD.

* p<0.05; ** p<0.01; *** p<0.005 u odnosu na kontrolne MoDĆ

Δ p<0.05 u poređenju sa MoDĆ tretiranim sa Poly (I:C)

4.3.3. Kombinovani efekat Poly (I:C) i kurdlana na produkciju citokina od strane MoDĆ

Koncentracije IL-12, IL-23, IL-27, IL-6, TNF- α i IL-10 određivane su ELISA testovima u superantantima kultura MoDĆ diferenciranih u prisustvu Poly (I:C), kurdlana i njihove kombinacije. Rezultati su predstavljeni na *Grafikonu 8* kao srednja vrednost koncentracija, izraženih u ng/ml, iz šest reprezentativna eksperimenta sa različitim donorima.



Grafikon 8. Producija citokina od strane MoDĆ diferenciranih u prisustvu optimalnih koncentracija Poly (I:C), kurdlana i njihove kombinacije

Koncentracije IL-12, IL-23, IL-27, IL-6, TNF- α i IL-10 određivane su ELISA testovima u superantantima kultura MoDĆ diferenciranih u prisustvu Poly (I:C), kurdlana i njihove kombinacije kao i u kontrolnom medijumu tokom 2 dana. Rezultati su predstavljeni kao srednja vrednost koncentracija iz šest eksperimenta sa različitim donorima \pm SD.

* p<0.05; ** p<0.01; *** p<0.005 u poređenju sa kontrolnim MoDĆ

Δ p<0.05; $\Delta\Delta$ p<0.01; $\Delta\Delta\Delta$ p<0.005 u poređenju sa MoDĆ tretiranim sa Poly (I:C)

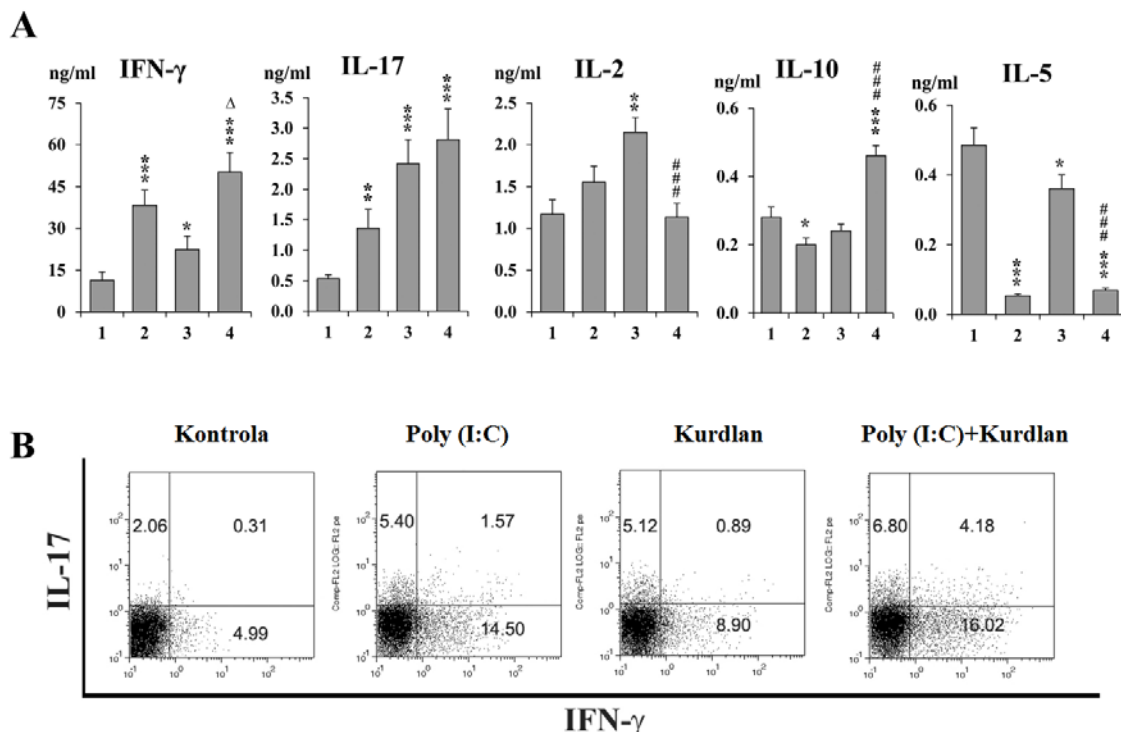
p<0.05 u poređenju sa MoDĆ tretiranim sa kurdlanom

Kontrolne MoDĆ su proizvodile niske nivoje IL-10 i IL-27, dok su nivoi IL-12, IL-23, TNF- α i IL-6 bili gotovo nedetektibilni. Stimulacija MoDĆ optimalnom koncentracijom Poly (I:C) dovela je do značajnog povećanja proizvodnje IL-12, IL-27, TNF- α i IL-6, umerenog povećanja proizvodnje IL-23 dok je nivo proizvodnje IL-10 bio nepromjenjen u poređenju sa kontrolnim MoDĆ. MoDĆ kultivisane u prisustvu kurdlana proizvodile su povećane nivoje IL-23 i IL-27 i smanjen nivo IL-10 u poređenju sa kontrolnim MoDĆ. Stimulacija MoDĆ sa kombinacijom TLR3 i dektin-1 agonista je dovela do sinergističkog povećanja proizvodnje IL-12, IL-23 i IL-10, dok su nivoi IL-6 i IL-27 bili sniženi u poređenju sa proizvodnjom citokina od strane MoDĆ stimulisanih samo sa Poly (I:C).

4.3.4. Uticaj kombinovane primene Poly (I:C) i kurdlana na potencijal MoDĆ da usmere efektorske funkcije CD4⁺ T limfocita

U prvom delu ispitivanja efekta kombinovane primene Poly (I:C) i kurdlana na potencijal MoDĆ da usmere efektorske funkcije CD4⁺ T limfocita određena je proizvodnja citokina u supernatantima i intracitoplazmatska ekspresija citokina kod CD4⁺ T limfocita u kokulturama diferenciranih MoDĆ i alogenih CD4⁺ T limfocita.

Rezultati proizvodnje citokina u supernatantima kokultura alogenih CD4⁺ T limfocita i MoDĆ stimulisanih sa Poly (I:C) i kurdlanom prikazani su na *Grafikonu 9A.*



Grafikon 9. Citokinski profil CD4⁺ T limfocita stimulisanih sa MoDĆ koje su diferencirane u prisustvu Poly (I:C), kurdlana i njihove kombinacije

Nezrele MoDĆ (1x104), kultivisane 2 dana u prisustvu Poly (I:C), kurdlana i njihove kombinacije, ili u kontrolnom medijumu, su potom kultivisane sa alogenim CD4⁺ T limfocitima (1x105) tokom 5 dana, u 200 µl kompletognog medijuma. A) Forbol-12-miristat-13-acetat (PMA) (20ng/ml) i jonomicin (500 ng/ml) su dodati 8h pre isteka kulture. Koncentracija IFN- γ , IL-17, IL-2, IL-10 i IL-5 u supernatantima kokultura merena je ELISA testovima i metodom za detekciju citokina pomoću imunofluorescentnih kuglica i protočne citofluorimetrije. Rezultati su predstavljeni kao srednja vrednost koncentracija iz šest eksperimenata sa različitim donorima ± SD. B) Radi procene intracitoplazmatske ekspresije citokina sakupljene su ćelije iz CD4⁺ T/MoDĆ kokultura, postavljenih na identičan način kao za određivanje nivoa produkcije citokina u supernatantima, i inkubirane sa monenzinom tokom 6h. Ćelije su potom inkubirane sa anti-IFN- γ -FITC i anti-IL-17-PE i analizirane na protočnom citofluorometru. Rezultati dvostrukе imunofenotipske analize su predstavljeni histogramima. Procenti jednostruko i dvostruko pozitivnih ćelija su prikazani na histogramima (jedan reprezentativni eksperiment od tri sa sličnim rezultatima).

1-kontrola; 2-Poly (I:C); 3-kurdlan; 4-Poly (I:C)+kurdlan

* p<0.05; ** p<0.01; *** p<0.005 u poređenju sa kontrolnim MoDĆ

Δ p<0.05 u poređenju sa MoDĆ tretiranim sa Poly (I:C)

p<0.005 u poređenju sa MoDĆ tretiranim sa kurdlanom

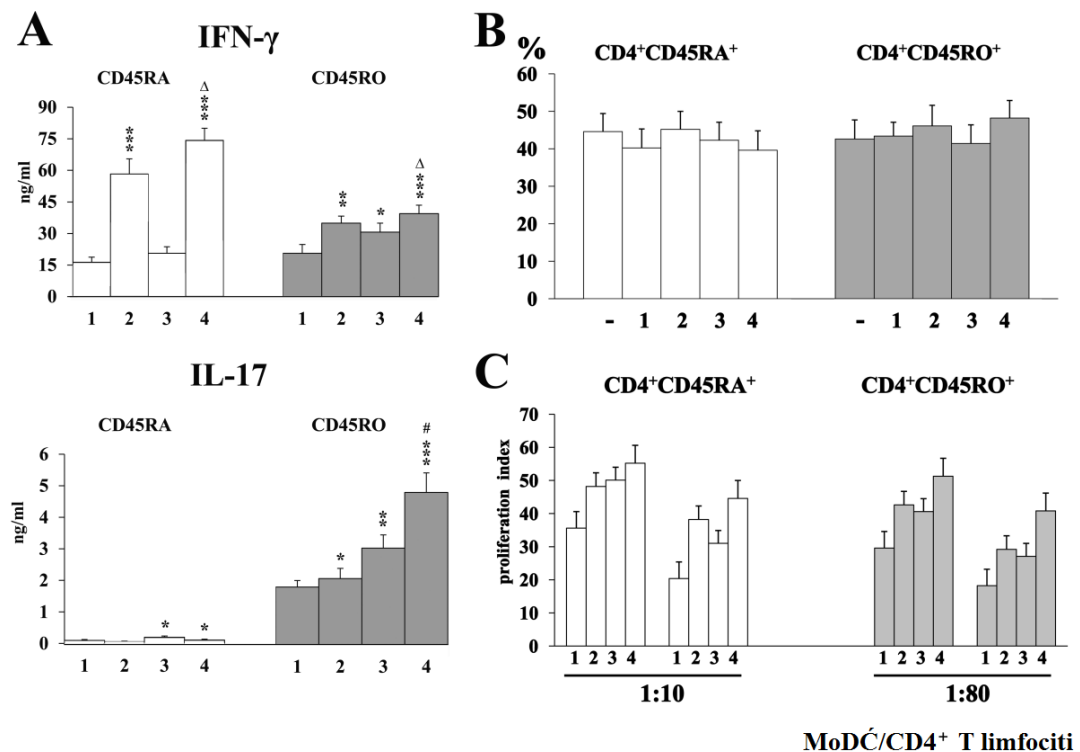
MoDĆ kultivisane u prisustvu Poly (I:C) su stimulisale produkciju IFN- γ i IL-17 i smanjile produkciju IL-10 i IL-5 od strane alogenih CD4⁺ T limfocita, u poređenju sa kontrolnim MoDĆ. CD4⁺ T ćelije u kokulturi sa MoDĆ tretiranim kurdlanom su produkvala visoke nivoe IFN- γ , IL-17 i IL-2 i niske nivoe IL-5, u poređenju sa nivoima u kokulturama sa kontrolnim MoDĆ. Stimulatorni efekat

MoDĆ tretiranih kurdlanom na produkciju IL-17 od strane alogenih CD4⁺ T ćelija je bio veći u poređenju sa efektom MoDĆ tretiranih sa Poly (I:C), dok je obratno zapaženo u slučaju produkcije IFN-γ. U kokulturi CD4⁺ T ćelija sa MoDĆ stimulisanih optimalnim koncentracijama oba agonista u optimalnim koncentracijama detektovani su povišeni nivoi IFN-γ i IL-10, trend povećanja produkcije IL-17, kao i sniženje produkcije IL-2 od strane CD4⁺ T ćelija, u poređenju sa efektom pojedinačnih agonista.

Rezultati analize intracitoplazmatske ekspresije IFN-γ i IL-17 kod CD4⁺ T limfocita u kokulturama pretretiranih MoDĆ i alogenih CD4⁺ T limfocita prikazani su na *Grafikonu 9B*. MoDĆ stimulisane sa kombinacijom Poly (I:C) i kurdlana stimulisale su ekspanziju i jednostruko i dvostruko IFN-γ i IL-17 pozitivnih alogenih CD4⁺ T limfocita. Nasuprot tome, MoDĆ tretirane pojedinačnim agonistima su stimulisale ekspanziju jednostruko pozitivnih efektorskih IFN-γ⁺ ili IL-17⁺ T limfocita.

Naredni cilj našeg istraživanja bilo je ispitivanje uticaja kombinovane primene Poly (I:C) i kurdlana na produkciju citokina, procentualnu zastupljenost i proliferaciju CD4⁺CD45RA⁺ i CD4⁺CD45RO⁺ T limfocita u kokulturi sa MoDĆ diferenciranim u prisustvu agonista.

Producija IFN-γ i IL-17, određenih u supernatantima kokultura pretretiranih MoDĆ i naivnih i memorijskih (CD4⁺CD45RA⁺ i CD4⁺CD45RO⁺) CD4⁺ T limfocita, se razlikovala (*Grafikon 10A*).



Grafikon 10. Uticaj kombinovane primene Poly (I:C) i kurdlana na potencijal MoDĆ da utiču na produkciju citokina (A), procentualnu zastupljenost (B) i proliferaciju (C)
CD4 $^+$ CD45RA $^+$ i CD4 $^+$ CD45RO $^+$ T limfocita u kokulturi

Nezrele MoDĆ (1×10^4), kultivisane 2 dana u prisustvu Poly (I:C), kurdlana i njihove kombinacije ili u kontrolnom medijumu, su potom kultivisane sa sortiranim alogenim CD4 $^+$ CD45RA $^+$ i CD4 $^+$ CD45RO $^+$ T limfocitima (1×10^5) tokom 5 dana, u 200 μ l kompletног medijuma. A) Forbol-12-miristat-13-acetat (PMA) (20ng/ml) i jonomicin (500 ng/ml) su dodati 8h pre isteka kulture. Koncentracije IFN- γ i IL-17 u supernatantima kokultura merene su ELISA testom i metodom za detekciju citokina pomoću imunofluorescentnih kuglica. Rezultati su predstavljeni kao srednja vrednost koncentracija iz šest eksperimenata sa različitim donorima \pm SD. B) Procenat CD4 $^+$ CD45RA $^+$ i CD4 $^+$ CD45RO $^+$ T limfocita u kokulturama sa ukupnim CD4 $^+$ T limfocitima je određen pre i 5 dana nakon kokultivacije sa MoDĆ diferenciranim u prisustvu agonista primenom anti-CD45RA-FITC i anti-CD45RO-PE monoklonskih antitela. Čelijska fluorescencija je analizirana na protočnom citofluorimetru. Rezultati su prikazani kao srednja vrednost pozitivnih ćelija \pm SD iz tri eksperimenta. C) U cilju određivanja stope proliferacije naivnih i memorijskih CD4 $^+$ T limfocita, purifikovani alogeni CD45RA $^+$ i CD4 $^+$ CD45RO $^+$ T limfociti (1×10^5) su kokultivisani sa MoDĆ pretretiranim sa agonistima pri različitim odnosima MoDĆ/CD4 $^+$ T limfocita (1:10 i 1:80) tokom 5 dana. U medijum za kultivaciju ćelija 18h pre merenja proliferativnog odgovora je dodat [H^3] timidin. Proliferativan odgovor je izmeren kao broj otkucaja u minutu (engl. counts per minute, cpm). Na grafiku su prikazani rezultati jednog reprezentativnog od tri slična eksperimenata kao indeks proliferacije \pm SD.

- pre kultivacije; 1-kontrola; 2-Poly (I:C); 3-kurdlan; 4-Poly (I:C)+kurdlan

* p<0.05; ** p<0.01; *** p<0.005 u poređenju sa kontrolnim MoDĆ

Δ p<0.05 u poređenju sa MoDĆ tretiranim sa Poly (I:C)

p<0.05 u poređenju sa MoDĆ tretiranim sa kurdlanom

MoDĆ tretirane sa Poly (I:C) su stimulisale produkciju IFN- γ od strane naivnih i memorijskih CD4 $^{+}$ T limfocita, ali je odgovor naivnih CD4 $^{+}$ T ćelija bio jači. Nasuprot tome, MoDĆ tretirane kurdlanom su stimulisale produkciju IFN- γ samo od strane memorijskih CD4 $^{+}$ T limfocita. MoDĆ stimulisane sa Poly (I:C) podstakle su produkciju IL-17 od strane memorijskih CD4 $^{+}$ T limfocita. MoDĆ tretirane kurdlanom su stimulisale produkciju IL-17 od strane obe podvrste CD4 $^{+}$ T ćelija, ali je efekat na memorijske CD4 $^{+}$ T ćelije bio izraženiji. MoDĆ kultivisane u prisustvu oba agonista su dovele do povećanja produkcije IFN- γ od strane naivnih i memorijskih CD4 $^{+}$ T ćelija i IL-17 od strane memorijskih CD4 $^{+}$ T ćelija. Uticaj MoDĆ stimulisanih kombinacijom Poly (I:C) i kurdlana na efektorske funkcije CD4 $^{+}$ T limfocita nije bio rezultat promene procentualne zastupljenosti CD4 $^{+}$ CD45RA $^{+}$ i CD4 $^{+}$ CD45RO $^{+}$ T limfocita (*Grafikon 10B*) kao ni različite stope proliferacije ove dve podvrste (*Grafikon 10C*) CD4 $^{+}$ T limfocita.

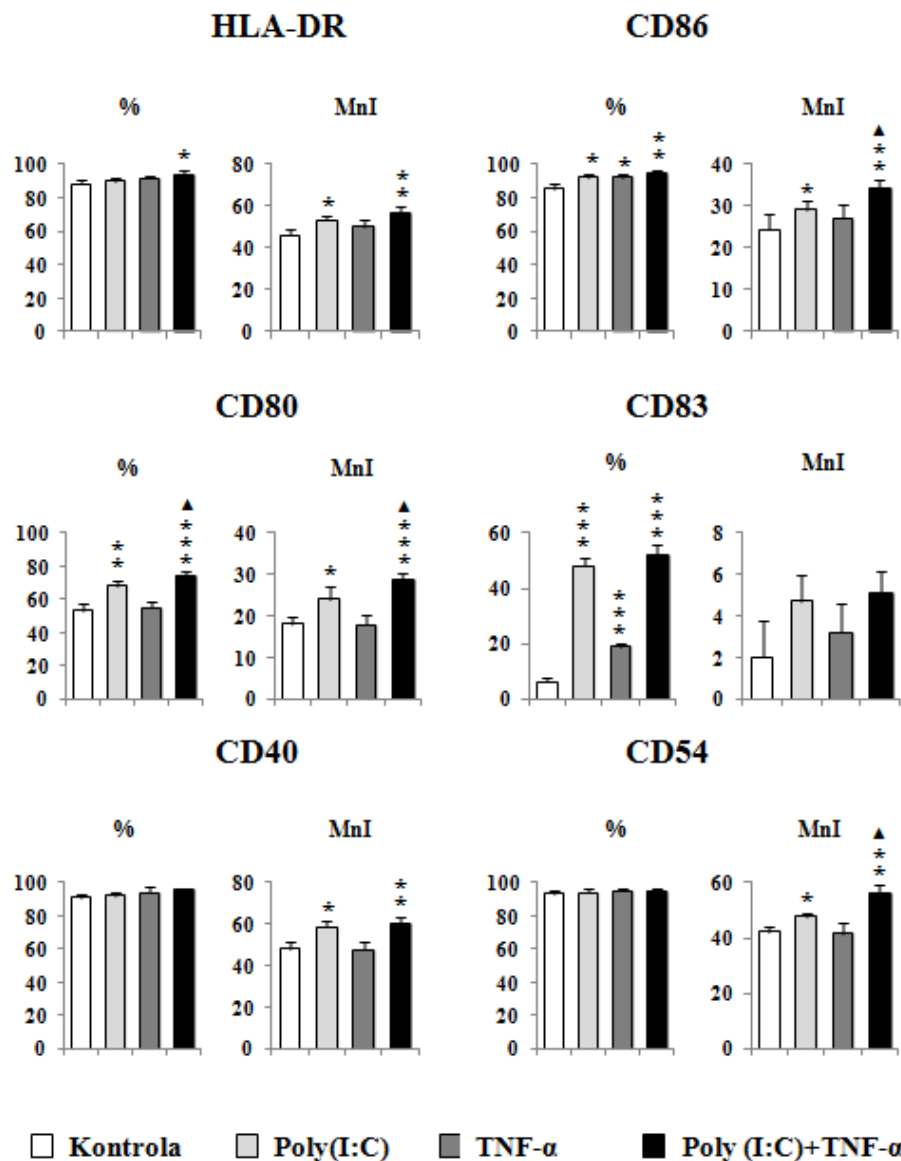
4.4. Efekat kombinovane primene Poly (I:C) i TNF- α na diferencijaciju MoDĆ

Kombinacija Poly (I:C) i TNF- α je korišćena za pripremu DĆ anti-tumorskih vakcina jer dovodi do snažne indukcije Th1 odgovora. Međutim, funkcionalne karakteristike MoDĆ stimulisanih na ovaj način nisu detaljno ispitane niti upoređene sa efektima pojedinačnih stimulatora. Stoga je jedan od ciljeva ovog istraživanja bio ispitivanje fenotipskih i funkcionalnih karakteristika MoDĆ tretiranih kombinacijom Poly (I:C) i TNF- α .

4.4.1. Efekat kombinovane primene optimalne koncentracije Poly (I:C) i TNF- α na fenotipska svojstva MoDĆ

Fenotipske karakteristike MoDĆ stimulisanih kombinacijom Poly (I:C) i TNF- α analizirane su metodom protočne citometrije, a rezultati su prikazani kao

procenat pozitivnih ćelija i srednja vrednost intenziteta fluorescence na *Grafikonu 11.*



Grafikon 11. Fenotipske karakteristike MoDĆ stimulisanih optimalnom koncentracijom Poly (I:C), TNF-α i njihovom kombinacijom

MoDĆ su dobijene iz humanih monocita nakon šestodnevne kultivacije u prisustvu GM-CSF (100 ng/ml) i IL-4 (20 ng/ml) i stimulacije optimalnom koncentracijom Poly (I:C), TNF-α i njihovom kombinacijom tokom 48h. Neadherentne ćelije su skupljene i obeležene antitelima specifičnim za ključne markere DĆ (anti-HLA-DR-PE, anti-CD86-PE, anti-CD80-FITC, anti-CD83-FITC, anti-CD40-FITC, anti-CD54-PE i anti-CCR7-FITC), a potom analizirane na protočnom citofluorometru. Rezultati iz jednog reprezentativnog eksperimenta od šest sa sličnim rezultatima su predstavljeni kao procenat pozitivnih ćelija (% ± SD) i kao srednja vrednost intenziteta fluorescence (engl. mean fluorescence intensity, mfi ± SD).

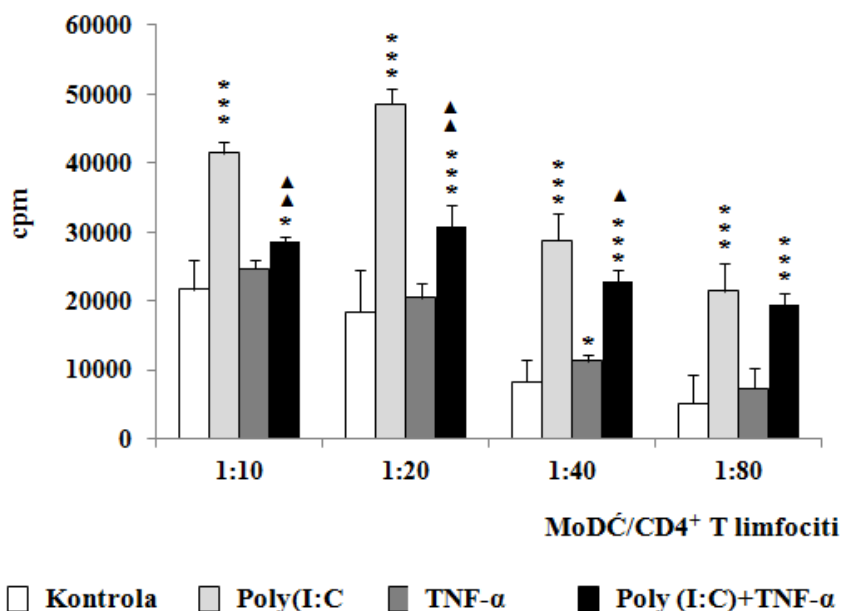
* p<0.05; ** p<0.01; *** p<0.005 u poređenju sa kontrolnim MoDĆ

▲ p<0.05 u poređenju sa MoDĆ tretiranim sa Poly (I:C)

Stimulacija MoDĆ sa Poly (I:C) dovela do povećanja ekspresije HLA-DR, CD80, CD86, CD83, CD40 i CD54. Fenotipskom analizom MoDĆ tretiranih sa TNF- α utvrđeno je da je stimulacija MoDĆ samo sa ovim citokinom doveo do umerenog povećanja ekspresije CD83 i CD86, dok je TNF- α u prisustvu Poly (I:C) doveo do dodatnog povećanja ekspresije CD80, CD86 i CD54.

4.4.2. Alostimulatorni potencijal MoDĆ stimulisanih kombinacijom optimalne koncentracije Poly (I:C) i TNF- α

Proliferativni odgovor alogenih CD4 $^{+}$ T limfocita u mešanoj kulturi leukocita sa MoDĆ stimulisanih kombinacijom Poly (I:C) i TNF- α prikazan je na *Grafikonu 12.*



Grafikon 12. Alostimulatorni kapacitet MoDĆ diferenciranih u prisustvu Poly (I:C), TNF- α i njihove kombinacije u kokulturi sa alogenim CD4 $^{+}$ T limfocitima

Na grafikonu je prikazan alostimulatorni potencijal MoDĆ diferenciranih u kontrolnom medijumu (kontrolne MoDĆ) ili u prisustvu Poly (I:C), TNF- α i njihove kombinacije. MoDĆ su kultivisane su u opadajućim dvostrukim razblaženjima (1×10^4 - 0.125×10^4) sa alogenim CD4 $^{+}$ T limfocitima (1×10^5) u toku 5 dana u $200 \mu\text{l}$ komplettnog medijuma. U medijum za kultivaciju ćelija 18h pre merenja proliferativnog odgovora je dodat [H^3] timidin. Proliferativan odgovor je izražen kao broj otkučaja u minuti (engl. counts per minute, cpm).

Na grafiku su prikazani rezultati jednog reprezentativnog od šest sličnih eksperimenata kao srednja vrednost cpm triplikata kulture \pm SD.

* $p < 0.05$; *** $p < 0.005$ u poređenju sa kontrolnim MoDĆ

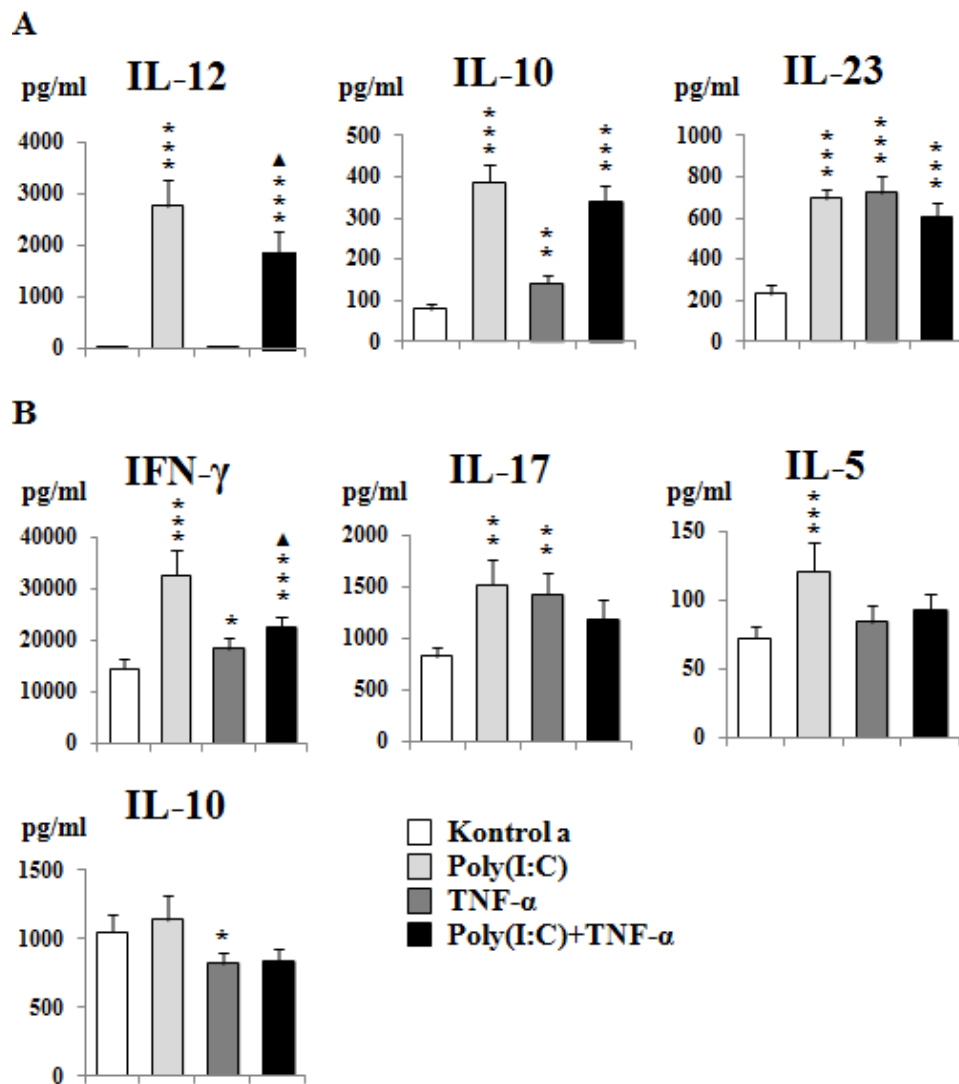
▲ $p < 0.05$ u poređenju sa MoDĆ tretiranim sa Poly (I:C)

MoDĆ kultivisane u prisustvu Poly (I:C) su stimulisale proliferaciju alogenih CD4⁺ T limfocita. Sa druge strane, MoDĆ koje su kultivisane u prisustvu TNF-α su imale slab alostimulatorni potencijal. MoDĆ tretirane kombinacijom Poly (I:C) i TNF-α su inhibirale proliferaciju alogenih CD4⁺ T limfocita, pogotovo pri višim odnosima (1:10, 1:20 i 1:40) MoDĆ i CD4⁺ T limfocita, u poređenju sa efektom Poly (I:C).

4.4.3. Producija citokina od strane MoDĆ stimulisanih kombinacijom optimalne koncentracije Poly (I:C) i TNF-α

Producija IL-12, IL-23 i IL-10 u kulturama MoDĆ stimulisanih kombinacijom optimalne koncentracije Poly (I:C) i TNF-α prikazana je na *Grafikonu 13A*. Stimulacija MoDĆ sa Poly (I:C) pospešila je produkciju IL-12, IL-23 i IL-10. Tretman MoDĆ sa TNF-α je stimulisao produkciju IL-23 i IL-10. Kombinovani efekat Poly (I:C) i TNF-α na produkciju citokina od strane MoDĆ se nije značajnije razlikovao od efekta samog Poly (I:C) sem u pogledu produkcije IL-12 koja je bila smanjena.

Uticaj kombinovane primene Poly (I:C) i TNF-α na sposobnost MoDĆ da usmere imunski odgovor procenjen je na osnovu produkcije citokina IFN-γ, IL-5, IL-10 i IL-17 u kokulturama alogenih CD4⁺ T limfocita i MoDĆ. Rezultati su predstavljeni na *Grafikonu 13B* kao srednje vrednosti koncentracija, izraženih u ng/ml. MoDĆ stimulisane sa TNF-α stimulisale su povećanje produkcije IFN-γ i IL-17 i smanjenje produkcije IL-10 od strane CD4⁺ T ćelija u alogenoj kulturi. Efekat kombinovane primene Poly (I:C) i TNF-α na Th polarizujući potencija MoDĆ se ogledao u smanjenju produkcije svih ispitivanih citokina, pri čemu je inhibitorni uticaj bio najizraženiji u pogledu produkcije IFN-γ.



Grafikon 13. Uticaj kombinovane primene Poly (I:C) i TNF- α na produkciju citokina i Th polarizujući kapacitet MoDĆ

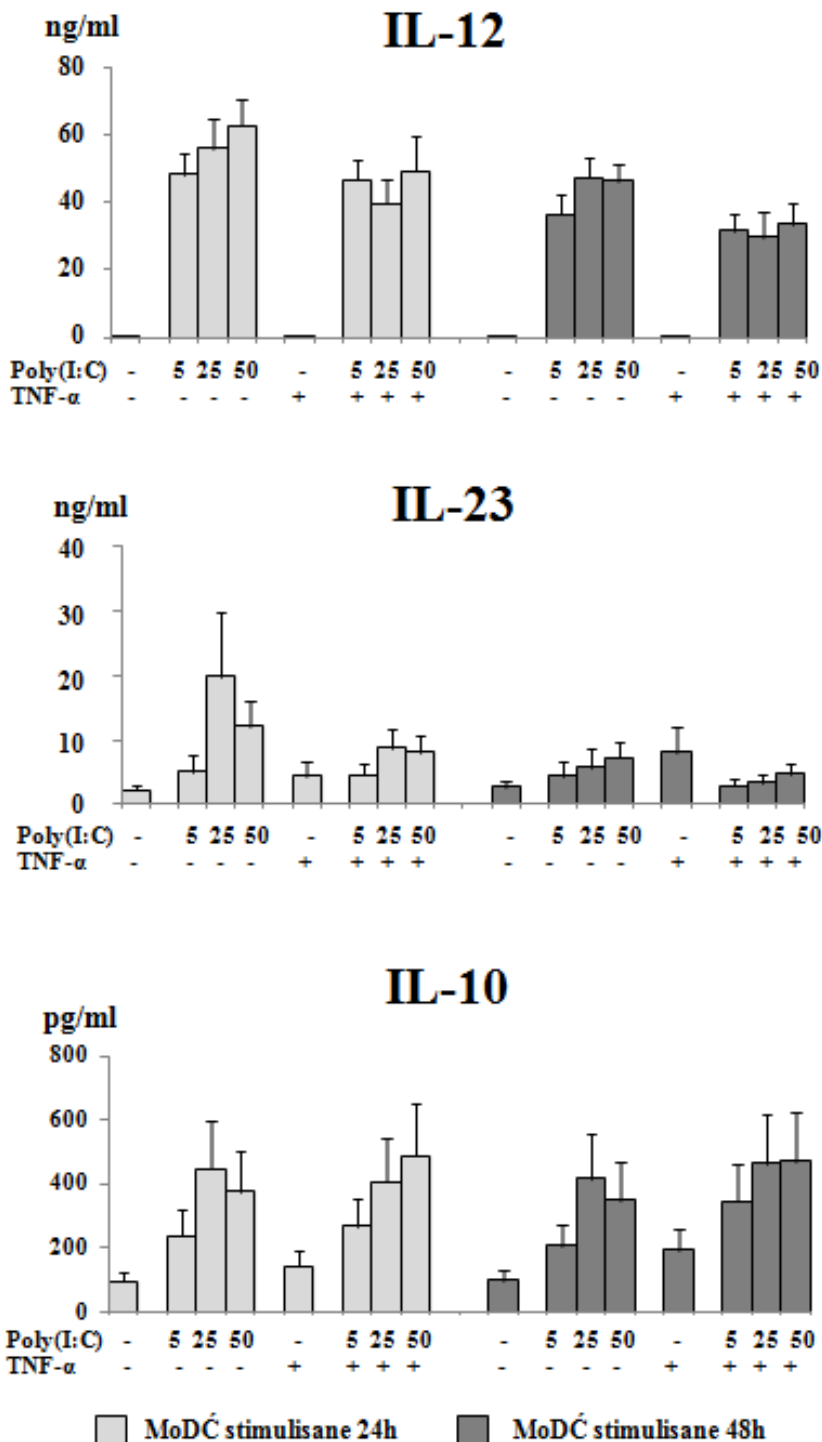
MoDĆ su dobijene iz humanih monocita nakon šestodnevne kultivacije u prisustvu GM-CSF (100 ng/ml) i IL-4 (20 ng/ml) i stimulacije sa optimalnom koncentracijom Poly (I:C), TNF- α i njihovom kombinacijom tokom 48h. A) Koncentracije IL-12, IL-23 i IL-10 određivane su ELISA testovima u superantantima kultura MoDĆ diferenciranih u prisustvu Poly (I:C), TNF- α i njihove kombinacije, kao i u kontrolnom medijumu tokom 2 dana. Rezultati su predstavljeni kao srednja vrednost koncentracija iz šest eksperimenata sa različitim donorima \pm SD. B) Forbol-12-miristat-13-acetat (PMA) (20ng/ml) i jonomicin (500 ng/ml) su dodati 8h pre isteka kulture. Koncentracije IFN- γ , IL-5, IL-10 i IL-17 u supernatantima kokultura merene su ELISA testovima i metodom za detekciju citokina pomoću imunofluorescentnih kuglica. Rezultati su predstavljeni kao srednja vrednost koncentracija iz šest eksperimenata sa različitim donorima \pm SD.

* p<0.05; ** p<0.01; *** p<0.005 u poređenju sa kontrolnim MoDĆ

▲ p<0.05 u poređenju sa MoDĆ tretiranim sa Poly (I:C)

4.4.4. Dozno- i vremenski- zavisan efekat kombinacije Poly (I:C) i TNF- α na produkciju citokina od strane MoDĆ

Sledeći cilj istraživanja bilo je ispitivanje dozno- i vremenski-zavisnog efekta Poly (I:C) primjenjenog u tri koncentracije ($5 \mu\text{g}/\text{ml}$, $25 \mu\text{g}/\text{ml}$ i $50 \mu\text{g}/\text{ml}$), TNF- α i njihove kombinacije na produkciju citokina od strane MoDĆ. Rezultati su prikazani na *Grafikonu 14.*



Grafikon 14. Producija citokina od strane MoDC diferenciranih u prisustvu različitih koncentracija Poly (I:C), TNF- α i njihovih kombinacija

Koncentracije IL-12, IL-23 i IL-10 određivane su ELISA testovima u superantantima kultura MoDC diferenciranih u prisustvu Poly (I:C), TNF- α i njihovih kombinacija, kao i u kontrolnom medijumu tokom 2 dana. Rezultati su predstavljeni kao srednja vrednost koncentracija iz šest eksperimenata sa različitim donorima \pm SD.

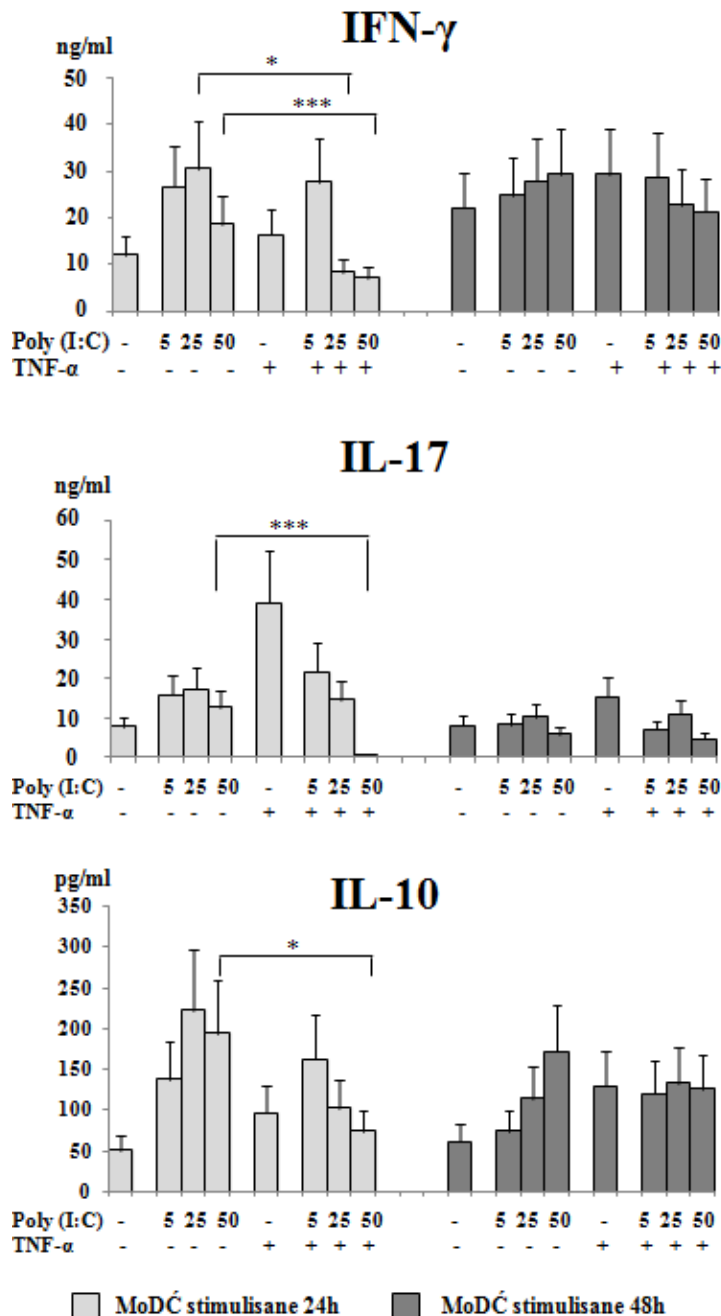
Poly (I:C) je ispoljio dozno-zavisni efekat na produkciju IL-12 posle stimulacije MoDĆ u toku 24h. Nakon prolongirane stimulacije MoDĆ sa Poly (I:C) u trajanju od 48h došlo je do smanjenja produkcije IL-12 i dozno-zavisni efekat više nije bio toliko izražen. Dodatak TNF- α tokom kultivacije MoDĆ stimulisanih sa Poly (I:C) je ispoljio inhibitorni efekat na produkciju IL-12, pogotovo kada su MoDĆ stimulisane višim koncentracijama Poly (I:C) (25 μ g/ml i 50 μ g/ml).

Poly (I:C) je takođe stimulisao povećanje produkcije IL-23 od strane MoDĆ. Ovaj efekat je bio izraženiji nakon 24h stimulacije MoDĆ sa Poly (I:C), a maksimum stimulacije je postignut u prisustvu koncentracije 25 μ g/ml. Stimulacija MoDĆ kombinacijom Poly (I:C) i TNF- α je dovela do smanjenja produkcije IL-23 nakon 24h i 48h kultivacije sa tim da je efekat bio izraženiji ukoliko su primenjene više koncentracije Poly (I:C).

Kultivacija MoDĆ u prisustvu Poly (I:C) i TNF- α je dovela do povećanja produkcije IL-10 bez značajne razlike nakon 24h i 48h kultivacije. Više koncentracije Poly (I:C) (25 μ g/ml i 50 μ g/ml) su se pokazale kao snažniji stimulatori produkcije IL-10 od strane MoDĆ.

4.4.5. Dozno- i vremenski- zavisan efekat kombinovane primene Poly (I:C) i TNF- α na Th polarizacionu aktivnost MoDĆ

Dozno- i vremenski- zavisan efekat kombinovane primene Poly (I:C) i TNF- α na sposobnost MoDĆ da usmere imunski odgovor procenjen je na osnovu nivoa citokina IFN- γ , IL-17 i IL-10 u supernatantima kultura alogenih CD4 $^{+}$ T limfocita i MoDĆ postupkom koji je detaljno opisan u poglavljju Materijal i metode. Rezultati su prikazani na *Grafikonu 15* kao srednje vrednosti koncentracija, izraženih u pg/ml, iz šest reprezentativnih eksperimenta.



Grafikon 15. Citokinski profil CD4⁺ T limfocita stimulisanih sa MoDĆ diferenciranim u prisustvu različitih koncentracija Poly (I:C), TNF- α i njihovih kombinacija

Nezrele MoDĆ (1×10^4) su kultivisane 24h u kontrolnom medijumu ili u prisustvu Poly (I:C), TNF- α ili njihovih kombinacija tokom narednih 24h ili 48h. Nakon 2 dana kultivacije MoDĆ tretirane na opisan način su potom kultivisane sa sortiranim alogenim CD4⁺ T limfocitima (1×10^5) tokom 5 dana, u 200 μ l kompletnog medijuma. Forbol-12-miristat-13-acetat (PMA) (20ng/ml) i jonomicin (500 ng/ml) su dodati 8h pre isteka kulture. Koncentracija citokina merena je ELISA testovima i metodom za detekciju citokina pomoću imunofluorescentnih kuglica i protočne citofluorimetrije. Rezultati su predstavljeni kao srednja vrednost koncentracija iz šest eksperimenata sa različitim donorima \pm SD.

* p<0.05 ; *** p<0.005 u odnosu na odgovarajuće kontrole

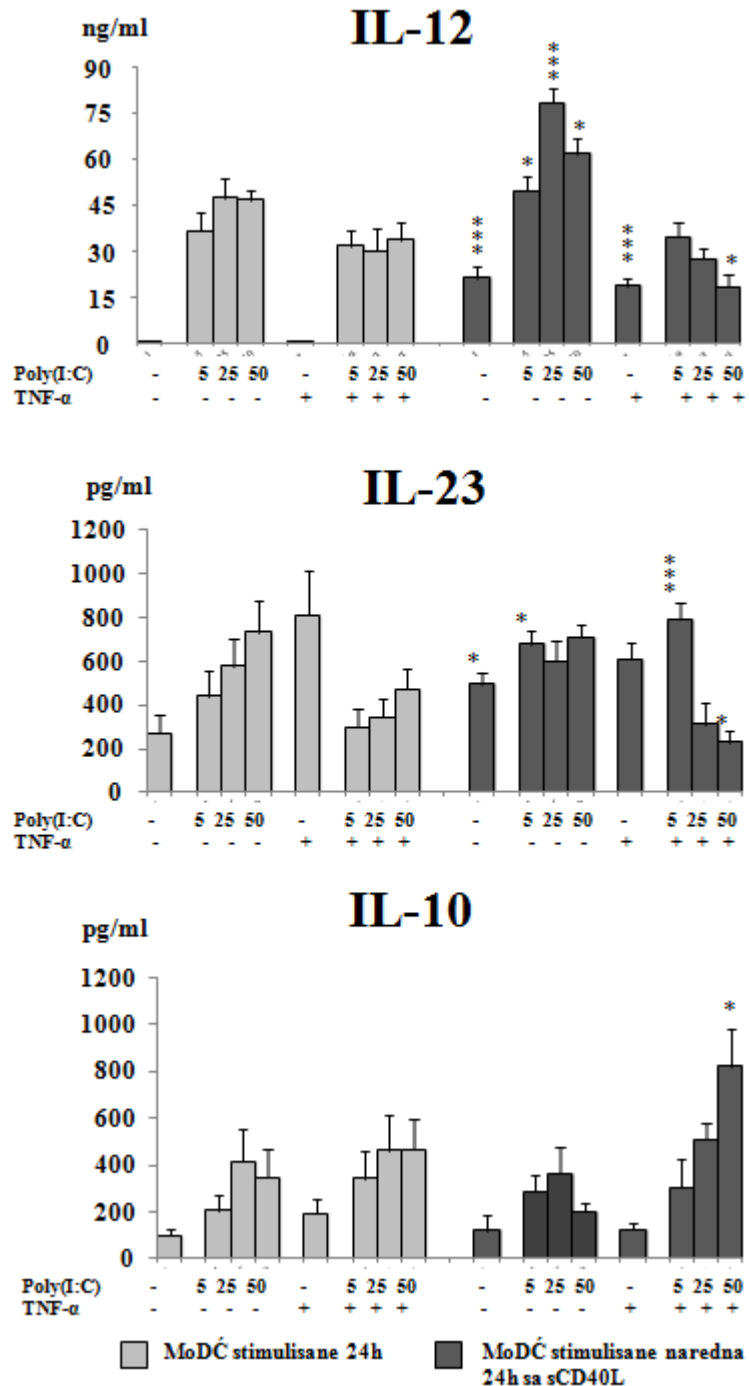
MoDĆ koje su stimulisane nižim koncentracijama Poly (I:C) ($5 \mu\text{g}/\text{ml}$ i $25 \mu\text{g}/\text{ml}$) tokom 24h su snažnije stimulisale produkciju IFN- γ od strane alogenih CD4 $^{+}$ T limfocita u poređenju sa najvišom koncentracijom Poly (I:C) ($50 \mu\text{g}/\text{ml}$). Ove razlike nisu uočene nakon stimulacije MoDĆ sa Poly (I:C) tokom 48h. Kada su MoDĆ stimulisane sa TNF- α i Poly (I:C) tokom 24h uočeno je značajno smanjenje produkcije IFN- γ u kokulturama sa $25 \mu\text{g}/\text{ml}$ i $50 \mu\text{g}/\text{ml}$ Poly (I:C). U kokulturama u kojima su MoDĆ stimulisane u prisustvu oba agonista tokom 48h nisu uočene statistički značajne razlike u pogledu produkcije IFN- γ kod svih primenjenih koncentracija Poly (I:C).

MoDĆ kultivisane u prisustvu TNF- α tokom 24h su bile bolji stimulatori produkcije IL-17 u kokulturi, u poređenju sa MoDĆ tretiranim svim ispitivanim koncentracijama Poly (I:C). MoDĆ stimulisane najvišom koncentracijom Poly (I:C) u kombinaciji sa TNF- α tokom 24h su dovele do gotovo kompletognog sniženja produkcije IL-17 od strane alogenih CD4 $^{+}$ T limfocita.

Producija IL-10 u kokulturama je pratila isti trend kao i produkcija IFN- γ , uključujući i uticaj MoDĆ stimulisanih najvišom koncentracijom Poly (I:C) ($50 \mu\text{g}/\text{ml}$) u kombinaciji sa TNF- α tokom 24h na smanjenje produkcije IL-10. Sa druge strane, MoDĆ tretirane svim ispitivanim koncentracijama Poly (I:C) i TNF- α i njihovim kombinacijama tokom 48h nisu ispoljile ovakav efekat na nivo produkovanog IL-10 od strane alogenih CD4 $^{+}$ T limfocita.

4.4.6. Efekat povezivanja CD40 molekula na produkciju citokina i Th polarizacionu aktivnost MoDĆ pretretiranih kombinacijom Poly (I:C) i TNF- α

Sledeći korak u našem istraživanju je bio ispitivanje modulacije funkcije MoDĆ diferenciranih u prisustvu Poly (I:C), TNF- α i njihovih kombinacija tokom interakcije sa T limfocitima posredovanoj CD40 molekulom. MoDĆ kultivisane u prisustvu Poly (I:C), TNF- α i njihovih kombinacija tokom 24h su stimulisane solubilnim CD40L tokom naredna 24h, postupkom koji je detaljno opisan u poglavlju Materijal i metode. Rezultati su prikazani na *Grafikonu 16*.



Grafikon 16. Uticaj povezivanja CD40 molekula na produkciju citokina od strane MoDC diferenciranih u prisustvu Poly (I:C), TNF- α i njihovih kombinacija

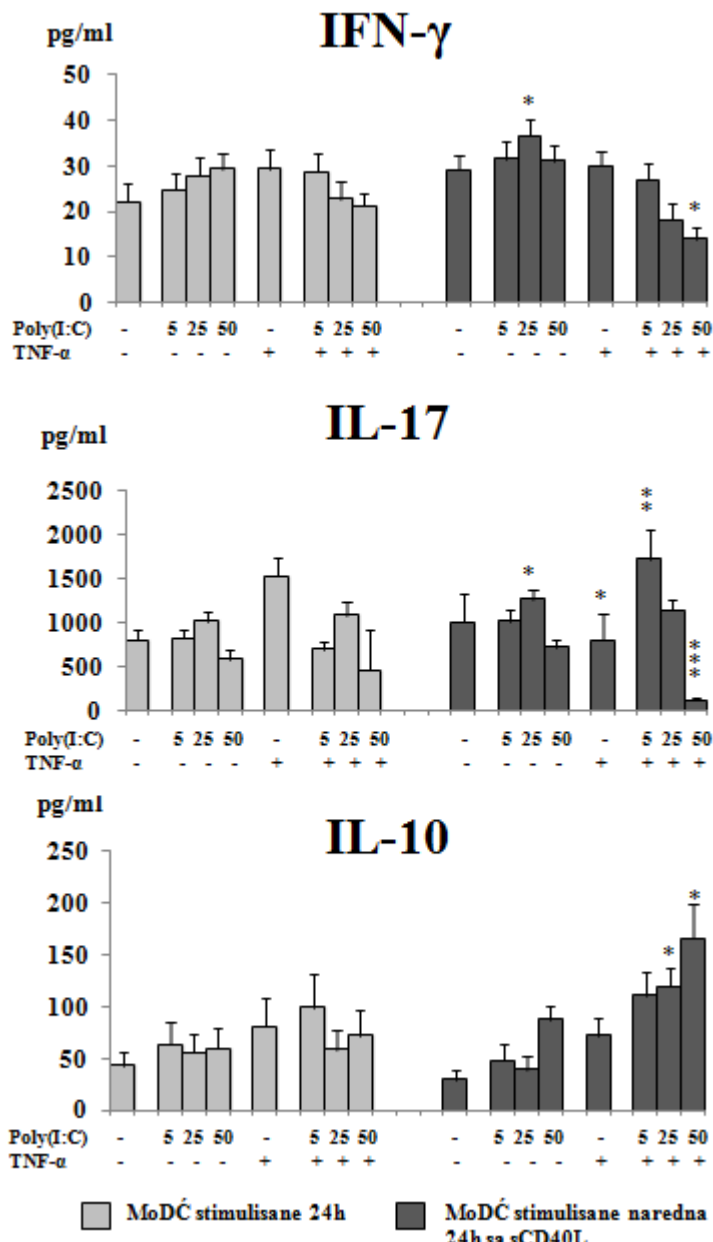
Koncentracije IL-12, IL-23 i IL-10 određivane su ELISA testovima u superantantima kultura MoDC diferenciranih u prisustvu Poly (I:C), TNF- α , njihovih kombinacija i sCD40L, kao i u kontrolnom medijumu postupkom koji je detaljno opisan u poglavlju Materijali i metode. Rezultati su predstavljeni kao srednja vrednost koncentracija iz šest eksperimenata sa različitim donorima \pm SD.

* p<0.05; *** p<0.005 u odnosu na odgovarajuće kontrole

Uticaj interakcije CD40:CD40L na produkciju citokina od strane MoDĆ pretretiranih sa Poly (I:C), TNF- α i njihovom kombinacijom je bio najizraženiji u slučaju produkcije IL-12. Naime, nivoi IL-12 su bili povišeni u kulturama MoDĆ tretiranih sa sve tri primenjene koncentracije Poly (I:C) i samo sa TNF- α . Međutim, do povećanja produkcije IFN- γ je došlo samo u kokulturama alogenih CD4 $^{+}$ T limfocita i MoDĆ stimulisanih optimalnom koncentracijom Poly (I:C) (25 μ g/ml) (*Grafikon 17*). Kombinacija TNF- α i najviše koncentracije Poly (I:C) je dovela do značajnog smanjenja produkcije IL-12 što se odrazilo na smanjenje produkcije IFN- γ od strane alogenih CD4 $^{+}$ T limfocita kokultivisanih sa MoDĆ tretiranim ovom kombinacijom.

Povezivanje CD40 molekula na MoDĆ dovelo je do povećanja produkcije IL-23 u kulturama nezrelih kao i MoDĆ stimulisanih suboptimalnom koncentracijom Poly (I:C) (5 μ g/ml). Stimulacija MoDĆ samo sa optimalnom koncentracijom Poly (I:C) i samo sa TNF- α nije dovela do promene u produkciji IL-23, ali je u kokulturi ovih ćelija sa CD4 $^{+}$ T limfocitima došlo do povećanja produkcije IL-17. Interakcija CD40 i CD40L je pospešila produkciju IL-23 od strane MoDĆ diferenciranih u prisustvu najniže ispitivane koncentracije Poly (I:C) i TNF- α što je bilo praćeno povećanjem produkcije IL-17 u kokulturi sa CD4 $^{+}$ T limfocitima. Povezivanje CD40 molekula na MoDĆ pretretiranim najvišom ispitivanom koncentracijom Poly (I:C) i TNF- α je dovelo do smanjenja produkcije IL-23 što se odrazilo na značajno smanjenje produkcije IL-17 u kokulturi MoDĆ stimulisanih na ovaj način i alogenih CD4 $^{+}$ T limfocita.

Povezivanje CD40 molekula na MoDĆ nije dovelo do značajne promene u pogledu produkcije IL-10 sa izuzetkom MoDĆ pretretiranih najvišom ispitivanom koncentracijom Poly (I:C) i TNF- α . Naime, u ovim kulturama je detektovano značajno povećanje nivoa IL-10. Ovaj efekat se ispoljio i u kokulturi ovih ćelija sa alogenim CD4 $^{+}$ T limfocitima. Povećanje produkcije IL-10 je uočeno i u alogenoj kulturi MoDĆ stimulisanih srednjom ispitivanom koncentracijom Poly (I:C) i TNF- α .



Grafikon 17. Citokinski profil u kokulturi CD4⁺ T limfocita i MoDČ diferenciranih u prisustvu Poly (I:C), TNF-α, njihovih kombinacija i sCD40L

Nezrele MoDČ (1×10^4) su kultivisane 24h u kontrolnom medijumu ili u prisustvu Poly (I:C), TNF-α ili njihove kombinacije i tokom naredna 24h u prisustvu solubilnog CD40L. Nakon 2 dana kultivacije MoDČ tretirane na opisan način su potom kultivisane sa sortiranim alogenim CD4⁺ T limfocitima (1×10^5) tokom 5 dana, u 200 µl kompletnog medijuma. Forbol-12-miristat-13-acetat (PMA) (20ng/ml) i jonomicin (500 ng/ml) su dodati 8h pre isteka kulture. Koncentracija citokina merena je ELISA testovima i metodom za detekciju citokina pomoću imunofluorescentnih kuglica i protočne citofluorimetrije. Rezultati su predstavljeni kao srednja vrednost koncentracija iz šest eksperimenata sa različitim donorima ±SD.

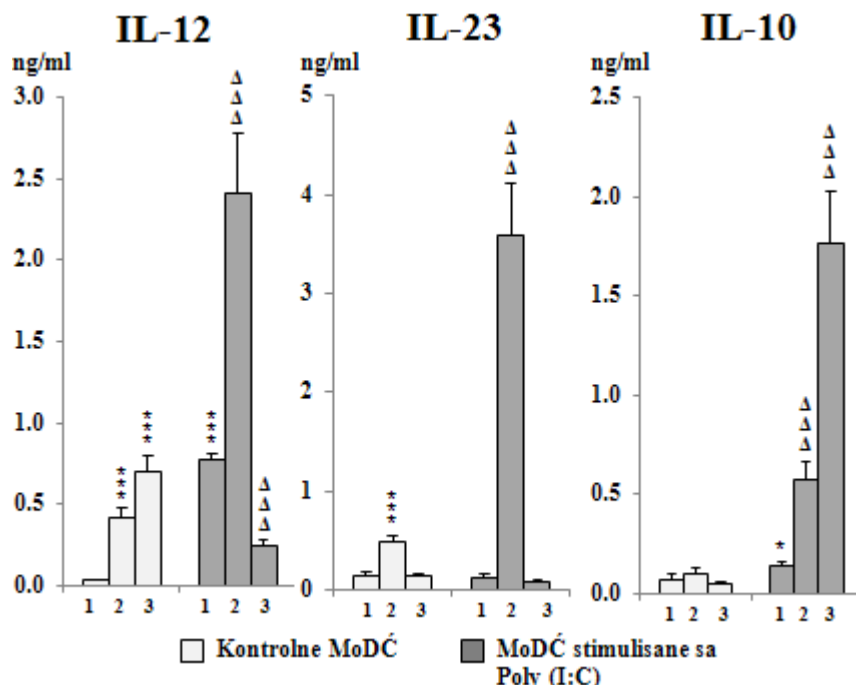
* p<0.05; ** p<0.01; *** p<0.005 u odnosu na odgovarajuće kontrole

4.5. Uticaj IFN- γ i povezivanja CD40 molekula na funkcionalne karakteristike MoDĆ diferenciranih u prisustvu Poly (I:C)

Ispitivanje modulacije funkcije MoDĆ tokom interakcije sa T limfocitima posredovanoj CD40 molekulom i IFN- γ je bio sledeći cilj našeg istraživanja. Nezrele MoDĆ i MoDĆ koje su stimulisane optimalnom koncentracijom Poly (I:C) tokom 24h su kultivisane naredna 24h u prisustvu J558 ćelija transfektovanim sa CD40L, odnosno u prisustvu IFN- γ .

4.5.1. Uticaj IFN- γ i povezivanja CD40 molekula na produkciju citokina od strane MoDĆ stimulisanih sa Poly (I:C)

U supernatantima kultura MoDĆ diferenciranih u prisustvu optimalne koncentracije Poly (I:C) ili u medijumu, sa ili bez J558 ćelija odnosno IFN- γ , su određeni nivoi IL-10, IL-12 i IL-23. Rezultati prikazani na *Grafikonu 18* pokazuju da su nezrele MoDĆ produkvale veoma niske nivoje sva tri ispitivana citokina. MoDĆ diferencirane u prisustvu Poly (I:C) su u poređenju sa nezrelim MoDĆ produkvale povećane nivoje IL-10 i IL-12, dok je nivo IL-23 bio nepromenjen. Povezivanje CD40 molekula na nezrelim MoDĆ je bilo praćeno povećanjem produkcije IL-12 i IL-23. Nasuprot tome, aktivacija CD40 molekula na MoDĆ pretretiranim sa Poly (I:C) je dovela do dvostrukog povećanja produkcije IL-12, dvadesetostrukog povećanja produkcije IL-23 i trostrukog povećanja produkcije IL-10. Kultivacija nezrelih MoDĆ u prisustvu IFN- γ je stimulisala produkciju IFN- γ na isti način kao i tretman MoDĆ sa Poly (I:C), a nivoi IL-23 i IL-10 su ostali nepromenjeni. Dodatak IFN- γ kulturama MoDĆ pretretiranih sa Poly (I:C) je doveo do smanjenja produkcije IL-12 i sedmoststrukog povećanja produkcije IL-10.



Grafikon 18. Uticaj IFN- γ i povezivanja CD40 molekula na produkciju citokina od strane MoDĆ diferenciranih bez i u prisustvu Poly (I:C)

Koncentracije IL-12, IL-23 i IL-10 određivane su ELISA testovima u superantantima kultura MoDĆ diferenciranih u prisustvu optimalne koncentracije Poly (I:C) ili u medijumu, sa ili bez J558 ćelija odnosno IFN- γ (5 ng/ml), kao i u kontrolnom medijumu tokom 2 dana. Rezultati su predstavljeni kao srednja vrednost koncentracija iz šest eksperimenata sa različitim donorima \pm SD.

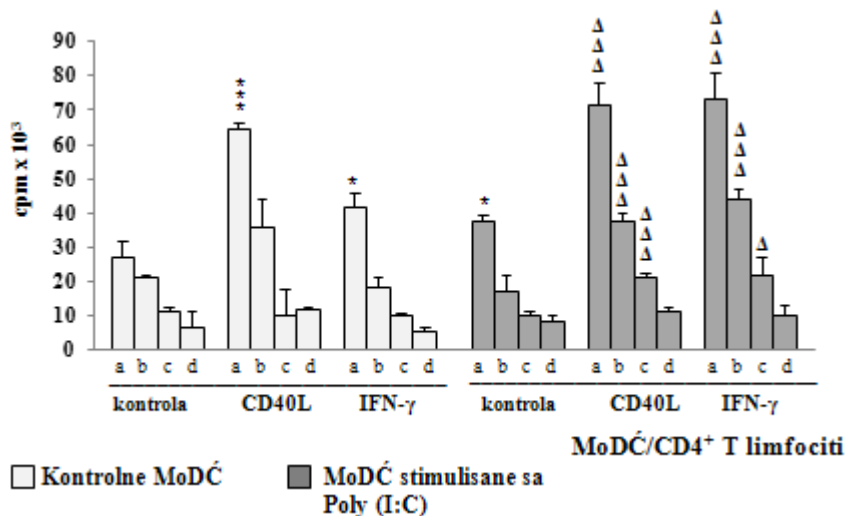
1-kontrola; 2-CD40L; 3- IFN- γ

* p<0.05; *** p<0.005 u poređenju sa kontrolnim MoDĆ

ΔΔΔ p<0.005 u poređenju sa MoDĆ tretiranim sa Poly (I:C)

4.5.2. Uticaj IFN- γ i povezivanja CD40 molekula na alostimulatornu aktivnost MoDĆ diferenciranih u prisustvu Poly (I:C)

Proliferativan odgovor alogenih CD4 $^{+}$ T limfocita u kokulturama sa MoDĆ diferenciranih u prisustvu optimalne koncentracije Poly (I:C) ili u medijumu, sa ili bez J558 ćelija odnosno IFN- γ prikazan je na *Grafikonu 19*.



Grafikon 19. Uticaj IFN- γ i povezivanja CD40 molekula na alostimulatorni kapacitet MoDĆ diferenciranih bez i u prisustvu Poly (I:C)

Na grafikonu je prikazan alostimulatorni potencijal MoDĆ diferenciranih u medijumu (kontrolne MoDĆ) ili u prisustvu Poly (I:C), sa ili bez J558 ćelija odnosno IFN- γ . MoDĆ su kultivisane su u opadajućim dvostrukim razblaženjima (1×10^4 - 0.125×10^4) sa alogenim CD4⁺ T limfocitima (1×10^5) u toku 5 dana u 200 μ l komplettnog medijuma. U medijum za kultivaciju ćelija 18h pre merenja proliferativnog odgovora je dodat [H^3] timidin. Proliferativan odgovor je izražen kao broj otkucaja u minuti (engl. counts per minute, cpm). Na grafiku su prikazani rezultati jednog reprezentativnog od šest sličnih eksperimenata kao srednja vrednost cpm triplikata kulture \pm SD.

a-1:10; b-1:20; c-1:40; d-1:80

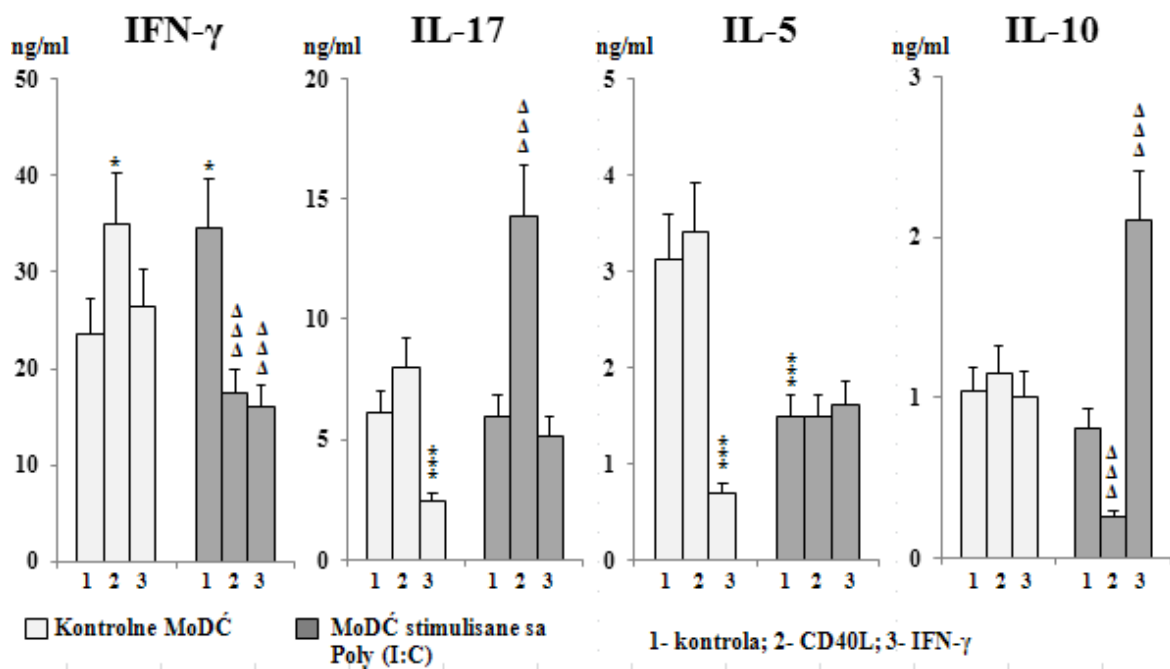
* p<0.05; *** p<0.005 u poređenju sa kontrolnim MoDĆ

Δ p<0.05; $\Delta\Delta\Delta$ p<0.005 u poređenju sa MoDĆ tretiranim sa Poly (I:C)

Nezrele MoDĆ su pokazale umereni potencijal za stimulaciju proliferacije alogenih CD4⁺ T limfocita koji je progresivno opadao sa povećanjem odnosa MoDĆ/CD4⁺ T limfocita. MoDĆ diferencirane u prisustvu Poly (I:C) su imale najvišu alostimulatornu aktivnost pri najvećem odnosu MoDĆ/CD4⁺ T limfocita. Povezivanje CD40 molekula na nezrelim MoDĆ ili tretman MoDĆ sa IFN- γ je doveo do značajnog povećanja njihovog alostimulatornog potencijala. Aktivacija CD40 molekula na MoDĆ kultivisanih u prisustvu Poly (I:C) odnosno dodatak IFN- γ ovim kulturama su doveli do dodatnog povećanja proliferacije alogenih CD4⁺ T limfocita.

4.5.3. Uticaj IFN- γ i povezivanja CD40 molekula na Th polarizacionu aktivnost MoDĆ diferenciranih u prisustvu Poly (I:C)

Efekti povezivanja CD40 molekula i IFN- γ na Th polarizacionu aktivnost kontrolnih i MoDĆ tretiranih optimalnom koncentracijom Poly (I:C) prikazani su na *Grafikonu 20.*



Grafikon 20. Uticaj IFN- γ i povezivanja CD40 molekula na Th polarizacionu aktivnost MoDĆ diferenciranih bez i u prisustvu Poly (I:C)

Nezrele MoDĆ (1×10^4), kultivisane 2 dana u prisustvu Poly (I:C) ili u medijumu, sa ili bez J558 ćelija odnosno IFN- γ , su potom kultivisane sa CD4 $^{+}$ sortiranim alogenim T limfocitima (1×10^5) tokom 5 dana, u 200 μ l kompletognog medijuma. Forbol-12-miristat-13-acetat (PMA) (20ng/ml) i jonomycin (500 ng/ml) su dodati 8h pre isteka kulture. Koncentracija citokina merena je ELISA testovima i metodom za detekciju citokina pomoću imunofluorescentnih kuglica i protočne citofluorimetrije. Rezultati su predstavljeni kao srednja vrednost koncentracija iz šest eksperimenata sa različitim donorima \pm SD.

*p<0.05; *** p<0.005 u poređenju sa kontrolnim MoDĆ

ΔΔΔ p<0.005 u poređenju sa MoDĆ tretiranim sa Poly (I:C)

Stimulacija MoDĆ optimalnom koncentracijom Poly (I:C) je dovela do povećanja produkcije IFN- γ i smanjenja produkcije IL-5, dok su nivoi IL-17 i IL-10 ostali nepromenjeni. Aktivacija CD40 molekula na nezrelim MoDĆ je ispoljila sličan efekat kao tretman sa Poly (I:C), sa tim da nije došlo do promene nivoa IL-5. Nasuprot tome, aktivacija CD40 molekula na MoDĆ koje su pretretirane sa Poly (I:C)

dovela je do povećanja produkcije IL-17 kao i sniženja nivoa IFN- γ i IL-10. Prisustvo IFN- γ u kulturama nezrelih MoDĆ je dovelo do smanjenja produkcije IL-17 i IL-5 i nije uticalo na produkciju IFN- γ od strane ovih ćelija. Dodatna stimulacija sa IFN- γ MoDĆ pretretiranih sa Poly (I:C) je dovela do značajnog povećanja produkcije IL-10 i smanjenja nivoa IFN- γ dok su nivoi IL-17 i IL-5 ostali nepromenjeni.

5. DISKUSIJA

Zahvaljujući svojoj jedinstvenoj ulozi u stimulaciji specifičnog imuniteta, uključujući i razvoj anti-tumorskog imunskog odgovora, DĆ predstavljaju jedno od najznačajnijih savremenih oruđa u imunoterapiji tumora. Uprkos tome što je sproveden veliki broj studija u kojima je opisano korišćenje DĆ za terapiju različitih vrsta malignih tumora još uvek nisu standardizovani protokoli za pripremu DĆ za kliničku upotrebu. Za poboljšanje protokola imunoterapije tumora primenom DĆ neophodna su dalja temeljna proučavanja imunobiologije DĆ, postupaka za produkciju ovih ćelija, kao i protokola za njihovu stimulaciju.

Kako je procenat DĆ u perifernoj krvi veoma mali (oko 0,5% od ukupnih mononuklearnih ćelija) usavršavanjem postupaka za izolaciju DĆ i njihovo nastajanje u *in vitro* uslovima od prekursora razvijeni su različiti načini pripreme ovih ćelija. Najpogodniji metod u pogledu jednostavnosti i velikog prinosa DĆ u humanom sistemu je dobijanje DĆ monocitnog porekla kultivacijom adherentne frakcije mononuklearnih ćelija iz *buffy coat-a* u prisustvu GM-CSF i IL-4 (Sallusto i Lanzavecchia, 1994). Ovaj metod predstavlja pogodan model za ispitivanje uticaja različitih faktora na diferencijaciju i maturaciju DĆ u *in vivo* uslovima (Zou i Tam, 2002). Stoga smo ovaj metod koristili u našim istraživanjima. U prethodnoj studiji naše istraživačke grupe (Colic i sar., 2003) kao i u brojnim publikacijama (Verdijk i sar., 1999; Lapointe i sar., 2000; Rouas i sar., 2004; Roses i sar., 2008) je pokazano da su MoDĆ dobijene na ovaj način nezrele, sa umerenim potencijalom da stimulišu proliferaciju alogenih CD4⁺ T limfocita u mešanoj lekocitnoj kulturi i polarizuju imunski odgovor ka Th1 i Th17 pravcu. Ove karakteristike *in vitro* dobijenih nezrelih MoDĆ su u skladu sa saznanjima da nezrele MoDĆ imaju slab potencijal da stimulišu imunski odgovor što ograničava njihovu primenu u kliničkim ispitivanjima, pogotovo kao anti-tumorskih vakcina (McIlroy i Gregoire, 2003).

Biološki potencijal DĆ za *in vivo* stimulaciju anti-tumorskog imunskog odgovora još uvek nije maksimalno iskorišćen. Zbog toga je značajan cilj imunoterapije tumora poboljšanje protokola za stimulaciju DĆ u cilju stvaranja dovoljnog broja imunogenih DĆ stabilnih fenotipskih karakteristika koje produkuju visok nivo IL-12, ključnog citokina za stimulaciju efikasnog Th1 odgovora i nastanak citotoksičnih T limfocita koji su od presudnog značaja za efikasnu

imunoterapiju tumora (Ikeda i sar., 2002; DeVries i sar., 2003). DĆ se odlikuju izuzetnom funkcionalnom plastičnošću koja zavisi od velikog broja faktora uključujući vrstu patogena sa kojima se sreću, receptora za prepoznavanje molekulskih obrazaca patogena koji se aktiviraju, subpopulaciju DĆ, mikrosredinu u kojoj se DĆ nalaze, ka i povratne signale poreklom od T ćelija (Banchereau i sar., 2000). U tom kontekstu, sposobnost DĆ da primaju signale sa različitih receptora koje potom integrišu i realizuju kroz jedinstveni odgovor se sve više koristi za generisanje zrelih DĆ kombinovanom primenom različitih agonista PRR i citokina, što je i bio predmet ovog istraživanja. U ovom radu su ispitivane fenotipske i funkcionalne karakteristike humanih DĆ monocitnog porekla stimulisanih sa agonistima endozomnih TLR i to pretežno TLR3. Pored detaljnog proučavanja modulatornog svojstva TLR3 agoniste, ispitivani su i modulatorni efekti kombinacije TLR3 i TLR7 agonista, kombinacija agonista TLR3 i dektin-1 receptora kao i kombinacija TLR3 agoniste, liganda za CD40 molekula i citokina (TNF- α i IFN- γ).

5.1. Uticaj Poly (I:C) na diferencijaciju nezrelih humanih MoDĆ

Prvi korak u ovom istraživanju bilo je detaljno ispitivanje modulatornog efekta Poly (I:C) na fenotipska i i funkcionalna svojsta MoDĆ. Poly (I:C) je sintetski analog dvolančane RNK koji se vezuje za TLR3, PRR koji je značajno ispoljen na nezrelim MoDĆ (Muzio i sar., 2000). Ovaj TLR3 agonist oponaša molekulski obrazac patogena i po vezivanju za receptor signalizira prisustvo infektivnog agensa što je praćeno aktivacijom DĆ i pokretanjem mehanizama za zaštitu od virusne infekcije (Cella i sar., 1999b).

Poznato je da Poly (I:C) dovodi do fenotipskog sazrevanja MoDĆ koje se ogleda u povećanju ekspresije HLA-DR molekula, kostimulatornih (CD80, CD86 i CD40) i adhezivnih molekula (CD54) kao i markera maturacije (CD83) (Cella i sar., 1999b; Rouas i sar., 2004), što smo pokazali i u našem istraživanju. Navedeni molekuli koji se povećano eksprimiraju učestvuju u formiranju imunološke sinapse između DĆ i T limfocita preko koje se integrišu svi signali i obezbeđuje adekvatan imunski odgovor posredovan efektorskim T limfocitima (Grakoui i sar., 1999; Dustin

i sar., 2006). HLA-DR molekul zajedno sa kostimulatornim i adhezivnim molekulima učestvuje u prezentaciji antiga, prenosu aktivacionih signala i stabilizaciji interakcije DĆ i CD4⁺ T limfocita (Dubey i sar., 1995; Vremec i Shortman, 1997; Banchereau i Steinman, 1998; Banchereau i sar., 2000; Lipscomb i Masten, 2002). HLA-DR prezentuju antigene CD4⁺ T limfocitima, obezbeđujući antigensku specifičnost ćelijskog imunskog odgovora i prenose signal 1 za aktivaciju T limfocita. Za aktivaciju T limfocita neophodan je i kostimulatorni signal, signal 2, koga obezbeđuju CD80 i CD86. Stepen ekspresije CD80 i CD86 zavisi od stadijuma zrelosti DĆ i povećava se stepenom njihove zrelosti (Lutz i Schuler, 2002). Vezivanje CD80 i CD86 za odgovarajuće receptore na T limfocitima, CD28 ili CTLA-4 (CD152), je od ključnog značaja za aktivaciju ili regulaciju T ćelijskog imunskog odgovora, ali ostvaruje i povratne efekte na DĆ (Logue i Sha, 2004; Bhatia i sar., 2006). CD40 se konstitutivno eksprimira na površini DĆ, ali se njegova ekspresija veoma povećava po aktivaciji ćelija (Steinman i Hemmi, 2006). CD54 doprinosi povezivanju DĆ i T limfocita i obezbeđuje stabilan kontakt između T-ćelijskog receptora i MHC-peptid kompleksa (Hart i Prickett, 1993). Takođe, u ovom istraživanju smo pokazali da Poly (I:C) dovodi do povećanja ekspresije CCR7 na MoDĆ, što je još jedna odlika zrelih DĆ prethodno pokazana od strane Sallusto i saradnika (Sallusto i sar., 1998). Specifični ligandi CCR7 molekula, CCL19 i CCL21, eksprimirani su od strane endotelnih ćelija limfnih venula, u postkapilarnim venulama sa visokim endotelom u limfnim čvorovima i T ćelijskim zonama limfoidnih organa (Gunn i sar., 1998; Willimann i sar., 1998; Luther i sar., 2000). Dakle, CCL19 i CCL21 usmeravaju migraciju zrelih DĆ koje ispoljavaju CCR7 ka perifernim limfoidnim organima u kojima dolazi do njihove interakcije sa antigen specifičnim, naivnim ili memorijskim T lifocitima (Sozzani, 2005; Alvarez i sar., 2008; Lukacs-Kornek i sar., 2008; Förster i sar., 2008).

U cilju daljeg proučavanja uticaja Poly (I:C) na diferencijaciju MoDĆ ispitivana je njihova sposobnost da stimulišu proliferaciju alogenih CD4⁺ T limfocita u MLR. Aloreaktivnost se zasniva na prepoznavanju alogenih epitopa peptid-MHC kompleksa na površini DĆ od strane T-ćelijskog receptora T limfocita genetski različitih jedinki iste vrste. Usled velike polimorfnosti MHC gena aloreaktivnost predstavlja jednu od najjačih imunskih reakcija. Stoga se allogena MLR koristi za

ispitivanje stimulatornog potencijala DĆ (Jeras i sar., 2005). Tokom MLR, DĆ i CD4⁺ T limfociti stupaju u međusobne interakcije posredovane membranskim i solubilnim molekulima, što rezultuje odgovarajućim proliferativnim odgovorom T limfocita. T limfociti integrišu signale koji im omogućavaju aktivaciju sa T-ćelijskog receptora, kostimulatornih molekula i citokinskih receptora. U zavisnosti od jačine ukupnog signala, koji zavisi od broja DĆ, koncentracije antiga, aviditeta T-ćelijskog receptora za odgovarajući peptid-MHC kompleks i trajanja interakcije DĆ i T limfocita, T limfociti suksesivno prolaze kroz procese proliferacije, diferencijacije i ćelijske smrti. Slab signal dovodi do proliferacije naivnih T limfocita koji se ne diferenciraju u efektorske ćelije, dok previše jak signal dovodi do aktivacijom indukovane ćelijske smrti (Langenkamp i sar., 2002; Sallusto i Lanzavecchia, 2002). Naši rezultati ukazuju na to da kontrolne, netretirane, MoDĆ imaju umeren potencijal za stimulaciju proliferacije alogenih CD4⁺ T limfocita. Stimulacija MoDĆ sa Poly (I:C) je dovela do povećanja alostimulatornog kapaciteta MoDĆ i to pri nižim odnosima MoDĆ i alogenih CD4⁺ T limfocita (1:40 i 1:80). Pri ostalim odnosima nije došlo do statistički značajne promene alostimulatornog kapaciteta. Povećani alostimulatorni potencijal MoDĆ stimulisanih sa Poly (I:C) je odraz opisanih fenotipskih karakteristika MoDĆ.

Rezultati dosadašnjih istraživanja su pokazali da MoDĆ kultivisane u prisustvu Poly (I:C) produkuju povišen nivo IL-12 i tako usmeravaju imunski odgovor u Th1 pravcu, kako *in vitro* (Verdijk i sar., 1999) tako i *in vivo* (Rouas i sar., 2004). Sa druge strane, produkuju nizak nivo IL-10, anti-inflamatornog citokina koji usmerava efektorske funkcije CD4⁺ T limfocita ka Th2 (Taga i Tosato, 1992) i imunoregulatornom profilu (Smits i sar., 2005). Rezultati našeg istraživanja su saglasni sa prethodno publikovanim i dodatno je pokazano da MoDĆ stimulisane u prisustvu Poly (I:C) produkuju visoke nivoe IL-23 i IL-27, članova IL-12 familije, kao i proinflamatornih citokina, TNF-α i IL-6. Pored izrazite strukturne homologije članova IL-12 familije, svaki od ovih citokina ima sebi svojstvene funkcionalne karakteristike (Hunter, 2005). Stimulišući produkцију IFN-γ i pospešujući citolitičku aktivnost NK ćelija, IL-12 ima ključnu ulogu u aktivaciji ranog urođenog imunskog odgovora protiv intracelularnih patogena i predstavlja ključni faktor aktivacije

ćelijskog imunskog odgovora pospešivanjem diferencijacije CD4⁺ T limfocita u Th1 limfocite (Steinman i Hemmi, 2006). Pored toga, IL-12 je od ključnog značaja za anti-tumorski imunski odgovor kao signal 3 za aktivaciju T limfocita (Valenzuela i sar., 2002) jer zajedno sa signalom 1 i signalom 2 omogućava polarizaciju imunskog odgovora u Th1 pravcu i razvoj tumor-specifičnih CD8⁺ T limfocita sa citotoksičnim svojstvima (Xu i sar., 2003). IL-27 ima ulogu u potenciranju efekta IL-12 koju ostvaruje direktno, povećanjem ekspresije IL-12R β 2 na površini ovih ćelija (Lucas i sar., 2003; Kamiya i sar., 2004) i indirektno, povećanjem ekspresije IL-18 od strane aktiviranih monocita, koji deluje sinergistički sa IL-12 u indukciji diferencijacije Th1 ćelija (Pflanz i sar., 2004). Sa druge strane, IL-23 indukuje proliferaciju memorijskih i efektorskih Th17 limfocita (McKenzie i sar., 2005; Sallusto i Lanzavecchia, 2009; Yu i sar., 2010). Postoje indikacije da IL-23, pored IL-12, može ispoljiti povoljne efekte u imunoterapiji tumora (Zheng i sar., 2008).

U skladu sa profilom produkovanih citokina MoDĆ tretirane sa Poly (I:C) su stimulisale Th1 i Th17 imunski odgovor, a inhibirale Th2 odgovor, što je procenjeno na osnovu produkcije IFN- γ , IL-17 i IL-5 u kokulturi sa alogenim CD4⁺ T limfocitima. Ovi nalazi su u skladu sa konceptom recipročne regulacije Th1/Th2 odgovora (Glimcher i Murphy, 2000) i prethodno publikovanim rezultatima o uticaju dvolančane RNK na odnos Th1/Th2 odgovora (Benwell i sar., 2010). Funkcionalni značaj Th17 odgovora stimulisanog usled prisustva TLR3 agonista predstavlja novi fenomen koji bi trebalo dalje ispitivati.

5.2. Uticaj kombinovane primene Poly (I:C) i loksoribina na diferencijaciju nezrelih humanih MoDĆ

Sinergistički efekat kombinovane primene TLR agonista je predmet brojnih eksperimentalnih i kliničkih studija u kojima se traga za najboljim protokolima za produkciju DĆ vakcina u terapiji različitih tipova malignih tumora. Sprovedena su brojna istraživanja u cilju ispitivanja funkcionalnih i fenotipskih karakteristika MoDĆ nakon istovremene aktivacije većeg broja TLR (Napolitani i sar., 2005; Gautier, i sar., 2005; Warger i sar., 2006; Mäkelä i sar., 2009). Pokazano je da

kooperacija TLR kod DĆ stimuliše povećanje ekspresije gena za TNF- α , IL-1 β , IL-6, IL-10, IL-12, IL-23 i ciklooksigenaze 2 (engl. cyclooxygenase-2, COX2) kao i njihovu sintezu i oslobođanje, u poređenju sa efektima pojedinačnih agonista (Gautier i sar., 2005; Napolitani i sar., 2005; Trinchieri i Sher, 2007). Napolitani i saradnici su među prvima opisali snažan sinergistički efekat kombinovane primene TLR agonista na produkciju citokina od strane MoDĆ. Rezultati njihovog istraživanja su pokazali sinergistički efekat kombinovane primene TLR3 i TLR4 agonista sa TLR7/8 agonistom u produkciji IL-12 i IL-23 od strane humanih MoDĆ koje su ispoljavale izraženiji Th1 polarizujući potencijal od MoDĆ stimulisanih sa pojedinačnim agonistima (Napolitani i sar., 2005).

TLR3, zajedno sa TLR7, TLR8 i TLR9 čine TLR9 subfamiliju receptora koja predstavlja endozomne TLR specifične za nukleinske kiseline. TLR7 i TLR8, receptori za koje se vezuje jednolančana RNK i određene male interferirajuće RNK, zajedno sa TLR3 aktiviraju urođeni imunski odgovor nakon infekcije virusima (Diebold i sar., 2004) (Heil i sar., 2003). Pored jednolančane RNK i pojedina sintetska jedinjenja, poput rezikvimoda, CL075 i CL097 predstavljaju TLR7/8 agoniste (Lee i sar., 2003). MoDĆ stimulisane ovim jedinjenjima se diferenciraju u zrele ćelije koje polarizuju imunski odgovor u Th1 pravcu (Duraisingham i sar., 2009).

U cilju razgraničavanja efekata aktivacije TLR7 i TLR8 receptora bilo je neophodno ispitati efekte primene selektivnih TLR7 i TLR8 agonista. Do sada su identifikovane dve grupe selektivnih TLR7 agonista, imidazokvinolini (imikvimod i gardikvimod) i derivati guanozina (7-alil-7,8-dihidro-8-okso-guanzin (loksoribin) i 7-tia-8-okso-guanzin (7-TOG)) (Lee i sar., 2003; Heil i sar., 2003). Podaci koji se odnose na efekte ovih agonista na MoDĆ su kontraverzni kao i pitanje ekspresije TLR7 u MoDĆ. Naime, ekspresija TLR7 je visoka u pDĆ (Gorden i sar., 2005), ali su nivoi ekspresije ovog receptora u MoDĆ niski ili nedetektabilni (Jarrossay i sar., 2001; Kadowaki i sar., 2001). Takođe, pokazano je da selektivni TLR7 ligandi mogu da stimulišu samo preaktivirane MoDĆ (Severa i sar., 2007; Lombardi i sar., 2009). Rezultati naših istraživanja u kojima smo koristili selektivni TLR7 agonist, loksoribin, su pokazali da primena loksoribina dovodi do diferencijacije, sazrevanja i stimulacije alostimulatorne sposobnosti MoDĆ uz polarizaciju ka Th1 i Th17

imunskom odgovoru, pri čemu su ovi efekti delom rezultat povećanja ekspresije TLR7 u tako tretiranim MoDĆ (Dzopalic i sar., 2010).

Imajući u vidu rezultate istraživanja Napolitani i saradnika (Napolitani i sar., 2005) želeli smo da primenom selektivnih agonista detaljno ispitamo na koji način koaktivacija TLR3 i TLR7 moduliše fenotipske karakteristike, produkciju citokina i Th polarizujući potencijal MoDĆ. MoDĆ su stimulisane sa kombinacijama suboptimalne (10 µg/ml) i optimalne (25 µg/ml) koncentracije Poly (I:C) i suboptimalne (34 µg/ml) i optimalne (85 µg/ml) koncentracije loksoribina.

Stimulisanje MoDĆ suboptimalnim koncentracijama Poly (I:C) i loksoribina je dovelo do njihovog diferenciranja u fenotipski zrele ćelije koje polarizuju imunski odgovor ka Th1 pravcu što je procenjeno na osnovu povećane produkcije IFN- γ u kokulturi ovako tretiranih MoDĆ i alogenih CD4⁺ T ćelija. Povećanje produkcije IFN- γ u kokulturi se može objasniti povećanom produkcijom IL-27 i IL-12 od strane samih tretiranih MoDĆ, za koje je pokazano udruženo dejstvo u ekspanziji i preživljavanju Th1 ćelija (Lucas i sar., 2003; Kamiya i sar., 2004; Pflanz i sar., 2004; Owaki i sar., 2006). Ovako pripremljene MoDĆ su indukovale i povećanu produkciju IL-17 od strane CD4⁺ T ćelija, što je u skladu sa detektovanim značajnim povećanjem produkcije IL-23 od strane MoDĆ stimulisanih sa kombinacijom suboptimalnih koncentracija oba agonista u poređenju sa vrednostima IL-23 koji su produkovale MoDĆ stimulisane pojedinačnim agonistima. Naime, poznato je da je IL-23 neophodan za održanje Th17 ćelija (McKenzie i sar., 2005; Sallusto i Lanzavecchia, 2009; Yu i sar., 2010).

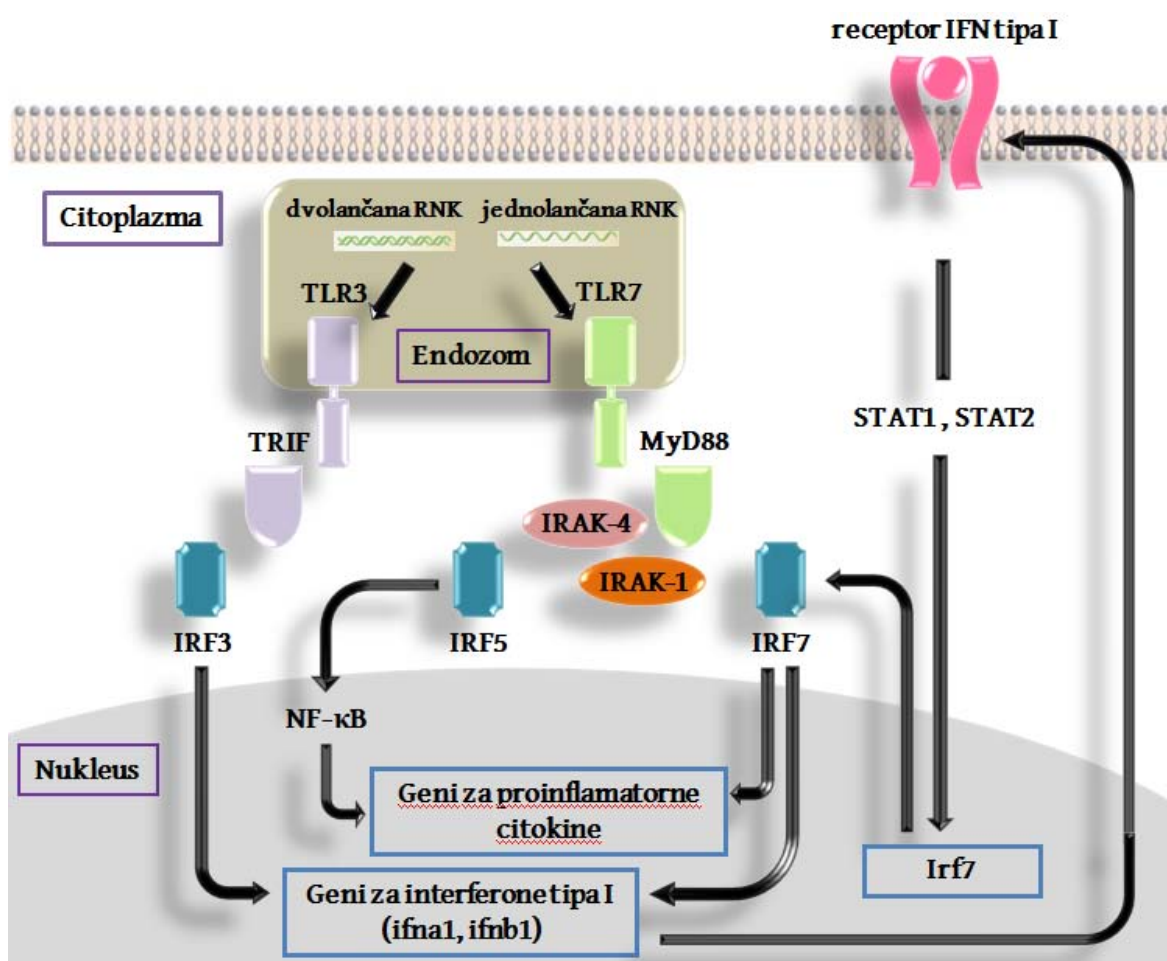
MoDĆ diferencirane u prisustvu optimalnih koncentracija Poly (I:C) i loksoribina usmeravale su imunski odgovor ka Th1 pravcu indukujući produkciju značajne količine IFN- γ od strane alogenih CD4⁺ T ćelija. Takođe, na ovaj način stimulisane MoDĆ pokazale su smanjen potencijal za usmeravanje CD4⁺ T limfocita ka Th2 i Th17 pravcu, u poređenju sa efektom pojedinačnih agonista. Pokazani efekti kombinovane primene optimalnih koncentracija Poly (I:C) i loksoribina na Th polarizacioni potencijal MoDĆ su u skladu sa povećanom produkcijom IL-12 i IL-27 i smanjenom produkcijom IL-23 od strane MoDĆ tretiranih na ovaj način. Pored

pokazane uloge IL-27 u potenciranju uticaja IL-12 na usmeravanje CD4⁺ T limfocita ka Th1 profilu (Lucas i sar., 2003; Kamiya i sar., 2004; Pflanz i sar., 2004; Owaki, i sar., 2006; Molle i sar., 2007), visok nivo IL-27 utiče na smanjenje produkcije IL-4, a time i diferencijaciju Th2 ćelija (Lucas i sar., 2003). Takođe, povećan nivo IL-27 utiče na smanjenje produkcije IL-23, a samim tim i smanjenja potencijala MoDĆ za usmeravanje CD4⁺ T limfocita ka Th17 pravcu (Yoshimura i sar., 2006). Sa druge strane, efekat kombinovane primene optimalnih koncentracija Poly (I:C) i loksoribina na fenotip MoDĆ se ogledao u smanjenju ekspresije HLA-DR i kostimulatornih molekula, u poređenju sa efektima pojedinačnih agonista. Sličan efekat su opisali Napolitani i saradnici koji su ukazali na moguću ulogu koligacije kao "sigurnosne šifre" koja moduliše antigen-prezentujući potencijal MoDĆ i dovodi do razvoja efektorskih T limfocita samo samo u slučaju prisustva patogena (Napolitani i sar., 2005).

MoDĆ diferencirane u prisustvu suboptimalne koncentracije Poly (I:C) i optimalne koncentracije loksoribina su ispoljile najizraženiji Th1 polarizujući potencijal što je u skladu sa detektovanim povećanjem produkcije IL-12 od strane ovako stimulisanih MoDĆ. Ovi rezultati potvrđuju da MoDĆ imaju veliki potencijal za produkciju IL-12 koji se ispoljava samo kao odgovor na višestuke stimuluse koji deluju istovremeno (Napolitani i sar., 2005).

Smatra se da je sinergistički efekat koaktivacije TLR3 i TLR7 ostvaren na nivou signalnih puteva. Naime, stimulacija TLR na DĆ, sa izuzetkom TLR3, dovodi do konformacionih promena receptora, angažovanja adaptorskog proteina MyD88 (engl. myeloid differentiation primary response gene 88) i pokretanja signalne kaskade koja rezultuje aktivacijom transkripcionih faktora NF-κB i regulatora transkripcije interferona (engl. IFN regulatory factor 5, IRF5). Alternativni signalni put se pokreće aktivacijom TLR-7,-8 i -9, koji takođe angažuju MyD88, ali pored NF-κB aktiviraju i IRF7. Sa druge strane, aktivacija TLR3 pokreće signalni put nezavisan od MyD88 u kome se umesto ovog molekula angažuje adaptor koji sadrži Toll/IL-1R domen (engl. Toll/IL-1R domain-containing adaptor, TICAM-1; TRIF). U MyD88-nezavisnom putu dolazi do aktivacije NF-κB, aktivacionog proteina-1 (engl. activator protein, 1 AP-1), IRF3 i ekspresije IFN-β i IFN-inducibilnih gena (Gautier i

sar., 2005; Honda i sar., 2005; Beutler i sar., 2006; Matsumoto i Seya, 2008; Mäkelä i sar., 2009; Kawai i Akira, 2010). Značaju ulogu u kooperaciji TLR receptora mogu imati IFN tipa I koji delovanjem na autokrini, odnosno parakrini način pojačavaju efekte koaktivacije TLR (*Slika 8*). Naime, sinteza IFN- β zavisna od aktivacije TLR3 indukuje sintezu IRF7. IRF7 se aktivira nakon stimulacije TLR7 i pospešuje dalju produkciju IFN tipa I čime se uspostavlja pozitivna povratna sprega i uspostavlja stabilna, pojačana produkcija ovih citokina (Gautier i sar., 2005; Malissen i Ewbank, 2005).



Slika 8. FN tipa I delovanjem na autokrini, odnosno parakrini način pojačavaju efekte koaktivacije TLR

Dakle, MyD88-nezavisni put pospešuje MyD88-zavisne funkcije DĆ i aktivaciju T ćelija. Naime, signalni put nezavisan od MyD88 odgovara signalu 2 neophodnom za aktivaciju T ćelija, dok signalni put zavisan od MyD88 predstavlja signal 3 koji određuje tip T ćelijskog odgovora (Zhu i sar., 2008). Pretpostavlja se da

je ova interakcija uspostavljena da bi se izbegla nepotrebna aktivacija imunskog odgovora, ali da se u isto vreme može uspostaviti anti-tumorski imunski odgovor.

5.3. Uticaj kurdlana i njegove kombinacije sa Poly (I:C) na diferencijaciju nezrelih humanih MoDĆ

U sklopu ovog istraživanja ispitivan je i uticaj koaktivacije TLR3 i dektin-1 receptora primenom odgovarajućih agonista, Poly (I:C) i kurdlana. Primena ove kombinacije agonista PRR ima prevashodno imunoterapeutski značaj jer do sada nije detektovan patogen koji ispoljava ligande za ova dva PRR.

Transmembranski receptor dektin-1 prepoznaje β -glukane (Ariizumi i sar., 2000; Taylor i sar., 2002) od kojih je izgrađeno oko 50% ćelijskog zida gljivica. Uloga dektina-1 u modulaciji bioloških funkcija humanih DĆ je publikovana u svega nekoliko studija do sada (Skrzypek i sar., 2009; Agrawal i sar., 2010; Higashi i sar., 2010). Pokazano je da mišje i humane DĆ stimulisane kurdlanom povećavaju ekspresiju kostimulatornih molekula i produkuju brojne proinflamatorne (IL-1 β , IL-6, IL-12, IL-23) i anti-inflamatorne (IL-10) citokine (LeibundGut-Landmann i sar., 2007; Gringhuis i sar., 2009; Skrzypek i sar., 2009; Agrawal i sar., 2010; Higashi i sar., 2010).

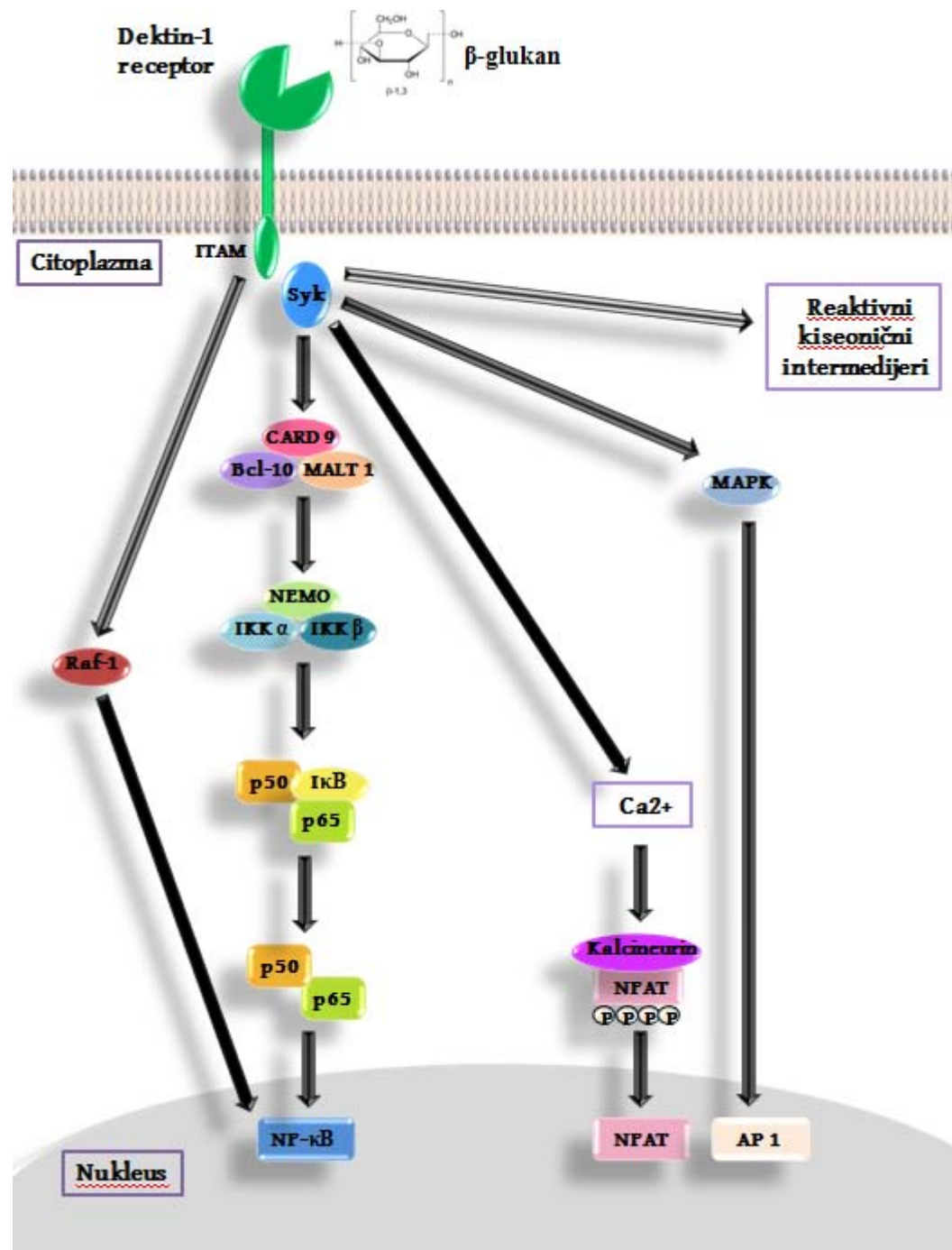
Aktivacija dektin-1 receptora primenom kurdlana dovodi do sazrevanja MoDĆ u ćelije koje produkuju povećane nivoje IL-23 i IL-27 i smanjen nivo IL-10. Razlike između literturnih i naših rezultata se mogu objasniti primenom različitih koncentracija kurdlana i različitim načinima njegove pripreme, kako od strane proizvođača tako i u laboratoriji (Stopinšek i sar., 2011). Uprkos tome što je nivo IL-12 bio nedetektabilan u kulturama MoDĆ stimulisanih kurdlanom, MoDĆ tretirane na ovaj način usmeravale su imunski odgovor ka Th1 pravcu u kokulturi sa alogenim CD4 $^+$ T limfocitima. Ovaj efekat se može objasniti dodatnom kontaktnom stimulacijom produkcije IL-12 usled interakcije CD40 na MoDĆ sa CD40 ligandom na CD4 $^+$ T limfocitima u alogenoj kulturi (Snijders i sar., 1998). MoDĆ stimulisane kurdlanom su produkvale značajno veće količine IL-23 i usmeravale imunski odgovor i u Th17 pravcu, što je već opisan fenomen (Agrawal i sar., 2010).

Istovremena aktivacija TLR3 i dektin-1 receptora na MoDĆ u našim istraživanjima je dovela do povećanja produkcije IL-12, IL-23 i IL-10, dok je produkcija IL-27 i IL-6 bila smanjena. MoDĆ stimulisane na ovaj način su indukovale značajno veću produkciju IFN- γ i IL-17 u alogenoj kokulturi, u poređenju sa efektom pojedinačnih agonista. Ovaj efekat je bio izraženiji kada su za kokultivaciju sa MoDĆ korišćeni purifikovani naivni (snažnije produkuju IFN- γ) i memorijski (snažnije produkuju IL-17) CD4 $^{+}$ T limfociti, a nije bio rezultat promene odnosa CD4 $^{+}$ CD45RA $^{+}$ / CD4 $^{+}$ CD45RO $^{+}$ podtipova niti je pokazano da ova dva podtipa imaju različite stope proliferacije.

Povećanje produkcije citokina se može objasniti ekspanzijom jednostruko pozitivnih IFN- γ^{+} i IL-17 $^{+}$ CD4 $^{+}$ T ćelija, ali i dvostruko pozitivnih IFN- γ^{+} /IL-17 $^{+}$ CD4 $^{+}$ T ćelija. Poznato je da se brojnost IFN- γ^{+} /IL-17 $^{+}$ dvostruko pozitivnih ćelija se povećava u tkivima pod inflamacijom ili u krvi pacijenata sa hroničnim inflamatornim bolestima. Ove ćelije su fenotipski nestabilne u kulturi i mogu postati ili IFN- γ ili IL-17 produkuće CD4 $^{+}$ T ćelije (Boniface i sar., 2010). Na osnovu rezultata naših istraživanja pretpostavili smo da citokini IL-12 familije koje sintetišu MoDĆ nakon istovremene aktivacije TLR3 i dektina-1, utiču na polarizaciju imunskog odgovora, makar jednim delom, stimulacijom diferencijacije dvostruko pozitivnih IFN- γ^{+} /IL-17 $^{+}$ CD4 $^{+}$ T ćelija.

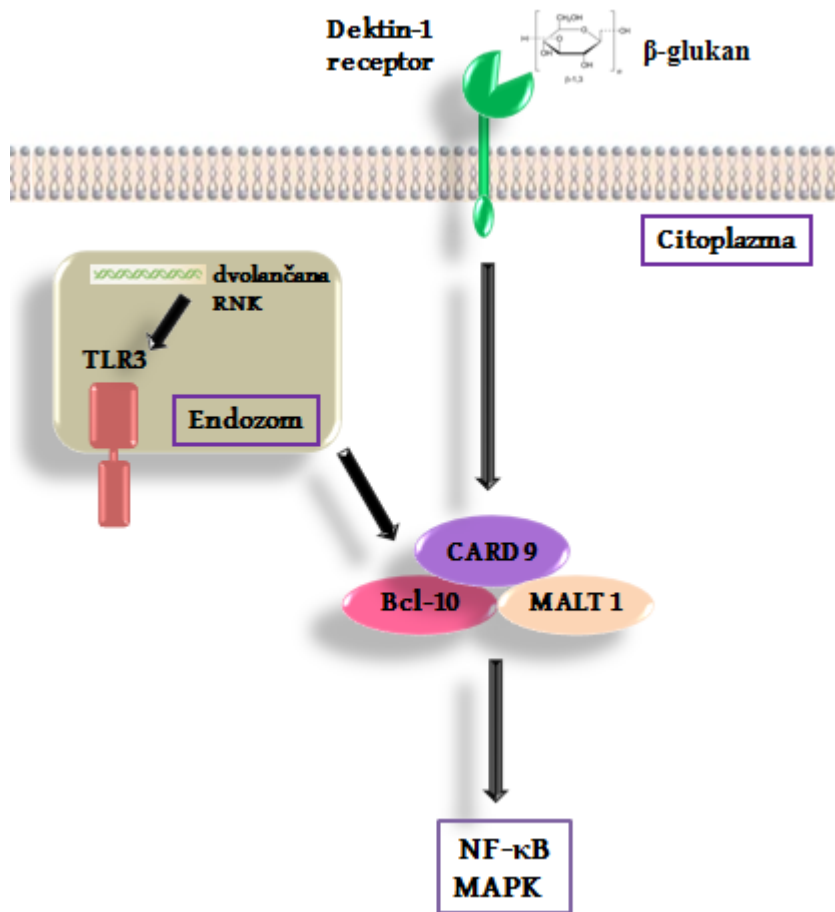
Uticaj kombinovane primene Poly (I:C) i kurdlan na MoDĆ nije još uvek ispitana, ali su brojne dosadašnje studije pokazale da efekti modulacije funkcije MoDĆ primenom liganada dektin-1 receptora u kombinaciji sa TLR agonistima zavise od vrste, tipa receptora modelskog prepoznavanja i uslova kultivacije (Gerosa i sar., 2008; Dennehy i sar., 2009; Gringhuis i sar., 2009; Stopinšek i sar., 2011).

Molekuli uključeni u signalnu kaskadu mogu biti u osnovi uticaja kombinovane primene agonista TLR3 i dektin-1 receptora na povećanje produkcije citokina od strane MoDĆ (*Slika 9*).



Slika 9. Signalna kaskada pokrenuta aktivacijom dektin-1 receptora na DC

Jedan od njih, adaptorski protein CARD9 (engl. caspase recruitment domain-containing protein 9) se aktivira nakon stimulacije produktima mikroba, kao i primenom Poly (I:C) (Hsu i sar., 2007) i agonista dektin-1 receptora (Gross i sar., 2006) (*Slika 10*).



Slika 10. Potencijalna uloga adaptornog proteina CARD9 u kooperaciji TLR3 i dektin-1 receptora

Aktivacija MAP kinaze i NF- κ B od strane CARD9 modificuje gensku ekspresiju i fino podešava citokinski profil, uključujući dodatnu produkciju p40 subjedinice (Colonna, 2007) koja je zajednička za IL-12 i IL-23 (McKenzie i sar., 2005). Za sada je nepoznato i ostaje da se ispita da li su još neki mehanizmi uključeni i u kojoj meri signalna kaskada pokrenuta aktivacijom pojedinačnog receptora modificuje ekspresiju drugog receptora (Weck i sar., 2008).

Stimulacija MoDĆ kombinacijom Poly (I:C) i kudlana dovodi do povećanja produkcije IL-10 i smanjenja produkcije IL-27 od strane MoDĆ. IL-27 podstiče

usmeravanje imunskog odgovora ka Th1 pravcu (Pflanz i sar., 2002). Pojedini rezultati ukazuju na inhibitorni uticaj IL-27 na produkciju IL-23 od strane MoDĆ kao i IL-17 od strane CD4⁺ T ćelija (Diveu i sar., 2009). Balans u produkciji IL-23 i IL-27 reguliše Th17 imunski odgovor. Smatra se da je odnos IL-23 i IL-27 značajan za diferencijaciju Th17 CD4⁺ T ćelija u istoj meri u kojoj je Th1/Th2 diferencijacija određena odnosom nivoa IL-12 i IL-4 citokina (Yoshimura i sar., 2006). Stoga, naši rezultati eksperimenata ukazuju da je smanjena produkcija IL-27 značajna za dodatno potenciranje Th17 odgovora.

Sa druge strane, IL-10, snažan anti-inflamatorni i imunosupresivni citokin, ima značajnu ulogu u ograničavanju Th1 i Th17 odgovora u cilju sprečavanja nastanka imunopatoloških stanja kada su prisutni snažni inflamatorni stimulusi (Jankovic i Trinchieri, 2007; Saraiva i sar., 2009). U skladu sa ovim konceptom, povećana produkcija IL-10 u našoj studiji nakon stimulacije MoDĆ kombinacijom agonista TLR3 i dektin-1 receptora se može smatrati značajnim mehanizmom za vraćanje imunskog odgovora u stanje homeostaze. Takođe, smanjenje aloreaktivne sposobnosti MoDĆ se može objasniti povećanom produkcijom IL-10. Naime, uprkos visokoj ekspresiji adhezivnih i kostimulatornih molekula kao i visokoj produkciji stimulatornih citokina (IL-12 i IL-23) od strane MoDĆ, proliferacija CD4⁺ T ćelija u alogenoj kulturi je bila niska pri višim odnosima MoDĆ/CD⁺ T limfocita. Povećanje proliferativnog odgovora pri najnižem odnosu MoDĆ/CD⁺ T limfocita (1:80) se može objasniti prevagom stimulatornih solubilnih faktora, imajući u vidu da nije došlo do dodatnog povećanja ekspresije kostimulatornih molekula na MoDĆ. MoDĆ stimulisane kombinacijom agonista TLR3 i dektin-1 receptora su povećavale ekspresiju CCR7 molekula što ukazuje na to da interakcija ova dva PRR stimuliše fenotipsko sazrevanje MoDĆ sa poboljšanim migratornim sposobnostima.

U zaključku, efekat istovremene aktivacije TLR3 i dektin-1 receptora na MoDĆ se ogleda u pospešivanju njihove sposobnosti da stimulišu diferencijaciju Th1 i Th17 ćelija *in vitro*. Predmet budućih istraživanja će biti ispitivanje prisustva ovog efekta i u *in vivo* uslovima i na koji način utiče na imunski odgovor u celini.

5.4. Efekat kombinovane primene Poly (I:C) i TNF- α na diferencijaciju MoDĆ

Za modulaciju funkcija DĆ pored stimulacije PRR značajnu ulogu imaju i citokini prirodnog imuniteta koji se produkuju prilikom infekcije. Kinetika sazrevanja MoDĆ i dužina izlaganja patogenu (Poly (I:C) u našoj studiji) u tkivu zahvaćenom inflamacijom (TNF- α u našoj studiji) su značajni faktori koji određuju finalni ishod imunskog odgovora (Spisek i sar., 2003). Brojne studije su ukazale na uticaj dužine stimulacije na produkciju citokina od strane MoDĆ (Kaliński i sar., 1999; Langenkamp i sar., 2000; Langenkamp i sar., 2002).

MoDĆ izložene stimulusu tokom 24h su nazvane "aktivnim" MoDĆ, koje sintetišu značajne nivoe citokina, dok su MoDĆ stimulisane tokom vremenskog perioda dužeg od 24h nazvane "iscrpljenim" MoDĆ, koje su izgubile kapacitet produkcije citokina (Langenkamp i sar., 2000), ali imaju visoku ekspresiju kostimulatornih molekula (Repnik i sar., 2008). Pretpostavlja se da TNF- α ima ključnu ulogu u uspostavljanju balansa između pro- i anti-inflamatornih citokina produkovanih od strane MoDĆ (Hirata i sar., 2011). Kako je ovaj balans presudan za uspostavljanje homeostaze imunskog odgovora, detaljno ispitivanje regulatorne uloge TNF- α može biti od značaja za terapiju patoloških stanja imunskog sistema.

U cilju razjašnjenja ovih problema, ispitivali smo uticaj kombinovane primene različitih doza agonista TLR3, Poly (I:C) i proinflamatornog citokina TNF- α tokom različitih vremenskih perioda na fenotipska i funkcionalna svojstva MoDĆ. U sledećem koraku smo za stimulaciju MoDĆ koristili solubilni ligand za CD40 molekul i time simulirali interakciju MoDĆ sa T ćelijama posredovanu CD40 molekulom i CD40 ligandom.

U kliničkim studijama kao jedan od prvih agenasa za stimulaciju MoDĆ za stimulaciju DĆ korišćen je TNF- α (Bremers i sar., 2000). Najveći broj literaturnih podataka se odnosi na primenu ovog citokina u protokolima za imunoterapiju. Kasnije je pokazano da ovaj proinflamatori citokin dovodi do nepotpunog sazrevanja MoDĆ koje se karakteriše povećanjem ekspresije molekula MHC klase II i kostimulatornih molekula, niskom ekspresijom proinflamatornih citokina i slabim

alostimulatornim potencijalom (Lutz i Schuler, 2002; Decker i sar., 2008). Karakteristike MoDĆ kultivisanih u prisustvu TNF- α u našem istraživanju su u saglasnosti sa ovim podacima iz literature. Međutim, uprkos nedetektabilnom nivou IL-12 produkovanom od strane MoDĆ stimulisanih sa TNF- α , ovako tretirane MoDĆ su u kokulturi usmeravale odgovor alogenih CD4 $^{+}$ T limfocita ka Th1 pravcu. Pored toga, MoDĆ tretirane sa TNF- α su sekretovale povećan nivo Th17 polarizujućeg citokina, IL-23 (McKenzie i sar., 2005; Sallusto i Lanzavecchia, 2009; Yu i sar., 2010), i najverovatnije tako stimulisale produkciju IL-17 u kokulturi sa alogenim CD4 $^{+}$ T ćelijama.

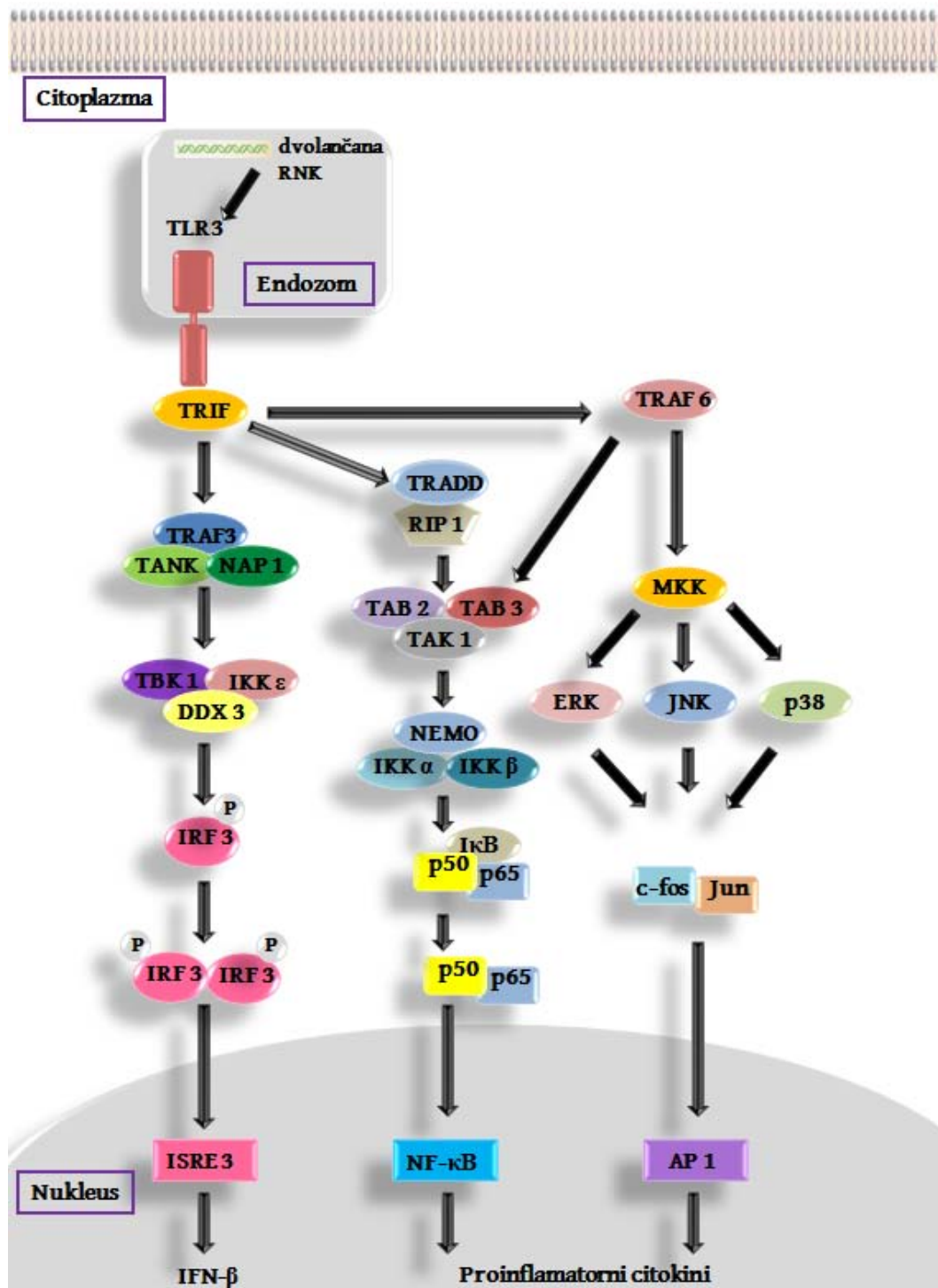
Efekat kombinovane primene Poly (I:C) i TNF- α na fenotipske karakteristike MoDĆ u našoj studiji se ogledao u povećanju ekspresije kostimulatornih i adhezivnih molekula uz statistički značajno povećanje ekspresije CD80, CD86 i CD54 molekula. Povećano ispoljavanje ovih površinskih markera, posredstvom kojih MoDĆ interaguju sa T ćelijama i aktiviraju ih, ukazuje na fenotipsku zrelost MoDĆ što je u skladu sa prethodno publikovanim rezultatima (Spisek i sar., 2001; Spisek i sar., 2003).

Uprkos tome, MoDĆ diferencirane u prisustvu TNF- α i Poly (I:C) su imale smanjen alostimulatorni kapacitet i sniženu produkciju IL-12, u poređenju sa MoDĆ stimulisanim samo sa Poly (I:C). Smanjenje produkcije IL-12 od strane MoDĆ diferenciranih u prisustvu TNF- α i Poly (I:C) se odrazilo na smanjenje produkcije IFN- γ u kokulturi sa alogenim CD4 $^{+}$ T ćelijama, u poređenju sa nivoom ovog citokina u alogenoj kulturi sa MoDĆ tretiranim samo sa Poly (I:C). Nasuprot rezultatima naše stuije, podaci iz literature pokazuju da MoDĆ stimulisane sa Poly (I:C) i TNF- α produkuju značajan nivo IL-12 i efikasno usmeravaju CD4 $^{+}$ T limfocite ka Th1 pravcu (Spisek, i sar., 2001).

Nesklad između rezultata naše studije i literaturnih podataka se može objasniti time što smo u našoj studiji upoređivali produkciju IL-12 između MoDĆ stimulisanih kombinacijom TNF- α i Poly (I:C) i MoDĆ stimulisanih samo sa Poly (I:C), dok je u pomenutoj studiji poređenje vršeno sa produkcijom citokina od strane MoDĆ stimulisanih koktelom citokina. Naime, koktel citokina, tzv. "zlatni

standard”, za stimulaciju DĆ za njihovu primenu kao vakcina u lečenju humanih malignih tumora predstavlja koktel citokina koji se sastoji od TNF- α , IL-1 β , IL-6 i PGE₂ (Jonuleit i sar., 1997). Nedostatak DĆ dobijenih na ovaj način se ogleda u izuzetno niskoj produkciji IL-12 (Pedersen i sar., 2006), dok je Poly (I:C) snažan stimulator produkcije IL-12 od strane MoDĆ (Cella i sar., 1999b; Verdijk RM, i sar., 1999; Rouas R, i sar., 2004). Rezultati naše studije ukazuju na to da se kombinovani efekat TNF- α i Poly (I:C) tokom diferencijacije MoDĆ ogleda u smanjenju njihove imunogenosti i funkcionalnosti, u poređenju sa efektom samog Poly (I:C).

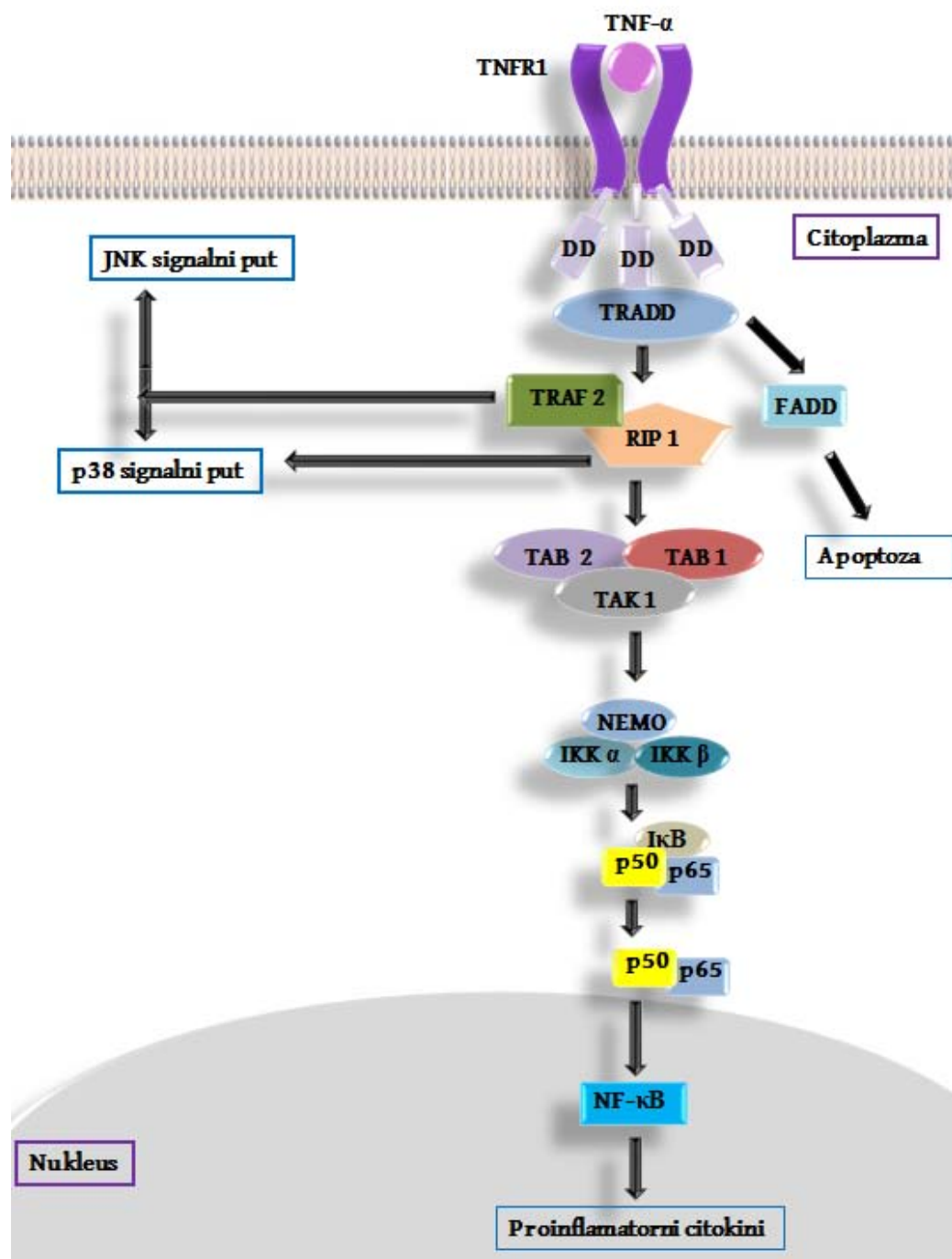
Mehanizmi kooperacije signala pokrenutih aktivacijom Poly (I:C) i TNF- α nisu još uvek razjašnjeni. Aktivacija TLR3, nakon angažovanja TRIF adaptorskog proteina, pokreće signalni put koji se sastoji iz tri glavna modula u okviru kojih dolazi do aktivacije transkripcionih faktora: IRF3, NF- κ B i AP-1 (*Slika 11*).



Slika 11. Signalna kaskada pokrenuta aktivacijom TLR3 od strane dvolančane RNK u DC

Ovi moduli su međusobno povezani i delimično se preklapaju (Kawai i Akira, 2010). Adaptor TRAF3 predstavlja ključnu vezu između TRIF i kompleksa kinaza koje fosforilišu IRF3. Aktivacija transkripcionih faktora posredovana sa IRF3 dovodi do ekspresije IL-12p35 subjedinice (Goriely i sar., 2005). U aktivaciji NF-κB učestvuju dva nezavisna puta koji se preklapaju na nivou IKK kompleksa: receptor interagujući protein 1 (engl. receptor interacting protein 1, RIP1) i TRAF6. Oba TRIF-RIP1 i TRIF-TRAF6 signalna puta konvergiraju u IKK kompleksu koji se sastoji od katalitičkih subjedinica, IKK α i IKK β , i regulatorne subjedinice, IKK γ . Protein kinaza transformišućeg faktora rasta 1 (engl. Transforming growth factor activated protein kinase 1, TAK1) biva aktivirana u nakon tretiranja MoDĆ sa Poly (I:C) i fosforiliše IKK α i IKK β nakon čega oni fosforilišu inhibitor NF-κB, IκB. Translokacija NF-κB u nukleus i vezivanje za DNK indukuju ekspresiju IFN- γ i drugih citokina i hemokina (IL-6, TNF- α , CCL3, IL-12). Aktivirani transkripcioni faktor AP-1 indukuje citokine i hemokine, poput IL-6, TNF- α i CCL3 (Cusson-Hermance i sar., 2005; Matsumoto i Seya, 2008).

TNF- α se vezuje za dva različita receptora: TNF receptor tip 1 (TNFR1; CD120a) i TNF receptor tip 2 (TNFR1; CD120b) (Vandenabeele i sar., 1995). Većinu funkcija TNF- α ostvaruje posredstvom TNFR1 (*Slika 12*), koji se konstituitivno eksprimira u većini tkiva. TNFR1 reglutiše proteine domena smrti asocirane sa TNFR1 (engl. death-domain proteins including TNFR1-associated death domain protein, TRADD) i proteine domena smrti asocirane sa Fas (engl. Fas-associated death domain proteins, FADD) (Baud i Karin, 2001). TRADD aktivira FADD, RIP1 i TRAF2. TRAF 2 i RIP1 aktiviraju MAP kinaze (Wajant i sar., 2001; Wajant i Scheurich, 2001; Balkwill, 2009).



Slika 12. Signalna kaskada pokrenuta aktivacijom TNFR1 solubilnim TNF- α

Dakle, oba signalna puta pokrenuta aktivacijom TNF- α i TLR3 aktiviraju RIP-1. RIP1 je važan za aktivaciju NF- κ B u kasnijim fazama imunskog odgovora kada je TNF- α aktivan, ali i u ranim fazama imunskog odgovora kada se pokreće antivirusni imunski odgovor nakon aktivacije TLR3 (Meylan i sar., 2004).

U cilju ispitivanja uticaja kinetike aktivacije MoDĆ na njihov potencijal da usmere efektorske funkcije T limfocita, MoDĆ smo stimulisali sa različitim koncentracijama Poly (I:C), TNF- α i njihovim kombinacijama tokom 24h i 48h. Producena stimulacija MoDĆ je dovela do razvoja MoDĆ koje su iscrpele potencijal za produkciju IL-12. Naime, poznato je da je produkcija IL-12 ograničena na relativno kratak vremenski period (12-24h) nakon izlaganja MoDĆ kombinaciji Poly (I:C) i TNF- α (Spisek i sar., 2003) i da nakon dostizanja platoa za produkciju IL-12, MoDĆ ulaze u “iscrpljeno” stanje koje se karakteriše izmenjenim potencijalom za stimulaciju T limfocita (Langenkamp i sar., 2000). Producija IL-23 je imala isti obrazac kao i produkcija IL-12. Sa druge strane, IL-10 je produkovan kontinualno u skladu sa sopstvenom ulogom u sprečavanju razvoja patološkog imunskog odgovora (Spisek i sar., 2003) i rezultati naše studije su u skladu sa ovim rezultatima. Takođe smo uočili dozno-zavisan uticaj Poly (I:C) na produkciju IL-12 nakon 24h stimulacije koji je bio praćen povećanjem produkcije IL-10. Nasuprot publikovanim rezultatima (Spisek i sar., 2003) producena stimulacija MoDĆ sa TNF- α u kombinaciji sa svim ispitivanim koncentracijama Poly (I:C) u našoj studiji nije dovela do značajnog porasta produkcije IL-12, kao ni polarizacije imunskog odgovora ka Th1 pravcu. Nasuprot tome, uočeno je smanjenje Th1 i Th17 odgovora pogotovo kada su primenjene više koncentracije Poly (I:C) i TNF- α , u poređenju sa MoDĆ stimulisanih samo sa Poly (I:C).

Sledeći cilj ovog istraživanja bio je ispitivanje modulatornog efekta interakcije CD40 molekula sa CD40 ligandom značajne za finalnu maturaciju MoDĆ (Mackey i sar., 1998) na funkcionalne karakteristike MoDĆ stimulisanih kombinacijom Poly (I:C) i TNF- α . MoDĆ tretirane tokom 24h sa TNF- α , različitim koncentracijama Poly (I:C) i njihovim kombinacijama su stimulisane dodatna 24h solubilnim ligandom za CD40 molekul. Prisustvo CD40L je pospešilo produkciju IL-12 od strane MoDĆ stimulisanih svim ispitivanim koncentracijama Poly (I:C). Stimulatorni efekat CD40L na produkciju IL-12 je bio najizraženiji kada su MoDĆ stimulisane optimalnom koncentracijom Poly (I:C) i u alogenoj kulturi ove MoDĆ su dovele do povećanja produkcije IFN- γ . U kulturama MoDĆ pretretiranih sa TNF- α je došlo do povećanja produkcije IL-12 što je bilo neočekivano imajući u vidu prethodno publikovane rezultate (Decker i sar., 2008), ali ovaj porast nije bio

dovoljan da polarizuje imunski odgovor u Th1 pravcu. Aktivacija CD40 na MoDĆ pretretiranim najnižom koncentracijom Poly (I:C) dovela je do povećanja produkcije IL-23 koja je bila pospešena dodavanjem TNF- α i dovoljna da polarizuje imunski odgovor u Th17 pravcu. Najizraženiji efekat CD40:CD40L interakcije je bilo stimulisanje imunoregulatornog odgovora posredovanog sa IL-10 od strane MoDĆ pretretiranih najvećom koncentracijom Poly (I:C) i TNF- α kada je smanjena produkcija IL-12 i IL-23 indukovala smanjenje Th1 i Th17 odgovora.

Dakle, povećanjem koncentracije Poly (I:C) u kombinaciji sa TNF- α može se modulisati Th polarizaciona sposobnost MoDĆ od Th17 ka imunoregulatornoj.

5.5. Uticaj povezivanja CD40 molekula i IFN- γ na funkcionalne karakteristike MoDĆ diferenciranih u prisustvu Poly (I:C)

Poslednji deo istraživanja se odnosio na ispitivanje uticaja signala stečenog imuniteta koje DĆ dobijaju tokom njihove interakcije sa T ćelijama, uključujući signalizaciju preko CD40 molekula i receptora za IFN- γ .

Aktivacija CD40 molekula na DĆ je važan korak u sazrevanju ovih ćelija. U našim eksperimentima koristili smo ćelijsku liniju transfektovanu za CD40 ligand radi simuliranja CD40:CD40L interakcija između DĆ i T ćelija kojima se ostvaruje recipročna regulacija između T limfocita i DĆ (Mackey i sar., 1998; Rissoan i sar., 1999). Aktivacija CD40 molekula na nezrelim i MoDĆ stimulisanim sa Poly (I:C) u našoj studiji je značajno pospešila njihov alostimulatorni potencijal, najverovatnije posredstvom povećane ekspresije kostimulatornih molekula, poput ICAM-1, HLA-DQ, CD80 i CD86 (Cella i sar., 1996). Poznato je da aktivacija CD40 na nezrelim MoDĆ stimuliše značajnu produkciju IL-12 (Snijders i sar., 1998) koji kasnije indukuje produkciju IFN- γ od strane T limfocita. Rezultati našeg istraživanja su ukazali na fenomen koji nije publikovan do sad. Po prvi put pokazano je da aktivacija CD40 na nezrelim MoDĆ pospešuje produkciju IL-23 što je praćeno povećanjem produkcije IL-17 od strane CD4 $^{+}$ T limfocita u alogenoj kulturi. Producija IL-17 je dodatno pospešena aktivacijom CD40 na MoDĆ koje su stimulisane sa Poly (I:C). Stimulacija Th17 odgovora nakon aktivacije CD40 molekula na MoDĆ tretiranim sa Poly (I:C) je

praćena smanjenjem Th1 odgovora. Poznato je da nekontrolisan Th1 odgovor može biti štetan (Liblau i sar., 1995) pa stoga signalizacija preko CD40 molekula može imati protektivnu i imunomodulatornu ulogu.

IFN- γ je klasifikovan kao interferon tipa II IFN u skladu sa specifičnošću receptora i homologijom sekvence (Schroder i sar., 2004). Interferoni su najpre bili opisani kao faktori koji interferiraju sa replikacijom virusa (Isaacs i Lindenmann, 1957). IFN- γ produkuju NK ćelije i postoji pretpostavka da ga produkuju i APĆ u prvim stadijumima infekcije, a glavni izvor ovog citokina su T limfociti u stečenom imunskom odgovoru (Frucht i sar., 2001). IFN- γ pospešuje obradu i prezentaciju antigena, kao i ekspresiju kostimulatornih molekula na APĆ (Schroder i sar., 2004). U našem istraživanju smo pokazali da tretman sa IFN- γ nezrelih i MoDĆ stimulisanih sa Poly (I:C) stimuliše alostimulatorni potencijal MoDĆ u kokulturi sa alogenim CD4 $^{+}$ T ćelijama. Alostimulatorna sposobnost MoDĆ je opadala sa smanjenjem odnosa MoDĆ/CD4 $^{+}$ T ćelija. Pri višim odnosima MoDĆ/CD4 $^{+}$ T ćelija alostimulatorni potencijal MoDĆ je bio niži. Ovaj efekat se može objasniti smanjenim uticajem kostimulatornih i adhezivnih molekula kao i IL-12 usled manjeg broja MoDĆ.

Značajan nalaz ovog istraživanja je dvostruka uloga IFN- γ na produkciju IL-12: stimulacija produkcije IL-12 od strane nezrelih MoDĆ i supresija produkcije IL-12 od strane MoDĆ pretretiranih sa Poly (I:C) nakon kultivisanja sa IFN- γ . Povećanje produkcije IL-12 je stimulisalo povećanje produkcije IFN- γ i smanjenje produkcije IL-5 i IL-17 od strane alogenih CD4 $^{+}$ T ćelija u kokulturi sa nezrelim MoDĆ. Povećanje produkcije IL-12 od strane nezrelih MoDĆ je u skladu sa prethodno publikovanim rezultatima (Boullart i sar., 2008). IL-12 stimuliše T ćelije i NK ćelije da sintetišu IFN- γ (Walzer i sar., 2005) koji, sa druge strane, stimuliše produkciju IL-12 čime se formira pozitivna povratna sprega. Smanjenje produkcije IL-5 je u skladu sa konceptom recipročne regulacije Th1 i Th2 odgovora (Glimcher i Murphy, 2000) i direktnim inhibitornim efektom IFN- γ na razvoj Th2 ćelija (Schroder i sar., 2004). Producija IL-23 od strane MoDĆ stimulisanih sa IFN- γ se nije značajno promenila, ali su uprkos tome ove MoDĆ inhibirale produkciju IL-17 u alogenoj

kulturi. Naime, poznato je da IL-23 pretežno deluje na već diferencirane Th17 ćelije (Sallusto i Lanzavecchia, 2009), pa se može prepostaviti da su MoDĆ tretirane sa IFN- γ inhibirale diferencijaciju Th17⁺ ćelija modulisanjem produkcije citokina koji su neophodni za diferencijaciju Th17 ćelija, poput TGF- β , IL-1 β , IL-6 i IL-21 (Korn i sar., 2009). Ova prepostavka će biti ispitana u predstojećim istraživanjima.

Jedan od ključnih nalaza ovog istraživanja je uticaj kombinovane primene IFN- γ i Poly (I:C) na smanjenje produkcije IL-12 i povećanje produkcije IL-10 od strane MoDĆ koje u alogenoj kulturi smanjuju Th1 odgovor i stimulišu imunoregulatorni milje posredovan IL-10. Nije u potpunosti razjašnjeno da li IFN- γ deluje primarno na smanjenje produkcije IL-12 od strane MoDĆ tretiranih u prisustvu Poly (I:C) ili stimuliše produkciju IL-10. Kao što je poznato, IL-10 je snažni anti-inflamatorni i imunosupresivni citokin koji inhibira produkciju IL-12 od strane MoDĆ (Buelens i sar., 1997) čime se sprečava razvoj patološkog Th1 odgovora u uslovima u kojima je prisutan snažan inflamatorni stimulus (Jankovic i Trinchieri, 2007; Saraiva, i sar., 2009).

Nedavno je pokazano da IFN- γ , pored uloge u stimulaciji produkcije proinflamatornih citokina tokom aktivacije DĆ, takođe aktivira imunosupresivni enzim IDO (engl. indoleamine 2,3-dioxygenase) u DĆ (Jurgens i sar., 2009). MoDĆ koje su IDO⁺ ispoljavaju imunoregulatorni potencijal koji je neophodan za ograničavanje imunskog odgovora (Munn i sar., 2002). Pored toga, IFN- γ stimuliše razvoj adaptivnih regulatornih T ćelija (Jurgens i sar., 2009). Naši rezultati podržavaju koncept da IFN- γ , kao dominantni efektorski citokin Th1 ćelija, pored proinflamatornih karakteristika ispoljava značajnu ulogu u ograničavanju preteranog i potencijalno štetnog imunskog odgovora i održavanju homeostaze, a na taj način iskazuje još veći značaj u imunskom odgovoru.

MoDĆ tretirane sa ligandom za CD40 molekul polarizuju imunski odgovor u Th1 pravcu. Aktivacija CD40 molekula na MoDĆ tretiranim sa Poly (I:C) usmerava imunski odgovor ka Th17 pravcu. Stimulacija nezrelih MoDĆ sa IFN- γ smanjuje Th2 i Th17 odgovore, dok se efekat ovog citokina na MoDĆ stimulisanim sa Poly (I:C) ogledao u smanjenju Th1 odgovora i stimulaciji imunoregulatornih mehanizama

pospešivanjem produkcije IL-10 od strane alogenih CD4⁺ T limfocita tokom kokultivacije.

5.6. Terapeutski potencijal DĆ diferenciranih u prisustvu agonista endozomnih toll-sličnih receptora, dektin-1 receptora i proinflamatornih citokina

Aktuelni protokoli za stimulaciju DĆ za primenu u imunoterapiji tumora se zasnivaju na dobijanju imunogenih DĆ koje usmeravaju imunski odgovor u Th1 pravcu (Ikeda H, i sar., 2002). Th1 ćelije su smatrane najznačajnijim efektorskim CD4⁺ T ćelijama u anti-tumorskom imunskom odgovoru zbog svog potencijala da stimulišu citotoksične funkcije CD8⁺ T limfocita. Sa druge strane, karakteristike Th17 ćelija, poput stimulacije zapaljenskih procesa, pospešivanja antigen-prezentujućih funkcija DĆ, usmeravanja migracije leukocita ka tumorima i olakšavanja aktivacije i diferencijacije CD8⁺ T ćelija ukazuju na njihovu moguću primenu u imunoterapiji tumora (Muranski P, i sar., 2008; Martin-Orozco N, i sar., 2009). Konkretna uloga Th17 ćelija u anti-tumorskoj imunosti je i dalje predmet istraživanja i debata jer su pokazane i pro-tumorske (Miyahara Y, i sar., 2008; Kryczek I, i sar., 2009) i anti-tumorske funkcije IL-17 (Alshaker HA i Matalka KZ, 2011). Donedavno se smatralo da je, usled konverzije Th17 u Th1 ćelije, uticaj Th17 ćelija zavisan od IFN- γ (Muranski P, i sar., 2008), ali je potvrđena protektivna uloga Th17 ćelija neizmenjenog citokinskog profila u anti-tumorskom imunskom odgovoru (Martin-Orozco N, i sar., 2009).

Cilj našeg istraživanja je bio ispitivanje modulacije funkcije humanih MoDĆ kombinovanom primenom agonista endozomnih TLR, dektin-1 receptora i proinflamatornih citokina radi razvoja protokola za dobijanje zrelih DĆ koje dovode do proliferacije T limfocita i stimulacije optimalnih Th1 i Th17 odgovora, a samim tim i efikasnog anti-tumorskog odgovora. Opisane karakteristike su u našem istraživanju ispoljile MoDĆ stimulisane optimalnom koncentracijom Poly (I:C), kombinacijom suboptimalnih koncentracija Poly (I:C) i loksoribina i kombinacijom

optimalnih koncentracija Poly (I:C) i kurdlana. Cilj predstojećih istraživanja će biti ispitivanje ovih efekata u *in vivo* uslovima.

6. ZAKLJUČCI

Na osnovu obavljenih istraživanja i dobijenih rezultata mogu se se izvesti sledeći zaključci:

- Optimalna koncentracija Poly (I:C) stimuliše sazrevanje MoDĆ koje pokazuju značajni alostimulatorni kapacitet, stimulišu Th1 i Th17 imunski odgovor, a inhibiraju Th2 odgovor tokom kokultivacije sa alogenim CD4⁺ T limfocitima;
- Stimulacija MoDĆ suboptimalnim koncentracijama Poly (I:C) i loksoribina dovodi do blagog povećanja ekspresije HLA-DR, CD86, CD83, CD54 i CD40 u poređenju sa ekspresijom na MoDĆ tretiranim pojedinačnim agonistima. MoDĆ pripremljene na ovaj način indukuju Th1 i Th17 odgovor CD4⁺ T limfocita. Kultivacija MoDĆ u prisustvu optimalnih koncentracija Poly (I:C) i loksoribina dovodi do smanjenja ekspresije HLA-DR i kostimulatornih molekula, u poređenju sa MoDĆ stimulisanim pojedinačnim agonistima. MoDĆ stimulisane optimalnim koncentracijama oba agonista usmeravaju imunski odgovor ka Th1 pravcu. Primena suboptimalne koncentracije Poly (I:C) i optimalne koncentracije loksoribina dovodi do povećanja ekspresije CD86 i smanjenja HLA-DR molekula na MoDĆ. MoDĆ pripremljene na ovaj način pokazuju najizraženiji potencijal za usmeravanje odgovora CD4⁺ T limfocita ka Th1 pravcu;
- Kooperacija TLR3 i dektin-1 receptora stimuliše fenotipsko sazrevanje MoDĆ i ekspresiju CCR7 molekula koji im omogućava bolji migratorni potencijal ka perifernim limfoidnim organima. Ovaj način stimulacije MoDĆ poboljšava njihovu sposobnost indukcije Th1 i Th17 odgovora alogenih CD4⁺ T limfocita;
- Diferencijacija MoDĆ u prisustvu TNF-α i optimalne koncentracije Poly (I:C) povećava ekspresiju CD80, CD86 i CD54 molekula, u poređenju sa efekatom samog Poly (I:C). Sa druge strane, MoDĆ pripremljene na ovaj način imaju manji alostimulatorni potencijal i

smanjenu sposobnost indukcije Th1 odgovora T limfocita, u poređenju sa MoDĆ diferenciranim u prisustvu Poly (I:C). Ispitivanjem dozno- i vremenski- zavisnog efekta kombinovane primene TNF- α i Poly (I:C) ustanovljeno je da dozno-zavisni efekti izraženi nakon 24h nisu prisutni nakon 48h stimulacije. Dozno-zavisni efekti nakon 24h stimulacije su se ogledali u smanjenju Th1 i Th17 polarizacione sposobnosti MoDĆ, posebno kada je u kombinaciji sa TNF- α primenjena najviša koncentracija Poly (I:C). Ispitivanjem uticaja interakcije CD40:CD40L na funkcionalne karakteristike MoDĆ diferenciranih u prisustvu TNF- α i različitih koncentracija Poly (I:C) ustanovljen je najizraženiji efekat tokom primene najviše koncentracije Poly (I:C). Ovako stimulisane MoDĆ ispoljile su smanjen Th1 i Th17 polarizujući kapacitet u korist imunoregulatornog u kokulturi sa alogenim CD4 $^{+}$ T limfocitima;

- Nezrele MoDĆ na kojima je aktiviran CD40 molekul imaju značajan potencijal za usmeravanje imunskog odgovora ka Th1 pravcu, dok MoDĆ pretretirane sa Poly (I:C) kojima je potom aktiviran CD40 molekul polarizuju imunski odgovor ka Th17 pravcu. Nezrele MoDĆ stimulisane IFN- γ imaju manji potencijal za usmeravanje ka Th2 i Th17 odgovoru, dok se efekat ovog citokina na MoDĆ pretretiranim sa Poly (I:C) ogleda u smanjenju sposobnosti MoDĆ da indukuju Th1 odgovora i povećanju produkcije IL-10 (imunoregulatorni mehanizmi) od strane alogenih CD4 $^{+}$ T limfocita.

Svi dobijeni rezultati pokazuju veliku plastičnost u funkcionalnom odgovoru MoDĆ. Značajna imunogena svojstva Poly (I:C) koja su do sada iskorišćena u pripremi MoDĆ kao tumorskih vakcina se mogu dodatno pospešiti primenom stimulatora dektinskih receptora i TNF- α . Ipak neki od povoljnijih efekata mogu biti umanjeni ili usmereni u suprotnom pravcu dodavanjem solubilnog CD40L i IFN- γ . Ovi rezultati mogu pomoći u boljem razumevanju biološkog ponašanja MoDĆ nakon transfera *in vivo*.

7. LITERATURA

- Abb J, Zander H, Abb H, Albert E, i Deinhardt F. (1983). Association of human leucocyte low responsiveness to inducers of interferon alpha with HLA-DR 2. *Immunology*, 49 (2), 239-244.
- Adolf GR. (1995). Human interferon omega--a review. *Mult Scler, 1 Suppl 1*, S44-47.
- Afkarian M, Sedy JR, Yang J, Jacobson NG, Cereb N, Yang SY, i sar. (2002). T-bet is a STAT1-induced regulator of IL-12R expression in naive CD4+ T cells. *Nat Immunol*, 3 (6), 549-557.
- Aggarwal, B., Ecssalu, T., i Haas, P. (1985). Characterization of receptors for human tumour necrosis factor and their regulation by gamma-interferon. *Nature*, 318, 665-7.
- Aggarwal, B., Moffat, B., i Harkins, R. (1984). Human lymphotoxin. Production by a lymphoblastoid cell line, purification, and initial characterization. *J Biol Chem*, 259(1), 686-91.
- Agrawal S, Gupta S, i Agrawal A. (2010). Human dendritic cells activated via Dectin-1 are efficient at priming Th17, cytotoxic CD8 T and B cell responses. *PLoS One*, 5, e13418.
- Akashi-Takamura S, i Miyake K. (2008). TLR accessory molecules. *Curr Opin Immunol*, 20 (4), 420-425.
- Akbar AN, Vukmanovic-Stojic M, Taams LS, i Macallan DC. (2007). The dynamic co-evolution of memory and regulatory CD4+ T cells in the periphery. *Nat Rev Immunol*, 7(3), 231-237.
- Aketagawa, J., Tanaka, S., Tamura, H., Shibata, Y., i Saito, H. (1993). Activation of limulus coagulation factor G by several (1-->3)-beta-D-glucans: comparison of the potency of glucans with identical degree of polymerization but different conformations. *J Biochem*, 113 (6), 683-6.
- Akira, S. (2009). Innate immunity to pathogens: diversity in receptors for microbial recognition. *Immunol Rev*, 227(1), 5-8.
- Akira, S., Uematsu, S., i Takeuchi, O. (2006). Pathogen recognition and innate immunity. *Cell*, 124 (4), 783-801.
- Al-Alwan MM, Rowden G, Lee TD, i West KA. (2001). The dendritic cell cytoskeleton is critical for the formation of the immunological synapse. *J Immunol*, 166 (3), 1452-1456.
- Aline F, Brand D, Bout D, Pierre J, Fouquenet D, Verrier B, i sar. (2007). Generation of specific Th1 and CD8+ T-cell responses by immunization with mouse CD8+ dendritic cells loaded with HIV-1 viral lysate or envelope glycoproteins. *Microbes Infect*, 9 (4), 536-543.

- Allan, R., Waithman, J., Bedoui, S., Jones, C., Villadangos, J., Zhan, Y., i sar. (2006). Migratory dendritic cells transfer antigen to a lymph node-resident dendritic cell population for efficient CTL priming. *Immunity*, 25(1), 153-62.
- Alshaker HA, i Matalka KZ. (2011). IFN- γ , IL-17 and TGF- β involvement in shaping the tumor microenvironment: The significance of modulating such cytokines in treating malignant solid tumors. *Cancer Cell International*, 11, 33.
- Alvarez, D., Vollmann, E., i von Andrian, U. (2008). Mechanisms and consequences of dendritic cell migration. *Immunity*, 29(3), 325-42.
- Angel CE, George E, Brooks AE, Ostrovsky LL, Brown TL, i Dunbar PR. (2006). Cutting edge: CD1a+ antigen-presenting cells in human dermis respond rapidly to CCR7 ligands. *J Immunol*, 176(10), 5730-5734.
- Annunziato F, Cosmi L, Santarlasci V, Maggi L, Liotta F, Mazzinghi B, i sar. (2007). Phenotypic and functional features of human Th17 cells. *J Exp Med*, 204(8), 1849-1861.
- Ardavin C, Wu L, Li CL, i Shortman K. (1993). Thymic dendritic cells and T cells develop simultaneously in the thymus from a common precursor population. *Nature*, 362 (6422), 761-763.
- Ariizumi K, Shen GL, Shikano S, Xu S, Ritter R 3rd, Kumamoto T, i sar. (2000). Identification of a novel, dendritic cell-associated molecule, Dectin-1, by subtractive cDNA cloning. *J Biol Chem*, 275, 20157-20167.
- Arpinati M, Green CL, Heimfeld S, Heuser JE, i Anasetti C. (2000). Granulocyte-colony stimulating factor mobilizes T helper 2-inducing dendritic cells. *Blood*, 95(8), 2484-2490.
- Asselin-Paturel C, Boonstra A, Dalod M, Durand I, Yessaad N, Dezutter-Dambuyant C, i sar. (2001). Mouse type I IFN-producing cells are immature APCs with plasmacytoid morphology. *Nat Immunol*, 2(12), 1144-1150.
- Babatz J, Rollig C, Oelschlagel U, Zhao S, Ehninger G, Schmitz M, i sar. (2003). Large-scale immunomagnetic selection of CD14+ monocytes to generate dendritic cells for cancer immunotherapy: a phase I study. *J Hematother Stem Cell Res*, 12(5), 515-523.
- Bach EA, Aguet M, i Schreiber RD. (1997). The IFN gamma receptor: a paradigm for cytokine receptor signaling. *Annu Rev Immunol*, 15, 563-591.
- Bagchi, A., Herrup, E., Warren, H., Trigilio, J., Shin, H., Valentine, C., i sar. (2007). MyD88-dependent and MyD88-independent pathways in synergy, priming, and tolerance between TLR agonists. *J Immunol*, 178(2), 1164-71.
- Balkwill F. (2009). Tumour necrosis factor and cancer. *Nat Rev Cancer*, 9(5), 361-371.

- Banchereau J, Bazan F, Blanchard D, Briere F, Galizzi JP, van Kooten C, i sar. (1994). The CD40 antigen and its ligand. *Annu Rev Immunol*, 12, 881-922.
- Banchereau J, Briere F, Caux C, Davoust J, Lebecque S, Liu YJ, i sar. (2000). Immunobiology of dendritic cells. *Annu Rev Immunol*, 18, 767-811.
- Banchereau, J., i Steinman, R. (1998). Dendritic cells and the control of immunity. *Nature*, 392, 245-252.
- Bates EE, Fournier N, Garcia E, Valladeau J, Durand I, Pin JJ, i sar. (1999). APCs express DCIR, a novel C-type lectin surface receptor containing an immunoreceptor tyrosine-based inhibitory motif. *J Immunol*, 163 (4), 1973-1983.
- Baud, V., i Karin, M. (2001). Signal transduction by tumor necrosis factor and its relatives. *Trends Cell Biol*, 11 (9), 372-7.
- Bave U, Magnusson M, Eloranta ML, Perers A, Alm GV, i Ronnblom L. (2003). Fc gamma RIa is expressed on natural IFN-alpha-producing cells (plasmacytoid dendritic cells) and is required for the IFN-alpha production induced by apoptotic cells combined with lupus IgG. *J Immunol*, 171 (6), 3296-3302.
- Bazan, J. (1990). Shared architecture of hormone binding domains in type I and type II interferon receptors. *Cell*, 61, 753-54.
- Bennett SR, Carbone FR, Karamalis F, Flavell RA, Miller JF, i Heath WR. (1998). Help for cytotoxic-T-cell responses is mediated by CD40 signalling. *Nature*, 393 (6684), 478-480.
- Benwell, R., Hruska, J., Fritzsche, K., i Lee, D. (2010). Double stranded RNA- relative to other TLR ligand-activated dendritic cells induce extremely polarized human Th1 responses. *Cell Immunol*, 264 (2), 119-26.
- Benwell, R., i Lee, D. (2010). Essential and synergistic roles of IL1 and IL6 in human Th17 differentiation directed by TLR ligand-activated dendritic cells. *Clin Immunol*, 134 (2), 178-87.
- Bernabei P, Allione A, Rigamonti L, Bosticardo M, Losana G, Borghi I, i sar. (2001). Regulation of interferon-gamma receptor (INF-gammaR) chains: a peculiar way to rule the life and death of human lymphocytes. *Eur Cytokine Netw*, 12 (1), 6-14.
- Bernhard H, Disis ML, Heimfeld S, Hand S, Gralow JR, i Cheever MA. (1995). Generation of immunostimulatory dendritic cells from human CD34+ hematopoietic progenitor cells of the bone marrow and peripheral blood. *Cancer Res*, 55 (5), 1099-1104.
- Beutler B, i Cerami A. (1989). The biology of cachectin/TNF--a primary mediator of the host response. *Annu Rev Immunol*, 7, 625-655.

- Beutler, B., Jiang, Z., Georgel, P., Crozat, K., Croker, B., Rutschmann, S., i sar. (2006). Genetic analysis of host resistance: Toll-like receptor signaling and immunity at large. *Annu Rev Immunol*, 24, 353-89.
- Bhatia, S., Edidin, M., Almo, S., i Nathenson, S. (2006). B7-1 and B7-2: similar costimulatory ligands with different biochemical, oligomeric and signaling properties. *Immunol Lett*, 104 (1-2), 70-5.
- Biron, C., Nguyen, K., Pien, G., Cousens, L., i Salazar-Mather, T. (1999). Natural killer cells in antiviral defense: function and regulation by innate cytokines. *Annu Rev Immunol*, 17, 189-220.
- Black RA, Rauch CT, Kozlosky CJ, Peschon JJ, Slack JL, Wolfson MF, i sar. (1997). A metalloproteinase disintegrin that releases tumour-necrosis factor-alpha from cells. *Nature*, 385 (6618), 729-733.
- Blankson JN, Persaud D, i Siliciano RF. (2002). The challenge of viral reservoirs in HIV-1 infection. *Annu Rev Med*, 53, 557-593.
- Blom B, Ho S, Antonenko S, i Liu YJ. (2000). Generation of interferon alpha-producing dendritic cell (Pre-DC)2 from human CD34(+) hematopoietic stem cells. *J Exp Med*, 192 (12), 1785-1796.
- Boehm U, Klamp T, Groot M, i Howard JC. (1997). Cellular responses to interferon-gamma. *Annu Rev Immunol*, 15, 749-795.
- Boniface K, Blumenschein WM, Brovont-Porth K, McGeachy MJ, Basham B, Desai B, i sar. (2010). Human Th17 cells comprise heterogeneous subsets including IFN- γ producing cells with distinct properties from the Th1 lineage. *The journal of Immunology*, 185, 679-687.
- Boullart AC, Aarntzen EH, Verdijk P, Jacobs JF, Schuurhuis DH, Benitez-Ribas D, i sar. (2008). Maturation of monocyte-derived dendritic cells with Toll-like receptor 3 and 7/8 ligands combined with prostaglandin E2 results in high interleukin-12 production and cell migration. *Cancer Immunol Immunother*, 57 (11), 1589-1597.
- Bremers, A., Kuppen, P., i Parmiani, G. (2000). Tumour immunotherapy: the adjuvant treatment of the 21st century? *Eur J Surg Oncol*, 26 (4), 418-24.
- Brewington R, Chatterji M, Zoubine M, Miranda RN, Norimatsu M, i Shnyra A. (2001). IFN-gamma-independent autocrine cytokine regulatory mechanism in reprogramming of macrophage responses to bacterial lipopolysaccharide. *J Immunol*, 167 (1), 392-398.
- Brinkmann MM, Spooner E, Hoebe K, Beutler B, Ploegh HL, i Kim YM. (2007). The interaction between the ER membrane protein UNC93B and TLR3, 7, and 9 is crucial for TLR signaling. *J Cell Biol*, 177 (2), 265-275.

- Brown GD, i Gordon S. (2005). Immune recognition of fungal beta-glucans. *Cell Microbiol*, 7(4), 471-479.
- Brown, G. (2006). Dectin-1: a signalling non-TLR pattern-recognition receptor. *Nat Rev Immunol*, 6(1), 33-43.
- Brown, G., i Gordon, S. (2003). Fungal beta-glucans and mammalian immunity. *Immunity*, 19(3), 311-5.
- Brown, G., i Gordon, S. (2001). Immune recognition. A new receptor for beta-glucans. *Nature*, 413(6851), 36-7.
- Buelens C, Verhasselt V, De Groote D, Thielemans K, Goldman M, i Willems F. (1997). Human dendritic cell responses to lipopolysaccharide and CD40 ligation are differentially regulated by interleukin-10. *Eur J Immunol*, 27(8), 1848-1852.
- Carcelain G, Tubiana R, Samri A, Calvez V, Delaugerre C, Agut H, i sar. (2001). Transient mobilization of human immunodeficiency virus (HIV)-specific CD4 T-helper cells fails to control virus rebounds during intermittent antiretroviral therapy in chronic HIV type 1 infection. *J Virol*, 75(1), 234-241.
- Carnaud C, Lee D, Donnars O, Park SH, Beavis A, Koezuka Y, i sar. (1999). Cutting edge: Cross-talk between cells of the innate immune system: NKT cells rapidly activate NK cells. *J Immunol*, 163(9), 4647-4650.
- Caux C, Vanbervliet B, Massacrier C, Dezutter-Dambuyant C, de Saint-Vis B, Jacquet C, i sar. (1996). CD34+ hematopoietic progenitors from human cord blood differentiate along two independent dendritic cell pathways in response to GM-CSF+TNF alpha. *J Exp Med*, 184(2), 695-706.
- Cella M, Scheidegger D, Palmer-Lehmann K, Lane P, Lanzavecchia A, i Alber G. (1996). Ligation of CD40 on dendritic cells triggers production of high levels of interleukin-12 and enhances T cell stimulatory capacity: T-T help via APC activation. *J Exp Med*, 184(2), 747-752.
- Cella M, Sallusto F, i Lanzavecchia A. (1997). Origin, maturation and antigen presenting function of dendritic cells. *Curr Opin Immunol*, 9, 10-16.
- Cella, M., Jarrossay, D., Facchetti, F., Alebardi, O., Nakajima, H., Lanzavecchia, A., i sar. (1999a). Plasmacytoid monocytes migrate to inflamed lymph nodes and produce large amounts of type I interferon. *Nat Med*, 5(8), 919-23.
- Cella M, Salio M, Sakakibara Y, Langen H, Julkunen I, i Lanzavecchia A. (1999b). Maturation, activation, and protection of dendritic cells induced by double-stranded RNA. *J Exp Med*, 189, 821-829.

- Chehimi J, Campbell DE, Azzoni L, Bacheller D, Papasavvas E, Jerandi G, i sar. (2002). Persistent decreases in blood plasmacytoid dendritic cell number and function despite effective highly active antiretroviral therapy and increased blood myeloid dendritic cells in HIV-infected individuals. *J Immunol*, 168(9), 4796-4801.
- Choudhury GG. (2004). A linear signal transduction pathway involving phosphatidylinositol 3-kinase, protein kinase Cepsilon, and MAPK in mesangial cells regulates interferon-gamma-induced STAT1alpha transcriptional activation. *J Biol Chem*, 279(26), 27399-27409.
- Clark, E. (1990). CD40: A cytokine receptor in search of a ligand. *Tissue Antigens*, 35, 33-36.
- Coban C, Horii T, Akira S, i Ishii KJ. (2010). TLR9 and endogenous adjuvants of the whole blood-stage malaria vaccine. *Expert Rev Vaccines*, 9(7), 775-784.
- Coley, W. (1906). Late results of the treatment of inoperable sarcoma by the mixed toxins of erysipelas and *Bacillus prodigiosus*. *Am J Med Sci*, 131, 375-430.
- Colic M, Jandric D, Stojic-Vukanic Z, Antic-Stankovic J, Popovic P, Vasilijic S, i sar. (2003). Differentiation of human dendritic cells from monocytes in vitro using granulocyte-macrophage colony stimulating factor and low concentration of interleukin-4. *Vojnosanit Pregl*, 60(5), 531-538.
- Collison LW, C. V., Brown, S., Rehg, J., Jones, M., Ni, H., Artis, D., i sar. (2010). IL-35-mediated induction of a potent regulatory T cell population. *Nat Immunol*, 11(12), 1093-101.
- Colonna, i M. (2007). All roads lead to CARD9. *Nat Immunol*, 8, 554-555.
- Constant SL, i Bottomly K. (1997). Induction of Th1 and Th2 CD4+ T cell responses: the alternative approaches. *Annu Rev Immunol*, 15, 297-322.
- Corcoran, L., Ferrero, I., Vremec, D., Lucas, K., Waithman, J., O'Keeffe, M., i sar. (2003). The lymphoid past of mouse plasmacytoid cells and thymic dendritic cells. *J Immunol*, 170(10), 4926-32.
- Cote-Sierra, J., Foucras, G., Guo, L., Chiodetti, L., Young, H., Hu-Li, J., i sar. (2004). Interleukin 2 plays a central role in Th2 differentiation. *Proc Natl Acad Sci U S A*, 101(11), 3880-5.
- Croft M. (2009). The role of TNF superfamily members in T-cell function and diseases. *Nat Rev Immunol*, 9(4), 271-285.
- Curti, A., Ratta, M., Corinti, S., Girolomoni, G., Ricci, F., Tazzari, P., i sar. (2001). Interleukin-11 induces Th2 polarization of human CD4(+) T cells. *Blood*, 97(9), 2758-63.

- Cusson-Hermance, N., Khurana, S., Lee, T., Fitzgerald, K., i Kelliher, M. (2005). Rip1 mediates the Trif-dependent toll-like receptor 3- and 4-induced NF- κ B activation but does not contribute to interferon regulatory factor 3 activation. *J Biol Chem*, 280(44), 36560-6.
- Czop, J. (1986). The role of beta-glucan receptors on blood and tissue leukocytes in phagocytosis and metabolic activation. *Pathol Immunopathol Res*, 5(35), 286-96.
- D'Amico A, i Wu L. (2003). The early progenitors of mouse dendritic cells and plasmacytoid predendritic cells are within the bone marrow hemopoietic precursors expressing Flt3. *J Exp Med*, 198(2), 293-303.
- Dauer, M., Obermaier, B., Herten, J., Haerle, C., Pohl, K., Rothenfusser, S., i sar. (2003). Mature dendritic cells derived from human monocytes within 48 hours: a novel strategy for dendritic cell differentiation from blood precursors. *J Immunol*, 170(8), 4069-76.
- David M, Petricoin E, 3rd, Benjamin C, Pine R, Weber MJ, i sar. (1995). Requirement for MAP kinase (ERK2) activity in interferon alpha- and interferon beta-stimulated gene expression through STAT proteins. *Science*, 269(5231), 1721-1723.
- Day CL, i Walker BD. (2003). Progress in defining CD4 helper cell responses in chronic viral infections. *J Exp Med*, 198(12), 1773-1777.
- De Smedt, T., Pajak, B., Muraille, E., Lespagnard, L., Heinen, E., De Baetselier, P., i sar. (1996). Regulation of dendritic cell numbers and maturation by lipopolysaccharide in vivo. *J Exp Med*, 184(4), 1413-1424.
- Decker, W., Li, S., Xing, D., Robinson, S., Yang, H., Steiner, D., i sar. (2008). Deficient T(H)-1 responses from TNF-alpha-matured and alpha-CD40-matured dendritic cells. *J Immunother*, 31(2), 157-65.
- Dennehy KM, Willment JA, Williams DL, i Brown GD. (2009). Reciprocal regulation of IL-23 and IL-12 following co-activation of Dectin-1 and TLR signaling pathways. *Eur J Immunol*, 39, 1379-1386.
- Detournay, O., Mazouz, N., Goldman, M., i Toungouz, M. (2005). IL-6 produced by type I IFN DC controls IFN-gamma production by regulating the suppressive effect of CD4+ CD25+ regulatory T cells. *Hum Immunol*, 66(5), 460-8.
- DeVries IJ, Krooshoop DJ, Scharenborg NM, Lesterhuis WJ, Diepstra JH, Van Muijen GN, i sar. (2003). Effective migration of antigen-pulsed dendritic cells to lymph nodes in melanoma patients is determined by their maturation state. *Cancer Res*, 63, 12-17.

- Diao J, Winter E, Cantin C, Chen W, Xu L, Kelvin D, i sar. (2006). In situ replication of immediate dendritic cell (DC) precursors contributes to conventional DC homeostasis in lymphoid tissue. *J Immunol*, 176(12), 7196-7206.
- Diebold, S., Kaisho, T., Hemmi, H., Akira, S., i Reis e Sousa, C. (2004). Innate antiviral responses by means of TLR7-mediated recognition of single-stranded RNA. *Science*, 303(5663), 1529-31.
- Diveu, C. M., Boniface, K., Stumhofer, J., Sathe, M., Joyce-Shaikh, B., Chen, Y., i sar. (2009). IL-27 blocks ROR γ T expression to inhibit lineage commitment of Th17 cells. *J Immunol*, 182(9), 5748-56.
- Dodge IL, Carr MW, Cernadas M, i Brenner MB. (2003). IL-6 production by pulmonary dendritic cells impedes Th1 immune responses. *J Immunol*, 170(9), 4457-4464.
- Dong, J., McPherson, C., i Stambrook, P. (2002). Flt-3 ligand: a potent dendritic cell stimulator and novel antitumor agent. *Cancer Biol Ther*, 1(5), 486-9.
- Dubey, C., Croft, M., i Swain, S. (1995). Costimulatory requirements of naive CD4+ T cells. ICAM-1 or B7-1 can costimulate naive CD4 T cell activation but both are required for optimum response. *J Immunol*, 155(1), 45-57.
- Dubin PJ, i Kolls JK. (2008). Th17 cytokines and mucosal immunity. *Immunol Rev*, 226, 160-171.
- Duraisingham, S., Hornig, J., Gotch, F., i Patterson, S. (2009). TLR-stimulated CD34 stem cell-derived human skin-like and monocyte-derived dendritic cells fail to induce Th17 polarization of naive T cells but do stimulate Th1 and Th17 memory responses. *J Immunol*, 183(4), 2242-51.
- Dustin, M., Tseng, S., Varma, R., i Campi, G. (2006). T cell-dendritic cell immunological synapses. *Curr Opin Immunol*, 18(4), 512-6.
- Dzionaek A, Inagaki Y, Okawa K, Nagafune J, Rock J, Sohma Y, i sar. (2002). Plasmacytoid dendritic cells: from specific surface markers to specific cellular functions. *Hum Immunol*, 63(12), 1133-1148.
- Dzionaek A, Sohma Y, Nagafune J, Celli M, Colonna M, Facchetti F, i sar. (2001). BDCA-2, a novel plasmacytoid dendritic cell-specific type II C-type lectin, mediates antigen capture and is a potent inhibitor of interferon alpha/beta induction. *J Exp Med*, 194(12), 1823-1834.
- Dzopalic, T., Dragicevic, A., Vasilijic, S., Vucevic, D., Majstorovic, I., Bozic, B., i sar. (2010). Loxoribine, a selective Toll-like receptor 7 agonist, induces maturation of human monocyte-derived dendritic cells and stimulates their Th-1- and Th-17-polarizing capability. *Int Immunopharmacol*, 10(11), 1428-33.

- Ehsler S, Chuang JJ, Kleist C, Sandra-Petrescu F, Iancu M, Wang D, i sar. (2008). Suppressive dendritic cells as a tool for controlling allograft rejection in organ transplantation: promises and difficulties. *Hum Immunol*, 69(3), 165-173.
- Facchetti, F., Vermi, W., Santoro, A., Vergoni, F., Chilosi, M., i Doglioni, C. (2003). Neoplasms derived from plasmacytoid monocytes/interferon-producing cells: variability of CD56 and granzyme B expression. *Am J Surg Pathol*, 27(11), 1492-3.
- Fadok VA, Bratton DL, Rose DM, Pearson A, Ezekowitz RA, i Henson PM. (2000). A receptor for phosphatidylserine-specific clearance of apoptotic cells. *Nature*, 405 (6782), 85-90.
- Falch BH, Espevik T, Ryan L, i Stokke BT. (2000). The cytokine stimulating activity of (1-->3)-beta-D-glucans is dependent on the triple helix conformation. *Carbohydr Res*, 329(3), 587-596.
- Farrar MA, Fernandez-Luna J, i Schreiber RD. (1991). Identification of two regions within the cytoplasmic domain of the human interferon-gamma receptor required for function. *J Biol Chem*, 266(29), 19626-19635.
- Farrar, J., Asnagli, H., i Murphy, K. (2002). T helper subset development: roles of instruction, selection, and transcription. *J Clin Invest*, 109(4), 431-5.
- Fernandez NC, Lozier A, Flament C, Ricciardi-Castagnoli P, Bellet D, Suter M, i sar. (1999). Dendritic cells directly trigger NK cell functions: cross-talk relevant in innate anti-tumor immune responses in vivo. *Nat Med*, 5(4), 405-411.
- Ferwerda G, Meyer-Wentrup F, Kullberg BJ, Netea MG, i Adema GJ. (2008). Dectin-1 synergizes with TLR2 and TLR4 for cytokine production in human primary monocytes and macrophages. *Cell Microbiol*, 10(10), 2058-2066.
- Figdor CG, van Kooyk Y, i Adema GJ. (2002). C-type lectin receptors on dendritic cells and Langerhans cells. *Nat Rev Immunol*, 2(2), 77-84.
- Förster, R., Dávalos-Misslitz, A., i Rot, A. (2008). CCR7 and its ligands: balancing immunity and tolerance. *Nat Rev Immunol*, 8(5), 362-71.
- Foti M, Granucci F, Aggujaro D, Liboi E, Luini W, Minardi S, i sar. (1999). Upon dendritic cell (DC) activation chemokines and chemokine receptor expression are rapidly regulated for recruitment and maintenance of DC at the inflammatory site. *Int Immunol*, 11(6), 979-986.
- Fotin-Mleczek, M., Henkler, F., Samel, D., Reichwein, M., Hausser, A., Parmryd, I., i sar. (2002). Apoptotic crosstalk of TNF receptors: TNF-R2-induces depletion of TRAF2 and IAP proteins and accelerates TNF-R1-dependent activation of caspase-8. *J Cell Sci*, 115 (13), 2757-70.

- Frucht DM, Fukao T, Bogdan C, Schindler H, O'Shea JJ, i Koyasu S. (2001). IFN-gamma production by antigen-presenting cells: mechanisms emerge. *Trends Immunol*, 22 (10), 556-560.
- Fujii S, Shimizu K, Kronenberg M, i Steinman RM. (2002). Prolonged IFN-gamma-producing NKT response induced with alpha-galactosylceramide-loaded DCs. *Nat Immunol*, 3 (9), 867-874.
- Gantner BN, Simmons RM, Canavera SJ, Akira S, i Underhill DM. (2003). Collaborative induction of inflammatory responses by dectin-1 and Toll-like receptor 2. *J Exp Med*, 197 (9), 1107-1117.
- Garcia F, Climent N, Assoumou L, Gil C, Gonzalez N, Alcami J, i sar. (2011). A therapeutic dendritic cell-based vaccine for HIV-1 infection. *J Infect Dis*, 203 (4), 473-478.
- Garcia F, Plana M, Vidal C, Cruceta A, O'Brien WA, Pantaleo G, i sar. (1999). Dynamics of viral load rebound and immunological changes after stopping effective antiretroviral therapy. *Aids*, 13 (11), F79-86.
- Garrigan K, Moroni-Rawson P, McMurray C, Hermans I, Abernethy N, Watson J, i sar. (1996). Functional comparison of spleen dendritic cells and dendritic cells cultured in vitro from bone marrow precursors. *Blood*, 88 (9), 3508-3512.
- Gautier, G., Humbert, M., Deauvieau, F., Scuiller, M., Hiscott, J., Bates, E., i sar. (2005). A type I interferon autocrine-paracrine loop is involved in Toll-like receptor-induced interleukin-12p70 secretion by dendritic cells. *J Exp Med*, 201 (9), 1435-46.
- Geijtenbeek, T., Torensma, R., van Vliet, S., van Duijnhoven, G., Adema, G., van Kooyk, Y., i sar. (2000a). Identification of DC-SIGN, a novel dendritic cell-specific ICAM-3 receptor that supports primary immune responses. *Cell*, 100 (5), 575-85.
- Geijtenbeek TB, Kwon DS, Torensma R, van Vliet SJ, van Duijnhoven GC, Middel J, i sar. (2000b). DC-SIGN, a dendritic cell-specific HIV-1-binding protein that enhances trans-infection of T cells. *Cell*, 100 (5), 587-597.
- Geijtenbeek TB, van Vliet SJ, Engering A, t Hart BA, i van Kooyk Y. (2004). Self- and nonself-recognition by C-type lectins on dendritic cells. *Annu Rev Immunol*, 22, 33-54.
- Geissmann F, Prost C, Monnet JP, Dy M, Brousse N, i Hermine O. (1998). Transforming growth factor beta1, in the presence of granulocyte/macrophage colony-stimulating factor and interleukin 4, induces differentiation of human peripheral blood monocytes into dendritic Langerhans cells. *J Exp Med*, 187 (6), 961-966.
- Gerosa F, Baldani-Guerra B, Lyakh LA, Batoni G, Esin S, i Winkler-Pickett RT et al. (2008). Differential regulation of interleukin 12 and interleukin 23 production in human dendritic cells. *J Exp Med*, 205, 1447-1461.

- Gessani S, i Belardelli F. (1998). IFN-gamma expression in macrophages and its possible biological significance. *Cytokine Growth Factor Rev*, 9(2), 117-123.
- Gilboa E. (2007). DC-based cancer vaccines. *J Clin Invest*, 117(5), 1195-1203.
- Glimcher LH, i Murphy KM. (2000). Lineage commitment in the immune system: the T helper lymphocyte grows up. *Genes Dev*, 14, 1693-1711.
- Goldrath AW, i Bevan MJ. (1999). Selecting and maintaining a diverse T-cell repertoire. *Nature*, 402 (6759), 255-262.
- Gorden, K., Gorski, K., Gibson, S., Kedl, R., Kieper, W., Qiu, X., i sar. (2005). Synthetic TLR agonists reveal functional differences between human TLR7 and TLR8. *J Immunol*, 174(3), 1259-68.
- Goriely, S., Molle, C., Nguyen, M., Albarani, V., Haddou, N., Lin, R., i sar. (2005). Interferon regulatory factor 3 is involved in Toll-like receptor 4 (TLR4)- and TLR3-induced IL-12p35 gene activation. *Blood*, 107(3), 1078-84.
- Grakoui, A., Bromley, S., Sumen, C., Davis, M., Shaw, A., Allen, P., i sar. (1999). The immunological synapse: a molecular machine controlling T cell activation. *Science*, 285(5425), 221-7.
- Greenlund AC, Farrar MA, Viviano BL, i Schreiber RD. (1994). Ligand-induced IFN gamma receptor tyrosine phosphorylation couples the receptor to its signal transduction system (p91). *Embo J*, 13(7), 1591-1600.
- Greenwald, R., Freeman, G., i Sharpe, A. (2005). The B7 family revisited. *Annu Rev Immunol*, 23, 515-48.
- Grell M, Becke FM, Wajant H, Mannel DN, i Scheurich P. (1998). TNF receptor type 2 mediates thymocyte proliferation independently of TNF receptor type 1. *Eur J Immunol*, 28(1), 257-263.
- Grell, M., Doun, i. E., Wajant, H., Löhden, M., Clauss, M., Maxeiner, B., i sar. (1995). The transmembrane form of tumor necrosis factor is the prime activating ligand of the 80 kDa tumor necrosis factor receptor. *Cell*, 83 (5), 793-802.
- Grewal IS, i Flavell RA. (1996). The role of CD40 ligand in costimulation and T-cell activation. *Immunol Rev*, 153, 85-106.
- Gringhuis SI, den Dunnen J, Litjens M, van der Vlist M, Wevers B, Bruijns SCM, i sar. (2009). Dectin-1 directs T helper cell differentiation by controlling noncanonical NF-kappaB activation through Raf-1 and Syk. *Nat Immunol*, 10, 203-213.

- Gross O, Gewies A, Finger K, Schäfer M, Sparwasser T, Peschel C, i sar. (2006). Card9 controls a non-TLR signalling pathway for innate anti-fungal immunity. *Nature*, 442, 651-656.
- Grouard G, Rissoan MC, Filgueira L, Durand I, Banchereau J, i Liu YJ. (1997). The enigmatic plasmacytoid T cells develop into dendritic cells with interleukin (IL)-3 and CD40-ligand. *J Exp Med*, 185(6), 1101-1111.
- Gunn, M., Tangemann, K., Tam, C., Cyster, J., Rosen, S., i Williams, L. (1998). A chemokine expressed in lymphoid high endothelial venules promotes the adhesion and chemotaxis of naive T lymphocytes. *Proc Natl Acad Sci U S A*, 95(1), 258-63.
- Haas T, Metzger J, Schmitz F, Heit A, Muller T, Latz E, i sar. (2008). The DNA sugar backbone 2' deoxyribose determines toll-like receptor 9 activation. *Immunity*, 28(3), 315-323.
- Hart DN, i McKenzie JL. (1988). Isolation and characterization of human tonsil dendritic cells. *J Exp Med*, 168(1), 157-170.
- Hart, D., i Prickett, T. (1993). Intercellular adhesion molecule-2 (ICAM-2) expression on human dendritic cells. *Cell Immunol*, 148(2), 447-54.
- Heath WR, i Carbone FR. (2009). Dendritic cell subsets in primary and secondary T cell responses at body surfaces. *Nat Immunol*, 10(12), 1237-1244.
- Hehlgans, T., i Pfeffer, K. (2005). The intriguing biology of the tumour necrosis factor/tumour necrosis factor receptor superfamily: players, rules and the games. *Immunology*, 115(1), 1-20.
- Heil, F., Ahmad-Nejad, P., Hemmi, H., Hochrein, H., Ampenberger, F., Gellert, T., i sar. (2003). The Toll-like receptor 7 (TLR7)-specific stimulus loxoribine uncovers a strong relationship within the TLR7, 8 and 9 subfamily. *Eur J Immunol*, 33(11), 2987-97.
- Henn V, Slupsky JR, Grafe M, Anagnostopoulos I, Forster R, Muller-Berghaus G, i sar. (1998). CD40 ligand on activated platelets triggers an inflammatory reaction of endothelial cells. *Nature*, 391(6667), 591-594.
- Henri, S., Vremec, D., Kamath, A., Waithman, J., Williams, S., Benoist, C., i sar. (2001). The dendritic cell populations of mouse lymph nodes. *J Immunol*, 167(2), 741-8.
- Herre J, Gordon S, i Brown GD. (2004). Dectin-1 and its role in the recognition of beta-glucans by macrophages. *Mol Immunol*, 40(12), 869-876.
- Higashi T, Hashimoto K, Takagi R, Mizuno Y, Okazaki Y, Tanaka Y, i sar. (2010). Curdlan Induces DC-Mediated Th17 Polarization via Jagged1 Activation in Human Dendritic Cells. *Allergol Int*, 59, 161-166.

- Hilton, D., Richardson, R., Alexander, W., Viney, E., Willson, T., Sprigg, N., i sar. (1998). Twenty proteins containing a C-terminal SOCS box form five structural classes. *Proc Natl Acad Sci USA*, 95, 114-9.
- Hirata N, Yanagawa Y, Ogura H, Satoh M, Noguchi M, Matsumoto M, i sar. (2011). The role of tumor necrosis factor-alpha for interleukin-10 production by murine dendritic cells. *Cell Immunol*, 266(2), 165-171.
- Ho IC, Hodge MR, Rooney JW, i Glimcher LH. (1996). The proto-oncogene c-maf is responsible for tissue-specific expression of interleukin-4. *Cell*, 85(7), 973-983.
- Hochrein H, Shortman K, Vremec D, Scott B, Hertzog P, i O'Keeffe M. (2001). Differential production of IL-12, IFN-alpha, and IFN-gamma by mouse dendritic cell subsets. *J Immunol*, 166(9), 5448-5455.
- Hoffmann, J., Reichhart, J., i Hetru, C. (1996). Innate immunity in higher insects. *Curr Opin Immunol*, 8(1), 8-13.
- Honda, K., Yanai, H., Negishi, H., Asagiri, M., Sato, M., Mizutani, T., i sar. (2005). IRF-7 is the master regulator of type-I interferon-dependent immune responses. *Nature*, 434 (7034), 772-7.
- Hornung, V., Guenthner-Biller, M., Bourquin, C., Ablasser, A., Schlee, M., Uematsu, S., i sar. (2005). Sequence-specific potent induction of IFN-alpha by short interfering RNA in plasmacytoid dendritic cells through TLR7. *Nat Med*, 11 (3), 263-70.
- Hsu YMS, Zhang Y, You Y, Wang D, Li H, Duramad O, i sar. (2007). The adaptor protein CARD9 is required for innate immune responses to intracellular pathogens. *Nat Immunol*, 8, 198-205.
- Huber AK, Jacobson EM, Jazdzewski K, Concepcion ES, i Tomer Y. (2008). Interleukin (IL)-23 receptor is a major susceptibility gene for Graves' ophthalmopathy: the IL-23/T-helper 17 axis extends to thyroid autoimmunity. *J Clin Endocrinol Metab*, 93(3), 1077-1081.
- Hunter, C. (2005). New IL-12-family members: IL-23 and IL-27, cytokines with divergent functions. *Nat Rev Immunol*, 5(7), 521-31.
- Ikeda H, Old LJ, i Schreiber RD. (2002). The roles of IFN gamma in protection against tumor development and cancer immunoediting. *Cytokine Growth Factor Rev*, 13, 95-109.
- Inaba K, Inaba M, Deguchi M, Hagi K, Yasumizu R, Ikehara S, i sar. (1993). Granulocytes, macrophages, and dendritic cells arise from a common major histocompatibility complex class II-negative progenitor in mouse bone marrow. *Proc Natl Acad Sci U S A*, 90(7), 3038-3042.

- Inaba, K., Inaba, M., Romani, N., Aya, H., Deguchi, M., Ikebara, S., i sar. (1992). Generation of large numbers of dendritic cells from mouse bone marrow cultures supplemented with granulocyte/macrophage colony-stimulating factor. *J Exp Med*, 176(6), 1693-702.
- Isaacs A, i Lindenmann J. (1957). Virus interference I, The interferon. *Proc R Soc Lond B Biol Sci*, 147(927), 258-267.
- Izon D, Rudd K, DeMuth W, Pear WS, Clendenin C, Lindsley RC, i sar. (2001). A common pathway for dendritic cell and early B cell development. *J Immunol*, 167(3), 1387-1392.
- Janeway, C. J. (1992). The immune system evolved to discriminate infectious nonself from noninfectious self. *Immunol Today*, 13(1), 11-16.
- Janeway, C. J., i Medzhitov, R. (2002). Innate immune recognition. *Annu Rev Immunol*, 20, 197-216.
- Jankovic D, i Trinchieri G. (2007). IL-10 or not IL-10: that is the question. *Nat Immunol*, 8, 1281-1283.
- Jarrossay, D., Napolitani, G., Colonna, M., Sallusto, F., i Lanzavecchia, A. (2001). Specialization and complementarity in microbial molecule recognition by human myeloid and plasmacytoid dendritic cells. *Eur J Immunol*, 31(11), 3388-93.
- Jego G, Pascual V, Palucka AK, i Banchereau J. (2005). Dendritic cells control B cell growth and differentiation. *Curr Dir Autoimmun*, 8, 124-139.
- Jeras, M., Bergant, M., i Repnik, U. (2005). In vitro preparation and functional assessment of human monocyte-derived dendritic cells-potential antigen-specific modulators of in vivo immune responses. *Transpl Immunol*, 14(3-4), 231-44.
- Jin, M., Kim, S., Heo, J., Lee, M., Kim, H., Paik, S., i sar. (2007). Crystal structure of the TLR1-TLR2 heterodimer induced by binding of a tri-acylated lipopeptide. *Cell*, 130(6), 1071-82.
- Jonuleit H, Kuhn U, Muller G, Steinbrink K, Paragnik, L, i sar. (1997). Pro-inflammatory cytokines and prostaglandins induce maturation of potent immunostimulatory dendritic cells under fetal calf serum-free conditions. *Eur J Immunol*, 27, 3135-3142.
- Jurgens B, Hainz U, Fuchs D, Felzmann T, i Heitger A. (2009). Interferon-gamma-triggered indoleamine 2,3-dioxygenase competence in human monocyte-derived dendritic cells induces regulatory activity in allogeneic T cells. *Blood*, 114(15), 3235-3243.

- Kadowaki, N., Ho, S., Antonenko, S., Malefytt, R., Kastelein, R., Bazan, F., i sar. (2001). Subsets of human dendritic cell precursors express different toll-like receptors and respond to different microbial antigens. *J Exp Med*, 194(6), 863-9.
- Kaliński, P., Schuitemaker, J., Hilkens, C., Wierenga, E., i Kapsenberg, M. (1999). Final maturation of dendritic cells is associated with impaired responsiveness to IFN-gamma and to bacterial IL-12 inducers: decreased ability of mature dendritic cells to produce IL-12 during the interaction with Th cells. *J Immunol*, 162(6), 3231-6.
- Kamiya, S., Owaki, T., Morishima, N., Fukai, F., Mizuguchi, J., i Yoshimoto, T. (2004). An indispensable role for STAT1 in IL-27-induced T-bet expression but not proliferation of naive CD4+ T cells. *J Immunol*, 173(6), 3871-7.
- Kaplan DH, Greenlund AC, Tanner JW, Shaw AS, i Schreiber RD. (1996). Identification of an interferon-gamma receptor alpha chain sequence required for JAK-1 binding. *J Biol Chem*, 271(1), 9-12.
- Kaplan, M., Schindler, U., Smiley, S., i Grusby, M. (1996). Stat6 is required for mediating responses to IL-4 and for development of Th2 cells. *Immunity*, 4(3), 313-9.
- Karsunky, H., Merad, M., Cozzio, A., i Weissman, I. (2003). Flt3 ligand regulates dendritic cell development from Flt3+ lymphoid and myeloid-committed progenitors to Flt3+ dendritic cells in vivo. *J Exp Med*, 198(2), 305-13.
- Karsunky, H., Merad, M., Mende, I., Manz, M., i Engleman, E. (2005). Developmental origin of interferon-alpha-producing dendritic cells from hematopoietic precursors. *Exp Hematol*, 33(2), 173-81.
- Kawai T, i Akira S. (2007). Antiviral signaling through pattern recognition receptors. *J Biochem*, 141(2), 137-145.
- Kawai, T., i Akira, S. (2010). The role of pattern-recognition receptors in innate immunity: update on Toll-like receptors. *Nat Immunol*, 11(5), 373-84.
- Kawamura T, Gatanaga H, Borris DL, Connors M, Mitsuya H, i Blauvelt A. (2003). Decreased stimulation of CD4+ T cell proliferation and IL-2 production by highly enriched populations of HIV-infected dendritic cells. *J Immunol*, 170(8), 4260-4266.
- Kidd, P. (2003). Th1/Th2 balance: the hypothesis, its limitations, and implications for health and disease. *Altern Med Rev*, 8(3), 223-46.
- Kim, Y., Brinkmann, M., Paquet, M., i Ploegh, H. (2008). UNC93B1 delivers nucleotide-sensing toll-like receptors to endolysosomes. *Nature*, 452(7184), 234-8.
- Koch F, Stanzl U, Jennewein P, Janke K, Heufler C, Kampgen E, i sar. (1996). High level IL-12 production by murine dendritic cells: upregulation via MHC class II and CD40 molecules and downregulation by IL-4 and IL-10. *J Exp Med*, 184(2), 741-746.

- Kondo M, Wagers AJ, Manz MG, Prohaska SS, Scherer DC, Beilhack GF, i sar. (2003). Biology of hematopoietic stem cells and progenitors: implications for clinical application. *Annu Rev Immunol*, 21, 759-806.
- Korn T, Bettelli E, Oukka M, i Kuchroo VK. (2009). IL-17 and Th cells. *Annu Rev Immunol*, 27, 485-517.
- Kotenko SV, Izotova LS, Pollack BP, Mariano TM, Donnelly RJ, Muthukumaran G, i sar. (1995). Interaction between the components of the interferon gamma receptor complex. *J Biol Chem*, 270(36), 20915-20921.
- Krebs DL, i Hilton DJ. (2001). SOCS proteins: negative regulators of cytokine signaling. *Stem Cells*, 19(5), 378-387.
- Kriegler M, Perez C, DeFay K, Albert I, i Lu SD. (1988). A novel form of TNF/cachectin is a cell surface cytotoxic transmembrane protein: ramifications for the complex physiology of TNF. *Cell*, 53(1), 45-53.
- Krishnamoorthy, N., Oriss, T., Paglia, M., Ray, A., i Ray, P. (2007). A critical role for IL-6 secretion by dendritic cells promoting Th2 and limiting Th1 response. *J Immunol*, 178, 95.24.
- Kryczek I, Banerjee M, Cheng P, Vatan L, Szeliga W, i Wei S et al. (2009). Phenotype, distribution, generation functional and clinical relevance of Th17 cells in the human tumor environments. *Blood*, 6, 1141-1149.
- Lafaille JJ. (1998). The role of helper T cell subsets in autoimmune diseases. *Cytokine Growth Factor Rev*, 9(2), 139-151.
- Langenkamp, A., Casorati, G., Garavaglia, C., Dellabona, P., Lanzavecchia, A., i Sallusto, F. (2002). T cell priming by dendritic cells: thresholds for proliferation, differentiation and death and intraclonal functional diversification. *Eur J Immunol*, 32(7), 2046-54.
- Langenkamp, A., Messi, M., Lanzavecchia, A., i Sallusto, F. (2000). Kinetics of dendritic cell activation: impact on priming of TH1, TH2 and nonpolarized T cells. *Nat Immunol*, 1(4), 311-6.
- Langerhans, P. (1868). Ueber die Nerven der Menschlichen Haut. *Virch Arch Pathol Anat*, 44, 325-37.
- Laouiini, D., Alenius, H., Bryce, P., Oettgen, H., Tsitsikov, E., i Geha, R. (2003). IL-10 is critical for Th2 responses in a murine model of allergic dermatitis. *J Clin Invest*, 112(7), 1058-66.
- Lapenta C, Santini SM, Logozzi M, Spada M, Andreotti M, Di Pucchio T, i sar. (2003). Potent immune response against HIV-1 and protection from virus challenge in hu-PBL-

SCID mice immunized with inactivated virus-pulsed dendritic cells generated in the presence of IFN-alpha. *J Exp Med*, 198(2), 361-367.

Lapointe R, Toso JF, Butts C, Young HA, i Hwu P. (2000). Human dendritic cells require multiple activation signals for the efficient generation of tumor antigen-specific T lymphocytes. *Eur J Immunol*, 30, 3291-3298.

Ledbetter, J., Shu, G., Gallagher, M., i Clark, E. (1987). Augmentation of normal and malignant B cell proliferation by monoclonal antibody to the B cell-specific antigen BP50 (CDW40). *J Immunol*, 138(3), 788-94.

Lee, J., Chuang, T., Redecke, V., She, L., Pitha, P., Carson, D., i sar. (2003). Molecular basis for the immunostimulatory activity of guanine nucleoside analogs: activation of Toll-like receptor 7. *Proc Natl Acad Sci U S A*, 100(11), 6646-51.

LeibundGut-Landmann, S, Gross O, Robinson MJ, Osorio F, Slack EC, i sar. (2007). Syk- and CARD9-dependent coupling of innate immunity to the induction of T helper cells that produce interleukin 17. *Nat Immunol*, 8, 630-638.

Lemaitre B, Nicolas E, Michaut L, Reichhart JM, i Hoffmann JA. (1996). The dorsoventral regulatory gene cassette spatzle/Toll/cactus controls the potent antifungal response in Drosophila adults. *Cell*, 86(6), 973-983.

Letvin NL, i Walker BD. (2003). Immunopathogenesis and immunotherapy in AIDS virus infections. *Nat Med*, 9(7), 861-866.

Li, Z., Pradera, F., Kammertoens, T., Li, B., Liu, S., i Qin, Z. (2007). Cross-talk between T cells and innate immune cells is crucial for IFN-gamma-dependent tumor rejection. *J Immunol*, 179(3), 1568-76.

Liblau R, Singer, S, McDevitt, i H. (1995). Th1 and Th2 CD4+ T cells in the pathogenesis of organ-specific autoimmune diseases. *Immunol Today*, 16, 34-38.

Lipscomb, M., i Masten, B. (2002). Dendritic cells: immune regulators in health and disease. *Physiol Rev*, 82(1), 97-130.

Liu S, Yu Y, Zhang M, Wang W, i Cao X. (2001). The involvement of TNF-alpha-related apoptosis-inducing ligand in the enhanced cytotoxicity of IFN-beta-stimulated human dendritic cells to tumor cells. *J Immunol*, 166(9), 5407-5415.

Liu, Y., Kanzler, H., Soumelis, V., i Gilliet, M. (2001). Dendritic cell lineage, plasticity and cross-regulation. *Nat Immunol*, 2(7), 585-589.

Logue, E., i Sha, W. (2004). CD28-B7 bidirectional signaling: a two-way street to activation. *Nat Immunol*, 5(11), 1134-42.

- Lombardi, V., Van Overtvelt, L., Horiot, S., i Moingeon, P. (2009). Human dendritic cells stimulated via TLR7 and/or TLR8 induce the sequential production of IL-10, IFN-gamma, and IL-17A by naive CD4+ T cells. *J Immunol*, 182(6), 3372-9.
- Lucas M, Schachterle W, Oberle K, Aichele P, i Diefenbach A. (2007). Dendritic cells prime natural killer cells by trans-presenting interleukin 15. *Immunity*, 26(4), 503-517.
- Lucas, S., Ghilardi, N., Li, J., i de Sauvage, F. (2003). IL-27 regulates IL-12 responsiveness of CD4+ T cells through Stat1-dependent and -independent mechanisms. *Proc Natl Acad Sci USA*, 100(25), 15047-52.
- Ludewig B, Henn V, Schroder JM, Graf D, i Kroczek RA. (1996). Induction, regulation, and function of soluble TRAP (CD40 ligand) during interaction of primary CD4+ CD45RA+ T cells with dendritic cells. *Eur J Immunol*, 26(12), 3137-3143.
- Lukacs-Kornek, V., Engel, D., Tacke, F., i Kurts, C. (2008). The role of chemokines and their receptors in dendritic cell biology. *Front Biosci*, 13, 2238-52.
- Lundie, R., de Koning-Ward, T., Davey, G., Nie, C., Hansen, D., Lau, L., i sar. (2008). Blood-stage Plasmodium infection induces CD8+ T lymphocytes to parasite-expressed antigens, largely regulated by CD8alpha+ dendritic cells. *Proc Natl Acad Sci U S A*, 105(38), 14509-14.
- Luther, S., Tang, H., Hyman, P., Farr, A., i Cyster, J. (2000). Coexpression of the chemokines ELC and SLC by T zone stromal cells and deletion of the ELC gene in the plt=plt mouse. *Proc Natl Acad Sci USA*, 97, 12694-9.
- Lutz MB, i Schuler G. (2002). Immature, semi-mature and fully mature dendritic cells: which signals induce tolerance or immunity? *Trends Immunol*, 23(9), 445-449.
- Lutz MB, Kukutsch N, Ogilvie AL, Rossner S, Koch F, Romani N, i sar. (1999). An advanced culture method for generating large quantities of highly pure dendritic cells from mouse bone marrow. *J Immunol Methods*, 223(1), 77-92.
- MacDonald KP, Munster DJ, Clark GJ, Dzionaek A, Schmitz J, i Hart DN. (2002). Characterization of human blood dendritic cell subsets. *Blood*, 100(13), 4512-4520.
- Mach, F., Schönbeck, U., Sukhova, G., Bourcier, T., Bonnefoy, J., Pober, J., i sar. (1997). Functional CD40 ligand is expressed on human vascular endothelial cells, smooth muscle cells, and macrophages: implications for CD40-CD40 ligand signaling in atherosclerosis. *Proc Natl Acad Sci U S A*, 94(5), 1931-6.
- Mackey MF, Gunn JR, Maliszewsky C, Kikutani H, Noelle RJ, Barth RJ, i sar. (1998). Dendritic cells require maturation via CD40 to generate protective antitumor immunity. *J Immunol*, 161(5), 2094-2098.

Mahboubi K, i Pober JS. (2002). Activation of signal transducer and activator of transcription 1 (STAT1) is not sufficient for the induction of STAT1-dependent genes in endothelial cells. Comparison of interferon-gamma and oncostatin M. *J Biol Chem*, 277 (10), 8012-8021.

Mäkelä, S., Strengell, M., Pietilä, T., Osterlund, P., i Julkunen, I. (2009). Multiple signaling pathways contribute to synergistic TLR ligand-dependent cytokine gene expression in human monocyte-derived macrophages and dendritic cells. *J Leukoc Biol*, 85(4), 664-72.

Malissen, B., i Ewbank, J. (2005). 'TaiLoRing' the response of dendritic cells to pathogens. *Nature Immunol*, 6(8), 749-50.

Malu, S., Srinivasan, S. K., Maiti, P., Rajagopal, D., John, B., i Nandi, D. (2003). IFN-gamma bioassay: development of a sensitive method by measuring nitric oxide production by peritoneal exudate cells from C57BL/6 mice. *J Immunol Methods*, 272 (1-2), 55-65.

Mangan PR, Harrington LE, O'Quinn DB, Helms WS, Bullard DC, Elson CO, i sar. (2006). Transforming growth factor-beta induces development of the T(H)17 lineage. *Nature*, 441 (7090), 231-234.

Manz MG, Traver D, Akashi K, Merad M, Miyamoto T, Engleman EG, i sar. (2001). Dendritic cell development from common myeloid progenitors. *Ann NY Acad Sci*, 938, 167-173 discussion 73-74.

Marshall AS, Willment JA, Lin HH, Williams DL, Gordon S, i Brown GD. (2004). Identification and characterization of a novel human myeloid inhibitory C-type lectin-like receptor (MICL) that is predominantly expressed on granulocytes and monocytes. *J Biol Chem*, 279(15), 14792-147802.

Martin P, del Hoyo GM, Anjuere F, Ruiz SR, Arias CF, Marin AR, i sar. (2000). Concept of lymphoid versus myeloid dendritic cell lineages revisited: both CD8alpha(-) and CD8alpha(+) dendritic cells are generated from CD4(low) lymphoid-committed precursors. *Blood*, 96(7), 2511-2519.

Martin-Orozco N, Muranski P, Chung Y, Yang XO, Yamazaki T, Lu S, i sar. (2009). T helper 17 cells promote cytotoxic T cell activation in tumor immunity. *Immunity*, 31, 787-798.

Matsumoto, M., i Seya, T. (2008). TLR3: interferon induction by double-stranded RNA including poly(I:C). *Adv Drug Deliv Rev*, 60(7), 805-12.

McCoy MK, i Tansey MG. (2008). TNF signaling inhibition in the CNS: implications for normal brain function and neurodegenerative disease. *J Neuroinflammation*, 5, 45.

- McIlroy D, i Gregoire M. (2003). Optimizing dendritic cell-based anticancer immunotherapy: maturation state does have clinical impact. *Cancer Immunol Immunother*, 52(10), 583-591.
- McKenzie, B., Kastelein, R., i Cua, D. (2005). Understanding the IL-23-IL-17 immune pathway. *Trends Immunol*, 27(1), 17-23.
- Medzhitov R, Janeway CA, i Jr. (1997). Innate immunity: impact on the adaptive immune response. *Curr Opin Immunol*, 9(1), 4-9.
- Medzhitov, R., i Janeway, C. J. (1997). Innate Immunity: The Virtues of a Nonclonal System of Recognition. *Cell*, 91(3).
- Medzhitov, R., Preston-Hurlburt, P., i Janeway, C. J. (1997). A human homologue of the Drosophila Toll protein signals activation of adaptive immunity. *Nature*, 388(6640), 394-7.
- Merad M, i Manz MG. (2009). Dendritic cell homeostasis. *Blood*, 113(15), 3418-3427.
- Meylan, E., Burns, K., Hofmann, K., Blacheteau, V., Martinon, F., Kelliher, M., i sar. (2004). RIP1 is an essential mediator of Toll-like receptor 3-induced NF-kappa B activation. *Nat Immunol*, 5(5), 503-7.
- Miyahara Y, Odunsi K, Chen W, Peng G, Matsuzaki J, i Wang RF. (2008). Generation and regulation of human CD4+IL-17-producing T cells in ovarian cancer. *Proc Natl Acad Sci USA*, 105, 15505-15510.
- Miyazaki T, Oikawa N, Yadomae T, Yamada H, Yamada Y, Hsu HY, i sar. (1979). Relationship between the chemical structure and anti-tumour activity of glucans prepared from Grifora umbellata. *Carbohydr Res*, 69, 165-170.
- Mocellin S, Rossi CR, Pilati P, i Nitti D. (2005). Tumor necrosis factor, cancer and anticancer therapy. *Cytokine Growth Factor Rev*, 16(1), 35-53.
- Molle, C., Nguyen, M., Flamand, V., Renneson, J., Trottein, F., De Wit, D., i sar. (2007). IL-27 synthesis induced by TLR ligation critically depends on IFN regulatory factor 3. *J Immunol*, 178(12), 7607-15.
- Mullen AC, High FA, Hutchins AS, Lee HW, Villarino AV, Livingston DM, i sar. (2001). Role of T-bet in commitment of TH1 cells before IL-12-dependent selection. *Science*, 292(5523), 1907-1910.
- Munder M, Mallo M, Eichmann K, i Modolell M. (2001). Direct stimulation of macrophages by IL-12 and IL-18 - a bridge built on solid ground. *Immunol Lett*, 75(2), 159-160.

- Munn DH, Sharma MD, Lee JR, Jhaver KG, Johnson TS, Keskin DB, i sar. (2002). Potential regulatory function of human dendritic cells expressing indoleamine 2,3-dioxygenase. *Science*, 297(5588), 1867-1870.
- Muranski P, Boni A, Antony PA, Cassard L, Irvine KR, Kaiser A, i sar. (2008). Tumor-specific Th17-polarized cells eradicate large established melanoma. *Blood*, 112, 362-373.
- Murphy, K., Ouyang, W., Farrar, J., Yang, J., Ranganath, S., Asnagli, H., i sar. (2000). Signaling and transcription in T helper development. *Annu Rev Immunol*, 18, 451-94.
- Muzio M, Bosisio D, Polentarutti N, D'amico G, Stoppacciaro A, Mancinelli R, i sar. (2000). Differential expression and regulation of toll-like receptors (TLR) in human leukocytes: selective expression of TLR3 in dendritic cells. *J Immunol*, 164, 5998-6004.
- Naik SH, Metcalf D, van Nieuwenhuijze A, Wicks I, Wu L, O'Keeffe M, i sar. (2006). Intrasplenic steady-state dendritic cell precursors that are distinct from monocytes. *Nat Immunol*, 7(6), 663-671.
- Naik, S., Sathe, P., Park, H., Metcalf, D., Proietto, A., Dakic, A., i sar. (2007). Development of plasmacytoid and conventional dendritic cell subtypes from single precursor cells derived in vitro and in vivo. *Nat Immunol*, 8(11), 1217-26.
- Napolitani, G., Rinaldi, A., Bertoni, F., Sallusto, F., i Lanzavecchia, A. (2005). Selected Toll-like receptor agonist combinations synergistically trigger a T helper type 1-polarizing program in dendritic cells. *Nat Immunol*, 6(8), 769-76.
- Nelson HS, i Loffert DT. (1994). Comparison of the bronchodilator response to albuterol administered by the OptiHaler, the AeroChamber, or by metered dose inhaler alone. *Ann Allergy*, 72(4), 337-340.
- Nestle FO, Zheng XG, Thompson CB, Turka LA, i Nickoloff BJ. (1993). Characterization of dermal dendritic cells obtained from normal human skin reveals phenotypic and functionally distinctive subsets. *J Immunol*, 151(11), 6535-6545.
- Nikolic T, Dingjan GM, Leenen PJ, i Hendriks RW. (2002). A subfraction of B220(+) cells in murine bone marrow and spleen does not belong to the B cell lineage but has dendritic cell characteristics. *Eur J Immunol*, 32(3), 686-692.
- Noble, A., Truman, J., Vyas, B., Vukmanovic-Stejic, M., Hirst, W., i Kemeny, D. (2000). The balance of protein kinase C and calcium signaling directs T cell subset development. *J Immunol*, 164(4), 1807-13.
- O'Doherty U, Peng M, Gezelter S, Swiggard WJ, Betjes M, Bhardwaj N, i sar. (1994). Human blood contains two subsets of dendritic cells, one immunologically mature and the other immature. *Immunology*, 82(3), 487-493.

- O'Garra, A., Vieira, P., Vieira, P., i Goldfeld, A. (2004). IL-10-producing and naturally occurring CD4+ Tregs: limiting collateral damage. *J Clin Invest*, 114 (10), 1372-8.
- Ogg GS, Jin X, Bonhoeffer S, Dunbar PR, Nowak MA, Monard S, i sar. (1998). Quantitation of HIV-1-specific cytotoxic T lymphocytes and plasma load of viral RNA. *Science*, 279 (5359), 2103-2106.
- Ohno, N., Adachi, Y., Ohsawa, M., Sato, K., Oikawa, S., i Yadomae, T. (1987). Conformational changes of the two different conformers of grifolan in sodium hydroxide, urea or dimethylsulfoxide solution. *Chem Pharm Bull*, 35 (5), 2108-13.
- O'Keeffe M, Hochrein H, Vremec D, Caminschi I, Miller JL, Anders EM, i sar. (2002). Mouse plasmacytoid cells: long-lived cells, heterogeneous in surface phenotype and function, that differentiate into CD8(+) dendritic cells only after microbial stimulus. *J Exp Med*, 196 (10), 1307-1319.
- O'malley, W., Achinstein, B., i Shear, M. (1962). Action of bacterial polysaccharide on tumours. II. Damage of sarcoma 37 by serum of mice treated with *Serratia marcescens* polysaccharide, and induced tolerance. *J. Natl Cancer Inst*, 29, 1169-75.
- Onai, N., Obata-Onai, A., Schmid, M., Ohteki, T., Jarrossay, D., i Manz, M. (2007). Identification of clonogenic common Flt3+M-CSFR+plasmacytoid and conventional dendritic cell progenitors in mouse bone marrow. *Nat Immunol*, 8 (11), 1207-16.
- Ostrowski MA, Justement SJ, Ehler L, Mizell SB, Lui S, Mican J, i sar. (2000). The role of CD4+ T cell help and CD40 ligand in the in vitro expansion of HIV-1-specific memory cytotoxic CD8+ T cell responses. *J Immunol*, 165 (11), 6133-6141.
- Osugi Y, Vuckovic S, i Hart DN. (2002). Myeloid blood CD11c(+) dendritic cells and monocyte-derived dendritic cells differ in their ability to stimulate T lymphocytes. *Blood*, 100 (8), 2858-2866.
- Otani T, Nakamura S, Toki M, Motoda R, Kurimoto M, i Orita K. (1999). Identification of IFN-gamma-producing cells in IL-12/IL-18-treated mice. *Cell Immunol*, 198 (2), 111-119.
- Ouyang, W., Ranganath, S., Weindel, K., Bhattacharya, D., Murphy, T., Sha, W., i sar. (1998). Inhibition of Th1 development mediated by GATA-3 through an IL-4-independent mechanism. *Immunity*, 9 (5), 745-55.
- Ouyang, X., Negishi, H., Takeda, R., Fujita, Y., Taniguchi, T., i Honda, K. (2007). Cooperation between MyD88 and TRIF pathways in TLR synergy via IRF5 activation. *Biochem Biophys Res Commun*, 354 (4), 1045-51.

- Owaki, T., Asakawa, M., Kamiya, S., Takeda, K., Fukai, F., Mizuguchi, J., i sar. (2006). IL-27 suppresses CD28-mediated [correction of medicated] IL-2 production through suppressor of cytokine signaling 3. *J Immunol*, 176(5), 2773-80.
- Park, B., Song, D., Kim, H., Choi, B., Lee, H., i Lee, J. (2009). The structural basis of lipopolysaccharide recognition by the TLR4-MD-2 complex. *Nature*, 458(7242), 1191-5.
- Pedersen AE, Buus S, i Claesson MH. (2006). Treatment of transplanted CT26 tumour with dendritic cell vaccine in combination with blockade of vascular endothelial growth factor receptor 2 and CTLA-4. *Cancer Lett*, 235, 229-338.
- Penn, I. (2000a). Cancers in renal transplant recipients. *Adv Ren Replace Ther*, 7(2), 147-59.
- Penn, I. (2000b). Post-transplant malignancy: the role of immunosuppression. *Drug Saf*, 23(2), 101-13.
- Perussia B, Fanning V, i Trinchieri G. (1985). A leukocyte subset bearing HLA-DR antigens is responsible for in vitro alpha interferon production in response to viruses. *Nat Immun Cell Growth Regul*, 4(3), 120-137.
- Pflanz S, Timans JC, Cheung J, Rosales R, Kanzler H, Gilbert J, i sar. (2002). IL-27, a heterodimeric cytokine composed of EBI3 and p28 protein, induces proliferation of naive CD4+ T cells. *Immunity*, 16, 779-790.
- Pflanz, S., Hibbert, L., Mattson, J., Rosales, R., Vaisberg, E., Bazan, J., i sar. (2004). WSX-1 and glycoprotein 130 constitute a signal-transducing receptor for IL-27. *J Immunol*, 172(4), 2225-2231.
- Pitcher CJ, Quittner C, Peterson DM, Connors M, Koup RA, Maino VC, i sar. (1999). HIV-1-specific CD4+ T cells are detectable in most individuals with active HIV-1 infection, but decline with prolonged viral suppression. *Nat Med*, 5(5), 518-525.
- Plana M, Garcia F, Gallart T, Miro JM, i Gatell JM. (1998). Lack of T-cell proliferative response to HIV-1 antigens after 1 year of highly active antiretroviral treatment in early HIV-1 disease. Immunology Study Group of Spanish EARTH-1 Study. *Lancet*, 352 (9135), 1194-1195.
- Poltorak A, Smirnova I, He X, Liu MY, Van Huffel C, McNally O, i sar. (1998). Genetic and physical mapping of the Lps locus: identification of the toll-4 receptor as a candidate gene in the critical region. *Blood Cells Mol Dis*, 24(3), 340-355.
- Prasanna SJ, Saha B, i Nandi D. (2007). Involvement of oxidative and nitrosative stress in modulation of gene expression and functional responses by IFNgamma. *Int Immunol*, 19(7), 867-879.

- Pulendran B, Banchereau J, Burkeholder S, Kraus E, Guinet E, Chalouni C, i sar. (2000). Flt3-ligand and granulocyte colony-stimulating factor mobilize distinct human dendritic cell subsets in vivo. *J Immunol*, 165(1), 566-572.
- Pulendran B, van Driel R, i Nossal GJ. (1997). Immunological tolerance in germinal centres. *Immunol Today*, 18(1), 27-32.
- Qi, H., Egen, J., Huang, A., i Germain, R. (2006). Extrafollicular activation of lymph node B cells by antigen-bearing dendritic cells. *Science*, 312 (5780), 1672-6.
- Randolph GJ, Inaba K, Robbiani DF, Steinman RM, i Muller WA. (1999). Differentiation of phagocytic monocytes into lymph node dendritic cells in vivo. *Immunity*, 11(6), 753-761.
- Reid CD, Stackpoole A, Meager A, i Tikerpae J. (1992). Interactions of tumor necrosis factor with granulocyte-macrophage colony-stimulating factor and other cytokines in the regulation of dendritic cell growth in vitro from early bipotent CD34+ progenitors in human bone marrow. *J Immunol*, 149(8), 2681-2688.
- Reis e Sousa, C., Hieny, S., Scharton-Kersten, T., Jankovic, D., i Charest, H. (1997). In vivo microbial stimulation induces rapid CD40 ligand-independent production of interleukin 12 by dendritic cells and their redistribution to T cell areas. *J Exp Med*, 186 (11), 1819-29.
- Repnik U, Bergant M, Wraber B, i Jeras M. (2008). Late dendritic cells are still able to evoke a potent alloreactive CTL response. *Immunobiology*, 213 (1), 51-64.
- Rescigno M, Martino M, Sutherland CL, Gold MR, i Ricciardi-Castagnoli P. (1998). Dendritic cell survival and maturation are regulated by different signaling pathways. *J Exp Med*, 188(11), 2175-2180.
- Rice PJ, Kelley JL, Kogan G, Ensley HE, Kalbfleisch JH, Browder IW, i sar. (2002). Human monocyte scavenger receptors are pattern recognition receptors for (1-->3)-beta-D-glucans. *J Leukoc Biol*, 72(1), 140-146.
- Rissoan MC, Duhen T, Bridon JM, Bendriss-Vermare N, Peronne C, de Saint Vis B, i sar. (2002). Subtractive hybridization reveals the expression of immunoglobulin-like transcript 7, Eph-B1, granzyme B, and 3 novel transcripts in human plasmacytoid dendritic cells. *Blood*, 100(9), 3295-3303.
- Rissoan MC, Soumelis V, Kadowaki N, Grouard G, Briere F, de Waal Malefyt R, i sar. (1999). Reciprocal control of T helper cell and dendritic cell differentiation. *Science*, 283(5405), 1183-1186.
- Roelofs, M., Joosten, L., Abdollahi-Roodsaz, S., van Lieshout, A., Sprong, T., van den Hoogen, F., i sar. (2005). The expression of toll-like receptors 3 and 7 in rheumatoid

arthritis synovium is increased and costimulation of toll-like receptors 3, 4, and 7/8 results in synergistic cytokine production by dendritic cells. *Arthritis Rheum*, 52(8), 2313-22.

Rogers PR, i Croft M. (2000). CD28, OX-40, LFA-1, and CD4 modulation of Th1/Th2 differentiation is directly dependent on the dose of antigen. *J Immunol*, 164(6), 2955-2963.

Rolink AG, Schaniel C, Andersson J, i Melchers F. (2001). Selection events operating at various stages in B cell development. *Curr Opin Immunol*, 13(2), 202-207.

Romani N, Lenz A, Glassel H, Stossel H, Stanzl U, Majdic O, i sar. (1989). Cultured human Langerhans cells resemble lymphoid dendritic cells in phenotype and function. *J Invest Dermatol*, 93(5), 600-609.

Romani, N., Holzmann, S., Tripp, C., Koch, F., i Stoitzner, P. (2003). Langerhans cells - dendritic cells of the epidermis. *APMIS*, 111(7-8), 725-40.

Romani, N., Lenz, A., Glassel, H., Stössel, H., Stanzl, U., Majdic, O., i sar. (1989). Cultured human Langerhans cells resemble lymphoid dendritic cells in phenotype and function. *J Invest Dermatol*, 93(5), 600-9.

Romano CC, Mendes-Giannini MJ, Duarte AJ, i Benard G. (2005). The role of interleukin-10 in the differential expression of interleukin-12p70 and its beta2 receptor on patients with active or treated paracoccidioidomycosis and healthy infected subjects. *Clin Immunol*, 114(1), 86-94.

Ronnblom L, Forsgren A, i Alm GV. (1983). Characterization of interferons induced by bacteria and interferon-producing leukocytes in human peripheral blood. *Infect Immun*, 40(1), 126-132.

Roses RE, Xu S, Xu M, Koldovsky U, Koski G, i Czerniecki BJ. (2008). Differential Production of IL-23 and IL-12 by Myeloid-Derived Dendritic Cells in Response to TLR Agonists. *J Immunol*, 181, 5120-5127.

Ross, G. (2000). Regulation of the adhesion versus cytotoxic functions of the Mac-1/CR3/alphaMbeta2-integrin glycoprotein. *Crit Rev Immunol*, 20(3), 197-22.

Rouas R, Lewalle P, El Ouriaghli F, Nowak B, Duvillier H, i Martiat P. (2004). Poly (I:C) used for human dendritic cell maturation preserves their ability to secondarily secrete bioactive IL-12. *Int Immunol*, 16, 767-773.

Rouyez MC, Lestingi M, Charon M, Fichelson S, Buzyn A, i Dusanter-Fourt I. (2005). IFN regulatory factor-2 cooperates with STAT1 to regulate transporter associated with antigen processing-1 promoter activity. *J Immunol*, 174(7), 3948-3958.

- Sabbagh L, Snell LM, i Watts TH. (2007). TNF family ligands define niches for T cell memory. *Trends Immunol*, 28(8), 333-339.
- Saha, B., Jyothi Prasanna, S., Chandrasekar, B., i Nandi, D. (2010). Gene modulation and immunoregulatory roles of interferon gamma. *Cytokine*, 50(1), 1-14.
- Sakaguchi S. (2005). Naturally arising Foxp3-expressing CD25+CD4+ regulatory T cells in immunological tolerance to self and non-self. *Nat Immunol*, 6(4), 345-352.
- Sallusto F, i Lanzavecchia A. (1994). Efficient presentation of soluble antigen by cultured human dendritic cells is maintained by granulocyte/macrophage colony-stimulating factor plus interleukin 4 and downregulated by tumor necrosis factor alpha. *J Exp Med*, 179, 1109-1118.
- Sallusto F, i Lanzavecchia A. (2009). Heterogeneity of CD4+ memory T cells: Functional modules for tailored immunity. *Eur J Immunol*, 39(8), 2076-2082.
- Sallusto, F., i Lanzavecchia, A. (2002). The instructive role of dendritic cells on T-cell responses. *Arthritis Res, Suppl 3*, S127-32.
- Sallusto, F., Schaerli, P., Loetscher, P., Schaniel, C., Lenig, D., Mackay, C., i sar. (1998). Rapid and coordinated switch in chemokine receptor expression during dendritic cell maturation. *Eur J Immunol*, 28(9), 2760-9.
- Santegoets, S., Gibbs, S., Kroeze, K., van de Ven, R., Scheper, R., Borrebaeck, C., i sar. (2008). Transcriptional profiling of human skin-resident Langerhans cells and CD1a+ dermal dendritic cells: differential activation states suggest distinct functions. *J leukocit Biol*, 84(1), 143-51.
- Saraiva M, Christensen JR, Veldhoen M, Murphy TL, Murphy KM, i O'Garra A. (2009). Interleukin-10 production by Th1 cells requires interleukin-12-induced STAT4 transcription factor and ERK MAP kinase activation by high antigen dose. *Immunity*, 31, 209-219.
- Schindler H, Lutz MB, Rollinghoff M, i Bogdan C. (2001). The production of IFN-gamma by IL-12/IL-18-activated macrophages requires STAT4 signaling and is inhibited by IL-4. *J Immunol*, 166(5), 3075-3082.
- Schmid, M., Kingston, D., Boddupalli, S., i Manz, M. (2010). Instructive cytokine signals in dendritic cell lineage commitment. *Immunol Rev*, 234(1), 32-44.
- Schroder K, Hertzog PJ, Ravasi T, i Hume DA. (2004). Interferon-gamma: an overview of signals, mechanisms and functions. *J Leukoc Biol*, 75(2), 163-189.
- Schuler G, i Steinman RM. (1985). Murine epidermal Langerhans cells mature into potent immunostimulatory dendritic cells in vitro. *J Exp Med*, 161 (3), 526-546.

- Seder RA, i Ahmed R. (2003). Similarities and differences in CD4+ and CD8+ effector and memory T cell generation. *Nat Immunol*, 4(9), 835-842.
- Sertl K, Takemura T, Tschachler E, Ferrans VJ, Kaliner MA, i Shevach EM. (1986). Dendritic cells with antigen-presenting capability reside in airway epithelium, lung parenchyma, and visceral pleura. *J Exp Med*, 163(2), 436-451.
- Severa, M., Remoli, M., Giacomini, E., Annibali, V., Gafa, V., Lande, R., i sar. (2007). Sensitization to TLR7 agonist in IFN-beta-preactivated dendritic cells. *J Immunol*, 178(10), 6208-16.
- Shear, M. (1944). Chemical treatment of tumors IX. Reactions of mice with primary subcutaneous tumors to injection of hemorrhage-producing bacterial polysaccharide. *J Natl Cancer Inst*, 4, 461-76.
- Shear, M., Turner, F., Perrault, A., i Shovelton, J. (1943). Chemical treatment of tumours. V. Isolation of the hemorrhage-producing fraction from Serratia marcescens (Bacillus prodigiosus) culture filtrate. *J Natl Cancer Inst*, 4, 81-97.
- Shortman K, i Liu YJ. (2002). Mouse and human dendritic cell subtypes. *Nat Rev Immunol*, 2(3), 151-161.
- Shortman K, i Naik SH. (2007). Steady-state and inflammatory dendritic-cell development. *Nat Rev Immunol*, 7(1), 19-30.
- Siegal FP, Kadowaki N, Shodell M, Fitzgerald-Bocarsly PA, Shah K, Ho S, i sar. (1999). The nature of the principal type 1 interferon-producing cells in human blood. *Science*, 284(5421), 1835-1837.
- Skrzypek F, Cenci E, Pietrella D, Rachini A, Bistoni F, i Vecchiarelli A. (2009). Dectin-1 is required for human dendritic cells to initiate immune response to Candida albicans through Syk activation. *Microbes Infect*, 11, 661-670.
- Smits, H., de Jong, E., Wierenga, E., i Kapsenberg, M. (2005). Different faces of regulatory DCs in homeostasis and immunity. *Trends Immunol*, 26(3), 123-9.
- Snijders A, Kalinski P, Hilkens CMU, i Kapsenberg ML. (1998). High-level IL-12 production by human dendritic cells requires two signals. *Int Immunol*, 10(11), 1593-1597.
- Solomon KA, Pesti N, Wu G, i Newton RC. (1999). Cutting edge: a dominant negative form of TNF-alpha converting enzyme inhibits proTNF and TNFRII secretion. *J Immunol*, 163(8), 4105-4108.
- Sozzani, S. (2005). Dendritic cell trafficking: more than just chemokines. *Cytokine Growth Factor Rev*, 16(6), 581-92.

Spisek, R., Bougras, G., Ebstein, F., Masse, D., Meflah, K., D, M., i sar. (2003). Transient exposure of dendritic cells to maturation stimuli is sufficient to induce complete phenotypic maturation while preserving their capacity to respond to subsequent restimulation. *Cancer Immunol Immunother*, 52 (7), 445-54.

Spisek, R., Bretaudeau, L., Barbieux, I., Meflah, K., i Gregoire, M. (2001). Standardized generation of fully mature p70 IL-12 secreting monocyte-derived dendritic cells for clinical use. *Cancer Immunol Immunother*, 50 (8), 417-27.

Sponaas AM, Cadman ET, Voisine C, Harrison V, Boonstra A, O'Garra A, i sar. (2006). Malaria infection changes the ability of splenic dendritic cell populations to stimulate antigen-specific T cells. *J Exp Med*, 203 (6), 1427-1433.

Sporri R, i Reis e Sousa C. (2005). Inflammatory mediators are insufficient for full dendritic cell activation and promote expansion of CD4+ T cell populations lacking helper function. *Nat Immunol*, 6 (2), 163-170.

Stamenkovic I, Clark EA, i Seed B. (1989). A B-lymphocyte activation molecule related to the nerve growth factor receptor and induced by cytokines in carcinomas. *Embo J*, 8 (5), 1403-1410.

Steinman RM, Hawiger D, i Nussenzweig MC. (2003). Tolerogenic dendritic cells. *Annu Rev Immunol*, 21, 685-711.

Steinman RM, i Cohn ZA. (1973). Identification of a novel cell type in peripheral lymphoid organs of mice. I Morphology, quantitation, tissue distribution. *J Exp Med*, 137 (5), 1142-1162.

Steinman RM, i Nussenzweig MC. (2002). Avoiding horror autotoxicus: the importance of dendritic cells in peripheral T cell tolerance. *Proc Natl Acad Sci U S A*, 99 (1), 351-358.

Steinman RM, i Witmer MD. (1978). Lymphoid dendritic cells are potent stimulators of the primary mixed leukocyte reaction in mice. *Proc Natl Acad Sci U S A*, 75 (10), 5132-5136.

Steinman, R., i Hemmi, H. (2006). Dendritic cells: translating innate to adaptive immunity. *Curr Top Microbiol Immunol*, 311, 17-58.

Stopinšek S, Ihan A, Wraber B, Terčelj M, Salobir B, i Rylander R et al. (2011). Fungal cell wall agents suppress the innate inflammatory cytokine responses of human peripheral blood mononuclear cells challenged with lipopolysaccharide in vitro. *Int Immunopharmacol*, 11, 939-947.

Swain, S., Weinberg, A., English, M., i Huston, G. (1990). IL-4 directs the development of Th2-like helper effectors. *J Immunol*, 145 (11), 3796-806.

- Szabolcs P, Avigan D, Gezelter S, Ciocon DH, Moore MA, Steinman RM, i sar. (1996). Dendritic cells and macrophages can mature independently from a human bone marrow-derived, post-colony-forming unit intermediate. *Blood*, 87(11), 4520-4530.
- Szlosarek P, Charles KA, i Balkwill FR. (2006). Tumour necrosis factor-alpha as a tumour promoter. *Eur J Cancer*, 42 (6), 745-750.
- Tabeta K, Hoebe K, Janssen EM, Du X, Georgel P, Crozat K, i sar. (2006). The Unc93b1 mutation 3d disrupts exogenous antigen presentation and signaling via Toll-like receptors 3, 7 and 9. *Nat Immunol*, 7(2), 156-164.
- Taga, K., i Tosato, G. (1992). IL-10 inhibits human T cell proliferation and IL-2 production. *J Immunol*, 148 (4), 1143-8.
- Talmor, M., Mirza, A., Turley, S., Mellman, I., Hoffman, L., i Steinman, R. (1998). Generation or large numbers of immature and mature dendritic cells from rat bone marrow cultures. *Eur J Immunol*, 28(3), 811-7.
- Tang P, Hung MC, i Klostergaard J. (1996). Human pro-tumor necrosis factor is a homotrimer. *Biochemistry*, 35 (25), 8216-8225.
- Tartaglia LA, Goeddel DV, Reynolds C, Figari IS, Weber RF, Fendly BM, i sar. (1993). Stimulation of human T-cell proliferation by specific activation of the 75-kDa tumor necrosis factor receptor. *J Immunol*, 151 (9), 4637-4641.
- Taylor PR, Brown GD, Reid DM, Willment JA, Martinez-Pomares L, i Gordon S et al. (2002). The beta-glucan receptor, Dectin-1, is predominantly expressed on the surface of cells of the monocyte/macrophage and neutrophil lineages. *J Immunol*, 169, 3876-3882.
- Thoreau E, Petridou B, Kelly PA, Djiane J, i Mornon JP. (1991). Structural symmetry of the extracellular domain of the cytokine/growth hormone/prolactin receptor family and interferon receptors revealed by hydrophobic cluster analysis. *FEBS Lett*, 282 (1), 26-31.
- Tracey, D., Klareskog, L., Sasso, E., Salfeld, J., i Tak, P. (2008). Tumor necrosis factor antagonist mechanisms of action: a comprehensive review. *Pharmacol Ther*, 117(2), 244-79.
- Traver D, Akashi K, Manz M, Merad M, Miyamoto T, Engleman EG, i sar. (2000). Development of CD8alpha-positive dendritic cells from a common myeloid progenitor. *Science*, 290 (5499), 2152-2154.
- Trinchieri G. (1978). [Physiology of the immune system]. *Minerva Anestesiolog*, 44 (10), 673-678.

- Trinchieri, G., i Sher, A. (2007). Cooperation of Toll-like receptor signals in innate immune defence. *Nat Rev Immunol*, 7(3), 179-90.
- Tzianabos AO. (2000). Polysaccharide immunomodulators as therapeutic agents: structural aspects and biologic function. *Clin Microbiol Rev*, 13(4), 523-533.
- Underhill DM, Rossnagle E, Lowell CA, i Simmons RM. (2005). Dectin-1 activates Syk tyrosine kinase in a dynamic subset of macrophages for reactive oxygen production. *Blood*, 106(7), 2543-2550.
- Valenzuela J, Schmidt C, i Mescher M. (2002). The roles of IL-12 in providing a third signal for clonal expansion of naive CD8 T cells. *J Immunol*, 169(12), 6842-6849.
- Valladeau J, Ravel O, Dezutter-Dambuyant C, Moore K, Kleijmeer M, Liu Y, i sar. (2000). Langerin, a novel C-type lectin specific to Langerhans cells, is an endocytic receptor that induces the formation of Birbeck granules. *Immunity*, 12(1), 71-81.
- Valledor AF, Arpa L, Sanchez-Tillo E, Comalada M, Casals C, Xaus J, i sar. (2008). IFN- $\{\gamma\}$ -mediated inhibition of MAPK phosphatase expression results in prolonged MAPK activity in response to M-CSF and inhibition of proliferation. *Blood*, 112(8), 3274-3282.
- van Duivenvoorde, L., van Mierlo, G., Boonman, Z., i Toes, R. (2006). Dendritic cells: vehicles for tolerance induction and prevention of autoimmune diseases. *Immunobiology*, 211(6-8), 627-632.
- van Gisbergen, K., Ludwig, I., Geijtenbeek, T., i van Kooyk, Y. (2005). Interactions of DC-SIGN with Mac-1 and CEACAM1 regulate contact between dendritic cells and neutrophils. *FEBS Lett*, 579(27), 6159-68.
- Van Gool, S., Vandenberghe, P., de Boer, M., i Ceuppens, J. (1996). CD80, CD86 and CD40 provide accessory signals in a multiple-step T-cell activation model. *Immunol Rev*, 153, 47-83.
- Vandenabeele P, Declercq W, Vanhaesebroeck B, Grooten J, i Fiers W. (1995). Both TNF receptors are required for TNF-mediated induction of apoptosis in PC60 cells. *J Immunol*, 154(6), 2904-2913.
- VanKooten C, i Banchereau J. (2000). CD40-CD40 ligand. *J Leukoc Biol*, 67(1), 2-17.
- Veldhoen M, Hocking RJ, Atkins CJ, Locksley RM, i Stockinger B. (2006). TGFbeta in the context of an inflammatory cytokine milieu supports de novo differentiation of IL-17-producing T cells. *Immunity*, 24(2), 179-189.
- Verdijk RM, Mutis T, Esendam B, Kamp J, Melief CJ, Brand A, i sar. (1999). Polyriboinosinic polyribocytidylic acid (Poly (I:C)) induces stable maturation of functionally active human dendritic cells. *J Immunol*, 163, 57-61.

- Vignali, D., Collison, L., i Workman, C. (2008). How regulatory T cells work. *Nat Rev Immunol*, 8(7), 523-32.
- Villadangos JA, i Heath WR. (2005). Life cycle, migration and antigen presenting functions of spleen and lymph node dendritic cells: limitations of the Langerhans cells paradigm. *Semin Immunol*, 17(4), 262-272.
- Vremec D, Pooley J, Hochrein H, Wu L, i Shortman K. (2000). CD4 and CD8 expression by dendritic cell subtypes in mouse thymus and spleen. *J Immunol*, 164 (6), 2978-2986.
- Vremec D, Zorbas M, Scollay R, Saunders DJ, Ardavin CF, Wu L, i sar. (1992). The surface phenotype of dendritic cells purified from mouse thymus and spleen: investigation of the CD8 expression by a subpopulation of dendritic cells. *J Exp Med*, 176(1), 47-58.
- Vremec, D., i Shortman, K. (1997). Dendritic cell subtypes in mouse lymphoid organs: cross-correlation of surface markers, changes with incubation, and differences among thymus, spleen, and lymph nodes. *J Immunol*, 159(2), 565-73.
- Wajant, H., Henkler, F., i Scheurich, P. (2001). The TNF-receptor-associated factor family: scaffold molecules for cytokine receptors, kinases and their regulators. *Cell Signal*, 13 (6), 389-400.
- Wajant, H., i Scheurich, P. (2001). Tumor necrosis factor receptor-associated factor (TRAF) 2 and its role in TNF signaling. *Int J Biochem Cell Biol*, 33(1), 19-32.
- Wallach, D., Engelmann, H., Nophar, Y., Aderka, D., Kemper, O., Hornik, V., i sar. (1991). Soluble and cell surface receptors for tumor necrosis factor. *Agents Actions Suppl*, 35, 51-7.
- Walzer T, Dalod M, Robbins SH, Zitvogel L, i Vivier E. (2005). Natural-killer cells and dendritic cells: "l'union fait la force". *Blood*, 106(7), 2252-2258.
- Walzer T, Dalod M, Vivier E, i Zitvogel L. (2005). Natural killer cell-dendritic cell crosstalk in the initiation of immune responses. *Expert Opin Biol Ther*, 5 Suppl 1, S49-59.
- Wang, Y., Voo, K., Liu, B., Chen, C., Uygungil, B., Spoede, W., i sar. (2010). A novel subset of CD4+ TH2 memory/effectector cells that produce inflammatory IL-17 cytokine and promote the exacerbation of chronic allergic asthma. *J Exp Med*, 207(11), 2479-2491.
- Wang, Z., Kusam, S., Munugalavadla, V., Kapur, R., Brutkiewicz, R., i Dent, A. (2006). Regulation of Th2 cytokine expression in NKT cells: unconventional use of Stat6, GATA-3, and NFAT2. *J Immunol*, 176(2), 880-8.

- Warger, T., Osterloh, P., Rechtsteiner, G., Fassbender, M., Heib, V., Schmid, B., i sar. (2006). Synergistic activation of dendritic cells by combined Toll-like receptor ligation induces superior CTL responses in vivo. *Blood*, 108(2), 544-50.
- Waskow C, Liu K, Darrasse-Jeze G, Guermonprez P, Ginhoux F, Merad M, i sar. (2008). The receptor tyrosine kinase Flt3 is required for dendritic cell development in peripheral lymphoid tissues. *Nat Immunol*, 9(6), 676-683.
- Weck MM, Appel S, Werth D, Sinzger, Bringmann A, i Grünebach F et al. (2008). hDectin-1 is involved in uptake and cross-presentation of cellular antigens. *Blood*, 111, 4264-4272.
- Williams RO, Marinova-Mutafchieva L, Feldmann M, i Maini RN. (2000). Evaluation of TNF-alpha and IL-1 blockade in collagen-induced arthritis and comparison with combined anti-TNF-alpha/anti-CD4 therapy. *J Immunol*, 165(12), 7240-7245.
- Willimann, K., Legler, D., Loetscher, M., Roos, R., Delgado, M., Clark-Lewis, i sar. (1998). The chemokine SLC is expressed in T cell areas of lymph nodes and mucosal lymphoid tissues and attracts activated T cells via CCR7. *Eur J Immunol*, 28(6), 2025-34.
- Willment JA, Marshall AS, Reid DM, Williams DL, Wong SY, Gordon S, i sar. (2005). The human beta-glucan receptor is widely expressed and functionally equivalent to murine Dectin-1 on primary cells. *Eur J Immunol*, 35(5), 1539-1547.
- Wilson HL, i O'Neill HC. (2003). Identification of differentially expressed genes representing dendritic cell precursors and their progeny. *Blood*, 102(5), 1661-1669.
- Wu L, i Dakic A. (2004). Development of dendritic cell system. *Cell Mol Immunol*, 1(2), 112-118.
- Wu L, Li CL, i Shortman K. (1996). Thymic dendritic cell precursors: relationship to the T lymphocyte lineage and phenotype of the dendritic cell progeny. *J Exp Med*, 184(3), 903-911.
- Wu L, Vremec D, Ardavin C, Winkel K, Suss G, Georgiou H, i sar. (1995). Mouse thymus dendritic cells: kinetics of development and changes in surface markers during maturation. *Eur J Immunol*, 25(2), 418-425.
- Wu Y, Zhu B, i Pan K. (2001). [Effect of human umbilical vein endothelial cells on granulopoiesis, erythropoiesis and megakaryopoiesis in mice]. *Hua Xi Yi Ke Da Xue Xue Bao*, 32(1), 66-69.
- Xiao, Z., Trincado, C., i Murtaugh, M. (2004). Beta-glucan enhancement of T cell IFNgamma response in swine. *Vet Immunol Immunopathol*, 102(3), 315-20.
- Xu S, Koski GK, Faries M, Bedrosian I, Mick R, Maeurer M, i sar. (2003). Rapid high efficiency sensitization of CD8+ T cells to tumor antigens by dendritic cells leads to

enhanced functional avidity and direct tumor recognition through an IL-12-dependent mechanism. *J Immunol*, 171 (5), 2251-2261.

Yang YC, Hsu TY, Lin RH, Su IJ, Chen JY, i Yang CS. (2002). Resistance to tumor necrosis factor-alpha-induced apoptosis in human T-lymphotropic virus type I-infected T cell lines. *AIDS Res Hum Retroviruses*, 18 (3), 207-212.

Yarovinsky F, Zhang D, Andersen JF, Bannenberg GL, Serhan CN, Hayden MS, i sar. (2005). TLR11 activation of dendritic cells by a protozoan profilin-like protein. *Science*, 308 (5728), 1626-1629.

Yokomaku Y, Miura H, Tomiyama H, Kawana-Tachikawa A, Takiguchi M, Kojima A, i sar. (2004). Impaired processing and presentation of cytotoxic-T-lymphocyte (CTL) epitopes are major escape mechanisms from CTL immune pressure in human immunodeficiency virus type 1 infection. *J Virol*, 78 (3), 1324-1332.

Yoshida A, Tanaka R, Murakami T, Takahashi Y, Koyanagi Y, Nakamura M, i sar. (2003). Induction of protective immune responses against R5 human immunodeficiency virus type 1 (HIV-1) infection in hu-PBL-SCID mice by intrasplenic immunization with HIV-1-pulsed dendritic cells: possible involvement of a novel factor of human CD4(+) T-cell origin. *J Virol*, 77 (16), 8719-8728.

Yoshimoto T, Takeda K, Tanaka T, Ohkusu K, Kashiwamura S, Okamura H, i sar. (1998). IL-12 up-regulates IL-18 receptor expression on T cells, Th1 cells, and B cells: synergism with IL-18 for IFN-gamma production. *J Immunol*, 161 (7), 3400-3407.

Yoshimura T, Atsunobu T, Shinjiro H, Yoshiyki M, Ichiko K, Tatsuro, i sar. (2006). Two-sided roles of IL-27: induction of Th1 differentiation on naive CD4+ T cells versus suppression of proinflammatory cytokine production including IL-23-induced IL-17 on activated CD4+ T cells partially through STAT3-dependent mechanism. *J Immunol*, 177, 5377-5385.

Yu, C., Peng, W., Oldenburg, J., Hoch, J., Bieber, T., Limmer, A., i sar. (2010). Human plasmacytoid dendritic cells support Th17 cell effector function in response to TLR7 ligation. *J Immunol*, 184 (3), 1159-67.

Zekovic DB, Kwiatkowski S, Vrvic MM, Jakovljevic D, i Moran CA. (2005). Natural and modified (1-->3)-beta-D-glucans in health promotion and disease alleviation. *Crit Rev Biotechnol*, 25 (4), 205-230.

Zhang D, Zhang G, Hayden MS, Greenblatt MB, Bussey C, Flavell RA, i sar. (2004). A toll-like receptor that prevents infection by uropathogenic bacteria. *Science*, 303 (5663), 1522-1526.

Zheng, R., Cohen, P., Paustian, C., Johnson, T., Lee, W., Shu, S., i sar. (2008). Paired Toll-like receptor agonists enhance vaccine therapy through induction of interleukin-12. *Cancer Res*, 68(11), 4045-9.

Zhu, Q., Egelston, C., Vivekanandhan, A., Uematsu, S., Akira, S., Klinman, D., i sar. (2008). Toll-like receptor ligands synergize through distinct dendritic cell pathways to induce T cell responses: implications for vaccines. *Proc Natl Acad Sci U S A*, 105(42), 16260-5.

Zimmerman JW, Lindermuth J, Fish PA, Palace GP, Stevenson TT, i DeMong DE. (1998). A novel carbohydrate-glycosphingolipid interaction between a beta-(1-3)-glucan immunomodulator, PGG-glucan, and lactosylceramide of human leukocytes. *J Biol Chem*, 273(34), 22014-22020.

Zou, G., i Tam, Y. (2002). Cytokines in the generation and maturation of dendritic cells: recent advances. *Eur Cytokine Netw*, 13(2), 186-99.

8. PRILOZI

Rezultati prikazani u disertaciji su objavljeni u sledećim člancima:

1. **Ana Dragičević**, Tanja Džopalić, Saša Vasiljić, Dragana Vučević, Biljana Božić, Ivana Majstorović, Bela Balint, Miodrag Čolić. The influence of CD40 ligation and interferon- γ on functional properties of human monocyte derived dendritic cells matured with polyinosinic-polycytidylic acid. *Vojnosanitetski pregled* 2011;68(4): 301-308.
2. Tanja Džopalić, Ivan Rajković, **Ana Dragičević**, Miodrag Čolić. The response of human dendritic cells to co-ligation of pattern-recognition receptors. *Immunol Res.* 2012; DOI: 10.1007/s12026-012-8279-5.
3. **Ana Dragičević**, Tanja Džopalić, Saša Vasiljić, Dragana Vučević, Sergej Tomić, Biljana Božić, Miodrag Čolić. Signaling through Toll-like receptor 3 and Dectin-1 potentiates the capability of human monocyte-derived dendritic cells to promote T-helper 1 and T-helper 17 immune responses. *Cytotherapy*. 2012; DOI:10.3109/14653249.2012.667873.



The influence of CD40 ligation and interferon- γ on functional properties of human monocyte-derived dendritic cells activated with polyinosinic-polycytidylic acid

Uticaj povezivanja CD40 molekula i interferona- γ na funkcionalna svojstva dendritičnih ćelija monocitnog porekla aktivisanih poliinosinsko-policitidilinskom kiselinom

Ana Dragičević*, Tanja Džopalić†, Saša Vasiljić*, Dragana Vučević*,
Biljana Božić*, Ivana Majstorović*, Bela Balint†, Miodrag Čolić†

Military Medical Academy, *Institute for Medical Research, †The Transfusion Institute,
Belgrade, Serbia; §University of Niš, School of Medicine, Niš, Serbia

Abstract

Background/Aim. Ligation of a Toll-like receptor (TLR) by specific TLR agonists is a powerful tool for maturation induction of monocyte-derived dendritic cells (MoDCs). Studies so far have shown that the treatment of dendritic cells (DCs) with a TLR3 ligand, polyinosinic-polycytidylic acid [Poly(I:C)], may be an appropriate activation agent for obtaining mature MoDCs, competent to prime effective immune responses. However, little is known about how subsequent interaction of MoDCs with T cell-derived stimuli, such as CD40 or interferon- γ (IFN- γ), modulates MoDC functions. Therefore, this problem was the main objective of this study. **Methods.** Immature MoDCs were prepared by cultivation of monocytes from peripheral blood mononuclear cells with granulocyte-macrophage-colony stimulating factor (GM-CSF) and interleukin (IL)-4 for 5 days. After that, maturation was induced by the treatment of these cells with Poly(I:C) for 2 days. At day 6, immature MoDCs and Poly(I:C)-activated MoDCs were incubated either with CD40 ligand (L)-transfected J558 cells or IFN- γ for additional 24 hours. Cytokine production was measured by ELISA and FlowCytomix Human T helper Th1/Th2 11plex. Allostimulatory capability of MoDCs was tested using an allogeneic mixed leukocyte reaction (MLR) assay. **Results.** Immature MoDCs showed a moderate potential for stimulation of proliferation of CD40⁺ T cells, which was enhanced by the treatment with Poly(I:C). Ligation of CD40 or treatment with IFN- γ of immature or Poly(I:C)-treated MoDCs significantly up-regulated their allostimulatory activity. MoDCs matured in

the presence of Poly(I:C) up-regulated the production of IL-12 and IL-10, which was followed by increased levels of IFN- γ and decreased levels of IL-5 in co-cultures with allogeneic CD40⁺ T cells. Ligation of CD40 on immature MoDCs up-regulated the production of IL-12 and IL-23 which was accompanied by increased secretion of IFN- γ in co-culture. Stimulation of CD40 on Poly(I:C)-treated MoDCs significantly enhanced the production of IL-12, IL-23 and IL-10. However, such treated MoDCs decreased the production of IFN- γ and IL-10 and up-regulated the secretion of IL-17. Immature MoDCs treated with IFN- γ up-regulated IL-12, but lowered the production of IL-5 and IL-17 by CD40⁺ T cells. Treatment of Poly(I:C)-activated MoDCs with IFN- γ down-regulated the production of IL-12 and up-regulated IL-10 by these cells and increased/decreased the levels of IL-10/IFN- γ , respectively, in co-culture with CD40⁺ T cells. **Conclusion.** Treatment with Poly(I:C) or ligation of CD40 on immature MoDCs induces maturation of these cells into a phenotype that supports Th1 response. Activation of CD40 on Poly(I:C)-treated MoDCs shifts the immune response towards Th17. Treatment of immature MoDCs with IFN- γ down-regulated Th2 and Th17 responses. However, addition of IFN- γ to Poly(I:C)-activated MoDCs down-regulated Th1 response and promote T regulatory mechanisms. Each of these results may have functional and therapeutic implications.

Key words:
dendritic cells; CD40 ligand; interferon-gamma; poly I-C.

Apstrakt

Uvod/Cilj. Poliinosinsko-policitidilinska kiselina [Polyinosinic-polycytidylic acid – Poly (I:C)] stimuliše funkcional-

no i fenotipsko sazrevanje dendritičnih ćelija (DC). Međutim, malo je podataka o modulaciji funkcije DC tokom interakcije sa T-limfocitima posredovanoj receptorom CD40 i interferonom- γ (IFN- γ), što je bio cilj ovog istraživanja.

Correspondence to: Miodrag Čolić, Military Medical Academy, Institute for Medical Research, Crnotravska 17, 11 002 Belgrade, Serbia
Phone: +381 11 2662 722 E-mail: vmaini@unet.rs

Metode. Nezrele DC dobijene su kultivacijom monocita (Mo) iz periferne krvi u prisustvu faktora stimulacije granulocito-makrofagnih kolonija (*Granulocyte-Macrophage Colony-Stimulating Factor – GM-CSF*) i interleukina (IL)-4 tokom pet dana. Sazrevanje je indukovano dvodnevnom inkubacijom MoDC sa Poli(I:C). Poslednja 24 časa, nezrele i zrele MoDC kultivisane su sa celijama J558 koje su transfektovane ligandom CD40 ili u prisustvu IFN- γ . Producija citokina određivana je ELISA metodom, a alostimulatorna sposobnost u mešanoj leukocitnoj kulturi. **Rezultati.** Stimulacija nezrelih MoDC sa Poli(I:C) povećala je sekreciju IL-12, njihovu alostimulatornu sposobnost i produkciju IFN- γ u kokulturi sa CD4 $^+$ T limfocitima. Slični rezultati dobijeni su povezivanjem CD40 molekula ili tretiranjem nezrelih MoDC sa IFN- γ . Međutim, stimulacija CD40 molekula na MoDC koje su aktivisane sa Poli(I:C) povećala je produkciju IL-12, IL-23 i IL-10 što je pospešilo produkciju IL-17, a snizilo produkciju

IFN- γ i IL-10 u MoDC/CD4 $^+$ kokulturi. Suprotno tome, IFN- γ snizio je produkciju IL-12, a povećao produkciju IL-10 od strane MoDC aktivisanih sa Poli(I:C), što je bilo povezano sa smanjenjem IFN- γ , a porastom nivoa IL-10 u celjskoj kokulturi. **Zaključak.** Poli(I:C), IFN- γ i povezivanje CD40 molekula su aktivatori sazrevanja MoDC i stimulatori Th1 imunog odgovora. Ligacija CD40 molekula na MoDC aktivisanim sa Poli(I:C) usmerava u pravcu Th17, a inhibira Th1 imuni odgovor. U istom modelu IFN- γ inhibira Th1 odgovor, a stvarajući imunoregulatorne mehanizme. Svaki od dobijenih rezultata može imati specifične funkcione ili terapeutске implikacije.

Ključne reči:
celije, dendritične; CD40 ligand; interferon-gama;
poli I-C.

Introduction

Dendritic cells (DCs) are bone marrow-derived cells that function as antigen-presenting cells (APCs). Immature DCs in the periphery capture and process antigens and have a low T cell stimulatory capability. These potent APCs express a wide variety of pattern recognition receptors (PRRs) by which they recognize a conserved groups of molecules, collectively known as molecular patterns (MPs). Activation of PRRs triggers signaling pathways resulting in phenotypic changes and functional maturation of DCs. An important group of PRRs are Toll-like receptors (TLRs) which are crucial proteins that link innate and adaptive immunity¹.

Upon encounter inflammatory cytokines, bacterial or viral products, DCs enter a crossroad where their fate, migratory type or cytokine-producing type is determined. At this stage DCs express costimulatory molecules, migrate to lymphoid organs and secrete cytokines to initiate immune responses^{2,3}. Inflammatory and innate cytokines create the environment in which antigen-specific adaptive T cells expand and differentiate into different effector CD4 $^+$ T cells such as T helper (Th1, Th2, Th17) and various subsets of T cells with regulatory activities (Tregs)⁴.

Dendritic cells are also important in antitumor immunity and DC-based cancer vaccines have given the encouraging results⁵. Human monocyte-derived DCs (MoDCs) are currently the major source of DCs used in clinical vaccination protocols for the treatment of cancer⁶. MoDCs can be easily prepared by plastic adherence of monocytes from peripheral blood mononuclear cells (PBMCs) and subsequent incubation of the cells for several days in granulocyte macrophage-colony stimulating factor (GM-CSF) and interleukin (IL)-4 containing medium⁷. *In vivo*, human DCs have been shown to be more efficient than immature DCs in inducing specific antitumor antigen proliferative and cytotoxic T cell responses^{8,9}. Therefore, an important goal in immunotherapy is to identify an optimal protocol for DC maturation. *In vitro* generated mature DCs should produce IL-12 after migration to the lymph nodes and upon subsequent

contact with T cell in order to stimulate Th1 immune response and thus maximize clinical efficacy¹⁰.

Ligation of different TLRs by specific TLR agonists is a powerful tool for induction of DC maturation both *in vitro* and *in vivo*. Polyinosinic-polycytidyllic acid – Poly(I:C), a synthetic analogue of dsRNA and a TLR3 agonist, triggers the maturation of MoDCs into a phenotype that strongly supports the Th1 responses¹¹. Poly(I:C)-treated DCs show a mature phenotype with high expression of costimulatory molecules and a maturation marker, CD83¹². Therefore, Poly(I:C) may be an appropriate maturation agent for obtaining stable homogenous mature DCs that are potentially competent to prime effective immune responses *in vivo*. This is supported by the experiments showing that such treated DCs retain the ability to secrete bioactive IL-12 in lymph nodes which is initiated during the *ex vivo* maturation step¹⁰.

CD40 is a cell surface receptor that belongs to the tumor necrosis factor-R (TNF-R) family. Ligation of CD40 on DCs plays an important role in an enhanced survival of these cells, secretion of cytokines and enzymes as well as in enhanced tumorcidal activity and NO synthesis. CD40 ligand (CD40L), is mainly expressed on activated CD4 $^+$ T cells. CD40:CD40L interaction has shown the complexity and importance in T cell-dependent humoral immune responses, in acquired cellular immune responses as well as in innate immunity. DC:T-cell interaction via CD40:CD40L upregulates the expression of costimulatory and adhesion molecules on DCs and triggers DCs to secrete IL-12^{13,14}. These data suggest that ligation of CD40 on DCs may be an additional way to enhance IL-12 production and Th1 immune response. So far, therapies targeting CD40 have been designed to trigger CD40 signaling and thus boost the immune response against tumor. It should be noted that biologically relevant production of IL-12 by DCs is not induced by CD40 engagement alone but requires a second signal¹⁵ which can be provided by other stimuli such as IFN- γ , a key Th1 cytokine.

Interferon- γ is one of the most powerful DC potentiating agent. This cytokine, which is produced by natural killer (NK) and by Th1 cells^{16,17} promotes specific cytotoxic im-

munity by up-regulation of costimulatory and adhesion molecules, chemokines, antigen processing and presentation. IFN γ is a necessary costimulus for IL-12 production in MoDCs¹⁵ and this amplification may be important in stabilization of the Th1 response.

Dendritic cells constantly receive multiple signals and need to integrate them to give a response appropriate to extracellular milieu. The involved factors (TLR3 ligand, CD40L, IFN- γ) may be of crucial importance for modulation of *ex vivo* generated DCs. However, little is known whether their combination may act synergistically or antagonistically on DC functions and this scientific problem was the principle aim of this study.

Methods

Medium and reagents

Human MoDCs were cultured in RPMI 1640 medium (ICN, Costa Mesa, CA, USA) supplemented with 2 mM L-glutamine, 20 μ g/mL gentamicin, 50 μ M 2-mercaptoethanol (2-ME) and 10% heat inactivated fetal calf serum (FCS). Recombinant human IL-4 was purchased from Roche Diagnostics GmbH (Mannheim, Germany). Recombinant human GM-CSF (Leucomax, spec. activity 4.44×10^6 UI) was obtained from Schering-Plough (Basel, Switzerland). Final concentrations of Poly(I:C) (Sigma-Aldrich, Munich, Germany) and IFN- γ (R&D Systems, Minneapolis, USA) were 25 μ g/mL and 5 ng/mL, respectively. The number of CD40L-expressing J558 cells was 1.8×10^6 /mL.

Cell preparation and MoDC cultures

MoDCs were generated from PBMCs. Briefly, PBMCs from buffy coats of six healthy volunteers were isolated by density centrifugation on Lymphoprep gradient (Nycomed, Oslo, Norway), resuspended in 5 mL of 10% FCS with 2-ME in RPMI medium and allowed to adhere to plastic flasks. After 2 h at 37°C, non-adherent cells were removed and adherent cells were cultured in 5 mL of control medium containing GM-CSF (100 ng/mL) and IL-4 (20 ng/mL). At day 3, 2.5 mL of medium was removed and replaced by the same volume of fresh medium containing GM-CSF and IL-4. After 6 days MoDCs were replated (5×10^5 cells/mL) in medium with a GM-CSF/IL-4 and Poly(I:C). At day 7, half of each of these cultures were incubated with J558 cells or with IFN- γ for additional 24 hours. After 8 days, cell-free supernatants were collected and stored at -20°C for the subsequent determination of cytokine levels.

Allogeneic T-cell activation

The ability of T cells to proliferate was tested in an allogeneic mixed leukocyte reaction (MLR). CD4 $^+$ T cells were used as responders in MLR, after their isolation from PBMCs using immunomagnetic sorting with CD4 $^+$ isolation kits (MACS technology, Myltenyi Biotec, Bergish Gladbach, Germany) following instructions of the manufacturer. After loading the cell suspension onto a column placed in the magnetic field of a MACS Separator, unlabeled cells run through and this cell fraction consists mainly of the CD4 $^+$ T-cell sub-

set as determined by flow cytometry using an anti-CD4 FITC (Serotec, Oxford, UK).

Purified CD4 $^+$ T cells (1×10^5 cells/well) were cultivated for 5 days with different numbers of allogeneic MoDCs in complete RPMI medium with 10% FCS in 96-well round-bottomed cell culture plates. Different DC: T cells ratios were used. To assess cell proliferation, cells were pulsed with [3 H]-thymidine for the last 18 h (1 μ Ci/well, Amersham, Books, UK). Labeled cells were harvested onto glass fiber filters and the incorporation of the radionuclide into DNA was further measured by β -scintillation counting (LKB-1219 Rackbeta, Finland). Results were expressed as count per minute (cpm) \pm SD of triplicates.

Cytokine assays

After 8 days MoDCs were treated with PMA (20 ng/mL) and ionomycin (500 ng/mL) for 8 hours to stimulate excretion of the synthesized cytokines. A similar procedure was used for stimulation of MoDC/CD4 $^+$ T cell coculture after a 5 day incubation period. Cells were harvested, centrifuged and cell-free supernatants were collected and stored at -20°C for the subsequent determination of cytokine levels. The levels of IL-12p70, IL-23, IL-17 and IL-10 were measured by sandwich ELISA assays from R&D Systems (Minneapolis, USA), following the manufacturer's instructions. The levels of IFN- γ and IL-5 cytokines were evaluated using FlowCytomix Human Th1/Th2 11plex Kit from Bender MedSystems (Vienna, Austria).

Statistical analysis

Data were analyzed for significant differences using Student's paired *t*-test ($p < 0.05$ was considered statistically significant).

Results

Effects of CD40 ligation and IFN- γ treatment on the cytokine production by MoDCs

Immature MoDCs were generated by incubating monocytes with GM-CSF and IL-4 for 5 days. After that, maturation was induced by the treatment of these cells with Poly(I:C) for 2 days. At day 6 immature MoDCs and MoDCs induced to mature with Poly(I:C) were incubated either with CD40L-transfected J558 cells or IFN- γ for additional 24 hours. The levels of IL-12, IL-23 and IL-10 were detected in culture supernatants.

The results presented in Figure 1 show that immature MoDCs produced a very small quantity of all three cytokines. Poly(I:C) treatment significantly enhanced the production of IL-12 and IL-10, whereas the production of IL-23 was not significantly changed. Ligation of CD40 on immature DCs was followed by up-regulation of IL-12 and IL-23. However, such treatment of Poly(I:C)-stimulated MoDCs resulted in about 2-fold, 20-fold and 3-fold increase in the production of IL-12, IL-23 and IL-10, respectively. The addition of IFN- γ to immature MoDCs exerted similar stimulatory effect on IL-12 production, as Poly(I:C) did. No significant effect was observed regarding IL-23 and

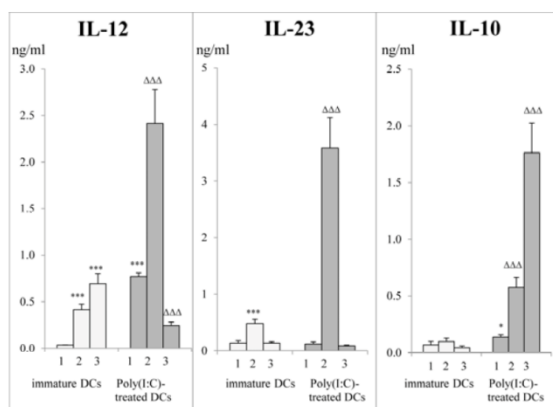


Fig. 1 - Cytokine production by immature human monocyte-derived dendritic cells (MoDCs) and polyinosinic-polycytidylic acid – Poly(I:C)-treated MoDCs activated by CD40 ligation and interferon (IFN- γ)

Supernatants of immature and Poly(I:C)-treated MoDCs challenged with CD40L-transfected J558 cells or IFN- γ were collected and processed to determination of cytokine levels using sandwich ELISA assays.

Data represent mean values of six different experiments \pm standard deviations (six donors).

Treatment: 1- control; 2- +CD40L; 3- +IFN- γ

* $p < 0.05$, ** $p < 0.005$ compared with immature MoDCs

ΔΔΔ $p < 0.005$ compared with Poly(I:C)-treated MoDCs

IL-10 production. However, the addition of IFN- γ to the cultures of Poly(I:C)-treated MoDCs down-regulated the production of IL-12 and subsequently up-regulated (7-fold increase) the production of IL-10.

Effects of CD40 ligation and IFN- γ treatment on the allostimulatory activity of MoDCs

The influence of CD40 ligation and IFN- γ on the allostimulatory potential of immature and Poly(I:C)-treated MoDCs was examined in a MLR, where allogeneic CD4 $^{+}$ T-cells were used as responders. The results are presented in Figure 2.

Immature MoDCs showed a moderate potential for stimulation of CD4 $^{+}$ T-cell proliferation, which progressively decreased with lowering the number of DCs as stimulators. MoDCs matured in the presence of Poly(I:C) enhanced the allostimulatory activity of MoDCs at the highest (1 : 10) DC:CD4 $^{+}$ T-cells ratio. Ligation of CD40 on immature MoDCs or IFN- γ treatment of these cells was followed by significant up-regulation in their allostimulatory activity. Such treatment of Poly(I:C)-activated MoDCs additionally enhanced the proliferation of allogeneic CD4 $^{+}$ T-cells.

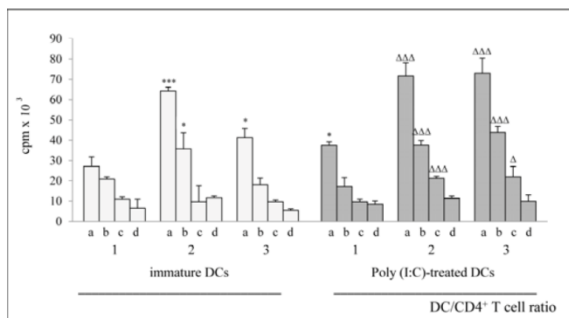


Fig. 2 - Allostimulatory activity of immature human monocyte-derived dendritic cells (MoDCs) and polyinosinic-polycytidylic acid – Poly(I:C)-treated MoDCs stimulated with CD40L-transfected J558 cells and interferon (IFN- γ)

The ability of CD4 $^{+}$ T cells to proliferate was tested in allogeneic mixed leukocyte reaction. Different ratios of MoDC/CD4 $^{+}$ T cells were used (a-1:10; b- 1:20; c- 1:40; d- 1:80). After five days of culture cells were pulsed with [3 H] thymidine (1 μ Ci/well) for the last 18 h. Incorporation of the radionuclide into DNA was measured by β -scillation counting.

Data represent the mean value of triplicates \pm standard deviations.

Treatment: 1- control; 2- +CD40L; 3- +IFN- γ .

* $p < 0.05$, ** $p < 0.005$ compared with control immature MoDCs

ΔΔΔ $p < 0.005$ compared with control Poly(I:C)-treated MoDCs

Effects of CD40 ligation and IFN- γ treatment on the Th polarization capability of MoDCs

The effect of MoDCs on the polarization of Th immune responses was measured by production of cytokines in DC/CD4 $^{+}$ T-cell co-cultures.

As shown in Figure 3 treatment of MoDCs with Poly(I:C) up-regulated the production of Th1 cytokine

in our previous study ¹⁹ and numerous other publications ^{10, 12, 20, 21} that such MoDCs are immature, triggered moderate allogeneic T cell response in MLR and produced low levels of IL-12 and IL-23, dominant Th1 and Th17 polarizing cytokines, respectively. Such characteristics are in accordance with the knowledge that the capacity of immature DCs to stimulate the immune response is rather weak and thus limits their clinical efficacy, especially as tumor vaccines ²².

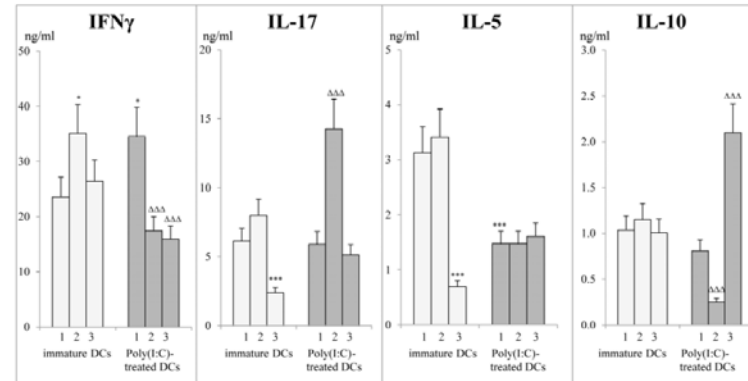


Fig. 3 - Polarization of Th immune response by immature human monocyte-derived dendritic cells (MoDCs) and polyinosinic-polycytidyl acid – Poly(I:C)-treated MoDCs activated with CD40L-transfected cells and interferon (IFN)- γ
Production of cytokines in MoDC/CD4 $^{+}$ T-cell cocultures was measured using sandwich ELISA assays and FlowCytomix Human Th1/Th2 11plex. Data represent mean values of three experiments \pm standard deviations (three donors). Similar differences between groups were obtained with three other donors. However, the levels of all cytokines in these cultures were significantly lower (data not shown).

Treatment: 1 - control; 2 - +CD40L; 3 - +IFN- γ .

* $p < 0.05$, *** $p < 0.005$ compared with control immature MoDCs

ΔΔΔ $p < 0.005$ compared with control Poly(I:C)-treated MoDCs

(IFN- γ), and down-regulated the production of Th2 cytokine (IL-5), while the levels of IL-17 and IL-10 were not changed. Treatment of immature MoDCs with CD40L-transfected cells exerted similar effect on cytokine production as Poly(I:C) did, except that the production of IL-5 was not significantly changed. In contrast, ligation of CD40 on Poly(I:C)-treated DCs enhanced Th17 response and down-regulated Th1 response and production of IL-10. The addition of IFN- γ to immature MoDCs showed no significant effect on the production of IFN- γ , but lowered the production of IL-17 and IL-5. IFN- γ treatment of MoDCs, matured in the presence of Poly(I:C), significantly enhanced the levels of IL-10 and decreased production of IFN- γ , whereas the secretion of IL-17 and IL-5 was not significantly modulated.

Discussion

Dendritic cells are professional APCs with an unique ability to prime naive T cells upon antigen presentation, regulate the type of T cell-mediated immune response, but also to induce immunological tolerance ¹⁸. In our study we generated DCs *in vitro* from peripheral blood monocytes with GM-CSF and IL-4. It has been confirmed, similarly as

Poly(I:C) is a synthetic analog of double-stranded RNA that binds to TLR3, a PRR highly expressed in immature MoDCs ²³. This TLR3 agonist behaves like MP and upon binding to TLR3 signals the presence of infectious agent, followed by activation of DCs and induction of protection to viral cytopathic effects ¹¹. Activation of DCs leads to induction of inflammatory cytokines and activation of IFN- β promoter, NF- κ B and MAP kinases through engagement of the TRIF adaptor protein that cause DCs to mature ^{24, 25}. It is known that Poly(I:C) induces phenotypic maturation of MoDCs by up-regulation of co-stimulatory molecules (CD80, CD86 and CD40), and maturation marker, CD83 ^{10, 12}. This could be a dominant mechanism of increased allostimulatory activity of Poly(I:C)-treated MoDCs in our experiments. Poly(I:C) is also a very potent stimulator of IL-12 production and subsequent activator of the Th1 immune response both *in vitro* and *in vivo*, the properties desirable for induction of anti-tumor immunity ²⁶. This is confirmed in our present study, too. Therefore, Poly(I:C) may be an appropriate maturation agent for obtaining stable homogenous mature DCs that are potentially competent to prime effective immune responses *in vivo*. This is also supported by the experiments showing that Poly(I:C)-treated DCs retain the ability to secrete bioactive IL-12 in lymph

nodes which is initiated during the *ex vivo* maturation step¹⁰. We also showed that Poly(I:C)-treated MoDCs down-regulated the Th2 immune response, whereas the Th17 immune response was not significantly changed. Down-regulation of Th2 immune response is in agreement with the current concept of reciprocal regulation of Th1/Th2 balance²⁷.

Ligation of CD40 on DCs plays an important role in maturation and functional modulation of these cells^{28, 29}. We used a CD40L-transfected cell line to simulate CD40:CD40L bidirectional crosstalk between DCs and T cells that provides reciprocal regulation of both lymphocytes and DCs^{28, 29}. We showed that ligation of CD40 on immature or Poly(I:C)-treated MoDCs significantly up-regulated their allostimulatory activity, most probably as a consequence of increased expression of adhesion and co-stimulatory molecules, such as ICAM-1, HLA-DQ, CD80 and CD86³⁰. It has already been shown that the engagement of CD40 on immature MoDCs as a single signal induces high levels of Th1 polarizing cytokine IL-12¹⁵ and subsequent production of IFN-γ. We confirmed such results in our study. Moreover, we demonstrated that ligation of CD40 on immature MoDCs was followed by an increased production of IL-23 and IL-17, a phenomenon that has not been described so far. The production of IL-17 was additionally enhanced following ligation by CD40 on Poly(I:C)-treated MoDCs. IL-17 is a signature cytokine of the Th17 subset of CD4⁺ T cells, whose expansion and maturation is promoted by IL-23³¹. The Th17 immune response was potentiated after ligation of CD40 on Poly(I:C)-treated MoDCs, but this was followed by down-regulation of Th1 immune response.

Th1 cells were considered as the most important CD⁺ T cell subset for generating antitumor immunity because of their potential to enhance cytotoxic function of CD8⁺ cells by producing IFN-γ, as a key activating factor. Recent publications shed new light on potential benefits of Th17 cells in rejection of tumors^{32, 33}. Although first it was considered that the effects of Th17 cells were dependent on IFN-γ and independent of IL-17 and IL-23, due to conversion of Th17 to Th1³², the protective function of Th17 cells, with maintained cytokine expression profile, against tumors have been confirmed³³. The properties of Th17 cells, such as the ability to enhance inflammatory responses and to increase antigen presentation by DCs, promotion of leukocyte homing to tumors, facilitation of CD8⁺ T cell priming and effector differentiation offer new possibilities for developing the Th17 cell-based therapy for tumors. Regarding the results of our study which are consistent with new insights of tumor immunotherapy, Poly(I:C) together with CD40 ligation generates desirable CD4⁺ T cell subsets with suitable cytokine miles for the treatment of tumors. However, such hypothesis needs further testings *in vivo* because we showed that signaling through CD40 on Poly(I:C)-treated MoDCs decreased the Th1 immune response. At the moment it is not known whether such balance between Th1 and Th17 immune response is optimal for antitumor immune response or not. It is known that the Th1 type of immune response could be harmful if exaggerated³⁴ and thus CD40 signaling could be protective and immunomodulatory.

Interferon-γ is classified as type II IFN in accordance with its receptor specificity and sequence homology³⁵. IFNs were initially described as agents that interfere with viral replication³⁶. IFN-γ is produced by NK cells and possibly by APCs during the early course of infection, while T lymphocytes became a major source of this cytokine in the adaptive immune response³⁷. Cytokine increases antigen processing, presentation and APC costimulatory molecules³⁵. We showed in this work that the treatment of immature or Poly(I:C)-activated MoDCs with IFN-γ also enhanced the proliferative activity of allogeneic CD4⁺ T cells. The allostimulatory potential of MoDCs decreased by lowering the DC:CD4⁺ T cell ratio. At higher ratios MoDCs showed lesser proliferative capability. One explanation could be that stimulatory effects of costimulatory and adhesion molecules and suitable levels of IL-12 are abrogated by low numbers of producing cells.

A significant finding of this study was related to the dual role of IFN-γ on IL-12 production: stimulation by immature MoDCs; suppression by Poly(I:C)-treated MoDCs. The increased production of IL-12 was followed by increased IFN-γ production and down-regulation of IL-5 and IL-17 production by CD4⁺ T cells in co-culture. Up-regulation of IL-12 by immature MoDCs is in agreement with previous results¹⁷. The produced IL-12 attracts and activates T cells and NK cells to produce IFN-γ¹⁴ which, in return, stimulates further production of IL-12 by amplifying loop. Down-regulation of IL-5 production could be explained by reciprocal regulation of Th1 and Th2 immune response²⁷ and by direct inhibitory effect of IFN-γ on the growth of Th2 cells³⁵. The reason why IFN-γ-treated MoDCs inhibited IL-17 production without significant changes of IL-23 production is not clear. Since IL-23 predominantly acts on already differentiated Th17 cell subset³¹, it is possible that IFN-γ-treated MoDCs inhibited the differentiation of Th17⁺ cells by modulating the production of Th17 differentiation cytokines such as TGF-β, IL-1β, IL-6 and IL-21³⁸. Therefore, this hypothesis should be tested in the next experiment.

The inhibition of IL-12 production and stimulation of IL-10 production by IFN-γ- and Poly(I:C)-treated MoDCs is an important finding which could be relevant for down-regulation of Th1 immune response and promotion of an IL-10-mediated immunoregulatory milieu. It is not completely clear whether IFN-γ primarily acts on down-regulation of IL-12 by Poly(I:C)-activated MoDCs or on up-regulation of IL-10 production. It is known that IL-10 is a potent anti-inflammatory and immunosuppressive cytokine that inhibits the production of IL-12 by MoDCs³⁹. Therefore, IL-10 is a very important cytokine for self-limiting Th1 cell-mediated immunopathology in conditions of strong inflammatory stimuli^{40, 41}.

Recently it has been shown that IFN-γ, beside amplifying production of pro-inflammatory cytokines during activation of DCs, also triggers an immunosuppressive enzyme indoleamine 2,3-dioxygenase (IDO) activity in DCs⁴². It is known that IDO⁺ DCs exert immunoregulatory potential which is important for down-regulation of the immune response⁴³. In addition, cytokine can also induce the development of adaptive

regulatory T cells⁴². Cumulatively, our results support the concept that IFN- γ , as a dominant Th1 effector cytokine, with the pro-inflammatory properties could be also an important down-regulator of strong immune response.

Conclusion

Treatment with Poly(I:C) or ligation of CD40 on immature MoDCs induced maturation of these cells into a phenotype that supports Th1 response. Activation of CD40 on Poly(I:C)-treated MoDCs shifted the immune response towards Th17. Treatment of immature MoDCs with IFN- γ

down-regulated Th2 and Th17 responses. However, addition of IFN- γ to Poly(I:C)-treated MoDCs down-regulated Th1 response and promoted immunoregulatory mechanisms by induction of IL-10, thus limiting the exaggerated and potentially harmful immune response.

Acknowledgments

This work was supported by the grant (VMA/06-10/A.5) of the Military Medical Academy, Belgrade and the Ministry of Science and Technological Development of the Republic of Serbia (project number 175102).

R E F E R E N C E S

1. Akira S, Takeda K, Kaisho T. Toll-like receptors: critical proteins linking innate and acquired immunity. *Nat Immunol* 2001; 2(8): 675–80.
2. Cella M, Salustro F, Lanzavecchia A. Origin, maturation and antigen presenting function of dendritic cells. *Curr Opin Immunol* 1997; 9(1): 10–6.
3. Banchereau J, Steinman RM. Dendritic cells and the control of immunity. *Nature* 1998; 392(6673): 245–52.
4. Lyakr L, Trinchieri G, Proveggli L, Cara G, Gerosa F. Regulation of interleukin-12/interleukin-23 production and the T-helper 17 response in humans. *Immunol Rev* 2008; 226: 112–31.
5. Gilboa E. DC-based cancer vaccines. *J Clin Invest* 2007; 117(5): 1195–203.
6. Jefford M, Maraskovsky E, Cebon J, Davis ID. The use of dendritic cells in cancer therapy. *Lancet Oncol* 2001; 2: 343–53.
7. Salustro F, Lanzavecchia A. Efficient presentation of soluble antigen by cultured human dendritic cells is maintained by granulocyte/macrophage colony-stimulating factor plus interleukin 4 and downregulated by tumor necrosis factor alpha. *J Exp Med* 1994; 179(4): 1109–18.
8. Jonuleit H, Schmitt E, Steinbrink K, Enk AH. Dendritic cells as a tool to induce anergic and regulatory T cells. *Trends Immunol* 2001; 22(7): 394–400.
9. de Vries IJ, Eggert AA, Scharenborg NM, Vissers JL, Lesterhuis WJ, Boerman OC, et al. Phenotypic and functional characterization of clinical grade dendritic cells. *J Immunother* 2002; 25(5): 429–38.
10. Ronai R, Lewalle P, El Ouriahi F, Nowak B, Duvalier H, Martiat P. Poly(I:C) used for human dendritic cell maturation preserves their ability to secondarily secrete bioactive IL-12. *Int Immunol* 2004; 16(5): 767–73.
11. Cella M, Saito M, Sakakibara Y, Langen H, Jalkanen I, Lanzavecchia A. Maturation, activation, and protection of dendritic cells induced by double-stranded RNA. *J Exp Med* 1999; 189(5): 821–9.
12. Verdijk RM, Mutis T, Esendam B, Kamp J, Melief CJ, Brand A, et al. Polyribonucleic polyribocytidyl acid (poly(I:C)) induces stable maturation of functionally active human dendritic cells. *J Immunol* 1999; 163(1): 57–61.
13. van Kooten C, Banchereau J. CD40-CD40 ligand. *J Leukoc Biol* 2000; 67(1): 2–17.
14. Walzer T, Dalod M, Robbins SH, Zitvogel L, Vivier E. Natural killer cells and dendritic cells: "l'union fait la force". *Blood* 2005; 106(7): 2252–8.
15. Snijders A, Kalinski P, Hilken CMU, Kapsenberg ML. High-level IL-12 production by human dendritic cells requires two signals. *Int Immunol* 1998; 10(11): 1593–7.
16. Caron G, Duluc D, Frémont I, Jeannin P, David C, Gascan H, et al. Direct stimulation of human T cells via TLR5 and
- TLR7/8: flagellin and R-848 up-regulate proliferation and IFN- γ production by memory CD4+ T cells. *J Immunol* 2005; 175: 1551–7.
17. Boudart AC, Aamzgen EH, Verdijk P, Jacobs JF, Schuurhuis DH, Benito-Riba D, et al. Maturation of monocyte-derived dendritic cells with Toll-like receptor 3 and 7/8 ligands combined with prostaglandin E2 results in high interleukin-12 production and cell migration. *Cancer Immunol Immunother* 2008; 57(11): 1589–97.
18. Banchereau J, Briere F, Cauchy G, Davoust J, Lebon S, Lin YJ, et al. Immunobiology of dendritic cells. *Annu Rev Immunol* 2000; 18: 767–811.
19. Čolić M, Jandrić D, Šojoč-Vukanović Z, Antić-Stanković J, Popović P, Vasiljević S, et al. Differentiation of human dendritic cells from monocytes in vitro using granulocyte-macrophage colony stimulating factor and low concentration of interleukin-4. *Vojnosanit Pregl* 2003; 60(5): 531–8.
20. Lapointe R, Tsoo JF, Butts C, Young HA, Hwu P. Human dendritic cells require multiple activation signals for the efficient generation of tumor antigen-specific T lymphocytes. *Eur J Immunol* 2000; 30(11): 3291–8.
21. Rover RE, Xu S, Xu M, Koldovský U, Kostka G, Čermáček B, et al. Differential production of IL-23 and IL-12 by myeloid-derived dendritic cells in response to TLR agonists. *J Immunol* 2008; 181(7): 5120–7.
22. McIlroy D, Gregoire M. Optimizing dendritic cell-based anticancer immunotherapy: maturation state does have clinical impact. *Cancer Immunol Immunother* 2003; 52(10): 583–91.
23. Maczko M, Bosio D, Polentarutti N, D'Amico G, Stoppacciaro A, Mancinelli R, et al. Differential expression and regulation of toll-like receptors (TLR) in human leukocytes: selective expression of TLR3 in dendritic cells. *J Immunol* 2000; 164(11): 5998–6004.
24. Alexopoulos L, Holt AC, Medzhitov R, Flavell RA. Recognition of double-stranded RNA and activation of NF- κ B by Toll-like receptor 3. *Nature* 2001; 413(6857): 732–8.
25. Kawai T, Akira S. TLR signaling. *Cell Death Differ* 2006; 13(5): 816–25.
26. Nishimura T, Nakai M, Sato M, Iwakabe K, Kitamura H, Sekimoto M, et al. The critical role of Th1-dominant immunity in tumor immunology. *Cancer Chemother Pharmacol* 2000; 46 Suppl: S52–61.
27. Glimcher LH, Murphy KM. Lineage commitment in the immune system: the T helper lymphocyte grows up. *Genes Dev* 2000; 14(14): 1693–711.
28. Mackay MF, Gamm JR, Maliszewsky C, Kikuchi H, Nodle RJ, Barth RJ Jr. Dendritic cells require maturation via CD40 to generate protective antitumor immunity. *J Immunol* 1998; 161(5): 2094–8.

29. Risoan MC, Sounnelis V, Kadovski N, Grouard G, Briere F, de Waal Malefyt R, et al. Reciprocal control of T helper cell and dendritic cell differentiation. *Science* 1999; 283(5405): 1183–6.
30. Cella M, Scheidegger D, Palmer-Lehmann K, Lane P, Langzwechia A, Alber G. Ligation of CD40 on dendrite cells triggers production of high levels of interleukin-12 and enhances T cell stimulatory capacity: T-T help via APC activation. *J Exp Med* 1996; 184(2): 747–52.
31. Salustio F, Langzwechia A. Heterogeneity of CD4+ memory T cells: functional modules for tailored immunity. *Eur J Immunol* 2009; 39(8): 2076–82.
32. Muranski P, Boni A, Antony PA, Cassard L, Irvine KR, Kaiser A, et al. Tumor-specific Th17-polarized cells eradicate large established melanoma. *Blood* 2008; 112(2): 362–73.
33. Martin-Orozco N, Muranski P, Chung Y, Yang XO, Yamazaki T, Lu S, et al. T helper 17 cells promote cytotoxic T cell activation in tumor immunity. *Immunity* 2009; 31(5): 787–98.
34. Liblau RS, Singer SM, McDevitt HO. Th1 and Th2 CD4+ T cells in the pathogenesis of organ-specific autoimmune diseases. *Immunol Today* 1995; 16(1): 34–8.
35. Schroder K, Hertzog PJ, Ravasi T, Hume DA. Interferon-gamma: an overview of signals, mechanisms and functions. *J Leukoc Biol* 2004; 75(2): 163–89.
36. Isaacs A, Lindenmann J. Virus interference. I. The interferon. *Proc R Soc Lond B Biol Sci* 1957; 147(927): 258–67.
37. Frucht DM, Fukao T, Bogdan C, Schindler H, O'Shea JJ, Koyasu S. IFN-gamma production by antigen-presenting cells: mechanisms emerge. *Trends Immunol* 2001; 22(10): 556–60.
38. Korn T, Bettelli E, Oukka M, Kuchroo VK. IL-17 and Th17 Cells. *Annu Rev Immunol* 2009; 27: 485–517.
39. Buelens G, Verbaarschot V, De Groot D, Thiedemans K, Goldman M, Willems F. Human dendrite cell responses to lipopolysaccharide and CD40 ligation are differentially regulated by interleukin-10. *Eur J Immunol* 1997; 27(8): 1848–52.
40. Jankovic D, Trinchieri G. IL-10 or not IL-10: that is the question. *Nat Immunol* 2007; 8(12): 1281–3.
41. Saraiwa M, Christensen JR, Veldhoen M, Murphy TL, Murphy KM, O'Garra A. Interleukin-10 production by Th1 cells requires interleukin-12-induced STAT4 transcription factor and ERK MAP kinase activation by high antigen dose. *Immunity* 2009; 31(2): 209–19.
42. Jurgens B, Hainz U, Fuchs D, Falzmann T, Heitzer A. Interferon-gamma-triggered indoleamine 2,3-dioxygenase competence in human monocyte-derived dendrite cells induces regulatory activity in allogeneic T cells. *Blood* 2009; 114(15): 3235–43.
43. Mann DH, Sharma MD, Lee JR, Jhaver KG, Johnson TS, Kasik DB, et al. Potential regulatory function of human dendrite cells expressing indoleamine 2,3-dioxygenase. *Science* 2002; 297(5588): 1867–70.

Received on April 28, 2010.

Revised on October 8, 2010.

Accepted on November 16, 2010.

IMMUNOLOGIC RESEARCH

DOI: 10.1007/s12026-012-8279-5

Online First



IMMUNOLOGY IN SERBIA

The response of human dendritic cells to co-ligation of pattern-recognition receptors

Tanja Dzopalic, Ivan Rajkovic, Ana Dragicevic and Miodrag Colic



[Download PDF \(481.9 KB\)](#)



[View HTML](#)



[Permissions & Reprints](#)

[REFERENCES \(118\)](#)

[EXPORT CITATION](#)

[ABOUT](#)

Abstract

Dendritic cells (DCs) are key antigen-presenting cells that express a wide variety of pattern-recognition receptors (PRRs). Triggering of a single PRR, especially Toll-like receptors (TLRs) and C-type lectins, induces maturation of DCs, but cooperativity between multiple PRRs is needed in order to achieve an effective immune response. In this review, we summarize the published data related to the effect of individual and joint PRR agonists on DCs and Langerhans-like cells derived from monocytes (MoDCs and MoLCs, respectively). Our results demonstrate that MoDCs co-stimulated with TLR3/TLR7 and TLR3/Dectin-1 ligands induced superior T helper (Th)1 and Th17 immune responses, compared to effects of single agonists. The opposite outcome was observed after co-ligation of TLR3 and Langerin on MoLCs. These findings may be relevant to improve strategy for tumor immunotherapy.

Keywords Monocyte-derived dendritic cells - Pattern-recognition receptors - Toll-like receptors - C-type lectins - Immunotherapy

2 **The response of human dendritic cells to
3 co-ligation of pattern-recognition receptors**4 Tanja Dzopalic · Ivan Rajkovic · Ana Dragicevic ·
5 Miodrag Colic

Miodrag Colic

6
7 © Springer Science+Business Media, LLC 2012

Author Proof

8 **Abstract** Dendritic cells (DCs) are key antigen-presenting cells that express a wide variety of pattern-recognition
9 receptors (PRRs). Triggering of a single PRR, especially Toll-like receptors (TLRs) and C-type lectins, induces maturation
10 of DCs, but cooperativity between multiple PRRs is needed in order to achieve an effective immune response. In this
11 review, we summarize the published data related to the effect of individual and joint PRR agonists on DCs and Lan-
12 gerhans-like cells derived from monocytes (MoDCs and MoLCs, respectively). Our results demonstrate that MoDCs co-
13 stimulated with TLR3/TLR7 and TLR3/Dectin-1 ligands induced superior Th helper (Th)1 and Th17 immune responses,
14 compared to effects of single agonists. The opposite outcome was observed after co-ligation of TLR3 and Langerin on
15 MoLCs. These findings may be relevant to improve strategy for tumor immunotherapy.16
17 **Keywords** Monocyte-derived dendritic cells · Pattern-recognition receptors · Toll-like receptors · C-type lectins ·
18 Immunotherapy19
20 **Introduction**21 Dendritic cells (DCs) are bone marrow-derived antigen-
22 presenting cells (APCs) that represent a key bridge
23 between innate and adaptive immunity [1]. These cells
24 have a unique capability to activate naïve T cells and to
25 initiate CD4⁺ T helper (Th), CD8⁺ cytotoxic T lympho-
26 cytes (CTLs) and T-cell dependent antibody responses [1].
27 The antigen-presenting function of DCs is manifested by
28 capturing and processing antigens into peptides that are
29 displayed on their surface for presentation to T cells after
30 migration to secondary lymphoid organs [2]. DCs capture
31 antigens based on the expression of a wide variety of
32 pattern-recognition receptors (PRRs), which discriminate
33 self tissues from infectious nonself through pathogen-associated molecular patterns (PAMPs) recognition. There
are several described PRRs, including Toll-like receptors
(TLRs), C-type lectins (CLRs), cytoplasmic retinoic acid-
inducible gene-I-like receptors (RLRs), nucleotide oligo-
merization domain-like receptors (NLRs) and many others
[3–5]. Activation of PRRs triggers signaling pathways,
which is followed by phenotypic changes and functional
maturation of DCs.Mature MoDCs acquire migratory properties by modu-
lation of the expression pattern of receptors for chemo-
kines, down-regulate phagocytosis and endocytosis, and
up-regulate expression of HLA class I and class II mole-
cules, adhesion molecules (CD54), co-stimulatory mole-
cules (CD80 and CD86) and maturation markers, the
properties necessary for their optimal T-cell polarization
capacity [6]. T-cell polarization to either Th1, Th2 or Th17
profile depends on the type of co-stimulatory molecules
and cytokines expressed by the DCs, which is in turn
determined by the TLR signaling profile [7].DCs are a heterogeneous group of cells comprising
functionally distinct subtypes. Based on their differences in
function, localization and phenotype, two main populationsA1 T. Dzopalic · I. Rajkovic · A. Dragicevic · M. Colic (✉)
A2 Medical Faculty of the Military Medical Academy, University of
A3 Defense in Belgrade, Crnotravska 17, 11002 Belgrade, Serbia
A4 e-mail: mjcolic@eunet.rsA5 T. Dzopalic · M. Colic
A6 Medical Faculty, University of Nis, Nis, Serbia34
35
36
37
38
39
40
41
42
43
44
45
46
47
48
49
50
51
52
53
54
55

Springer

	Journal : Large 12026	Dispatch : 20-2-2012	Pages : 14
	Article No. : 8279	<input type="checkbox"/> LE	<input type="checkbox"/> TYPESET
	MS Code : IMRE127	<input checked="" type="checkbox"/> CP	<input checked="" type="checkbox"/> DISK

56	of DCs in human peripheral blood have been described:	108
57	CD11c ⁺ myeloid DCs (mDCs), which include Langerhans	109
58	cells, dermal and interstitial DCs, and CD11c ⁻ /CD123 ⁺ /	110
59	CD4 ⁺ plasmacytoid DCs (pDCs) [8]. Due to the expression	111
60	of distinct PRRs capable for responding to various pathogens,	112
61	both of them are able to initiate characteristic T-cell	113
62	responses [6]. The functional plasticity and diversity of	
63	these DC subsets make them potentially very useful in	
64	designing effective cancer vaccines [9].	
65	At least two mDC subtypes that specifically populate	
66	epithelial tissues can be described: Langerhans cells (LCs)	
67	and interstitial dendritic cells (IDCs). LCs resident in epi-	
68	dermis and mucosal epithelia are characterized by high	
69	expression of CD1a, Langerin molecules and E-cadherin.	
70	CD1a family of proteins binds and presents lipids while	
71	Langerin (CD207) receptors make contact with mannose	
72	and related sugars. After establishing contact with soluble	
73	or cell-surface antigens, Langerin molecules form Birbeck	
74	granules (characteristic tennis-racquet shape structures),	
75	which are involved in the process of alternative antigen	
76	presentation to T cells and/or their further endosomal	
77	processing. E-cadherin is an adhesion molecule that	
78	anchors epidermal LCs to keratinocytes and epithelial T	
79	cells [10–12].	
80	As APCs of myeloid origin, both cell populations share	
81	some basic functional features with other DC populations	
82	[13]. After the uptake and processing of foreign pathogens	
83	that penetrate epithelia, resident LCs and IDCs mature	
84	during migration toward the local lymph nodes thus	
85	acquiring the capability to prime T cells. It was shown in	
86	ex vivo experiments that during this process LCs up-reg-	
87	ulate MHC II molecules, co-stimulatory molecules and	
88	CC-chemokine receptor 7 (CCR-7) while down-regulating	
89	CD1a, Langerin, E-cadherin and CD54 [12, 14]. It is	
90	believed that migration of these populations can be initi-	
91	ated independently of maturation after the exposition to	
92	self-antigens [15, 16]. Immature LCs and IDCs can prob-	
93	ably promote peripheral tolerance in the nearby lymph	
94	node either by inducing anergy or apoptosis of self-reactive	
95	naïve T-cell clones or by induction of T regulatory cells	
96	(Tregs) [17]. The roles of LCs and IDCs to prime naïve T	
97	cells or to induce anergy of T cells can be explained by	
98	specific TLR profiles and other PRRs of these cells.	
99	Since the extent of circulating DCs in human blood is	
100	very low, the most commonly used approach exploit in	
101	vitro-generated monocyte-derived DCs (MoDCs) [18]. It	
102	includes cultivation of monocytes, obtained from peripher-	
103	al blood mononuclear cells (PBMCs), with recombinant	
104	granulocyte macrophage-colony-stimulating factor (GM-	
105	CSF) and interleukin (IL)-4, which are able to differentiate	
106	into immature MoDCs after 5–6 days [19]. The addition of	
107	transforming growth factor β (TGF- β) to this cytokine	
	cocktail results in the generation of Langerhans-like DCs	
	(MoLCs) [20].	
	The aim of this review is to provide insights into the	
	response of in vitro-generated MoDCs and MoLCs to the	
	co-ligation of PRRs, as a basis for new immunotherapy	
	perspectives.	
	TLRs	114
	The evolutionary conserved TLRs are best-characterized	115
	PRRs, which discriminate self from nonself, providing the	116
	first line of defense against invading pathogens. Although a	117
	part of the innate immunity, TLRs initiate long-standing	118
	and protective immunity by presenting antigen motifs to	119
	the cells of adaptive immune system [21]. To date, 10 and	120
	12 functionally active TLRs have been identified in	121
	humans and mice, respectively. They are most commonly	122
	divided into two groups depending on their cellular localiza-	123
	tion and PAMP ligands. One group refers to TLRs	124
	expressed on cell surfaces and recognize mainly microbial	125
	membrane components (TLR1, TLR2, TLR4, TLR5,	126
	TLR6). The other group consisting of TLR3, TLR7, TLR8	127
	and TLR9 is expressed in intracellular vesicles (endo-	128
	somes, lysosomes, endoplasmic reticulum) where they	129
	recognize microbial nucleic acids [22]. The TLRs are	130
	expressed by various immunologically relevant cell types,	131
	including DCs, macrophages and B cells [23], but DCs are	132
	particularly important for all aspects of TLR function.	133
	TLRs are a family of transmembrane receptors consist-	134
	ing of ectodomains with multiple leucine-rich repeats	135
	(LRRs), linked by a transmembrane domain to a conserved	136
	cytosolic domain called the Toll/IL-1 receptor homology	137
	(TIR) domain [21]. The super-family of TIR domain-con-	138
	taining receptors also includes the IL-1R/IL-18R family,	139
	which act by recruiting and homodimerizing with TIR	140
	domain-containing adaptors proteins. Myeloid differentia-	141
	tion protein 88 (MyD88), as a major adaptor protein linking	142
	these receptors, is required for signaling through all TLRs,	143
	except TLR3, which acts through the adaptor molecule	144
	Toll/IL-1R domain-containing adaptor-inducing interferon	145
	(IFN)- β (TRIF), while TLR4 signals through both MyD88-	146
	and TRIF-dependent pathways. Recruitment of MyD88	147
	leads to the activation of IL-1 receptor-associated kinases	148
	(IRAKs) and TNF receptor-associated factor 6 (TRAF6),	149
	consecutively activating transcription factors, such as	150
	nuclear factor- κ B (NF- κ B) [24]. TLRs are widely expres-	151
	sed on immune cells and possess distinctive functions	152
	depending on the cell type and signaling pathways [25].	153
	TLR agonists, as maturation agents for DCs, have been	154
	tested as an attractive agent for initiating or boosting the	155
	anti-tumor response [26].	156

Author Proof



Journal : Large 12026

Article No. : 8279

MS Code : IMRE127

Dispatch : 20-2-2012

Pages : 14

 LE TYPESET CP DISK

157 TLR2, expressed by both MoDCs and mDCs [27], is
 158 involved in the recognition of a wide spectrum of microbial
 159 molecules, such as Gram-positive and Gram-negative
 160 bacteria, fungi, parasites and viruses [28]. Due to the for-
 161 mation of heterodimers with TLR1 and TLR6, TLR2 has a
 162 capacity to bind a variety of ligands [29]. TLR2/TLR1 and
 163 TLR2/TLR6 activation leads to DC maturation and NF- κ B
 164 activation through recruitment of MyD88, and subsequent
 165 production of numerous cytokines [30]. Recent study has
 166 shown that, through activation of specific pathways
 167 involving TLR2, zymosan can activate DCs [31]. Zymosan
 168 is a crude cell-wall component mixture of the baker's yeast
 169 extracts from *Saccharomyces cerevisiae*, composed mainly
 170 of β -glucans, mannans and chitins [32]. Investigating dif-
 171 ferential regulation of cytokine production in human DCs,
 172 Gerosa et al. [33] have shown that zymosan stimulated IL-
 173 23 rather than IL-12p70 production in MoDCs, suggesting
 174 its role in Th17 immune response. The same study reported
 175 that low levels of IL-12p70 did not affect Th1 response,
 176 induced by zymosan-stimulated MoDCs. Wei et al. [32]
 177 have shown that this TLR2 ligand can promote phenotypic
 178 maturation of human MoDCs, followed by an increased
 179 allostimulatory capacity and production of both pro- and
 180 anti-inflammatory cytokines.

181 It has been shown that freshly purified LCs and MoLCs
 182 display TLR2 and its associated receptors TLR1 and TLR6,
 183 but no TLR4 [34]. This expression pattern was also similar
 184 to that of the freshly isolated LCs from human skin [35].
 185 After stimulation with a TLR2 agonist, peptidoglycan
 186 (PGN), MoLCs weakly up-regulated maturation markers
 187 CD80, CD86 and HLA-DR and produced smaller amounts
 188 of IL-12p70 and IL-10 when compared to MoDCs. Stim-
 189 ulation with a TLR4 agonist, lipopolysaccharide (LPS), did
 190 not show any measurable production of these cytokines,
 191 nor changes in the expression of maturation markers, when
 192 compared to control [36]. Since Gram-positive bacterial
 193 species are the most important commensals bacteria in skin
 194 that can also cause severe systemic infections, it is most
 195 likely that production of IL-10 after TLR2 ligation with
 196 PGN can be required for avoiding reaction against com-
 197 mensals. [34]. Experiments on murine DCs supported this
 198 hypothesis because TLR2^{-/-} mice showed impaired
 199 immunity against *Staphylococcus aureus* [37]. Recent
 200 studies imply that LCs activated by TLR2 ligands can also
 201 induce Th17 polarization of allogeneic CD4 $^{+}$ T cells [35].

202 TLR3 is a PRR highly expressed in immature MoDCs
 203 [29]. Ligation of TLR3 by its specific agonist double-
 204 stranded (ds)RNA, that signals the presence of infectious
 205 agent, is followed by activation of DCs and induction of
 206 protection to viral cytopathic effect [38]. Polyinosinic-
 207 polycytidylic acid (Poly (I:C)) is a synthetic analogue of
 208 dsRNA and a TLR3 agonist. Studies so far have shown that
 209 Poly (I:C) induces phenotypic maturation of MoDCs [39].

Therefore, Poly (I:C) is an appropriate maturation agent for
 210 MoDCs. Poly (I:C)-treated MoDCs are in vitro and in vivo
 211 potent producers of bioactive IL-12, a crucial initiator of
 212 the Th1 response [39] and weak producers of IL-10, an
 213 anti-inflammatory cytokine that drive T cells toward Th2
 214 and T regulatory cell (Treg) response [40, 41]. We have
 215 found that stimulation of TLR3 increases the production of
 216 IL-17, a signature cytokine of the Th17 subset of CD4 $^{+}$ T
 217 cells whose expansion and maturation are promoted by IL-
 218 23, which is in consistence with results published by
 219 Sallusto et al. [42]. Collectively, stimulation of MoDCs
 220 with Poly (I:C) polarizes the immune response toward
 221 strong Th1 and moderate Th17 responses, respectively.
 222

LC-like DCs derived from human cord blood express
 223 TLR3 receptors [43]. Recent study with baflomycin, an
 224 inhibitor of endosomal acidification, on LCs isolated from
 225 human skin, showed that TLR3 is responsible for the
 226 effects of Poly(I:C) on the induction of maturation and
 227 allostimulatory properties and Th1 polarizing capability of
 228 LCs [44]. Our results on MoLCs mostly corroborated these
 229 results, but an interesting finding was that Poly (I:C) did
 230 not modulate Th2 or Th17 polarization compared to control
 231 (unpublished data).

TLR4, as a founding member of the human TLR family,
 232 was described as essential for recognition of bacterial LPS,
 233 a component of the outer membrane of Gram-negative
 234 bacteria [21]. TLR4 interacts with three different extra-
 235 cellular proteins—LPS binding protein (LBP), CD14 and
 236 myeloid differentiation protein 2 (MD-2)—to induce a
 237 signaling cascade leading to the activation of both the
 238 MyD88- and TRIF-dependent pathways. This activation is
 239 necessary for the induction of inflammatory cytokines. LPS
 240 is one of the most commonly used compounds for the
 241 induction of DC maturation, which in turn produce more
 242 cytokines and express co-stimulatory molecules to activate
 243 T cells [45, 46]. LPS also stimulates macrophages to pro-
 244 duce proinflammatory cytokines [47]. Such treated MoDCs
 245 produce moderate levels of IL-12, but also IL-10 [46].
 246 TLR4 signaling pathway can mediate a signal from dying
 247 tumor cells that causes DCs to mature and elicit phago-
 248 cytosis [48]. Since the immune response activated from
 249 dying tumor cells is essential for a successful cancer
 250 therapy, TLR4 agonists could be tested for the enhance-
 251 ment of current chemotherapeutic regimens [49].
 252

TLR5 is distinctive for its ability in recognizing the
 253 flagellin protein component of bacterial flagella [28].
 254 Intestinal epithelial cells, as well as lamina propria DCs,
 255 express TLR5 in a wide range, suggesting its role in the
 256 detection of flagellated bacteria in the gut [24]. The
 257 expression of TLR5 on MoDCs and mDCs has been
 258 described as well [50]. Study by Means et al. [51] have
 259 shown that ligation of TLR5 by flagellin could induce
 260 phenotypic maturation of MoDCs, as judged by increased
 261

263 expression of maturation and co-stimulatory markers. The 264 same group reported that flagellin-matured DCs displayed 265 an enhanced T-cell stimulatory capacity with a concomi- 266 tant decrease in the endocytic activity. Recent study 267 showed that stimulated DCs from lamina propria by fla- 268 gellin are good stimulators of Th1 and Th17 immune 269 responses [52].	concentration of 7-TOG (25 µM) did not trigger maturation 316 of MoDCs, but primed these cells to polarize the immune 317 response toward Th2 (unpublished data). Due to the 318 endosomal localization of TLR7, delivery of agonists to 319 endosome is significantly facilitated through the process of 320 phagocytosis or endocytosis. This could be advantageous 321 in increasing the intracellular concentrations of the com- 322 pounds and subsequent better DCs activation. Therefore, 323 our research group was studying multi-walled carbon 324 nanotubes (MWCNTs) as a delivery system of 7-TOG to 325 endosomal TLR7 in human MoDCs, when different con- 326 centrations of 7-TOG were covalently attached to 327 MWCNTs by the original method [62]. Light, confocal and 328 transmission electron microscopic observations confirmed 329 efficient phagocytosis of 7-TOG-MWCNT nanoparticles 330 (Fig. 1). This delivery system showed that low concentra- 331 tions of 7-TOG attached to MWCNTs was able to promote 332 both Th1 and Th17 immune responses, as efficiently as ten 333 times higher concentrations of soluble 7-TOG (unpublished 334 data). These findings support the hypothesis that func- 335 tionalized MWCNTs may be a challenging system for 336 delivery of 7-TOG to MoDCs, in order to improve the 337 protocols for preparation of DC vaccines.	
270 TLR7 and TLR8 are natural receptors for single-stran- 271 ded (ss) RNA and, together with TLR3 and TLR9, act as 272 powerful activators of the innate immune response upon 273 viral infections [53]. Besides ssRNA, several chemical 274 compounds have been described as TLR7/8 agonists, such 275 as resiquimod, CL075 and CL097 [54]. Stimulation of 276 MoDCs with these compounds resulted in their maturation 277 with the capability for polarization of the immune response 278 toward Th1 [55]. Therefore, in order to understand the 279 essence of MoDCs activation by common TLR7/8 ligands, 280 it is important to evaluate the effects of selective TLR7 and 281 TLR8 agonists. There are two well-known groups of 282 selective TLR7 agonists, imidazoquinolines (imiquimod 283 and gardiquimod) and guanosine derivatives (7-allyl-7,8- 284 dihydro-8-oxo-guanosine (loxoribine) and 7-thia-8-oxo- 285 guanosine (7-TOG)) [54]. The data regarding their effect 286 on MoDCs are controversial. Namely, a number of studies 287 showed that selective TLR7 ligands could stimulate only 288 preactivated MoDCs [56, 57]. The other group of authors 289 described that imidazoquinolines inhibited differentiation, 290 but enhanced maturation of human MoDCs [58]. Our group 291 studied selective TLR7 agonists (loxoribine and 7-TOG) 292 and showed that loxoribine, at relatively high concentra- 293 tions (250 µM), was able to induce maturation of MoDCs 294 without additional stimuli and the effect was partly 295 dependent on the up-regulation of TLR7 expression. In 296 addition, loxoribine-treated MoDCs were potent inducers 297 of Th1 and Th17 immune responses [59].	TLR9 recognizes specific unmethylated 2'-deoxyribo 339 (cytidine-phosphateguanosine) (CpG) DNA motifs that 340 distinguish microbial DNA from mammalian DNA [63]. 341 CpG-containing oligonucleotides (ODNs) can mimic nat- 342 ural CpG sequences and are used as TLR9 ligands [64]. In 343 humans, TLR9 can be found on pDCs, activated mono- 344 cytes, NK cells and B-lymphocytes [64]. Until recently, it 345 was believed that MoDCs and mDCs do not express TLR9 346 [65]. However, using synthetic CpG-A ODN D19, Hoene 347 et al. [66] proved the existence of TLR9 in MoDCs, in 348 amounts comparable with pDCs. It has been shown that 349 ligation of TLR9 induces maturation of MoDCs, with a 350 subsequent increased T-cell proliferation and Th1 differ- 351 entiation. Data about the modulatory effects of TLR9 352 agonists on MoLCs are scarce.	
298 In our previous <i>in vitro</i> studies in rodents, we described 299 7-TOG as a strong modulator of the immune response [60, 300 61]. Later investigations into human monocytes demon- 301 strated significantly augmented stimulatory potential of 302 7-TOG-treated monocytes on T-cell proliferation, which 303 was partially dependent on IL-12 production. Different 304 TLR7 expression in rodent and human, as well as possible 305 dosage-dependence and characteristic chemical structure, 306 led us to further investigate the modulatory activity of 307 7-TOG on human MoDCs. We showed that this guanosine 308 analogue was able to activate immature MoDCs in a strong 309 dose-dependent manner. Namely, the highest applied con- 310 centration of 7-TOG (250 µM) was a potent inducer of 311 MoDCs maturation, which directed the immune response 312 toward Th1 and Th17. The intermediate concentration of 313 7-TOG (100 µM) was, however, a weak stimulator of 314 MoDCs maturation, and such treated MoDCs stimulated 315 the Th17 response. On the contrary, the lowest applied	Co-ligation of TLRs	354
355 Although triggering of single TLRs results in phenotypic 356 and functional changes in DCs, cooperation between 357 multiple TLRs is needed in order to achieve an effective 358 immune response. Therefore, numerous studies using 359 simultaneous engagement of multiple TLRs were 360 performed.	355	
361 The co-ligation of TLR2 and TLR4 caused greater 362 production of TNF- α and IL-6 by human monocytes than 363 ligation of single receptors did [67, 68]. Further results 364 indicated the secretion of additional levels of TNF- α , IL-6 365 and IL-12p40 if Poly (I:C) and CpG DNA simultaneously	361	

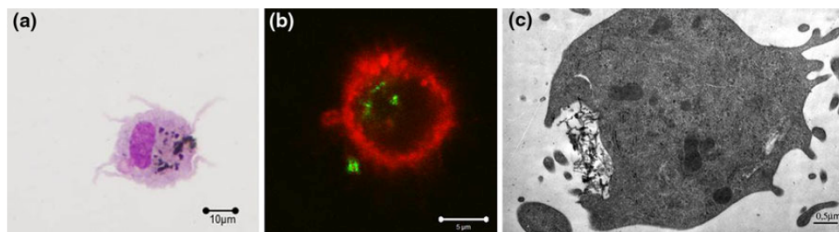


Fig. 1 Internalization of 7-TOG attached to MWCNTs by MoDCs. MoDCs were generated by cultivation of human monocytes in the presence of GM-CSF (100 ng/ml) and IL-4 (20 ng/ml) for 6 days and functionalized MWCNTs with 7-TOG for another 48 h. **a** In order to evaluate ingestion of MWCNTs by MoDCs, cytopsins were prepared and observed by light microscopy. Black dots inside the cell are presumed to be ingested nanoparticles; **b** For confirmation, cytopsins

were processed for confocal microscopy. Fluorescent 7-TOG-MWCNTs, coupled with FITC, are seen inside the HLA-DR/Alexa 548⁺ cell; **c** Finally, MoDCs cultivated with 7-TOG-MWCNTs were evaluated by transmission electron microscopy (TEM) after appropriate processing. TEM micrograph shows protrusion of cell membrane, forming coated pit with ingested nanoparticles

366 activated mouse macrophages, suggesting, for the first
367 time, that multiple TLR ligands increase the host resistance
368 [69]. Napolitani et al. [70] are among the first describing
369 the strong synergistic effects of TLR ligands on cytokine
370 production by human DCs. Namely, this group showed that
371 TLR3 or TLR4 potently acted in synergy with TLR7/8 in
372 the enhancement of IL-12 and IL-23 production by human
373 MoDCs, which resulted in additional potentiation of Th1
374 polarizing capacity. These findings were explained by the
375 fact that simultaneous activation of NF- κ B, interferon
376 regulatory factors (IRFs), mitogen-activated protein (MAP)
377 kinases (MAPK), phosphoinositide 3-kinase (PI-3 K) and
378 Signal Transducer and Activator of Transcription (STAT)
379 signaling pathways are involved in this process, suggesting
380 a crucial role for the synergistic gene expression during the
381 combined TLR3 or TLR4 and TLR7/8 ligand stimulation
382 [71].

383 Similar effects on cytokine production by MoDCs have
384 also been reported for co-ligation of TLR3 or TLR4 with
385 TLR2 (PGN), TLR2/TLR6 (zymosan) and TLR5 (flagellin)
386 [72]. Namely, it has been shown that MoDCs combine and
387 integrate signals received via the IFN-dependent pathway
388 by engagement of TLR3 and activation of TRIF with the
389 MyD88-dependent pathway by ligation of TLR2 (PGN),
390 TLR2/TLR6 and TLR5.

391 The other group of authors reported that TLR2 is able to
392 restrain the TLR4- and/or TLR7/8-induced production of
393 proinflammatory cytokines, while leaving the cytokines
394 induced by TLR3 or TLR5 unchanged [73]. They also
395 revealed that abrogating the IL-12p70 production by DCs,
396 TLR2 exerts its suppressive function. This inhibition of IL-
397 12p70 release by TLR2 led to an increased DC-mediated
398 T-cell differentiation into Th2 and Th17 cells. Therefore, it
399 can be assumed that the modulation of TLR2-mediated
400 signaling in cooperation with other TLR ligands might

provide novel insights for interventions within immune
diseases.

401 Based on our previous papers, where the effects of
402 single TLR3 and TLR7 agonists on MoDCs were investi-
403 gated [59, 74], we tried to determine whether these ago-
404 nists, triggering different pathways, may cooperate in
405 MoDC activation. Therefore, we combined suboptimal
406 (10 μ g/ml) or optimal (25 μ g/ml) concentrations of Poly
407 (I:C) with suboptimal (100 μ M) and optimal (250 μ M)
408 concentrations of loxoribine. The effect of each combina-
409 tion on phenotypic properties and cytokine production by
410 MoDCs and their Th polarizing capability was studied, and
411 some of these results are presented in Fig. 2.

412 The first combination of suboptimal concentrations of
413 Poly (I:C) and loxoribine induced maturation of MoDCs,
414 directing the immune response toward Th1, as documented
415 on the basis of levels of IFN- γ in co-culture with allogeneic
416 CD4⁺T cells. Higher production of IFN- γ correlated with
417 the levels of IL-27 and IL-12, which is in agreement with
418 previous study where IL-27, by synergizing with IL-12p70,
419 participates in the expansion and survival of Th1 cells [75].
420 Such treated MoDCs also potentiated the production of IL-
421 17 by CD4⁺T cells, which correlated with significantly
422 higher amounts of IL-23 in MoDC cultures, compared to
423 the levels of the cytokines induced by suboptimal con-
424 centrations of single agonists. This Th17 profile was
425 somewhat expected, knowing that final differentiation of
426 Th17 cells partially depends on IL-23 [76].

427 Cultivation of MoDCs with a combination of both
428 optimal concentrations of TLR agonists primed them to
429 polarize the immune response toward Th1 with the sig-
430 nificant production of IFN- γ by allogeneic CD4⁺T cells.
431 This finding also correlated with the increased levels of IL-
432 12 and IL-27 [77]. This induction of Th1-polarizing signals
433 was not followed by up-regulation of HLA-DR and
434 DISK.

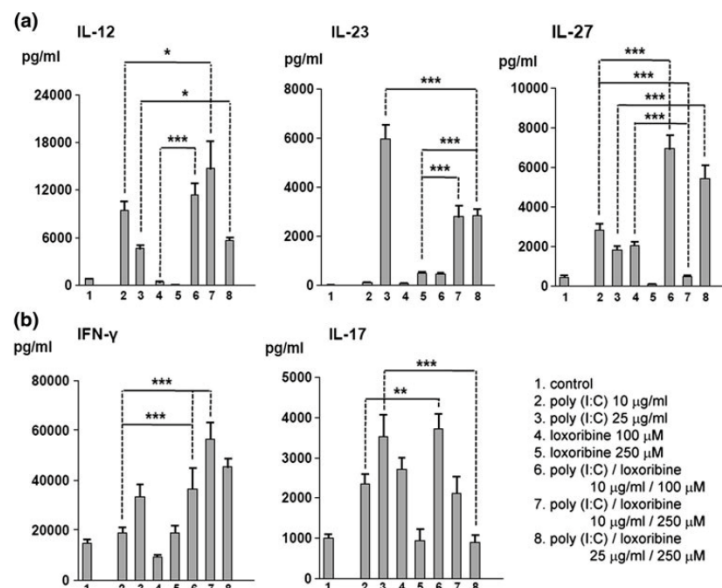


Fig. 2 The effect of TLR3 and TLR7 co-ligation on cytokine production and Th polarization capability of MoDCs. MoDCs were obtained by cultivation of human monocytes for 6 days with GM-CSF (100 ng/ml) and IL-4 (20 ng/ml) and then stimulated with Poly (I:C) and loxoribine in different concentrations for an additional 48 h. **a** Levels of secreted IL-12, IL-23 and IL-27 were determined in cell-free supernatants by ELISA; **b** Allogeneic CD4⁺T cells were co-cultured with MoDCs (1×10^4 cells/well) at a concentration of

1×10^5 cells/well. Co-cultivation lasted 5 days, when PMA (20 ng/ml) and ionomycin (500 ng/ml) were added for an additional 8 h. Levels of IFN- γ and IL-17 were measured in CD4⁺T-cell/DC co-culture supernatants using sandwich ELISA kits following the manufacturer's instructions. Cytokine levels are given as $x \pm S.D.$ ($n = 3$ donors). * $p < 0.05$, ** $p < 0.01$, *** $p < 0.005$ compared to relevant controls

co-stimulatory molecules. On the contrary, their expression was down-regulated, compared to the effect of single agonists. A similar finding was described by Napolitani et al. [70] who suggested an existence of different induction thresholds between these two "programs" and indicated that such co-ligation may represent a so-called "security code," which ensures powerful effectors (Th1 response) to be generated only in response to invading pathogens. In addition, distinct cellular compartment of TLR3 and TLR7 could be of importance, when dsRNA can initiate TLR3 and prime DCs to a subsequent activation of TLR7 in the endosomal compartment. On the other hand, such treated MoDCs decreased the production of IL-23, compared to the effect of single Poly (I:C), and the effect was followed by decreased production of IL-17 in co-culture with CD4⁺T cells. The enhancement of IL-27 production could be responsible for down-regulation of IL-23, according to literature data [78]. High amounts of IL-27 could be also explained by suppression of IL-4 production and subsequent decrease in the Th2 cell differentiation

[79]. When a suboptimal concentration of poly (I:C) was combined with an optimal loxoribine concentration to activate MoDCs, the Th1 immune response was mostly pronounced and followed by increased levels of IL-12 in MoDC cultures. These findings confirmed again the fact that DCs have very large capacity to produce IL-12 that is "deployed," only in the response to multiple stimuli acting simultaneously [70].

Ligation of TLR3 and TLR7 by their specific ligands results in conformational changes in the receptors, leading to downstream signal transduction, which primarily involves MyD88- and TRIF-dependent pathways [80]. Namely, it is known that signaling through TLR3 and TLR7 differs. Activation of TLR3 leads to the induction of IRF3, NF- κ B and MAPK through the engagement of TRIF adapter protein, whereas TLR7 signaling activate NF- κ B via a MyD88-dependent pathway and activation of IRF7 [28]. Furthermore, it has been shown that ongoing stimulation through the TRIF-dependent pathway is required for the enhancement of the MyD88-dependent DC function

436
437
438
439
440
441
442
443
444
445
446
447
448
449
450
451
452
453
454
455

456
457
458
459
460
461
462
463
464
465
466
467
468
469
470
471
472
473
474
475

476 and for the T-cell activation [81]. Based on these findings,
 477 we postulated that maybe combination of these signaling
 478 pathways could modulate the final outcome of the immune
 479 response. Namely, the MyD88-independent pathway cor-
 480 responding to signal 2 increases the T-cell priming, but the
 481 MyD88-dependent pathway, as signal 3, determines a T-cell
 482 response [81]. This crosstalk may be established to avoid
 483 induction of unnecessary activation of immune responses
 484 while allowing an immune response against tumors.

485 C-type lectin receptors (CLRs)

486 C-type lectin receptors are family of both soluble and
 487 transmembrane proteins that possess at least one carbohy-
 488 drate recognition domain (CRD) with unique specificity.
 489 They provide DCs with the ability to recognize mannose,
 490 fucose and glucan carbohydrate structures that are part of
 491 the most pathogens [82]. CLRs can be divided into two
 492 groups according to their molecular structures. Group I has
 493 its amino (N) terminus pointing outwards of the cell and
 494 has several CRDs at the carboxyl (C) terminus. It is named
 495 the mannose receptor (MR) family, which includes man-
 496 nose receptor (CD206) and DEC-205 (CD205) [4]. Group
 497 II has its N terminus pointing into the cytoplasm of the cell
 498 and has single CRD. It is called the asialoglycoprotein
 499 receptor family and comprises the DC-specific ICAM3-
 500 grabbing nonintegrin (DC-SIGN, CD209), Langerin
 501 (CD207) and the members of Dectin-1 and DC immuno-
 502 receptor (DCIR) families. The Dectin-1 family includes
 503 Dectin-1, lectin-like oxidized low-density lipoprotein
 504 receptor (LOX-1), C-type lectin receptors 1 and 2 (CLEC-1
 505 and 2) and myeloid inhibitory C-type lectin-like receptor
 506 (MICL), while DCIR family includes DCIR, DC immu-
 507 noactivating receptor (DCAR), Dectin-2 and blood DC
 508 antigen protein 2 (BDCA-2) [83, 84].

509 Triggering of CLR by different pathogens can induce gene
 510 expression independently of other PRR signaling (Dectin-1,
 511 Langerin) or, by contrast, induce signaling pathways that can
 512 only modulate the TLR-induced gene expression (DC-SIGN,
 513 BDCA2, DCIR and MICL). Common feature of both sig-
 514 naling pathways is the induction of NF- κ B, a key mediator of
 515 inducible gene expression in the immune system, although
 516 other transcription factors contribute to the CLR-induced
 517 signal transduction as well [28, 85].

518 Dectin-1 is one of many PRRs that mediate their own
 519 signaling and can synergize with TLRs to initiate specific
 520 responses to pathogens [86]. Dectin-1 was first identified as
 521 a DC-associated C-type lectin, containing a single extra-
 522 cellular CRD motif at the COOH-terminal end that rec-
 523ognizes β -1,3-glucans found mainly in the cell walls of
 524 fungi and an immunoreceptor tyrosine-based activation
 525 motif-like sequence (hemITAM) in the cytoplasmic

domain [87], necessary for intracellular signal generation
 526 [88]. Subsequent studies have shown that mouse Dectin-1
 527 is highly expressed on neutrophils, alveolar macrophages
 528 and inflammatory macrophages with lower expression on
 529 resident macrophages, DCs and some T cells [89]. Human
 530 Dectin-1 is expressed additionally on B cells. Dectin-1
 531 recognizes soluble and particulate β -glucan [87, 89] that
 532 makes up to 50% of the fungal cell wall. Activation of the
 533 Dectin-1 receptor is followed by the recruitment of the
 534 tyrosine kinase Syk by hemITAM sequence in the cyto-
 535 plasmic domain. This initiates downstream signaling cas-
 536 cade that culminates with the activation of NF- κ B, the
 537 transcription factor NFAT and MAPK [90]. Upon ligand
 538 recognition, Dectin-1 can induce diverse responses such as
 539 an oxidative burst, inflammatory cytokine production and
 540 phagocytosis [88].

541 The role of Dectin-1 in modulating the biological func-
 542 tions, of human DCs, is reported in only few studies. It has
 543 been shown that mouse DCs stimulated with curdlan, a
 544 Dectin-1 agonist, increased co-stimulatory molecules
 545 (CD80, CD86 and CD40) [90]. These results are similar to
 546 those showing an up-regulation of CD40 and CD86 by
 547 human DCs treated with *Candida albicans*. It is known that
 548 the response of DCs to *C. albicans* is largely dependent on
 549 Dectin-1 recognition [91]. Our results (unpublished data)
 550 support these findings and additionally showed an up-regu-
 551 lation of HLA-DR and CD83 expression by curdlan-treated
 552 MoDCs. Collectively, all these data demonstrated that
 553 Dectin-1 could be instrumental in promoting an efficient
 554 antigen presentation and that curdlan, through activation of
 555 Dectin-1, induce phenotypic maturation of human MoDCs.
 556 Previous studies on human MoDCs have shown that stimu-
 557 lation of Dectin-1 signaling pathway with curdlan increases
 558 the production of IL-6, TNF- α , IL-1 β , IL-10, IL-12p35, IL-
 559 23p19 and IL-12p40 [92]. Activation of the Dectin-1 path-
 560 way in our study increased the production of IL-27 and
 561 lowered the production of IL-10 by MoDCs, while the levels
 562 of IL-6, TNF- α and IL-23 were unchanged, compared to
 563 control. Although the levels of both IL-12 and IL-23 were
 564 very low or undetectable, an intriguing finding of our study
 565 and a previous publication [90] was the ability of curdlan to
 566 promote Th1 and Th17 polarizing capabilities of MoDCs.
 567

568 Dectin-2 is mostly expressed on immature MoLCs and
 569 to a lesser extent on immature MoDCs. Maturation of
 570 MoLCs is followed by reduced expression of Dectin-2,
 571 while the opposite effect was observed on MoDCs [93].
 572 This receptor is also detected in monocytes, macrophages,
 573 B cells and neutrophils [94]. Triggering the Dectin-2
 574 receptor with fungal hyphae from *Candida*, *Trichophyton*
 575 and *Microsporum* species leads to the production of TNF- α
 576 and IL-6, independently on other TLRs by DCs [95].

577 DC-SIGN (CD209) was first identified as an intercel-
 578 lular binding molecule, necessary for establishing the DC/
 579



579 T-cell contact, which influences the T-cell proliferation and
 580 for binding and presentation of unprocessed HIV-1 virions
 581 to CD4⁺ T cells [4, 96]. DC-SIGN recognizes mannose-
 582 and fucose-containing pathogens and modulates TLR3,
 583 TLR4- and TLR5-induced immune responses by DCs.
 584 Activation of this receptor induces an up-regulation of the
 585 TLR-induced IL-10 production [97].

586 Recent studies have shown that Langerin has a similar
 587 role on LCs as Dectin-1 receptor and DC-SIGN have on
 588 DCs. Namely, although LCs also express Dectin-1 it was
 589 found that Langerin is the main CLR for fungi [98].
 590 Langerin displays extracellular C-terminal CRD and
 591 transmembrane anchor segment that are similar to Dectin-
 592 1. Oligomerization of three Langerin molecules via the
 593 α -helicoidal neck region that connects aforementioned
 594 segments is responsible for binding specificity of this
 595 receptor to glycoprotein ligands. In addition, this extra-
 596 cellular domains promote folding and superimposition of
 597 plasma membrane that lead to the formation of ultrami-
 598 croscopically characteristic Birbeck granules [99]. The
 599 granules can play a possible role as the subsequent intra-
 600 cellular storage that shelter material bound to Langerin or
 601 CD1a molecules from degradation until LCs receive exact
 602 activation signal. It was shown in vitro that Langerin and
 603 Birbeck granules are simultaneously down-regulated while
 604 MHC class II and CD86 are up-regulated after maturation
 605 of LC maturation influenced by CD40 ligation. Since
 606 proinflammatory signals, such as TNF- α , increase the
 607 expression of Langerin, it can be postulated that migration
 608 and maturation of LCs in lymph nodes can be indepen-
 609 dently regulated. This finding may also explain the pres-
 610 ence of Langrin + cells outside of skin or mucosa [11].
 611 Langerin lacks an intracellular tyrosine-based motif that
 612 acts as a potential signal transduction site. It contains a
 613 sequence of proline-rich repeats, which is known to interact
 614 with SH3 (src homology 3) domain proteins that regulate
 615 cytoskeleton movements connected with vesicular trans-
 616 port [99]. Similarly as DC-SIGN, Langerin can introduce
 617 HIV-1 virion to T cells and at the same time prevent their
 618 infection [100].

619 Recent ex vivo experiments on human LCs confirmed
 620 that not only Dectin-1 but also Langerin can interact with
 621 β -glucans [101]. Curdlan was shown to strongly bind to
 622 human LCs. Since LCs isolated from epidermis expressed
 623 both Langerin and Dectin-1 receptors, but no DC-SIGN, it
 624 is possible that the main CLR for fungi on LCs could be
 625 Langerin [98]. Our study showed that MoLCs stimulated
 626 with curdlan induced stronger Th1, Th2 and Th17
 627 responses compared to control, nonstimulated MoLCs
 628 (unpublished data). This result is very similar to the effect
 629 that we have found in our previous experiment when
 630 MoLCs were matured with classic cocktail of proinflam-
 631 matory cytokines and modulators [15].

BDCA2 is considered as a specific marker of pDCs, 632
 known for their ability to produce large amount of type I 633
 IFNs upon viral infection [102]. One of the proposed 634
 mechanisms of the immune escape by viruses is triggering 635
 the BDCA2 molecule. BDCA2 ligation following TLR3 or 636
 TLR9 activation leads to up-regulation of IL-10 production 637
 and suppression of IL-6 and TNF- α [102]. 638

DCIR and MICL are the only known CLRs that contain 639
 immunoreceptor tyrosine-based inhibitory motifs (ITIMs) 640
 in their cytoplasmic domain [85]. Studies based on the use 641
 of antibodies for this ITIM-bearing CLRs have shown that 642
 activation of DCIR inhibits TLR8-mediated production of 643
 IL-12 and TNF- α by myeloid DCs and TLR9-induced 644
 production of IFN- α and TNF- α by pDCs. The activation of 645
 MICL suppresses TLR4-induced IL-12 production [103, 646
 104]. DCIR is more expressed on CD14⁺/CD1a⁻ MoDCs 647
 (correspond to IDDCs) than on CD1a⁺CD14⁻ MoLCs 648
 (correspond to LCs). DCIR surface level does not change 649
 during differentiation from monocytes to immature MoD- 650
 Cs, but it is down-regulated after stimulation with LPS or 651
 CD40L [105]. On the other hand, triggering of MICL 652
 augmented CD40L-mediated Th1 response, but inhibited 653
 the LPS-mediated response [104]. 654

Co-ligation of TLRs and CLRs 655

Recent studies have shown that the treatment of MoDCs 656
 with a TLR3 ligand, Poly (I:C), or Dectin-1 agonist, 657
 curdlan, elicits their maturation into the cells competent to 658
 prime effective immune responses. Since individual ago- 659
 nists exert different outcome on immunomodulation, we 660
 have performed a study in order to examine the response of 661
 MoDCs to the combined effect of Poly (I:C) and curdlan. 662
 Our results showed that co-ligation of TLR3 and Dectin-1 663
 leads to the phenotypical maturation of MoDCs, which was 664
 similar to the effect of Poly (I:C) alone, except an addi- 665
 tional increase in the expression of CCR7. This chemokine 666
 receptor could be relevant to improved migratory proper- 667
 ties of DCs. MoDCs treated with both ligands up-regulated 668
 the production of interleukin IL-12, IL-23 and IL-10, 669
 compared to the effect of Poly (I:C), alone. Curdlan-treated 670
 MoDCs stimulated the production of IL-17 by alloreactive 671
 CD4⁺ T cells more strongly than Poly (I:C)-treated 672
 MoDCs. The opposite effect was observed for IFN- γ 673
 production. When combined, these agonists primed MoDCs to 674
 further increase the production of IFN- γ by CD4⁺ T cells in 675
 co-culture, especially those of naïve (CD45RA⁺) pheno- 676
 type, and IL-17 by memory (CD45RO⁺) CD4⁺ T cells 677
 (unpublished results). Although no microbe or fungal 678
 pathogen that expresses or generates ligands for both TLR3 679
 and Dectin-1 has been found so far, our findings can be 680



	Journal : Large 12026	Dispatch : 20-2-2012	Pages : 14
	Article No. : 8279	<input type="checkbox"/> LE	<input type="checkbox"/> TYPESET
	MS Code : IMRE127	<input checked="" type="checkbox"/> CP	<input checked="" type="checkbox"/> DISK

681 taken into consideration for development of new strategies
682 in the field of immunotherapy (Fig. 3).

683 To our knowledge, there is no available data considering
684 the effect of simultaneous activation of TLR3 and Langerin
685 either on LCs or on MoLCs. We have shown in our
686 experiments on MoLCs that this combination diminished
687 allostimulatory potential of MoLCs and at the same time
688 reduced their Th1 and Th17 polarizing capability (unpub-
689 lished data). This finding still has to be thoroughly ana-
690 lyzed and reevaluated in the next experiments.

NLR and RLR family of PRRs

691

The other group of non-TLR PRRs (NLR and RLR family)
692 refers to the cytosolic receptors involved in the recognition
693 of microbial components as well. The NLR family includes
694 22 proteins divided into the group of NACHT, LRR and
695 PYD containing proteins (NALPs), IL-1 β -converting
696 enzyme protease-activating factor (IPAF) and nucleotide
697 oligomerization domain (NOD). Signaling through the
698 members of this family is very complex. Generally,
699

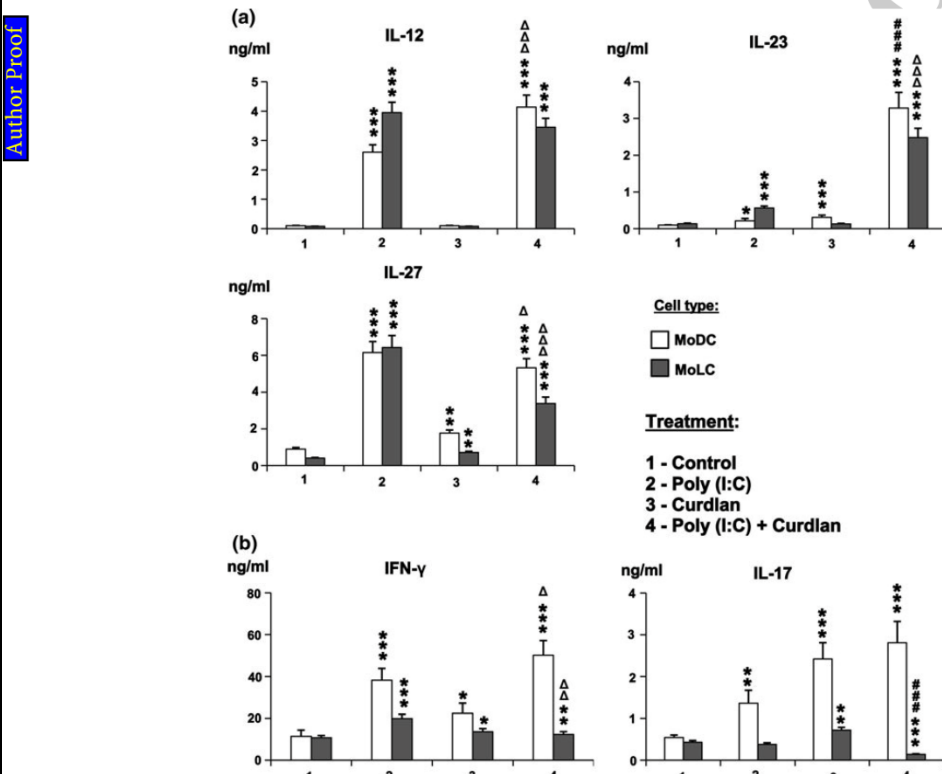


Fig. 3 The combined effect of Poly (I:C) and curdlan on the cytokine production and Th polarization capability of MoDCs and MoLCs. **a** Cultivation of human monocytes for 6 days with GM-CSF (100 ng/ml) and IL-4 (20 ng/ml) generated immature MoDCs, while addition of TGF- β (10 ng/ml) to this cytokine cocktail generated immature MoLCs. Immature MoDCs and MoLCs were stimulated with Poly (I:C) (25 μ g/ml), curdlan (100 μ g/ml) or their combination for an additional 48 h. Levels of secreted IL-12, IL-23 and IL-27 were determined in cell-free supernatants by ELISA. Values are given as $x \pm S.D.$ ($n = 3$ donors). **b** Purified CD4 $^{+}$ (1×10^5 cells/well) were

co-cultivated with MoDCs or MoLCs (1×10^4 cells/well) for 5 days, when PMA (20 ng/ml) and ionomycin (500 ng/ml) were added for an additional 8 h. After that, cell supernatants were collected and used for IFN- γ and IL-17 detection by ELISA and FlowCytomix Human Th1/Th2 11 plex. Cytokine levels are given as $x \pm S.D.$ ($n = 3$ donors). * $p < 0.05$, ** $p < 0.01$, *** $p < 0.005$ compared to control MoDCs/MoLCs. $\Delta p < 0.05$, $\Delta\Delta p < 0.01$, $\Delta\Delta\Delta p < 0.005$ compared to Poly (I:C)-treated MoDCs/MoLCs. # $p < 0.005$ compared to curdlan-treated MoDCs/MoLCs

700 activation of NALPs and IPAF leads to the activation of caspase-1, whereas NOD proteins activate NF- κ B [110].	753
701 Main members of the RLR family are retinoic acid-inducible gene-I (RIG-I), melanoma differentiation-associated gene 5 (MDA5) and laboratory of genetics and physiology 2 (LGP2). All these cytoplasmic PRRs recognize viral dsRNA [24]. Activation of RLRs goes through recruitment of the kinase TANK-binding kinase 1 (TBK1) and activation of NF- κ B and IRF7 and/or IRF3 with culmination in type I IFN production [106].	754
702 A number of papers have described synergistic production of cytokines upon co-ligation of NOD1 and NOD2 with many TLR ligands [107]. As shown, the stimulation of DCs with NOD2 and NOD1 agonists in combination with TLR3, TLR4 and TLR9 ligands synergistically induce IL-12p70. DCs stimulated with TLR4 together with either NOD1 or NOD2 activate human T cells to produce high levels of IFN- γ , suggesting that NOD1 as well as NOD2 signals augment the Th1 polarization induced by various TLR signals [108]. The essence of these interactions involves cooperation of signaling pathways, characteristic for activated PRRs. For example, the combination of NOD2 and TLR2 agonists decreases the production of IL-12p70 by DCs. In contrast, co-ligation of NOD2 and TLR7/8 is followed by increased production of this cytokine. These findings suggest that signal transduction pathways upon the NOD1 and NOD2 engagement are different [109]. Simultaneous engagement of TLRs and NALPs also promote characteristic activating pathways. Thus, NALP3 activation raises caspase-1 with the cleavage of pro-IL-1 β and pro-IL-18. Nevertheless, co-ligation between TLR7/8 and NALP3 seems to be necessary for full production of inflammatory cytokines in response to <i>influenza virus</i> [110]. It is not quite clear how NODs and TLRs activate synergistically the production of inflammatory cytokines. Since both receptors activate NF- κ B, it can be postulated that simultaneous engagement of the receptors triggers stronger activation of NF- κ B. However, there are other reports suggesting that the enhanced NF- κ B activation is only an additive mechanism and as such unable to explain the synergy in cytokine production. It is assumed that the receptors induce different NF- κ B isoforms or alter the kinetics of NF- κ B activation, sufficient for synergistic results [5].	755
703	756
704	757
705	758
706	
707	
708	
709	
710	
711	
712	
713	
714	
715	
716	
717	
718	
719	
720	
721	
722	
723	
724	
725	
726	
727	
728	
729	
730	
731	
732	
733	
734	
735	
736	
737	
738	
739	
740	
741	
742	
743	
744 To date, there are not many studies facing the pathways of TLRs and RLRs co-ligation. Interactions between RLRs (recognizing viral RNA) and TLR3, TLR7 and TLR9 (recognizing viral dsRNA, ssRNA and DNA, respectively) expressed by human MoDCs are best studied [24]. Activation of either TLR or RLR signaling, or both, is required for adequate immune response against viruses. This largely depends on the type of viruses and probably the route of infection, but also of activated signaling pathway. It has	745
745	746
746	747
747	748
748	749
749	750
750	751
751	752
752	
753	
754	
755	
756	
757	
758	
759	
760	
761	
762	
763	
764	
765	
766	
767	
768	
769	
770	
771	
772	
773	
774	
775	
776	
777	
778	
779	
780	
781	
782	
783	
784	
785	
786	
787	
788	
789	
790	
791	
792	
793	
794	
795	
796	
797	
798	
799	
800	
801	
802	

- 803 cells are attributed to their capability to enhance inflammatory responses and to increase antigen presentation by
 804 DCs, promote leukocyte homing to tumors and facilitate
 805 the CD8⁺ T-cell priming and differentiation of these cells
 806 into effector CTLs [118].
 807 In order to achieve these goals, we co-stimulated
 808 MoDCs with different combinations of PRR agonists,
 809 including TLR3/TLR7 and TLR3/Dectin-1, and used
 810 nanoparticles as carriers for PRR agonists. We showed that
 811 all these approaches were superior in triggering Th1 and
 812 Th17 responses, compared to the effect of individual
 813 agonists or agonist without carriers. In this context, the
 814 engagement of TLR7 by using guanosine analogues, which
 815 are nontoxic even at very high concentrations [61], could
 816 be a new strategy to improve DC immunogenicity and
 817 tumor immunotherapy.
- 818
- 819 **Acknowledgments** This work was supported by the grant of the
 820 Ministry of Education and Science of the Republic of Serbia (project
 821 number 175102).
- 822 **References**
- 823 1. Banchereau J, Steinman RM. Dendritic cells and the control of
 824 immunity. *Nature*. 1998;392:245–52.
 825 2. Trombetta ES, Mellman I. Cell biology of antigen processing in
 826 vitro and in vivo. *Annu Rev Immunol*. 2005;23:975–1028.
 827 3. Medzhitov R, Janeway CA Jr. Decoding the patterns of self
 828 and nonself by the innate immune system. *Science*. 2002;296:
 829 298–300.
 830 4. Fidgor CG, van Kooyk Y, Adema GJ. C-type lectin receptors on
 831 dendritic cells and Langerhans cells. *Nat Rev Immunol*. 2002;2:
 832 77–84.
 833 5. Underhill DM. Collaboration between the innate immune
 834 receptors dectin-1, TLRs, and Nods. *Immunol Rev*. 2007;219:
 835 75–87.
 836 6. Sabado RL, Bhardwaj N. Directing dendritic cell immunotherapy
 837 towards successful cancer treatment. *Immunotherapy*. 2010;
 838 2:37–56.
 839 7. Pilsbury LE, Allen RL, Vordermeier M (2010) Modulation of
 840 Toll-like receptor activity by leukocyte Ig-like receptors and
 841 their effects during bacterial infection. *Mediat Inflamm* 536478.
 842 8. Wu L, Liu YJ. Development of dendritic-cell lineages. *Immunity*.
 843 2007;26:741–50.
 844 9. Simon T, Fonteneau JF, Gregoire M. Dendritic cell preparation
 845 for immunotherapeutic interventions. *Immunotherapy*. 2009;1:
 846 289–302.
 847 10. Poulin LF, Henri S, de Bovis B, Devillard E, Kissenpennig A,
 848 Malissen B. The dermis contains langerin + dendritic cells that
 849 develop and function independently of epidermal Langerhans
 850 cells. *J Exp Med*. 2007;204:3119–31.
 851 11. Geissmann F, Dieu-Nosjean MC, Dezutter C, Valladeau J, Kayaal
 852 S, Leborgne M, Brousse N, Saeland S, Davoust J. Accumulation
 853 of immature Langerhans cells in human lymph nodes
 854 draining chronically inflamed skin. *J Exp Med*. 2002;196:
 855 417–30.
 856 12. Merad M, Ginhoux F, Collin M. Origin, homeostasis and
 857 function of Langerhans cells and other langerin-expressing
 858 dendritic cells. *Nat Rev Immunol*. 2008;8:935–47.
- 859 13. Leon B, Lopez-Bravo M, Ardevin C. Monocyte-derived den-
 860 dritic cells. *Semin Immunol*. 2005;17:313–8.
 861 14. Ginhoux F, Collin MP, Bogunovic M, Abel M, Leboeuf M,
 862 Heft J, Ochando J, Kissenpennig A, Malissen B, Grisotto M,
 863 Snoeck H, Randolph G, Merad M. Blood-derived dermal langer-
 864 in + dendritic cells survey the skin in the steady state. *J Exp
 865 Med*. 2007;204:3133–46.
 866 15. Rajkovic I, Dragicevic A, Vasilijic S, Bozic B, Dzopalic T,
 867 Tomic S, Majstorovic I, Vucevic D, Djokic J, Balint B, Colic M.
 868 Differences in T-helper polarizing capability between human
 869 monocyte-derived dendritic cells and monocyte-derived Lan-
 870 gerhans'-like cells. *Immunology*. 2010;132:217–25.
 871 16. Villablanca EJ, Mora JR. A two-step model for Langerhans cell
 872 migration to skin-draining LN. *Eur J Immunol*. 2008;38:
 873 2975–80.
 874 17. Kuwana M. Induction of anergic and regulatory T cells by
 875 plasmacytoid dendritic cells and other dendritic cell subsets.
 876 *Hum Immunol*. 2002;63:1156–63.
 877 18. Salustro F, Lanzavecchia A. Efficient presentation of soluble
 878 antigen by cultured human dendritic cells is maintained by
 879 granulocyte/macrophage colony-stimulating factor plus inter-
 880 leukin 4 and downregulated by tumor necrosis factor alpha.
 881 *J Exp Med*. 1994;179:1109–18.
 882 19. Colic M, Stojic-Vukanic Z, Pavlovic B, Jandric D, Stefanoska I.
 883 Mycophenolate mofetil inhibits differentiation, maturation and
 884 allostimulatory function of human monocyte-derived dendritic
 885 cells. *Clin Exp Immunol*. 2003;134:63–9.
 886 20. Geissmann F, Prost C, Monnet JP, Dy M, Brousse N, Hermine
 887 O. Transforming growth factor beta1, in the presence of gran-
 888 uulocyte/macrophage colony-stimulating factor and interleukin 4,
 889 induces differentiation of human peripheral blood monocytes
 890 into dendritic Langerhans cells. *J Exp Med*. 1998;187:961–6.
 891 21. Kawai T, Akira S. The role of pattern-recognition receptors in
 892 innate immunity: update on Toll-like receptors. *Nat Immunol*.
 893 2010;11:373–84.
 894 22. Barbalat R, Ewald SE, Mouchess ML, Barton GM. Nucleic acid
 895 recognition by the innate immune system. *Annu Rev Immunol*.
 896 2011;29:185–214.
 897 23. Iwasaki A, Medzhitov R. Toll-like receptor control of the
 898 adaptive immune responses. *Nat Immunol*. 2004;5:987–95.
 899 24. Kawai T, Akira S. The roles of TLRs, RLRs and NLRs in
 900 pathogen recognition. *Int Immunol*. 2009;21:317–37.
 901 25. Muzio M, Polentarutti N, Bosisio D, Manoj Kumar PP,
 902 Mantovani A. Toll-like receptor family and signalling pathway.
 903 *Biochem Soc Trans*. 2000;28:563–6.
 904 26. Bhardwaj N. Harnessing the immune system to treat cancer.
 905 *J Clin Invest*. 2007;117:1130–6.
 906 27. Kadowaki N, Ho S, Antonenko S, Malefyt RW, Kastelein RA,
 907 Bazan F, Liu YJ. Subsets of human dendritic cell precursors
 908 express different toll-like receptors and respond to different
 909 microbial antigens. *J Exp Med*. 2001;194:863–9.
 910 28. Akira S, Uematsu S, Takeuchi O. Pathogen recognition and
 911 innate immunity. *Cell*. 2006;124:783–801.
 912 29. Wetler LM. The role of Toll-like receptor 2 in microbial dis-
 913 ease and immunity. *Vaccine*. 2003;21(Suppl 2):S55–60.
 914 30. Kokkinopoulos I, Jordan WJ, Ritter MA. Toll-like receptor
 915 mRNA expression patterns in human dendritic cells and
 916 monocytes. *Mol Immunol*. 2005;42:957–68.
 917 31. Goodridge HS, Simmons RM, Underhill DM. Dectin-1 stimu-
 918 lation by *Candida albicans* yeast or zymosan triggers NFAT
 919 activation in macrophages and dendritic cells. *J Immunol*.
 920 2007;178:3107–15.
 921 32. Wei WC, Su YH, Chen SS, Sheu JH, Yang NS. GM-CSF plays a
 922 key role in zymosan-stimulated human dendritic cells for acti-
 923 vation of Th1 and Th17 cells. *Cytokine*. 2011;55:79–89.

- 924 33. Gerosa F, Baldani-Guerra B, Lyakh LA, Batoni G, Esin S,
925 Winkler-Pickett RT, Consolaro MR, De Marchi M, Giachino D,
926 Robbiani A, Asteigano M, Sambataro A, Kastelein RA, Carrà
927 G, Trinchieri G. Differential regulation of interleukin 12 and
928 interleukin 23 production in human dendritic cells. *J Exp Med.*
929 2008;205:1447-61.
930 34. Flacher V, Bouschbacher M, Verdone E, Massacrier C, Sisirak
931 V, Berthier-Vergnes O, de Saint-Vincent B, Caux C, Dezutter-
932 Dambyant C, Lebecque S, Valladeau J. Human Langerhans
933 cells express a specific TLR profile and differentially respond to
934 viruses and Gram-positive bacteria. *J Immunol.* 2006;177:
935 7959-67.
936 35. Aliahmadi E, Gramlich R, Grutzkau A, Hitzler M, Kruger M,
937 Baumgrass R, Schreiner M, Wittig B, Wanner R, Peiser M.
938 TLR2-activated human langerhans cells promote Th17 polarization
939 via IL-1beta, TGF-beta and IL-23. *Eur J Immunol.* 2006;39:
940 7959-67.
941 36. Takeuchi J, Watari E, Shinya E, Norose Y, Matsumoto M, Seya
942 T, Sugita M, Kawana S, Takahashi H. Down-regulation of Toll-
943 like receptor expression in monocyte-derived Langerhans cell-like
944 cells: implications of low-responsiveness to bacterial components
945 in the epidermal Langerhans cells. *Biochem Biophys Res Commun.*
946 2003;306:674-9.
947 37. Takeuchi O, Hoshino K, Akira S. Cutting edge: TLR2-deficient
948 and MyD88-deficient mice are highly susceptible to Staphylococcus
949 aureus infection. *J Immunol.* 2000;165:5392-6.
950 38. Cella M, Salio M, Sakakibara Y, Langen H, Julkunen I, Lan-
951 zavecchia A. Maturation, activation, and protection of dendritic
952 cells induced by double-stranded RNA. *J Exp Med.* 1999;189:
953 821-9.
954 39. Rouas R, Lewalle P, El Ourighli F, Nowak B, Duvillier H,
955 Martiat P. Poly(I:C) used for human dendritic cell maturation
956 preserves their ability to secondarily secrete bioactive IL-12. *Int
957 Immunol.* 2004;16:767-73.
958 40. Taga K, Tosato G. IL-10 inhibits human T cell proliferation and
959 IL-2 production. *J Immunol.* 1992;148:1143-8.
960 41. Glimcher LH, Murphy KM. Lineage commitment in the
961 immune system: the T helper lymphocyte grows up. *Genes Dev.*
962 2000;14:1693-711.
963 42. Sallusto F, Lanzavecchia A. Heterogeneity of CD4+ memory T
964 cells: functional modules for tailored immunity. *Eur J Immunol.*
965 2009;39:2076-82.
966 43. Renn CN, Sanchez DJ, Ochoa MT, Legaspi AJ, Oh CK, Liu PT,
967 Krutzik SR, Sieling PA, Cheng G, Modlin RL. TLR activation
968 of Langerhans cell-like dendritic cells triggers an antiviral
969 immune response. *J Immunol.* 2006;177:298-305.
970 44. Furio L, Billard H, Valladeau J, Peguet-Navarro J, Berthier-
971 Vergnes O. Poly(I:C)-Treated human langerhans cells promote
972 the differentiation of CD4+ T cells producing IFN-gamma and
973 IL-10. *J Invest Dermatol.* 2009;129:1963-71.
974 45. Suzuki N, Suzuki S, Eriksson U, Hara H, Mirtos C, Chen NJ,
975 Wada T, Bouchard D, Hwang I, Takeda K, Fujita T, Der S,
976 Penninger JM, Akira S, Saito T, Yeh WC. IL-1R-associated
977 kinase 4 is required for lipopolysaccharide-induced activation of
978 APC. *J Immunol.* 2003;171:6065-71.
979 46. Colic M, Mojsilovic S, Pavlovic B, Vucevic D, Majstorovic I,
980 Bufan B, Stojic-Vukanic Z, Vasilijic S, Vucevic D, Gasic S,
981 Balint B. Comparison of two different protocols for the induction
982 of maturation of human dendritic cells in vitro. *Vojnosanit
983 Pregl.* 2004;61:471-8.
984 47. Ulevitch RJ, Tobias PS. Receptor-dependent mechanisms of cell
985 stimulation by bacterial endotoxin. *Annu Rev Immunol.* 1995;
986 13:437-57.
987 48. Apetoh L, Ghiringhelli F, Tesniere A, Obeid M, Ortiz C, Criollo
988 A, Mignot G, Maiuri MC, Ullrich E, Saulnier P, Yang H, Am-
989 igorena S, Ryffel B, Barrat FJ, Saftig P, Levi F, Lidereau R,
- Nogues C, Mira JP, Chompret A, Joulin V, Clavel-Chapelon F,
990 Bourhis J, Andre F, Delaloye S, Tursz T, Kroemer G, Zitvogel
991 L. Toll-like receptor 4-dependent contribution of the immune
992 system to anticancer chemotherapy and radiotherapy. *Nat Med.*
993 2007;13:1050-9.
994 49. Hennessy EJ, Parker AE, O'Neill LA. Targeting Toll-like
995 receptors: emerging therapeutics? *Nat Rev Drug Discov.* 2010;
996 9:293-307.
997 50. Visintin A, Mazzoni A, Spitzer JH, Wyllie DH, Dower SK,
998 Segal DM. Regulation of Toll-like receptors in human mono-
999 cytes and dendrite cells. *J Immunol.* 2001;166:249-55.
1000 51. Means TK, Hayashi F, Smith KD, Aderem A, Luster AD. The
1001 Toll-like receptor 5 stimulus bacterial flagellin induces matu-
1002 ration and chemokine production in human dendritic cells.
1003 *J Immunol.* 2003;170:5165-75.
1004 52. Uematsu S, Fujimoto K, Jiang MH, Yang BG, Jung YJ, Ni-
1005 shiyama M, Sato S, Tsujimura T, Yamamoto M, Yokota Y,
1006 Kiyono H, Miyasaka M, Ishii KI, Akira S. Regulation of
1007 humoral and cellular gut immunity by lamina propria dendritic
1008 cells expressing Toll-like receptor 5. *Nat Immunol.* 2008;9:
1009 769-76.
1010 53. Diebold SS, Kajisho T, Hemmi H, Akira S, Reis e Sousa C.
1011 Innate antiviral responses by means of TLR7-mediated recog-
1012 nition of single-stranded RNA. *Science.* 2004;303:1529-31.
1013 54. Lee J, Chuang TH, Reddecke V, She L, Pitha PM, Carson DA,
1014 Raz E, Cottam HB. Molecular basis for the immunostimulatory
1015 activity of guanine nucleoside analogs: activation of Toll-like
1016 receptor 7. *Proc Natl Acad Sci USA.* 2003;100:6646-51.
1017 55. Duraisingham SS, Hornig J, Gotch F, Patterson S. TLR-stimu-
1018 lated CD34 stem cell-derived human skin-like and monocyte-
1019 derived dendrite cells fail to induce Th17 polarization of naive
1020 T cells but do stimulate Th1 and Th17 memory responses.
1021 *J Immunol.* 2009;183:2242-51.
1022 56. Lombardi V, Van Overveld L, Horiot S, Moingeon P. Human
1023 dendrite cells stimulated via TLR7 and/or TLR8 induce the
1024 sequential production of IL-10, IFN-gamma, and IL-17A by
1025 naive CD4+ T cells. *J Immunol.* 2009;182:3372-9.
1026 57. Severa M, Remoli ME, Giacomini E, Annibali V, Gafa V, Lande
1027 R, Tomai M, Salvetti M, Coccia EM. Sensitization to TLR7
1028 agonist in IFN-beta-preactivated dendrite cells. *J Immunol.*
1029 2007;178:6208-16.
1030 58. Zhu KJ, Cen JP, Lou JX, Wang Q, Zhang X, Xu Y, Chen XZ,
1031 Cheng H. Imiquimod inhibits the differentiation but enhances
1032 the maturation of human monocyte-derived dendrite cells. *Int
1033 Immunopharmacol.* 2009;9:412-7.
1034 59. Dzopalic T, Dragicevic A, Vasilijic S, Vucevic D, Majstorovic I,
1035 Bozic B, Balint B, Colic M. Loxoridine, a selective Toll-like
1036 receptor 7 agonist, induces maturation of human monocyte-
1037 derived dendrite cells and stimulates their Th-1- and Th-17-
1038 polarizing capability. *Int Immunopharmacol.* 2010;10:1428-33.
1039 60. Colic M, Gasic S, Vasilijic S, Pejanovic V, Jandric D, Medic-
1040 Mijacevic L, Rakic L. A nucleoside analogue, 7-thia-8-oxogua-
1041 nosine stimulates proliferation of thymocytes in vitro. *Immunol
1042 Lett.* 1999;69:293-300.
1043 61. Colic M, Gasic S, Vucevic D, Pavicic L, Popovic P, Jandric D, Medic-
1044 Mijacevic L, Rakic L. Modulatory effect of 7-thia-8-oxoguanosine on
1045 proliferation of rat thymocytes in vitro stimulated with concanavalin
1046 A. *Int J Immunopharmacol.* 2000;22:203-12.
1047 62. Vukovic G, Tomic S, Marinkovic A, Radmilovic V, Uskokovic
1048 P, Colic M. The response of peritoneal macrophages to dapsone
1049 covalently attached on the surface of carbon nanotubes. *Carbon.*
1050 2010;48:3066-78.
1051 63. Hemmi H, Takeuchi O, Kawai T, Kaisho T, Sato S, Sanjo H,
1052 Matsumoto M, Hoshino K, Wagner H, Takeda K, Akira S.
1053 A Toll-like receptor recognizes bacterial DNA. *Nature.* 2000;
1054 408:740-5.
1055



Immunology in Serbia

- 1056 64. Hornung V, Rothenfusser S, Britsch S, Krug A, Jahrsdorfer B,
1057 Giese T, Endres S, Hartmann G. Quantitative expression of toll-
1058 like receptor 1–10 mRNA in cellular subsets of human peripheral
1059 blood mononuclear cells and sensitivity to CpG oligodeoxy-
1060 nucleotides. *J Immunol.* 2002;168:4531–7.
1061 65. Krug A, Towarowski A, Britsch S, Rothenfusser S, Hornung V,
1062 Bals R, Giese T, Engelmann H, Endres S, Krieg AM, Hartmann
1063 G. Toll-like receptor expression reveals CpG DNA as a unique
1064 microbial stimulus for plasmacytoid dendritic cells which synergizes
1065 with CD40 ligand to induce high amounts of IL-12. *Eur J
1066 Immunol.* 2001;31:3026–37.
1067 66. Hoene V, Peiser M, Wanner R. Human monocyte-derived
1068 dendrite cells express TLR9 and react directly to the CpG-A
1069 oligonucleotide D19. *J Leukoc Biol.* 2006;80:1328–36.
1070 67. Beutler E, Gelbart T, West C. Synergy between TLR2 and
1071 TLR4: a safety mechanism. *Blood Cells Mol Dis.* 2001;27:
1072 728–30.
1073 68. Bagchi A, Herrup EA, Warren HS, Trigilio J, Shin HS, Valen-
1074 tine C, Hellman J. MyD88-dependent and MyD88-independent
1075 pathways in synergy, priming, and tolerance between TLR
1076 agonists. *J Immunol.* 2007;178:1164–71.
1077 69. Whitmore MM, DeVeer MJ, Edling A, Oates RK, Simons B,
1078 Lindner D, Williams BR. Synergistic activation of innate
1079 immunity by double-stranded RNA and CpG DNA promotes
1080 enhanced antitumor activity. *Cancer Res.* 2004;64:5850–60.
1081 70. Napolitani G, Rinaldi A, Bertoni F, Sallusto F, Lanzavecchia A.
1082 Selected Toll-like receptor agonist combinations synergistically
1083 trigger a T helper type 1-polarizing program in dendrite cells.
1084 *Nat Immunol.* 2005;6:769–76.
1085 71. Makela SM, Stengell M, Pietila TE, Osterlund P, Julkunen I.
1086 Multiple signaling pathways contribute to synergistic TLR
1087 ligand-dependent cytokine gene expression in human monocyte-
1088 derived macrophages and dendrite cells. *J Leukoc Biol.*
1089 2009;85:664–72.
1090 72. Bohnenkamp HR, Papazisis KT, Burchell JM, Taylor-Papadimitriou J. Synergism of Toll-like receptor-induced interleukin-
1091 12p70 secretion by monocyte-derived dendrite cells is mediated
1092 through p38 MAPK and lowers the threshold of T-helper cell
1093 type 1 responses. *Cell Immunol.* 2007;247:72–84.
1094 73. Wenink MH, Santegoets KC, Broen JC, van Bon L, Abdollahi-
1095 Roodsaz S, Popa C, Huijbens R, Remijn T, Lubberts E, van Riel
1096 PL, van den Berg WB, Radstake TR. TLR2 promotes Th2/Th17
1097 responses via TLR4 and TLR7/8 by abrogating the type I IFN
1098 amplification loop. *J Immunol.* 2009;183:6960–70.
1099 74. Dragicevic A, Dzopalic T, Vasilijic S, Vucevic D, Bozic B,
1100 Majstorovic I, Balint B, Colic M. The influence of CD40 ligation
1101 and interferon-gamma on functional properties of human
1102 monocyte-derived dendrite cells activated with polyinosinic-
1103 polycytidylic acid. *Vojnosanit Pregl.* 2011;68:301–8.
1104 75. Owaki T, Asakawa M, Fukai F, Mizuguchi J, Yoshimoto T. IL-
1105 27 induces Th1 differentiation via p38 MAPK/T-bet- and
1106 intercellular adhesion molecule-1/LFA-1/ERK1/2-dependent
1107 pathways. *J Immunol.* 2006;177:7579–87.
1108 76. Yu CF, Peng WM, Oldenburg J, Hoch J, Bieber T, Limmer A,
1109 Hartmann G, Barchet W, Eis-Hubinger AM, Novak N. Human
1110 plasmacytoid dendrite cells support Th17 cell effector function
1111 in response to TLR7 ligation. *J Immunol.* 2010;184:1159–67.
1112 77. Molle C, Nguyen M, Flamand V, Reneson J, Trottein F, De
1113 Wit D, Willems F, Goldman M, Gorisly S. IL-27 synthesis
1114 induced by TLR ligation critically depends on IFN regulatory
1115 factor 3. *J Immunol.* 2007;178:7607–15.
1116 78. Yoshimura T, Takeda A, Hamano S, Miyazaki Y, Kinjyo I,
1117 Ishibashi T, Yoshimura A, Yoshida H. Two-sided roles of IL-27:
1118 induction of Th1 differentiation on naive CD4+ T cells versus
1119 suppression of proinflammatory cytokine production including
1120 IL-23-induced IL-17 on activated CD4+ T cells partially
1121 through STAT3-dependent mechanism. *J Immunol.*
1122 2006;177:5377–85.
1123 79. Lucas S, Ghilardi N, Li J, de Sauvage FJ. IL-27 regulates IL-12
1124 responsiveness of naive CD4+ T cells through Stat1-dependent
1125 and -independent mechanisms. *Proc Natl Acad Sci USA.*
1126 2003;100:15047–52.
1127 80. Beutler B, Jiang Z, Georgel P, Crozet K, Croker B, Rutschmann
1128 S, Du X, Hoebe K. Genetic analysis of host resistance: toll-like
1129 receptor signaling and immunity at large. *Annu Rev Immunol.*
1130 2006;24:353–89.
1131 81. Zhu Q, Egelston C, Vivekanandan A, Uematsu S, Akira S,
1132 Klinman DM, Belyakov IM, Berzofsky JA. Toll-like receptor
1133 ligands synergize through distinct dendrite cell pathways to
1134 induce T cell responses: implications for vaccines. *Proc Natl
1135 Acad Sci USA.* 2008;105:16260–5.
1136 82. Zelenky AN, Gready JE. The C-type lectin-like domain
1137 superfamily. *FEBS J.* 2005;272:6179–217.
1138 83. Kanazawa N, Okazaki T, Nishimura H, Tashiro K, Inaba K,
1139 Miyachi Y. DCIR acts as an inhibitory receptor depending on its
1140 immunoreceptor tyrosine-based inhibitory motif. *J Invest Dermatol.*
1141 2002;118:261–6.
1142 84. Kanazawa N. Dendrite cell immunoreceptors: C-type lectin
1143 receptors for pattern-recognition and signaling on antigen-presenting
1144 cells. *J Dermatol Sci.* 2007;45:77–86.
1145 85. Geijtenbeek TB, Gringhuis SI. Signalling through C-type lectin
1146 receptors: shaping immune responses. *Nat Rev Immunol.* 2009;
1147 9:465–79.
1148 86. Dennehy KM, Brown GD. The role of the beta-glucan receptor
1149 Dectin-1 in control of fungal infection. *J Leukoc Biol.* 2007;
1150 82:253–8.
1151 87. Ariizumi K, Shen GL, Shikano S, Xu S, Ritter R 3rd, Kumamoto
1152 T, Edelbaum D, Morita A, Bergstresser PR, Takashima A.
1153 Identification of a novel, dendrite cell-associated molecule,
1154 dectin-1, by subtractive cDNA cloning. *J Biol Chem.* 2000;275:
1155 20157–67.
1156 88. Brown GD. Dectin-1: a signalling non-TLR pattern-recognition
1157 receptor. *Nat Rev Immunol.* 2006;6:33–43.
1158 89. Taylor PR, Brown GD, Reid DM, Willment JA, Martinez-Po-
1159 mares L, Gordon S, Wong SY. The beta-glucan receptor, dectin-
1160 1, is predominantly expressed on the surface of cells of the
1161 monocyte/macrophage and neutrophil lineages. *J Immunol.*
1162 2002;169:3876–82.
1163 90. LeibundGut-Landmann S, Gross O, Robinson MJ, Osorio F,
1164 Slack EC, Tsoni SV, Schweighoffer E, Tybulewicz V, Brown
1165 GD, Ruland J, Reis e Sousa C. Syk- and CARD9-dependent
1166 coupling of innate immunity to the induction of T helper cells
1167 that produce interleukin 17. *Nat Immunol.* 2007;8:630–8.
1168 91. Skrzypczek F, Cenci E, Pietrella D, Rachini A, Bistoni F, Vec-
1169 chiarelli A. Dectin-1 is required for human dendrite cells to
1170 initiate immune response to *Candida albicans* through Syk
1171 activation. *Microbes Infect.* 2009;11:661–70.
1172 92. Gringhuis SI, den Dunnen J, Litjens M, van der Vlist M, Wevers
1173 B, Bruijns SC, Geijtenbeek TB. Dectin-1 directs T helper cell
1174 differentiation by controlling noncanonical NF-kappaB activation
1175 through Raf-1 and Syk. *Nat Immunol.* 2009;10:203–13.
1176 93. Kanazawa N, Tashiro K, Miyachi Y. Signaling and immune
1177 regulatory role of the dendrite cell immunoreceptor (DCIR)
1178 family lectins: DCIR, DCAR, dectin-2 and BDCA-2. *Immu-
1179 nobiology.* 2004;209:179–90.
1180 94. Fernandes MJ, Finnegan AA, Siracusa LD, Brenner C, Iscove
1181 NN, Calabretta B. Characterization of a novel receptor that maps
1182 near the natural killer gene complex: demonstration of carbo-
1183 hydrate binding and expression in hematopoietic cells. *Cancer
1184 Res.* 1999;59:2709–17.
1185 95. Sato K, Yang XL, Yudate T, Chung JS, Wu J, Luby-Phelps K,
1186 Kimberly RP, Underhill D, Cruz PD Jr, Ariizumi K. Dectin-2 is
1187



- 1188 a pattern recognition receptor for fungi that couples with the Fc
1189 receptor gamma chain to induce innate immune responses.
1190 *J Biol Chem.* 2006;281:38854–66.
- 1191 96. de Fougerolles AR, Springer TA. Intercellular adhesion molecule 3, a third adhesion counter-receptor for lymphocyte func-
1192 tion-associated molecule 1 on resting lymphocytes. *J Exp Med.* 1992;175:185–90.
- 1193 97. Geijtenbeek TB, Van Vliet SJ, Koppela EA, Sanchez-Hernandez
1194 M, Vandebroucke-Grauls CM, Appelmelk B, Van Kooyk Y. Mycobacteria target DC-SIGN to suppress dendritic cell func-
1195 tion. *J Exp Med.* 2003;197:7–17.
- 1196 98. de Jong MA, Vriend LE, Theelen B, Taylor ME, Fluitsma D,
1197 Boekhout T, Geijtenbeek TB. C-type lectin Langerin is a beta-
1198 glucan receptor on human Langerhans cells that recognizes
1199 opportunistic and pathogenic fungi. *Mol Immunol.* 2010;47:
1200 1216–25.
- 1201 99. Valladeau J, Ravel O, Dezutter-Dambuyant C, Moore K,
1202 Kleijmeer M, Liu Y, Duvert-Francès V, Vincent C, Schmitt D,
1203 Davoust J, Caux C, Lebecque S, Saeland S. Langerin, a novel
1204 C-type lectin specific to Langerhans cells, is an endocytic
1205 receptor that induces the formation of Birbeck granules.
1206 *Immunity.* 2000;12:71–81.
- 1207 100. de Witte L, Nabatov A, Pion M, Fluitsma D, de Jong MA, de
1208 Gruyl T, Piguet V, van Kooyk Y, Geijtenbeek TB. Langerin is a
1209 natural barrier to HIV-1 transmission by Langerhans cells. *Nat
1210 Med.* 2007;13:367–71.
- 1211 101. Takahara K, Yashima Y, Omatsu Y, Yoshida H, Kimura Y,
1212 Kang YS, Steinman RM, Park CG, Inaba K. Functional com-
1213 parison of the mouse DC-SIGN, SIGNR1, SIGNR3 and Lang-
1214 erin C-type lectins. *Int Immunopharmacol.* 2004;16:819–29.
- 1215 102. Dziona A, Sohma Y, Nagafune J, Celli M, Colonna M, Fac-
1216 chetti F, Gunther G, Johnston I, Lanzavecchia A, Nagasaka T,
1217 Okada T, Vermi W, Winkels G, Yamamoto T, Zysk M, Yam-
1218 aguchi Y, Schmitz J. BDCA-2, a novel plasmacytoid dendritic
1219 cell-specific type II C-type lectin, mediates antigen capture and
1220 is a potent inhibitor of interferon alpha/beta induction. *J Exp
1221 Med.* 2001;194:1823–34.
- 1222 103. Meyer-Wentrup F, Cambi A, Joosten B, Looman MW, de Vries
1223 II, Figdor CG, Adema GJ. DCIR is endocytosed into human
1224 dendritic cells and inhibits TLR8-mediated cytokine production.
1225 *J Leukoc Biol.* 2009;85:518–25.
- 1226 104. Chen L, Arora M, Yarlagadda M, Oriss TB, Krishnamoorthy N,
1227 Ray A, Ray P. Distinct responses of lung and spleen dendritic
1228 cells to the TLR9 agonist CpG oligodeoxynucleotide. *J Immunol.*
1229 2006;177:2373–83.
- 1230 105. Bates EE, Fournier N, Garcia E, Valladeau J, Durand I, Pin JJ,
1231 Zurawski SM, Patel S, Abrams JS, Lebecque S, Garrone P,
1232 Saeland S. APCs express DCIR, a novel C-type lectin surface
1233 receptor containing an immunoreceptor tyrosine-based inhibi-
1234 tory motif. *J Immunol.* 1999;163:1973–83.
- 1235 106. Creagh EM, O'Neill LA. TLRs, NLRs and RLRs: a trinity of
1236 pathogen sensors that co-operate in innate immunity. *Trends
1237 Immunol.* 2006;27:352–7.
- 1238 107. Fritz JH, Girardin SE. How Toll-like receptors and Nod-like
1239 receptors contribute to innate immunity in mammals. *J Endo-
1240 toxin Res.* 2005;11:390–4.
- 1241 108. Tada H, Aiba S, Shibata K, Ohteki T, Takada H. Synergistic
1242 effect of Nod1 and Nod2 agonists with toll-like receptor agonists
1243 on human dendritic cells to generate interleukin-12 and T helper
1244 type 1 cells. *Infect Immun.* 2005;73:7967–76.
- 1245 109. Watanabe T, Kitani A, Strober W. NOD2 regulation of Toll-like
1246 receptor responses and the pathogenesis of Crohn's disease. *Gut.*
1247 2005;54:1515–8.
- 1248 110. Kanneganti TD, Ozoren N, Body-Malapel M, Amer A, Park JH,
1249 Franchi L, Whitfield J, Barchet W, Colonna M, Vandenebele P,
1250 Berlin J, Coyle A, Grant EP, Akira S, Nunez G. Bacterial RNA
1251 and small antiviral compounds activate caspase-1 through
1252 cryopyrin/Nalp3. *Nature.* 2006;440:233–6.
- 1253 111. Palucka AK, Ueno H, Fay JW, Banchereau J. Taming cancer by
1254 inducing immunity via dendritic cells. *Immunol Rev.*
1255 2007;220:129–50.
- 1256 112. Hovden AO, Karlseth M, Jonsson R, Aarstad HJ, Appel S.
1257 Maturation of monocyte derived dendritic cells with OK432
1258 boosts IL-12p70 secretion and conveys strong T-cell responses.
1259 *BMC Immunol.* 2011;12:2.
- 1260 113. McIlroy D, Gregoire M. Optimizing dendritic cell-based anti-
1261 cancer immunotherapy: maturation state does have clinical
1262 impact. *Cancer Immunol Immunother.* 2003;52:583–91.
- 1263 114. Ikeda Y, Old LJ, Schreiber RD. The roles of IFN gamma in
1264 protection against tumor development and cancer immunoediting.
1265 *Cytokine Growth Factor Rev.* 2002;13:95–109.
- 1266 115. Nishimura T, Nakai M, Sato M, Iwakabe K, Kitamura H, Se-
1267 kinomoto M, Ohta A, Koda T, Nishimura S. The critical role of
1268 Th1-dominant immunity in tumor immunology. *Cancer Che-
1269 mother Pharmacol.* 2000;46(Suppl):S52–61.
- 1270 116. Kryczek I, Banerjee M, Cheng P, Vatan L, Sziliga W, Wei S,
1271 Huang E, Finlayson E, Simeone D, Welling TH, Chang A,
1272 Coukos G, Liu R, Zou W. Phenotype, distribution, generation,
1273 and functional and clinical relevance of Th17 cells in the human
1274 tumor environments. *Blood.* 2009;114:1141–9.
- 1275 117. Muranski P, Boni A, Antony PA, Cassard L, Irvine KR, Kaiser
1276 A, Paulos CM, Palmer DC, Touloukian CE, Ptak K, Gattinoni L,
1277 Wrzesinski C, Hinrichs CS, Kerstann KW, Feigenbaum L, Chan
1278 CC, Restifo NP. Tumor-specific Th17-polarized cells eradicate
1279 large established melanoma. *Blood.* 2008;112:362–73.
- 1280 118. Martin-Orozco N, Muranski P, Chung Y, Yang XO, Yamazaki
1281 T, Lu S, Hwu P, Restifo NP, Overwijk WW, Dong C. T helper
1282 17 cells promote cytotoxic T cell activation in tumor immunity.
1283 *Immunity.* 2009;31:787–98.
- 1284 119. Martin-Orozco N, Muranski P, Chung Y, Yang XO, Yamazaki
1285 T, Lu S, Hwu P, Restifo NP, Overwijk WW, Dong C. T helper
1286 17 cells promote cytotoxic T cell activation in tumor immunity.
1287

[Issue TOC](#) | [Previous Article](#) | [Next Article](#)

Signaling through Toll-like receptor 3 and Dectin-1 potentiates the capability of human monocyte-derived dendritic cells to promote T-helper 1 and T-helper 17 immune responses

Posted online on March 16, 2012. (doi:10.3109/14653249.2012.667873)

Ana Dragicevic¹, Tanja Dzopalic^{1,2}, Sasa Vasilić¹, Dragana Vučević¹, Sergej Tomic¹, Biljana Božić^{1,3} & Miodrag Colić^{2,4}

¹Military Medical Academy, Institute for Medical Research, Belgrade, Serbia

²University of Nis, Medical Faculty, Nis, Serbia

³University of Belgrade, Faculty of Biology, Belgrade, Serbia

⁴University of Defense in Belgrade, Medical Faculty of the Military Medical Academy, Belgrade, Serbia

[HTML](#)

[PDF \(325 KB\)](#)

[PDF Plus \(326 KB\)](#)

[Reprints](#)

[Permissions](#)

Correspondence: Professor Miodrag Colić, MD, PhD, Medical Faculty of Military Medical Academy, University of Defense in Belgrade, Crnotravska 17, 11002 Belgrade, Serbia. E-mail: mjcolic@eunet.rs

Background aims. Recent studies have shown that the ligation of Toll-like receptor 3 (TLR3) or Dectin-1 on human monocyte-derived dendritic cells (MoDC) elicits their maturation, but with a different outcome on immunomodulation. Therefore the aim of this work was to study the response of MoDC to the combined effect of polyinosinic:polycytidilic acid [Poly (I:C)] and curdlan, selective TLR3 and Dectin-1 agonists, respectively. **Methods.** Immature MoDC, generated from human monocytes, were treated with Poly (I:C), curdlan or their combination for 2 days. Phenotypic characteristics of MoDC were determined by flow cytometry, and cytokine production was measured by enzyme-linked immunosorbent assay (ELISA) and FlowCytomix, while the stimulatory capability of MoDC was tested using a mixed leukocyte reaction assay. **Results.** The combination of Poly (I:C) and curdlan induced phenotypic maturation of MoDC with the capability to stimulate an alloreactive response. Such treated MoDC up-regulated the production of interleukin (IL)-12, IL-23 and IL-10, compared with the effect of Poly (I:C) alone. Curdlan-treated MoDC stimulated the production of IL-17 by alloreactive CD4⁺ T cells more strongly than Poly (I:C)-treated MoDC. The opposite effect was observed for interferon(IFN)-γ production. When combined, these agonists primed MoDC to increase further the production of IFN-γ by CD4⁺ T cells in co-culture, especially those of naive (CD45RA⁺) phenotype, and IL-17 by memory (CD45RO⁺) CD4⁺ T cells. **Conclusions.** Ligation of TLR3 and Dectin-1 receptor up-regulates T-helper (Th) 1 and Th17 immune responses compared with single agonists. These findings may have therapeutic implications for the use of MoDC in immunotherapy.

Keywords

Dectin-1 receptor, human monocyte-derived dendritic cells, T-helper immune response, Toll-like receptor 3

[HTML](#) | [PDF \(325 KB\)](#) | [PDF Plus \(326 KB\)](#) - [What is PDF Plus?](#)

Cytotherapy, 2012; Early Online: 1–10

1	57
2	58
3	59
4	60
5	61
6	62
7	63
8	64
9	65
10	66
[AQ1] 11	67
12	68
13	69
[AQ2] 14	70
15	71
16	72
17	73
18	74
19	75
20	76
21	77
22	78
23	79
24	80
25	81
26	82
27	83
28	84
29	85
30	86
31	87
32	88
33	89
34	90
35	91
36	92
37	93
38	94
39	95
40	96
41	97
42	98
43	99
44	100
45	101
46	102
47	103
48	104
49	105
50	106
51	107
52	108
53	109
54	110
55	111
56	112
Abstract	
Background aims. Recent studies have shown that the ligation of Toll-like receptor 3 (TLR3) or Dectin-1 on human monocyte-derived dendritic cells (MoDC) elicits their maturation, but with a different outcome on immunomodulation. Therefore the aim of this work was to study the response of MoDC to the combined effect of polyinosinic:polycytidylic acid [Poly (I:C)] and curdlan, selective TLR3 and Dectin-1 agonists, respectively. Methods. Immature MoDC, generated from human monocytes, were treated with Poly (I:C), curdlan or their combination for 2 days. Phenotypic characteristics of MoDC were determined by flow cytometry, and cytokine production was measured by enzyme-linked immunosorbent assay (ELISA) and FlowCytomix, while the stimulatory capability of MoDC was tested using a mixed leukocyte reaction assay. Results. The combination of Poly (I:C) and curdlan induced phenotypic maturation of MoDC with the capability to stimulate an alloreactive response. Such treated MoDC up-regulated the production of interleukin (IL)-12, IL-23 and IL-10, compared with the effect of Poly (I:C) alone. Curdlan-treated MoDC stimulated the production of IL-17 by alloreactive CD4+ T cells more strongly than Poly (I:C)-treated MoDC. The opposite effect was observed for interferon(IFN)- γ production. When combined, these agonists primed MoDC to increase further the production of IFN- γ by CD4+ T cells in co-culture, especially those of naive (CD45RA+) phenotype, and IL-17 by memory (CD45RO+) CD4+ T cells. Conclusions. Ligation of TLR3 and Dectin-1 receptor up-regulates T-helper (Th) 1 and Th17 immune responses compared with single agonists. These findings may have therapeutic implications for the use of MoDC in immunotherapy.	
Key Words: Dectin-1 receptor, human monocyte-derived dendritic cells, T-helper immune response, Toll-like receptor 3	
Introduction	
Dendritic cells (DC), when activated by antigens of infectious micro-organisms and inflammatory products, are mobile sentinels that capture, process and bring antigens to T cells. DC migrate from the periphery to lymphoid organs, express co-stimulatory molecules, and secrete cytokines for the induction of the immune response (1). These potent antigen-presenting cells (APC) express a wide variety of pattern recognition receptors (PRR) by which they recognize a conserved groups of molecules collectively known as pathogen-associated molecular patterns (PAMP). Although triggering of a single PRR, especially Toll-like receptors (TLR) or C-type lectins, results in phenotypic changes in DC, for functional maturation co-operation between multiple PRR is needed in order to achieve an effective immune response (2).	
DC-based cancer vaccines have provided encouraging results (3). Human monocyte-derived DC (MoDC) can be prepared easily by plastic adherence of monocytes from peripheral blood mononuclear cells (PBMC) followed by incubation for 5–7 days in granulocyte-monocyte colony-stimulating factor (GM-CSF) and interleukin (IL)-4 containing medium (4). It has been established that maturation of DC is essential because mature DC have a more stable phenotype and are superior stimulators of T-cell responses (5). Therefore a major effort has been made to identify an optimal protocol for DC maturation.	
The current ‘gold standard’ for the generation of DC used in DC-based cancer vaccine studies is maturation of MoDC with tumor necrosis factor (TNF)- α , IL-1 β , IL-6 and prostaglandin E ₂ (PGE ₂)	
Correspondence: Professor Miodrag Colic, MD, PhD, Medical Faculty of Military Medical Academy, University of Defense in Belgrade, Crnotravska 17, 11002 Belgrade, Serbia. E-mail: mjcovic@unet.rs	

(Received 19 July 2011; accepted 14 February 2012)

ISSN 1465-3249 print/ISSN 1477-2566 online © 2012 Informa Healthcare

DOI: 10.3109/14653249.2012.667873

2 A. Dragicevic et al.

1 (6). One weakness with DC generated in this way
 2 is the absence of IL-12 secretion, a key cytokine for
 3 induction of effective T-helper (Th) 1 and cytotoxic
 4 T-lymphocyte (CTL) responses that are assumed to
 5 be essential for cancer vaccination therapy (7).

6 The combined activation of different PRR can
 7 result in complementary, synergistic or antagonistic
 8 effects that modulate innate and adaptive immunity
 9 (8). Polyinosinic:polycytidylc acid [Poly (I:C)], a
 10 synthetic analog of dsRNA and a Toll-like receptor
 11 3 (TLR3) agonist, has been reported to induce stable
 12 mature Th1 responses, promoting clinically applica-
 13 ble DC that produce large amounts of IL-12 (9).
 14 Dectin-1, a DC-associated C-type lectin, is the first
 15 of many PRR that mediate their own signaling and
 16 induce the maturation of DC capable of eliciting the
 17 generation of different Th effectors. The treatment of
 18 DC with Dectin-1 agonists results in their matura-
 19 tion with the capability of eliciting differentiation of
 20 Th1 and Th17 cells (10–12).

21 In order to identify a maturation cocktail combin-
 22 ing a high yield of DC, potent expression of matura-
 23 tion markers, co-stimulatory and adhesion molecules
 24 together with a high production of Th cytokines crucial
 25 for the anti-tumor immune response, we co-stimulated
 26 MoDC with a combination of Poly (I:C) and curdlan, a
 27 ligand for Dectin-1 receptor. We show that the combi-
 28 nation is superior in triggering Th1 and Th17 responses
 29 compared with the effect of individual agonists.
 30

31 **Methods**32 *Medium and reagents*

33 Human MoDC were cultured in complete RPMI-
 34 1640 medium (ICN, Costa Mesa, CA, USA), com-
 35 posed of 2 mM L-glutamine, 20 µg/mL gentamicin,
 36 50 µM 2-mercaptoethanol (2-ME; Sigma-Aldrich,
 37 Munich, Germany) and 10% heat-inactivated fetal
 38 calf serum (FCS; Invitrogen, Carlsbad, CA, USA).
 39 Recombinant human IL-4 was purchased from Roche
 40 Diagnostics GmbH (Mannheim, Germany). Recom-
 41 binant human GM-CSF (Leucamax, specific activity
 42 4.44 × 10⁶ UI) was obtained from Schering-Plough
 43 (Basel, Switzerland). Curdlan from *Alcaligenes faecalis*
 44 and Poly (I:C) were from Sigma-Aldrich. Monensin
 45 sodium was obtained from Sigma-Aldrich.
 46

47 *Cell preparation and MoDC cultures*

48 MoDC were generated from PBMC. Briefly, PBMC
 49 from buffy coats of six healthy volunteers (upon
 50 written informed consent) were isolated by density
 51 centrifugation on Lymphoprep (Nycomed, Oslo,
 52 Norway), resuspended in 5 mL 10% FCS with
 53 2-ME in RPMI medium and allowed to adhere to
 54 plastic flasks. After 2 h at 37°C, non-adherent cells
 55

56 were removed and adherent cells were cultured in 5
 57 mL complete RPMI medium containing GM-CSF 58
 58 (100 ng/mL) and IL-4 (20 ng/mL). At day 3, a half- 59
 59 of-medium volume was removed and replaced by the 60
 same volume of fresh medium containing GM-CSF 61
 61 and IL-4. After 6 days MoDC were replated (5 × 10⁵ 62
 62 cells/mL) in medium with GM-CSF/IL-4 and the 63
 addition of different concentrations of curdlan, Poly 64
 64 (I:C) or their combination for an additional 2 days. 65
 After 8 days cell-free supernatants were collected 66
 and stored at -20°C for subsequent determina- 67
 67 tion of cytokine levels and the cells were used for 68
 immunologic studies. 69

70

71 *Allogeneic T-cell activation*

72 The ability of CD4⁺ T cells or their subsets to pro-
 73 liferate was tested in an allogeneic mixed leukocyte
 74 reaction (MLR). Allogeneic CD4⁺ T cells were iso-
 75 lated from PBMC using negative immunomagnetic
 76 sorting with CD4⁺ isolation kits (MACS technol-
 77 ogy; Mylenyi Biotec, Bergish Gladbach, Germany)
 78 following the instructions of the manufacturer. The
 79 sorted CD4⁺ T cells were separated further using a
 80 CD4⁺ CD45RA kit (MACS technology; Mylenyi
 81 Biotec). CD4⁺ CD45RA⁺ and CD4⁺ CD45RO⁺
 82 cells were recovered in positive and negative frac-
 83 tions, respectively. Their purity was higher than 95%
 84 as checked by using specific fluorochrome-labeled
 85 monoclonal antibodies (MAb) and flow cytometry.
 86

87 Purified CD4⁺ T cells, CD4⁺ CD45RO⁺
 88 T cells or CD4⁺ CD45RA⁺ T cells (1 × 10⁵ cells/well)
 89 were cultivated with different numbers of allogeneic
 90 MoDC in complete RPMI medium with 10% FCS in
 91 96-well round-bottomed cell culture plates. Different
 92 MoDC:CD4⁺ T-cells ratios were used. After 5 days
 93 of culture, the cells were pulsed with [³H]thymidine
 94 for the last 18 h (1 µCi/well; Amersham, Amersham,
 95 UK). Labeled cells were harvested onto glass fiber
 96 filters and the incorporation of the radionuclide into
 97 DNA was measured further by β-scintillation count-
 98 (LKB-1219; Rackbeta, Finland). Results were
 99 expressed as counts per minute (c.p.m.) ± standard
 deviation (SD) of triplicates. [AQ5]

100 *Flow cytometry*

101 Control and stimulated MoDC (2 × 10⁵ cells/tube)
 102 were washed in phosphate-buffered saline (PBS)
 103 supplemented with 2% FCS and 0.1% NaN₃, and
 104 incubated for 45 min at 4°C with one of the follow-
 105 ing MAb: anti-HLA-DR coupled with phycoerythrin
 106 (PE), CD80 conjugated with fluorescein isothiocyanate
 107 (FITC), CD83-FITC, CD86-PE, CD40-FITC
 108 (Serotec, Oxford, UK), CD54-PE (Serotec) and
 109 CCR7-FITC (R&D Systems, Minneapolis, MN,
 110 111

Co-activation of DC with TLR3 and Dectin-1 ligands 3 [AQ3]

1 USA). Controls consisted of samples with irrelevant	5 days in complete RPMI medium in 96-well plates.	57
2 mouse MAb reactive with rat antigens. Cell fluorescence	Cells were harvested and incubated with monensin	58
3 was analyzed using an EPICS XL-MCL flow	sodium (3 µM) for 6 h. After that, cells were stained	59
4 cytometer (Coulter, Krefeld, Germany). At least	with anti-IFN- γ -FITC (R&D Systems) and anti-IL-	60
5 5000 cells per sample were analyzed.	17-PE (BD Biosciences Pharmingen, San Diego,	61
6 The phenotype of CD4 $^{+}$ T cells in co-culture	CA, USA) by using a FIX & PERM® Cell Fixation	62
7 with MoDC was evaluated by using anti-CD45RA-	& Cell Permeabilization Kit (Invitrogen) following	63
8 FITC and anti-CD45RO-FITC MAB (Serotec) by	the manufacturer's recommendation. Cell fluores-	64
9 the method described for MoDC. For comparison,	cence was analyzed using an EPICS XL-MCL flow	65
10 the phenotype of these cells was also determined	cytometer (Coulter). The cells were gated according	66
11 before cultivation.	to cell-specific forward scatter/side scatter (FS/SS)	67
12	parameters. The results were presented as dot-plots	68
13	and the percentages of single- and double-positive	69
14	cells were indicated.	70
15 <i>Cytokine assays</i>		71
16 The levels of IL-12, IL-23, IL-27, IL-6 and IL-10	<i>Statistical analysis</i>	72
17 were measured in the cell-free supernatants of control	Differences in parameters between various groups	73
18 or stimulated MoDC cultures (4×10^5 cells/mL culture)	were evaluated using the Student's <i>t</i> -test or one-way	74
19 by sandwich ELISA assays obtained from R&D Systems,	ANOVA. Values of $P < 0.05$ or less were considered as	75
20 whereas TNF- α was determined using an ELISA kit purchased from Bender	statistically significant.	76
21 MedSystems (Vienna, Austria) following the manufacturer's instructions.		77
22		78
23 The levels of Th cytokines were evaluated in	Results	79
24 MoDC:CD4 $^{+}$ T-cell co-culture supernatants.		80
25 In these experiments, purified CD4 $^{+}$ T cells or	<i>The effect of Poly (I:C) and curdlan</i>	81
26 CD4 $^{+}$ T-cell subsets (1×10^5 cells/well)	<i>on the maturation of human MoDC</i>	82
27 were cultivated with allogeneic MoDC (1×10^4 cells/well)	In preliminary experiments, immature MoDC were	83
28 in complete RPMI medium with 10% FCS	treated with Poly (I:C) (5 µg/mL, 25 µg/mL and 50	84
29 in 96-well round-bottomed cell culture plates.	µg/mL) or curdlan (10 µg/mL, 50 µg/mL, 100 µg/mL and 200 µg/mL). Based on phenotypic characteristics	85
30 After 5 days phorbol myristate acetate (PMA; 20	and the functional capabilities of MoDC, some concentrations of Poly (I:C) (25 µg/mL) and	86
31 ng/mL; Sigma-Aldrich) and ionomycin (500 ng/mL; Merck, Vienna, Austria) were added to the wells.	curdlan (100 µg/mL) were found to be suboptimal	87
32 The cells were incubated for an additional	for activation of MoDC. Therefore, in the following	88
33 8 h and then harvested, centrifuged, and cell-free	experiments we used these concentrations for the agonists, alone or in combination, for stimulation of	89
34 supernatants collected and stored at -20°C for	immature MoDC for 2 days. After that, the phenotypic	90
35 the subsequent determination of cytokine levels	and functional characteristics of MoDC were	91
36 using a FlowCytomix Human Th1/Th2 11plex Kit	examined.	92
37 from Bender MedSystems (Vienna, Austria) and	Poly (I:C) stimulated the maturation of MoDC	93
38 an IL-17 sandwich ELISA assay (R&D Systems).	as judged by the up-regulation of HLA-DR, CD86,	94
39 The FlowCytomix Human Th1/Th2 11plex Kit is	CD40, CD54, CD83 and CCR7 expression. Curdlan	95
40 a fluorescent bead immunoassay based on the use	up-regulated the expression of HLA-DR, CD86,	96
41 of beads coated with antibodies specifically reacting	CD83, CD40 and CCR7 but its effect was weaker	97
42 with each of the cytokines to be detected in	compared with Poly (I:C). Simultaneous treatment	98
43 the supernatants. A biotin-conjugated secondary	of MoDC with both compounds only potentiated	99
44 antibody mixture binds to the cytokines captured	the expression of CCR7, whereas other phenotypic	100
45 by the first antibodies. After that, streptavidin-PE	characteristics of MoDC did not differ significantly	101
46 binds to the biotin conjugate and emits fluorescent	compared with Poly (I:C)-treated MoDC (Table I	102
47 signals. The emitted fluorescence was analyzed	and Figure 1).	103
48 using an EPICS XL-MCL flow cytometer		104
49 (Coulter, Krefeld, Germany).		105
50		106
51 The Th-polarizing capabilities of MoDC were		107
52 assessed additionally in the co-culture with purified		108
53 allogeneic CD4 $^{+}$ T cells, by measuring the production	<i>The combination of Poly (I:C) and curdlan</i>	109
54 of IL-17 and IFN- γ intracellularly. Briefly, the	<i>potentiates the allostimulatory activity of MoDC</i>	110
55 purified CD4 $^{+}$ T cells (1×10^5 cells/well) were cul-	The allostimulatory activity of MoDC was evaluated	111
56 tivated with allogeneic MoDC (1×10^4 cells/well) for	using an MLR assay. Poly (I:C)- or curdlan-treated	112

4 A. Dragicevic et al.

Table I. Effect of Poly (I:C), curdlan and their combination on phenotypic characteristics of human MoDC.

		Control	Poly (I:C)	Curdlan	Poly (I:C)+ curdlan
HLA-DR	%	98.0 ± 1.6	99.0 ± 0.6	99.1 ± 0.8	99.6 ± 0.2
	MFI	28.8 ± 4.3	62.9 ± 9.5 ³	61.2 ± 9.2 ³	75.7 ± 11.4 ³
CD86	%	75.4 ± 10.9	96.5 ± 1.4 ³	95.4 ± 2.0 ³	92.4 ± 3.0 ³
	MFI	13.6 ± 2.0	37.6 ± 5.6 ³	21.6 ± 3.2 ¹	36.5 ± 5.5 ³
CD40	%	92.8 ± 5.3	97.5 ± 1.1	98.6 ± 0.9	97.8 ± 1.4
	MFI	15.0 ± 1.8	41.6 ± 5.0 ³	22.6 ± 2.7 ²	44.0 ± 5.3 ³
CD54	%	83.9 ± 13.2	94.2 ± 3.3	83.2 ± 8.4	93.6 ± 3.4
	MFI	23.5 ± 3.5	55.9 ± 8.4 ³	24.5 ± 3.7	59.5 ± 9.0 ³
CD83	%	33.2 ± 5.0	75.9 ± 11.4 ³	56.9 ± 8.5 ³	70.9 ± 10.6 ³
	MFI	3.4 ± 0.5	6.4 ± 1.0 ¹	4.7 ± 0.7	6.2 ± 0.8 ³
CCR7	%	2.7 ± 0.4	11.3 ± 1.6 ³	4.0 ± 0.6 ¹	18.5 ± 2.0 ^{3,4}
	MFI	2.6 ± 0.4	2.9 ± 0.5	2.2 ± 0.4	5.2 ± 0.6 ^{3,5}

Immature MoDC (control) were treated with Poly (I:C), curdlan and their combination for an additional 2 days, as described in the Methods. After that, the phenotypic characteristics of control and treated-MoDC were determined by flow cytometry. Results are given as mean ± SD ($n=6$ different donors).

%, percentage of positive cells; MFI, mean fluorescence intensity.

¹ $P<0.05$; ² $P<0.01$, ³ $P<0.005$ compared with the control. ⁴ $P<0.05$, ⁵ $P<0.01$ compared with Poly (I:C)-treated MoDC.

MoDC stimulated the proliferation of allogeneic CD4⁺ T cells at lower DC:CD4⁺ T-cell ratios (1:40 and 1:80). Simultaneous treatment of the cells with both compounds inhibited cellular proliferation at

higher (1:10) DC:CD4⁺ T-cell ratios but enhanced the proliferative response at lower (1:80) DC:CD4⁺ T-cell ratios, compared with the effect of Poly (I:C)-treated MoDC (Figure 2).

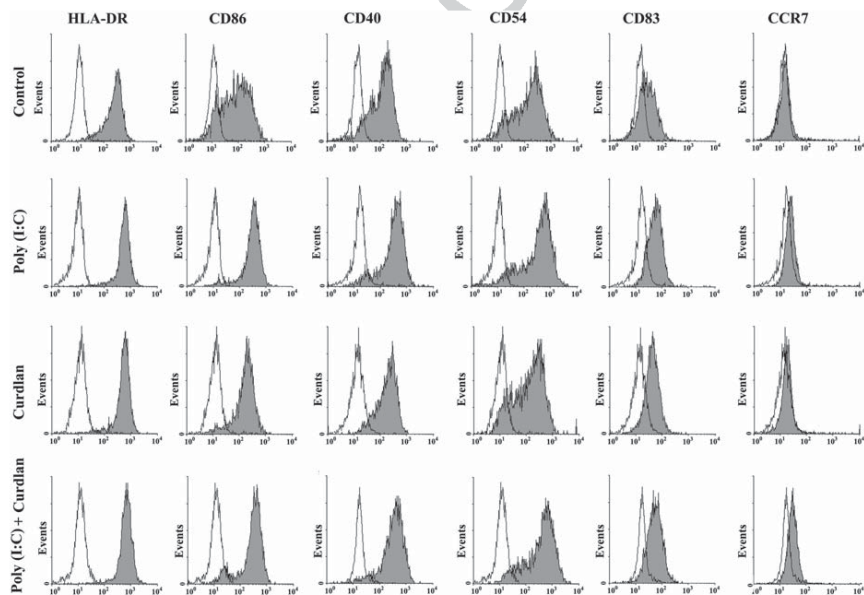


Figure 1. Phenotypic characteristics of MoDC. MoDC were obtained by cultivation of human monocytes for 6 days with GM-CSF (100 ng/mL) and IL-4 (20 ng/mL) and then stimulated with Poly (I:C) (25 µg/mL), curdlan (100 µg/mL) or their combination for an additional 48 h. Non-adherent cells were collected and stained for key DC markers using MAb (anti-HLA-DR-PE, CD86-PE, CD83-FITC, CD40-FITC, CD54-PE and CCR7-FITC) and analyzed by flow cytometry. Results are presented as over-laid histograms within the gated population of one (out of six) experiment.

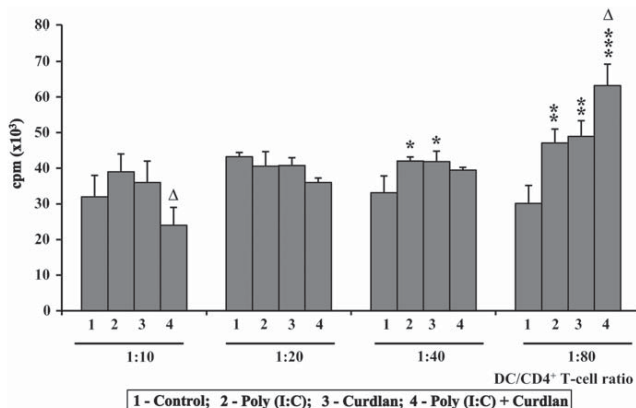


Figure 2. The effect of Poly (I:C), curdlan and their combination on the allostimulatory capability of MoDC. MoDC were generated by the cultivation of monocytes in the presence of GM-CSF (100 ng/mL) and IL-4 (20 ng/mL) for 6 days and Poly (I:C) (25 µg/mL), curdlan (100 µg/mL) or their combination for an additional 48 h. MoDC were co-cultivated in U-bottomed 96-well microtiter plates with allogeneic CD4⁺ T cells at concentrations of 1×10^5 cells/well at different DC:CD4⁺ T-cell ratios. Cell proliferation was measured after 5 days using a [³H]thymidine uptake assay. Values are presented as c.p.m. \pm SD of triplicates (one representative experiment out of six with similar results). * $P < 0.05$, ** $P < 0.01$, *** $P < 0.005$ compared with the control. $\Delta P < 0.05$ compared with Poly (I:C)-treated MoDC.

The effects of simultaneous treatment of MoDC with Poly (I:C) and curdlan on cytokine production

Control immature MoDC produced low levels of IL-10 and IL-27, whereas the production of IL-12, IL-23, TNF- α and IL-6 was almost undetectable. Ligation of TLR3 by Poly (I:C) triggered a high production of IL-12, IL-27, TNF- α and IL-6. The level of IL-23 was moderately increased compared with the control, whereas the production of IL-10 was not significantly changed. Curdlan up-regulated the production of IL-23 and IL-27 and down-regulated the production of IL-10, compared with untreated MoDC, whereas the production of other cytokines was not significantly modulated. Stimulation of immature MoDC with the combination of Poly (I:C) and curdlan was followed by synergistic up-regulation of IL-12, IL-23 and IL-10 production. In contrast, the levels of IL-6 and IL-27 were lower compared with their levels in MoDC cultures treated with Poly (I:C), alone (Figure 3).

The combination of Poly (I:C) and curdlan stimulates MoDC to promote Th1 and Th17 immune responses

The capability of MoDC to polarize Th immune responses was measured by the production of cytokines in DC:CD4⁺ T-cell co-cultures. Total CD4⁺ T cells in co-culture with control MoDC produced a significant quantity of all the Th cytokines examined. Poly (I:C)-treated MoDC enhanced the production of IFN- γ and IL-17 but decreased the production of IL-10 and IL-5 by allogeneic CD4⁺ T cells,

compared with control cultures. Allogeneic CD4⁺ T cells in co-culture with MoDC treated with curdlan produced significantly higher levels of IFN- γ , IL-17 and IL-2 and lower levels of IL-5, compared with control cultures. The stimulatory effect of curdlan-treated MoDC on IL-17 production was higher compared with Poly (I:C)-treated MoDC. The opposite results were observed with IFN- γ . The treatment of MoDC with both compounds resulted in up-regulation of IFN- γ and IL-10 production in co-cultures, compared with the levels of these cytokines in co-cultures of MoDC treated with single agonists. A similar tendency towards an additional increase in the production of IL-17 was also observed. In contrast, the production of IL-2 was down-regulated (Figure 4A).

The intracellular cytokine staining showed that MoDC treated with a combination of Poly (I:C) and curdlan stimulated the expansion of both single IFN- γ - and IL-17-producing allogeneic CD4⁺ T cells, but also double-positive IFN- γ ⁺ IL-17⁺ cells. In contrast, MoDC pre-incubated with single agonists mostly expanded effector CD4⁺ T cells of separate (IFN- γ ⁺ or IL-17⁺) phenotype (Figure 4B).

When the production of cytokines in co-culture of MoDC with allogeneic CD4⁺ CD45RA (naive) and CD4⁺ CD45RO (memory) T cells was investigated, the results varied depending on the CD4⁺ T-cell subsets. Poly (I:C)-treated MoDC stimulated the production of IFN- γ by both naive and memory CD4⁺ T cells, but the response of naive CD4⁺ T cells was stronger. In contrast, curdlan-treated MoDC stimulated the

6 A. Dragicevic et al.

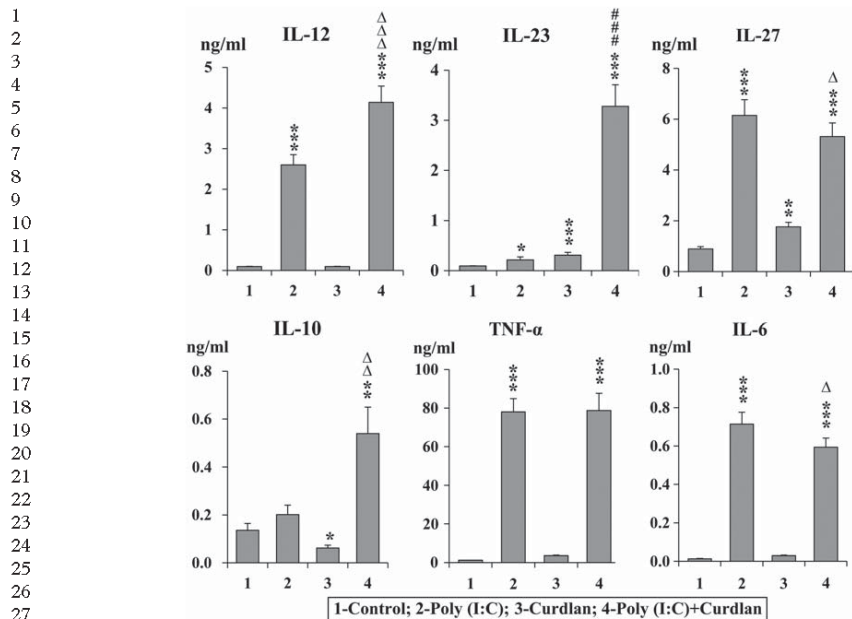


Figure 3. Cytokine production by MoDC. MoDC were obtained by cultivation of human monocytes for 6 days with GM-CSF (100 ng/mL) and IL-4 (20 ng/mL) and then stimulated with Poly (I:C) (25 µg/mL), curdlan (100 µg/mL) or their combination for an additional 48 h. Levels of secreted IL-12, IL-23, IL-10, TNF- α , IL-6 and IL-27 were determined in cell-free supernatants by ELISA. Values are given as mean \pm SD ($n=6$ donors). * $P<0.05$, ** $P<0.01$, *** $P<0.005$ compared with the control. $\Delta P<0.05$, $\Delta\Delta P<0.01$, $\Delta\Delta\Delta P<0.005$ compared with Poly (I:C)-treated MoDC. # $P<0.05$ compared with curdlan-treated MoDC.

production of this cytokine only by memory CD4 $^{+}$ T cells. Poly (I:C)-treated MoDC stimulated the production of IL-17 by memory CD4 $^{+}$ T cells. Curdlan-treated MoDC stimulated the production of this cytokine by both CD4 $^{+}$ T subsets, but its effect on memory CD4 $^{+}$ T cells was stronger. Simultaneous treatment of MoDC with curdlan and Poly (I:C) potentiated IFN- γ production by naive and memory CD4 $^{+}$ T cells and IL-17 production by memory CD4 $^{+}$ T cells (Figure 5A). The combined effect of these agonists was not dependent on the changes in the proportion of CD4 $^{+}$ CD45RA $^{+}$ and CD4 $^{+}$ CD45RO $^{+}$ cells in cultures (Figure 5B) nor was it a consequence of the different proliferation rate of these cell subsets (Figure 5C).

Discussion

Simultaneous targeting of two or more PRR is a promising tool for generating immunogenic DC (2). In this context we examined, for the first time, the combined effect of Poly (I:C), a TLR3 agonist, and curdlan, a Dectin-1 agonist, on the maturation and functions of human MoDC. This is an interesting

immunotherapeutic approach, because no microbe or fungal pathogen that expresses or generates ligands for both TLR3 and Dectin-1 has been found so far.

Numerous studies have shown that Poly (I:C), which mimics the effects of viral dsRNA, induces very potent maturation of DC, which produce high quantities of IL-12 and polarize a strong Th1 immune response (9,13–15). We confirmed these results and additionally showed that Poly (I:C)-treated MoDC produced high levels of two other members of the IL-12 family (IL-23 and IL-27). Consistently with this cytokine profile, we showed that Poly (I:C)-treated MoDC up-regulated Th1 and Th17 and down-regulated Th2 immune responses. These findings are in agreement with the current concept of reciprocal regulation of the Th1:Th2 balance (16). However, the functional significance of the Th17 immune response, triggered by TLR3 agonists, or natural viral ligands for TLR3 has been investigated less.

The transmembrane receptor Dectin-1 is able to recognize soluble and particulate β -glucan (17,18), which makes up to 50% of the fungal cell wall. The role of Dectin-1 in modulating the biologic functions of human DC is reported in only a few studies

Co-activation of DC with TLR3 and Dectin-1 ligands 7

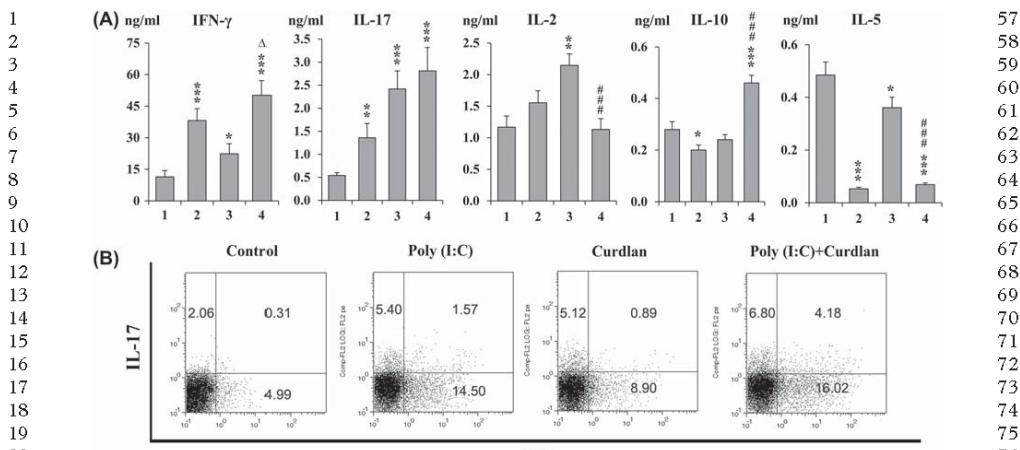


Figure 4. The combined effect of Poly (I:C) and curdlan on the Th polarization capability of MoDC. Allogeneic CD4 $^{+}$ T cells were co-cultured with MoDC (1×10^4 cells/well) at a concentration of 1×10^5 cells/well. Co-cultivation lasted for 5 days, after which PMA (20 ng/mL) and ionomycin (500 ng/mL) were added for an additional 8 h. (A) Cell-free supernatants were collected and used for detection of IL-17 by ELISA, and IFN- γ , IL-2, IL-5 and IL-10 by FlowCytometry Human Th1/Th2 11plex. Cytokine levels are given as mean \pm SD ($n = 6$ donors). (B) In order to evaluate intracellular expression of cytokines, cells were harvested from parallel CD4 $^{+}$ /MoDC co-cultures and incubated with monensin sodium for 6 h. The cells were then stained with anti-IFN- γ -FITC and anti-IL-17-PE. Cell fluorescence was analyzed using an EPICS XL-MCL flow cytometer. The results are presented as dot-plots. The percentage of single- and double-positive cells are indicated (one representative experiment out of three with similar results). 1, control; 2, Poly (I:C); 3, curdlan; 4, Poly (I:C) + curdlan. * $P < 0.05$, ** $P < 0.01$, *** $P < 0.005$ compared with the control. $\Delta P < 0.05$, $\Delta\Delta P < 0.01$, $\Delta\Delta\Delta P < 0.005$ compared with Poly (I:C)-treated MoDC. # $P < 0.005$ compared with curdlan-treated MoDC.

(12,19,20). It has been shown that mouse or human DC, stimulated with curdlan, increases the expression of co-stimulatory molecules and produces a number of pro-inflammatory (IL-1 β , IL-6, IL-12 and IL-23) and anti-inflammatory (IL-10) cytokines (11,12,19–21).

We found that activation of the Dectin-1 pathway by curdlan was followed with maturation of MoDC, increased production of IL-23 and IL-27 and decreased production of IL-10 by MoDC. The reason for these differences between ours and previously published results (12,21) might be explained by the difference in applied concentrations of curdlan and the mode of its preparation, both at the manufacturer level and in the laboratory (22). It is interesting that, although the level of IL-12 was undetectable, curdlan-treated MoDC promoted a moderate Th1 response. This finding might be explained by stimulation of IL-12 production during direct contact of MoDC with CD4 $^{+}$ T cells in co-culture, predominantly through CD40–CD40L interactions (23). On the other hand, a relatively stable phenomenon, which has already been published (12), was the ability of curdlan to stimulate the production of IL-23 by MoDC and to promote the Th17 immune response.

The crucial finding of our study was that simultaneous engagement of TLR3 and Dectin-1 was followed

by amplification of IL-12, IL-23 and IL-10 production by MoDC, whereas the production of IL-27 and IL-6 was down-regulated. As expected, such activated MoDC increased the production of both IFN- γ and IL-17, compared with the effect of single agonists. These results were more obvious when naive (higher producers of IFN- γ) and memory (higher producers of IL-17) CD4 $^{+}$ T cells were used in the co-culture experiments. The effect was not associated with the change in the ratio of CD4 $^{+}$ CD45RA $^{+}$ /CD4 $^{+}$ CD45RO $^{+}$ subsets, nor their proliferative capability in culture.

The enhancement of cytokine production was a consequence of expansion of both single-positive IFN- γ $^{+}$ and IL-17 $^{+}$ CD4 $^{+}$ T cells, and also double-positive IFN- γ $^{+}$ IL-17 $^{+}$ CD4 $^{+}$ T cells. IFN- γ $^{+}$ IL-17 $^{+}$ double-positive cells are found in significantly elevated numbers in inflamed tissue and blood from patients with chronic inflammatory disease. They are phenotypically unstable in culture and could become IL-17 or IFN- γ single-producing cells (24). Based on these findings we hypothesize that cytokines of the IL-12 family, produced by MoDC following the simultaneous engagement of TLR3 and Dectin-1, stimulated polarization of the immune response, at least partly, by inducing the differentiation of IFN- γ $^{+}$ IL-17 $^{+}$ double-positive CD4 $^{+}$ T cells. Although the

8 A. Dragicevic et al.

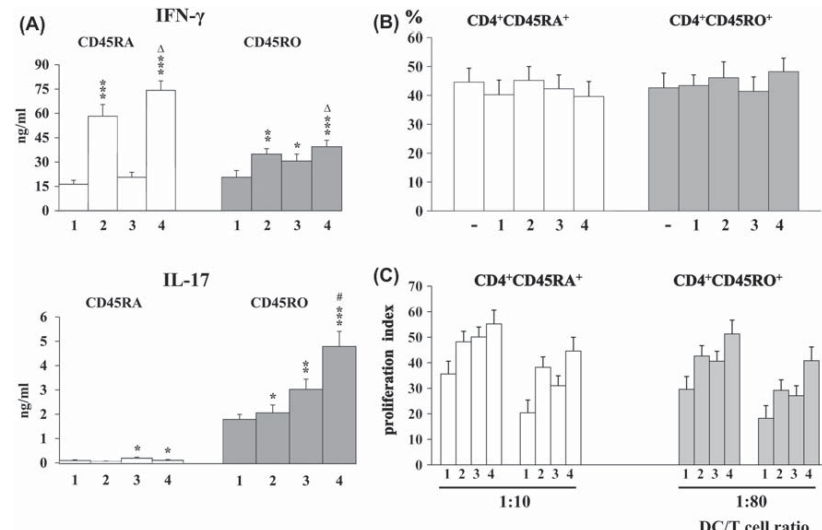


Figure 5. The combined effect of Poly (I:C) and curdlan on the capability of MoDC to influence cytokine production (A), frequency (B) and proliferation (C) of CD4⁺ CD45RA⁺ and CD4⁺ CD45RO⁺ T cells in co-cultures. Purified CD4⁺ CD45RA⁺ (naive) and CD4⁺ CD45RO⁺ (memory) T cells (1×10^5 cells/well) were co-cultivated with MoDC (1×10^4 cells/well) for 5 days, when PMA (20 ng/mL) and ionomycin (500 ng/mL) were added for an additional 8 h. (A) The levels of IFN- γ and IL-17 were determined in cell-free supernatants of CD4⁺ CD45RA⁺/MoDC and CD4⁺ CD45RO⁺/MoDC co-cultures, as described for Figure 4A. Cytokine levels are given as mean \pm SD ($n = 6$ donors). (B) Proportions of CD4⁺ CD45RA⁺ and CD4⁺ CD45RO⁺ cells in cultures of total CD4⁺ T cells were determined before and after co-cultivation with MoDC pre-treated with the agonists, by using anti-CD45RA-FITC and anti-CD45RO-PE MAb. The emitted fluorescence was analyzed using an EPICS XL-MCL flow cytometer. The results are presented as the mean value of the percentage of positive cells \pm SD ($n = 3$). (C) To estimate the proliferation rate of naive and memory CD4⁺ T-cell subsets, purified CD4⁺ CD45RA⁺ and CD4⁺ CD45RO⁺ T cells (1×10^5 cells/well) were co-cultivated with MoDC at different DC:CD4⁺ T-cell ratios (1:10 and 1:80). Cell proliferation was measured after 5 days using a [³H]thymidine uptake assay. Values are presented as c.p.m. \pm SD of triplicates (one representative experiment out of three with similar results). - before culture; 1, control; 2, Poly (I:C); 3, curdlan; 4, Poly (I:C) + curdlan. * $P < 0.05$, ** $P < 0.01$, *** $P < 0.005$ compared with the control. $\Delta P < 0.05$ compared with Poly (I:C)-treated MoDC. # $P < 0.05$ compared with curdlan-treated MoDC.

combined effect of Poly (I:C) and curdlan on DC has not been investigated yet, a number of studies have shown that the combination of Dectin-1 ligands with other TLR ligands modulates DC functions, but the final outcome of the immune response differs significantly depending on investigated species, type of targeted PRR and culture conditions (21,22,25,26). The potentiated effect of TLR3 and Dectin-1 agonists on cytokine production by MoDC could be associated with the molecules involved in signaling through PRR. One of them could be the caspase recruitment domain-containing protein 9 (CARD9). This is an adaptor protein that is activated by purified microbial compounds, including Poly (I:C) (27) and Dectin-1 agonists (28). Activation of either mitogen-activated protein kinase (MAPK) or nuclear factor-kappaB (NF- κ B) by CARD9 modifies the gene expression and fine-tune the cytokine responses, including additional secretion of p40 (29), a subunit common to both IL-12 and IL-23. However, it remains to be

studied whether other mechanisms are involved and how signaling through an individual receptor modifies the expression of the other receptor (30).

Another important finding of this study is related to the increased secretion of IL-10 and decreased production of IL-27 by MoDC treated with the combination of Poly (I:C) and curdlan. IL-27 was originally shown to initiate the differentiation of Th1-type CD4⁺ T cells (31). Certain results indicate the ability of IL-27 to counteract IL-23 and suppress the production of IL-17 by activated CD4⁺ T cells, and that the balance between IL-23 and IL-27 fine tunes the Th17 response. It was assumed that IL-23 versus IL-27 is to the Th1:Th2 differentiation just as IL-12 versus IL-4 is to the Th1:Th2 differentiation (32). Therefore, in our culture model, decreased IL-27 production may be relevant for further enhancement of the Th17 response.

On the other hand, IL-10, as a potent anti-inflammatory and immunosuppressive cytokine, plays

1 a significant role in self-limitation of Th1 and Th17
 2 cell-mediated immunopathology in conditions of
 3 strong inflammatory stimuli (33,34). Based on this
 4 concept, an increased level of IL-10, observed in our
 5 study, using a combination of TLR3 and Dectin-1
 6 ligands might be considered a significant mechanism
 7 for balancing the immune response. IL-10 might also
 8 be responsible for inhibition of the alloreactive capa-
 9 bility of MoDC. Namely, in spite of the high expres-
 10 sion of adhesion and co-stimulatory molecules and
 11 the production of high amounts of stimulatory cytokines
 12 (IL-12 and IL-23) by MoDC, the proliferation of
 13 allogeneic CD4⁺ T cells in MLR was low at higher
 14 DC:CD⁺ T-cell ratios. At the lowest DC:CD⁺ T-cell
 15 ratio (1:80), with decreased DC numbers in cultures,
 16 the enhanced proliferation could be explained by the
 17 prevalence of stimulatory soluble factors, because the
 18 expression of co-stimulatory molecules by DC was not
 19 additionally up-regulated. The only significant pheno-
 20 typic characteristic of MoDC co-ligated with TLR3
 21 and Dectin-1 agonists, was an up-regulation of CCR7
 22 expression. This result suggests that cross-talk between
 23 these two PRR induces the phenotypic maturation of
 24 MoDC with improved migratory properties.

25 Our results have possible clinical significance
 26 for conditions where both Th1 and Th17 immune
 27 responses are desired. The current protocols using
 28 DC as cancer vaccines are based on the preparation
 29 of immunogenic DC with the ability to polarize the
 30 Th1 immune response strongly with the development
 31 of potent and specific anti-tumor cytotoxicity (35). Poly
 32 (I:C) is such a candidate that has already been applied
 33 in clinical trials (36). The precise role of Th17 cells in
 34 tumor immunity is still highly controversial, as a series
 35 of reports has suggested pro-tumor (37,38) and anti-tumor
 36 functions for IL-17 (39). Anti-tumor effects of
 37 Th17 cells, which are documented in many studies, are
 38 attributed to their capability to enhance inflammatory
 39 responses, increase antigen presentation by DC, pro-
 40 mote leukocyte homing to tumors and facilitate CD8⁺
 41 T-cell priming and effector differentiation (40,41).

42 In conclusion, our results show that signaling
 43 through TLR3 and Dectin-1 receptor potentiates the
 44 capability of human MoDC to promote the develop-
 45 ment or expansion of Th1- and Th17-producing
 46 cells *in vitro*. It remains to be studied whether such
 47 an effect will be operative *in vivo* and what could be the
 48 consequence of these interactions on the final
 49 outcome of the immune response.

Acknowledgments

50
 51 This study was supported by a grant (VMA/06-10/A.5)
 52 of the Military Medical Academy, Belgrade and Min-
 53 istry of Science and Technological development R.
 54 Serbia (project number 175102). The authors thank
 55
 56

Ivana Majstorovic and Katarina Lakovic for helpful assistance.	57
	58
	59
Disclosure of interest: The authors report no conflicts of interest. The authors alone are responsible for the content and writing of the paper.	60
	61 [AQ4]
	62
	63
	64
References	65
1. Banchereau J, Steinman RM. Dendritic cells and the control of immunity. <i>Nature</i> . 1998;392:245-52.	66
2. Trinchieri G, Sher A. Cooperation of Toll-like receptor signals in innate immune defence. <i>Nat Rev Immunol</i> . 2007;7: 179-90.	68
3. Gilboa E. DC-based cancer vaccines. <i>J Clin Invest</i> . 2007;117: 1195-203.	70
4. Sallusto F, Lanzavecchia A. Efficient presentation of soluble antigen by cultured human dendritic cells is maintained by granulocyte/macrophage colony-stimulating factor plus interleukin 4 and downregulated by tumor necrosis factor alpha. <i>J Exp Med</i> . 1994;179:1109-18.	72
5. De Vries IJ, Krooshoop DJ, Scharenborg NM, Lesterhuis WJ, Diepstra JH, Van Muijen GN, et al. Effective migration of antigen-pulsed dendritic cells to lymph nodes in melanoma patients is determined by their maturation state. <i>Cancer Res</i> . 2003;63:12-17.	74
6. Jonuleit H, Kuhn U, Muller G, Steinbrink K, Paragnik L, Schmitt E, et al. Pro-inflammatory cytokines and prostaglandins induce maturation of potent immunostimulatory dendritic cells under fetal calf serum-free conditions. <i>Eur J Immunol</i> . 1997;27:3135-42.	75
7. Pedersen AE, Buus S, Claesson MH. Treatment of transplanted CT26 tumour with dendritic cell vaccine in combination with blockade of vascular endothelial growth factor receptor 2 and CTLA-4. <i>Cancer Lett</i> . 2006;235:229-38.	76
8. Padovan E, Landmann RM, De Libero G. How pattern recognition receptor triggering influences T cell responses: a new look into the system. <i>Trends Immunol</i> . 2007;28:308-14.	77
9. Celli M, Salio M, Sakakibara Y, Langen H, Julkunen I, Lanzavecchia A. Maturation, activation, and protection of dendritic cells induced by double-stranded RNA. <i>J Exp Med</i> . 1999;189:821-9.	78
10. Dennehy KM, Brown GD. The role of the beta-glucan receptor Dectin-1 in control of fungal infection. <i>J Leukoc Biol</i> . 2007;82: 253-8.	79
11. LeibundGut-Landmann S, Gross O, Robinson MJ, Osorio F, Slack EC, Tsoni SV, et al. Syk- and CARD9-dependent coupling of innate immunity to the induction of T helper cells that produce interleukin 17. <i>Nat Immunol</i> . 2007;8:630-8.	80
12. Agrawal S, Gupta S, Agrawal A. Human dendritic cells activated via Dectin-1 are efficient at priming Th17, cytotoxic CD8 ⁺ T and B cell responses. <i>PLoS One</i> . 2010;5:e13418.	81
13. Muzio M, Bosisio D, Polentarutti N, D'Amico G, Stoppacciaro A, Mancinelli R, et al. Differential expression and regulation of toll-like receptors (TLR) in human leukocytes: selective expression of TLR3 in dendritic cells. <i>J Immunol</i> . 2000;164: 5998-6004.	82
14. Verdijk RM, Mutis T, Esendem B, Kamp J, Melief CJ, Brand A, et al. Polyribonucleic polyribocytidylic acid (Poly (I:C)) induces stable maturation of functionally active human dendritic cells. <i>J Immunol</i> . 1999;163:57-61.	83
15. Rouas R, Lewalle P, El Ouraghli F, Nowak B, Duvillier H, Martiat P. Poly (I:C) used for human dendritic cell maturation preserves their ability to secondarily secrete bioactive IL-12. <i>Int Immunol</i> . 2004;16:767-73.	84
	90
	91
	92
	93
	94
	95
	96
	97
	98
	99
	100 [AQ7]
	101
	102
	103
	104
	105
	106
	107
	108
	109
	110
	111
	112

10 A. Dragicevic et al.

- 1 16. Glimcher LH, Murphy KM. Lineage commitment in the
2 immune system: the T helper lymphocyte grows up. *Genes*
3 *Dev.* 2000;14:1693–711.
4 17. Ariizumi K, Shen GL, Shikano S, Xu S, Ritter R 3rd,
5 Kumamoto T, et al. Identification of a novel, dendritic cell-
6 associated molecule, Dectin-1, by subtractive cDNA cloning.
7 *J Biol Chem.* 2000;275:20157–67.
8 18. Taylor PR, Brown GD, Reid DM, Willment JA, Martinez-
9 Pomares L, Gordon S, et al. The beta-glucan receptor, Dectin-1,
10 is predominantly expressed on the surface of cells of the mono-
11 cyte/macrophage and neutrophil lineages. *J Immunol.* 2002;169:
12 3876–82.
13 19. Skrzypek F, Cenci E, Pietrella D, Rachini A, Bistoni F,
14 Vecchiarelli A. Dectin-1 is required for human dendritic cells
15 to initiate immune response to *Candida albicans* through
16 Syk activation. *Microbes Infect.* 2009;11:661–70.
17 20. Higashi T, Hashimoto K, Takagi R, Mizuno Y, Okazaki Y,
18 Tanaka Y, et al. Curdlan induces DC-mediated Th17 polarization
19 via Jagged1 activation in human dendritic cells. *Allergol Int.* 2010;59:161–6.
20 21. Gringhuis SI, den Dunnen J, Litjens M, van der Vlist M,
21 Wevers B, Bruijns SCM, et al. Dectin-1 directs T helper
22 cell differentiation by controlling noncanonical NF- κ B
23 activation through Raf-1 and Syk. *Nat Immunol.* 2009;10:
24 203–13.
25 22. Stopnická S, Ilhan A, Wraber B, Ter elj M, Salobir B, Rylander
26 R, et al. Fungal cell wall agents suppress the innate inflam-
27 matory cytokine responses of human peripheral blood mono-
28 nuclear cells challenged with lipopolysaccharide in vitro. *Int*
29 *Immunopharmacol.* 2011;11:939–47.
30 23. Snijders A, Kalinski P, Hilkens CMU, Kapsenberg ML.
31 High-level IL-12 production by human dendritic cells requires
32 two signals. *Int Immunol.* 1998;10:1593–7.
33 24. Boniface K, Blumenschein WM, Browne Porth K, McGeachy
34 MJ, Basham B, Desai B, et al. Human Th17 cells comprise
35 heterogeneous subsets including IFN- γ producing cells with
36 distinct properties from the Th1 lineage. *J Immunol.* 2010;185:
37 679–87.
38 25. Denney KM, Willment JA, Williams DL, Brown GD.
39 Reciprocal regulation of IL-23 and IL-12 following co-
40 activation of Dectin-1 and TLR signaling pathways. *Eur J*
41 *Immunol.* 2009;39:1379–86.
42 26. Gerosa F, Baldani-Guerra B, Lyakh LA, Batoni G, Esin S,
43 Winkler-Pickett RT, et al. Differential regulation of inter-
44 leukin 12 and interleukin 23 production in human dendritic
45 cells. *J Exp Med.* 2008;205:1447–61.
46 27. Hsu YMS, Zhang Y, You Y, Wang D, Li H, Duramad O, et al.
47 The adaptor protein CARD9 is required for innate immune
48 responses to intracellular pathogens. *Nat Immunol.* 2007;8:
49 198–205.
50
51
52
53
54
55
56
28. Gross O, Gewies A, Finger K, Schäfer M, Sparwasser T, Peschel C, et al. Card9 controls a non-TLR signalling pathway for innate anti-fungal immunity. *Nature.* 2006;442:651–6.
29. Colonna M. All roads lead to CARD9. *Nat Immunol.* 2007;8:554–5.
30. Weck MM, Appel S, Werth D, Sinzger, Bringmann A, Grünebach F, et al. hDectin-1 is involved in uptake and cross-presentation of cellular antigens. *Blood.* 2008;111:4264–72.
31. Pfanzl S, Timans JC, Cheung J, Rosales R, Kanzler H, Gilbert J, et al. IL-27, a heterodimeric cytokine composed of EB13 and p28 protein, induces proliferation of naive CD4 $^{+}$ T cells. *Immunity.* 2002;16:779–90.
32. Yoshimura T, Atsunobu T, Shinjiro H, Yoshiyki M, Ichiko K, Tatsuro, et al. Two-sided roles of IL-27: induction of Th1 differentiation on naïve CD4 $^{+}$ T cells versus suppression of proinflammatory cytokine production including IL-23-induced IL-17 on activated CD4 $^{+}$ T cells partially through STAT3-dependent mechanism. *J Immunol.* 2006;177:5377–85.
33. Jankovic D, Trinchieri G. IL-10 or not IL-10: that is the question. *Nat Immunol.* 2007;8:1281–3.
34. Saravia M, Christensen JR, Veldhoen M, Murphy TL, Murphy KM, O'Garra A. Interleukin-10 production by Th1 cells requires interleukin-12-induced STAT4 transcription factor and ERK MAP kinase activation by high antigen dose. *Immunity.* 2009;31:209–19.
35. Ikeda H, Old LJ, Schreiber RD. The roles of IFN gamma in protection against tumor development and cancer immunoeediting. *Cytokine Growth Factor Rev.* 2002;13:95–109.
36. Nishimura T, Nakai M, Sato M, Iwakabe K, Kitamura H, Sekimoto M, et al. The critical role of Th1-dominant immunity in tumor immunology. *Cancer Chemother Pharmacol.* 2000;46(Suppl):S52–61.
37. Miyahara Y, Odunsi K, Chen W, Peng G, Matsuzaki J, Wang RF. Generation and regulation of human CD4 $^{+}$ IL-17-producing T cells in ovarian cancer. *Proc Natl Acad Sci USA.* 2008;105:15505–10.
38. Kryczek I, Banerjee M, Cheng P, Vatan L, Szeliga W, Wei S, et al. Phenotype, distribution, generation functional and clinical relevance of Th17 cells in the human tumor environments. *Blood.* 2009;6:1141–9.
39. Alshaker HA, Matalka KZ. IFN- γ , IL-17 and TGF- β involvement in shaping the tumor microenvironment: the significance of modulating such cytokines in treating malignant solid tumors. *Cancer Cell Int.* 2011;11:33.
40. Muranski P, Boni A, Antony PA, Cassard L, Irvine KR, Kaiser A, et al. Tumor-specific Th17-polarized cells eradicate large established melanoma. *Blood.* 2008;112:362–73.
41. Martin-Orozco N, Muranski P, Chung Y, Yang XO, Yamazaki T, Lu S, et al. T helper 17 cells promote cytotoxic T cell activation in tumor immunity. *Immunity.* 2009;31:787–98.
42
43
44
45
46
47
48
49
50
51
52
53
54
55
56
- 61 [AQ8]
62
63
64
65
66
67
68
69
70
71
72
73
74
75
76
77
78
79
80
81
82
83
84
85
86
87
88
89
90
91
92 [AQ9]
93
94
95
96
97
98
99
100
101
102
103
104
105
106
107
108
109
110
111
112

9. BIOGRAFIJA AUTORA

Ana Ž. Dragičević je rođena 08.11.1982. u Nišu. Nakon završetka gimnazije „Bora Stanković“ u Nišu, upisala je studije na Biološkom fakultetu, Univerzitet u Beogradu, smer Molekularna biologija i fiziologija školske 2001/2002. školske godine. Po završetku studija upisala je doktorske studije na Biološkom fakultet, Univerzitet u Beogradu, modul: Neurobiologija sa neuroimunologijom školske 2007/2008 i specijalističke studije na Biološkom fakultetu, Univerzitet u Beogradu, smer: Imunobiologija sa mikrobiologijom.

Tokom doktorskih studija, kao stipendista Ministarstva prosvete i nauke Republike Srbije u periodu od 2008. do 2010. godine bila je angažovana na projektu „Biokompatibilnost i mogućnost primene biomaterijala na bazi hidroksiapatita i biopolimera u tkivnoj reparaciji- eksperimentalna i klinička studija“ (evidencijski broj: 145068) kojim je rukovodio prof dr Vojin Savić. Takođe, u periodu od 2008 do 2010. bila je uključena na projekat Ministarstva odbrane „Genetički i ćelijski bioinžinjerинг u medicini *NI zadatak*: Optimizacija protokola za kultivaciju dendritskih ćelija u cilju terapije tumora“ na Vojnomedicinskoj akademiji kojim je rukovodio akademik Miodrag Čolić. Od 2010. godine angažovana je na projektu „Primena funkcionalizovanih ugljeničnih nanocevi i nanočestica zlata za pripremu dendritskih ćelija u imunoterapiji tumora“ (evidencijski broj: 175102) kojim rukovodi akademik Miodrag Čolić. Tokom školske 2010/11. i 2011/12. godine je bila angažovana kao demonstrator na vežbama Imunobiologija sa biohemijom i Osnovi imunobiologije.

Ana Ž. Dragičević je do sada bila autor i koautor u sedam naučnih publikacija u vrhunskim časopisima međunarodnog značaja, kao i u 10 saopštenja na skupovima međunarodnog značaja i šest saopštenja na skupovima nacionalnog značaja iz uže naučne oblasti.

Прилог 1.

Изјава о ауторству

Потписани-а Ана Драгичевић

број уписа КА 07/02

Изјављујем

да је докторска дисертација под насловом

Модулација функције хуманих дендритских ћелија комбинованом применом агониста ендозомних Toll-сличних рецептора, дектин-1 рецептора и проинфламаторних цитокина

- резултат сопственог истраживачког рада,
- да предложена дисертација у целини ни у деловима није била предложена за добијање било које дипломе према студијским програмима других високошколских установа,
- да су резултати коректно наведени и
- да нисам кршио/ла ауторска права и користио интелектуалну својину других лица.

Потпис докторанда

У Београду, 23.03.2012.

Ana Dragičević

Прилог 2.

**Изјава о истоветности штампане и електронске
верзије докторског рада**

Име и презиме аутора Ана Драгичевић

Број уписа КА 07/02

Студијски програм Неуронауке, модул: Неуробиологија са неуроимунологијом

Наслов рада Модулација функције хуманих дендритских ћелија комбинованом применом агониста ендозомних Toll-сличних рецептора, дектин-1 рецептора и проинфламаторних цитокина

Ментор академик Миодраг Чолић, др Биљана Божић

Потписани Ана Драгичевић

изјављујем да је штампана верзија мог докторског рада истоветна електронској верзији коју сам предао/ла за објављивање на порталу **Дигиталног репозиторијума Универзитета у Београду**.

Дозвољавам да се објаве моји лични подаци везани за добијање академског звања доктора наука, као што су име и презиме, година и место рођења и датум одбране рада.

Ови лични подаци могу се објавити на мрежним страницама дигиталне библиотеке, у електронском каталогу и у публикацијама Универзитета у Београду.

Потпис докторанда

У Београду, 23.03.2012.

Ana Dragičević

Прилог 3.

Изјава о коришћењу

Овлашћујем Универзитетску библиотеку „Светозар Марковић“ да у Дигитални репозиторијум Универзитета у Београду унесе моју докторску дисертацију под насловом:

Модулација функције хуманих дендритских ћелија комбинованом применом агониста ендозомних Toll-сличних рецептора, дектин-1 рецептора и проинфламаторних цитокина

која је моје ауторско дело.

Дисертацију са свим припозима предао/ла сам у електронском формату погодном за трајно архивирање.

Моју докторску дисертацију похрањену у Дигитални репозиторијум Универзитета у Београду могу да користе сви који поштују одредбе садржане у одабраном типу лиценце Креативне заједнице (Creative Commons) за коју сам се одлучио/ла.

1. Ауторство
2. Ауторство - некомерцијално
3. Ауторство – некомерцијално – без прераде
4. Ауторство – некомерцијално – делити под истим условима
5. Ауторство – без прераде
6. Ауторство – делити под истим условима

(Молимо да заокружите само једну од шест понуђених лиценци, кратак опис лиценци дат је на полеђини листа).

Потпис докторанда

У Београду, 23.03.2012.

Ama Đagićenić